

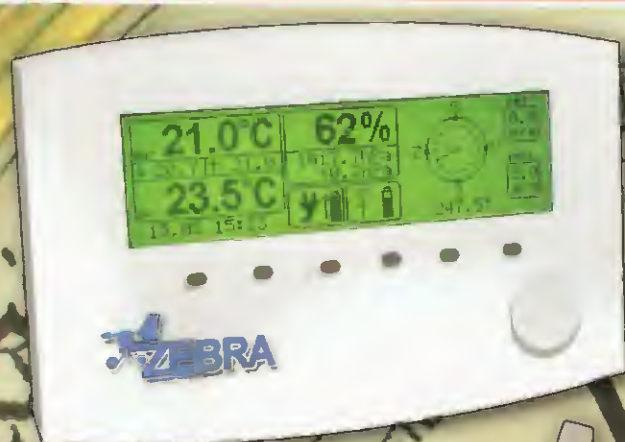
PRAKTICKÁ ELEKTRONIKA

2

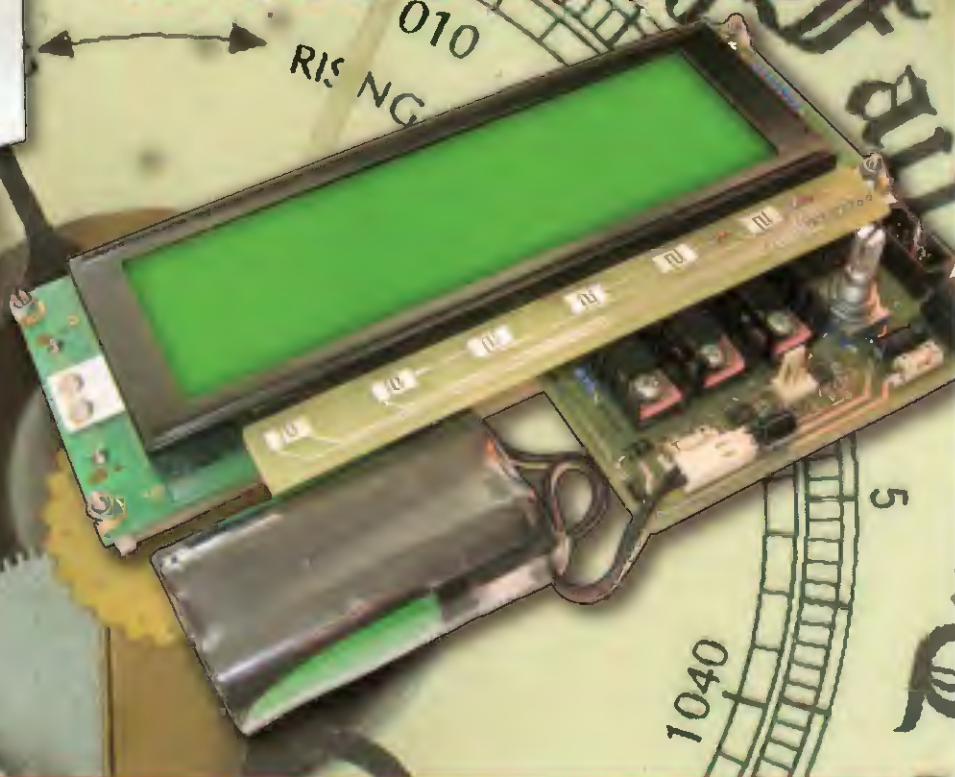
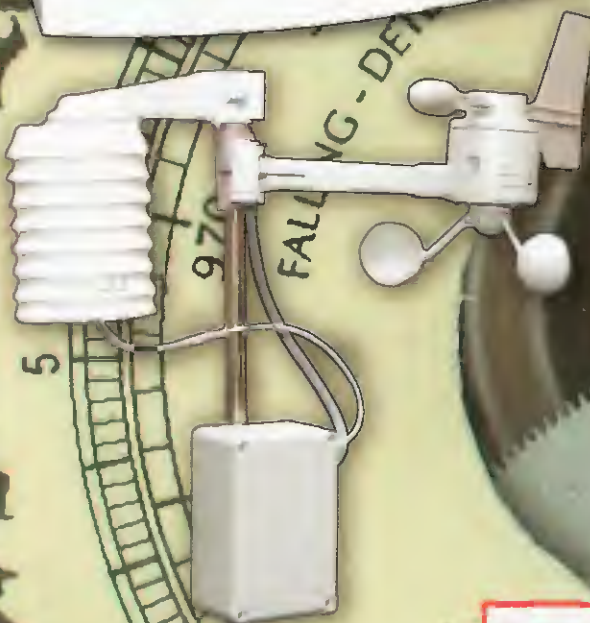
2010

A Radio

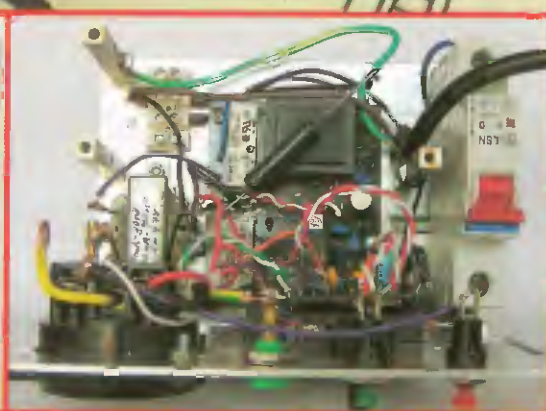
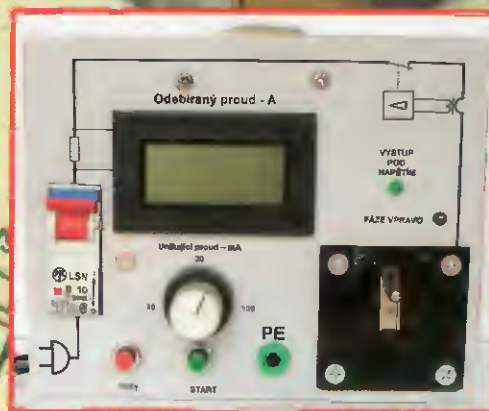
Příští měsíc vychází
CD ROM 2009



Dálkově řízená meteostanice



Zásuvka
do dílny



- INFRASENSOR -

Telco *sensors*



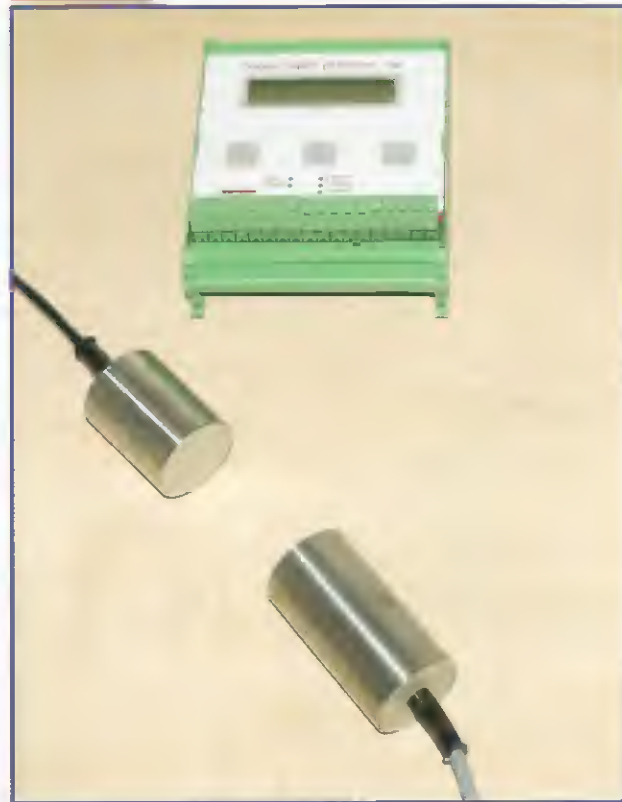
CONTRINEX



PROCESS ACOTOM
BTI



ROLAND



INFRASENSOR s.r.o.

Vřesová 571, Horní Jirčany, 252 42 Jesenice u Prahy, tel/fax 241 940 989

www.infrasensor.cz

V TOMTO SEŠITĚ

Náš rozhovor	1
Světlozor	3
AR mládeži:	
Základy elektrotechniky	4
Jednoduchá zapojení pro volný čas	7
Dálkově řízená meteostanice	10
Zásuvka do dílny	16
Jednoduchá synchronizace několika diod LED	19
Zpožďovač pro vnitřní osvětlení v automobilu	20
Předzesilovač pro gramofon s magnetodynamickou přenoskou	24
Inzerce	I-XVI, 48
RPM meter	25
Nové knihy	27
Dorozumívací zařízení	28
Antény	31
PC hobby	33
Rádio „Historie“	41
Z radioamatérského světa	44

Praktická elektronika A Radio

Vydavatel: AMARO spol. s r. o.

Redakce: Šéfredaktor: ing. Josef Kellner, redaktori: ing. Jaroslav Belza, Petr Havliš, OK1PFM, ing. Miloš Munzar, CSC.

Redakce: Karlovo nám. 557/30, 120 00 Praha 2, tel.: 257 317 310, 222 968 376.

Ročně vychází 12 čísel. Cena výtisku 60 Kč.

Rozšiřuje První novinová společnost a. s. a soukromí distributoři.

Předplatné v ČR zajišťuje Amaro spol. s r. o. Hana Merglová (Karlovo nám. 30, 120 00 Praha 2, tel.: 257 317 312; tel./fax 257 317 313; odbyt@aradio.cz). Distribuci pro předplatitele také provádí v zastoupení vydavatele společnost Mediaservis s. r. o., Zákaznické Centrum, Kounicova 2b, 659 51 Brno; tel: 541 233 232; fax: 541 616 160; zakaznickecentrum@mediaservis.cz; reklamace - tel.: 800 800 890. Objednávky do zahraničí: Mediaservis s. r. o., Paceřická 2773/1, 193 00 Praha 9 - CZ, psotova@mediaservis.cz, tel.: +420 271 199 255, fax.: 271 199 902.

Objednávky a předplatné v Slovenskej republike vybavuje Magnet-Press Slovakia s. r. o., Šustekova 10, 851 04 Bratislava - Petržalka; korešpondencia P. O. BOX 169, 830 00 Bratislava 3; tel./fax (02) 67 20 19 31-33 - predplatné, (02) 67 20 19 21-22 - časopisy; e-mail: predplatne@press.sk. Podávání novinových zásilek povoleno Českou poštou - ředitelstvím OZ Praha (č.j. nov 6005/96 ze dne 9. 1. 1996).

Inzerce přijímá redakce - Michaela Hrdličková, Karlovo nám. 30, 120 00 Praha 2; tel./fax: 257 317 313; inzerce@aradio.cz.

Za původnost a správnost příspěvků odpovídá autor (platí i pro inzerci).

Internet: <http://www.aradio.cz>

E-mail: pe@aradio.cz

Nevyžádané rukopisy nevracíme.

ISSN 1211-328X, MKČR E 7409

© AMARO spol. s r. o.

NÁŠ ROZHOVOR



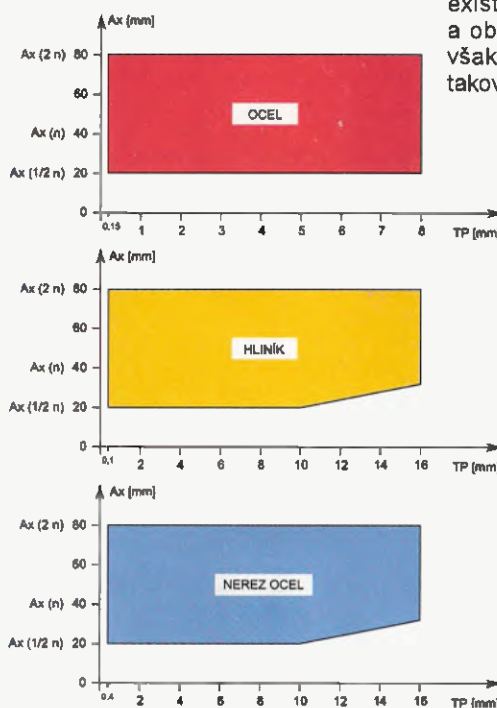
s Ing. Pavlem Šulckem, jednatelem firmy Infrasensor.

Jaké novinky si firma Infrasensor připravila pro své zákazníky?

Naše firma dodává již osmnáctým rokem průmyslové snímače na náš trh. Požadavky na automatizaci výrobních procesů se stále zvyšují, a proto výrobci neustále přicházejí s novými řešeními. Nejvíce novinek je v současnosti u výrobců firmy Roland electronic. Německý výrobce výrazně inovoval celou řadu snímačů pro indikaci dvou plechů.

Tyto snímače chrání raznici při lisování?

Ano, systém kontroly dvou plechů chrání drahou raznici lisů před poškozením. Inovovaný je jak systém dotykového, tak i bezdotykového snímání. U všech systémů je nyní možnost snímání až ve čtyřech místech ve spolupráci s jednou vyhodnocovací jednotkou. U jednostranného dotykového snímání je to systém E20 pro železné kovy a systém UDK20 pro železné i neželezné kovy. E20 využívá k měření elektromagnetický princip, UDK20 jej kombinuje s vířivými proudy. U systému UDK dříve mohly nastat problémy s přesným nastavením u nerezové oceli. Nově se dá na jednotce volit nastavení pro nemag-



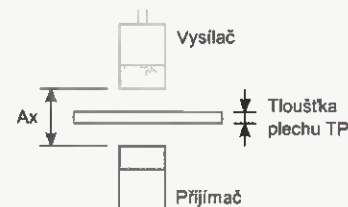
Obr. 1. Graf pracovní oblasti I20

netickou, nebo lehce magnetickou ocel a problémy se tím vyřešily.

Jednostranné snímání se většinou používá přímo při odebrání plechů ze zásobníku. V případě nabrání dvou nebo více plechů se stroj zastaví. Vlastní snímač má průměr 42 nebo 75 mm, vhodný je ještě držák s pružinami - nebo navíc s přísavkou, aby byl v okamžiku měření dokonalý dotyk snímače s plechem. Celá snímací hlava je poměrně velká a neumožňuje například snímání úzkých plechů. To je však možné u oboustranného bezdotykového snímání. Na stroji se většinou dá snadno najít místo, kde jsou plechy dopravovány k raznici a kde je tedy možné toto měření aplikovat. Snímače se montují proti sobě, vysílač proti přijímači ve vzdálenosti 20 až 80 mm. Na obr. 1 je vidět oblast snímání tloušťky plechu pro různé materiály v závislosti na rozestupu vysílače a přijímače. Je patrné, že u nové jednotky I20 tento rozstup nehraje již téměř žádnou roli. I s tímto systémem lze jednou jednotkou vyhodnocovat až čtyři páry vysílačů a přijímačů. To je možné využít například u souběžného lisování, přičemž lze každým párem snímat jiný plech, proces je omezen pouze rychlostí posuvu. Všechny jednotky mají paměť až na 255 různých typů plechů, které se přepínají z nadřazeného systému.

Někdy se však stále lisuje z jednoho typu plechu; existuje jednodušší řešení?

Ano, uváděné sestavy se hodí spíše pro velké lisovny, kde se typ zpracovávaného plechu mění i několikrát za směnu. Pro jednodušší aplikace existuje jednostranný systém A100 a oboustranný systém I100. Ani zde však případná změna materiálu není takovým problémem, stačí vložit nový



Obr. 1a. Poloha snímačů u systému I20



Obr. 2. Jednostranná indikace dvou plechů

Obr. 3.
Měření
blístrů
110KV



vzorek a systémem „teach-in“ se nový plech nastaví. Stačí jen dvakrát stisknout příslušné tlačítko na jednotce.

Je ještě v této oblasti nějaká zajímavá aplikace?

Musíme si uvědomit, že indikace dvou plechů je vlastně měřením odchylky tloušťky plechu - u standardních systémů je nastavena odchylka 15 %. To lze využít ve farmaceutickém průmyslu při plnění léků. Všichni známe plato s pilulkami, takzvaný blister, které je shora uzavřeno hliníkovou fólií. V balení v papírové krabici je několik těchto blisterů a systém Roľand 110KV vyhodnocuje, zda je tam právě ten správný počet. Jednotka 110KV zajišťuje velmi přesné měření, odchylka je nastavena na 10 %. Celý systém zabere jen asi 100 mm z dopravníku, po kterém se léky pohybují. Výhodou je vysoká rychlost měření, 600 až 1000 balení za minutu, rychlost dopravníku může být až 90 m/min. Celé měření trvá asi 1 ms. Minimální rozměr blistru je 30 x 60 mm, lze kontrolovat až 10 blisterů v jednom balení. Samozřejmě i tento systém má až 255 pamětí pro různá balení. Správný program se opět volí z nadřazeného systému.

Jaké novinky má ve snímačích firma Contrinex?

Švýcarský výrobce přichází s celou řadou novinek, zde zmíním jen ty nejzajímavější. V první řadě je to velmi přesný rozlišovač barev FTS-4055. Jedná se o snímač velikosti 50 x 50 x 15 mm, který snímá bez světlovodného kabelu na vzdálenost 30 až 40 mm se spínací frekvencí až 4 kHz. Má tři



Obr. 4. Rozlišovač barev FTS-4055

nezávislé výstupy pro tři různé barvy, výstupní signály lze zpozdít a prodloužit. Toleranci barvy je možné nastavit v pěti stupních.

Dále je to optický difúzní snímač LAS-3130 velikosti 30 x 30 x 13 mm s analogovým výstupem. Snímá od 10 do 100 mm, výstupem je napěťový signál 0 až 5 V, případně 0 až 10 V a proudový signál 1 až 5 mA, případně 4 až 20 mA. Signál není zcela lineární, je však opakovatelný. U tohoto snímače je výrazně potlačena závislost na barvě a struktuře snímaného objektu.

V neposlední řadě je novinkou miniaturní infračervený difúzní snímač LTK-0507 o velikosti 5 x 7 x 40 mm. Vyrábí se standardně s dosahem 50 mm, variantně pak se sníženým dosahem 20 mm a se zvýšeným dosahem 70 mm.

Contrinex prý začal vyrábět také bezpečnostní zábrany?

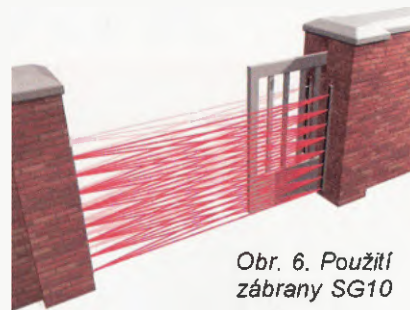
Ano, v nabídce je nyní celá řada velmi robustních optických bezpečnostních zábran v kategorii 4. Lišty vysílačů a přijímačů mají průřez 42 x x 48 mm. Dodávají se ve dvou variantách - a to s rozlišením 14 mm (tzv. ochrana prstu) a s rozlišením 30 mm (tzv. ochrana ruky). U rozlišení 14 mm je dosah 0,25 až 3,5 m a maximální aktivní výška je 1685 mm, vysílače a přijímače pracují na vlnové délce 950 nm. U rozlišení 30 mm je dosah 0,25 až 12 m, maximální aktivní výška je 1892 mm a pracuje na vlnové délce 880 nm. Výstupem jsou dva opticky oddělené bezpečnostní spínače, systém lze doplnit bezpečnostním relé.

Ve vaší nabídce byly také magnetické bezpečnostní spínače?

Jedná se o bezkontaktní spínače francouzské firmy BTI. Připomeňme si, že se jedná o spínače, které se používají pro zabezpečení různých krytů a dveří u strojů a zařízení a dodávají se ve všech bezpečnostních kategoriích. Na pohyblivou část se umístí kódovaný magnet, který je bez napájení, a na pevnou část se umístí přijímací jednotka s dvojitým bezpečnostním výstupem. Mezera mezi těmito dvěma částmi při uzavření byla max. 5 až 10 mm, což mohlo být někdy problematické. Novinkou je nyní sys-



Obr. 5. Bezpečnostní spínač RFID - AMXR



Obr. 6. Použití zábrany SG10

tém AMXR, který pracuje na principu RFID. Místo kódovaného magnetu se na pohyblivou část umístí jednotka s nahranou informací. Při prvním přiblížení k přijímací jednotce se ji snímač „naučí“ a potom může pracovat pouze v tomto páru. Mezera je v tomto případě až 20 mm. Vzhledem k absenci magnetu se na jednotce neusazuje železný prach. Snímač AMXR pracuje samostatně v bezpečnostní kategorii 3, ve spolupráci s bezpečnostní jednotkou pak v kategorii 4. Firma BTI také rozšířila svou nabídku o celou řadu dotykových spínačů.

Vaším hlavním programem byly vždy světelné závory Telco, je i zde něco nového?

Ano, naším hlavním programem jsou dánské infračervené závory Telco, které pracují bez problémů i ve velmi prašném prostředí. Novinkou jsou světelné zábrany SG10, které vytvářejí síť infračervených paprsků vlnové délky 880 nm a mají krytí IP67. Jsou tedy určeny pro venkovní prostředí, především pro brány a vjezdy. Pracovní dosah je od 3 do 10 m, bez problému pracují v dešti a sněhu, problém není ani sluneční světlo, přijímače snázejí osvětlení přes 100 000 lx. Lišty vysílačů mají průřez 30 x 12 mm a vyrábějí se ve čtyřech výškách: 850, 1250, 1600 a 2000 mm. V některých případech je nutné, aby byla jedna zábrana před a druhá za vjezdovou branou. Pro tyto aplikace jsou určeny 2 páry zábran, z nichž jedna pracuje v režimu master a druhá v režimu slave. Napájení je stejnosměrné 10 až 36 V, výstup je polovodičové relé. Systém lze doplnit síťovým zdrojem 230 V s klasickým reléovým výstupem.

Jak vás mohou zákazníci kontaktovat?

Na www.infrasensor.cz je možné stažení všech katalogů v pdf. Jinak nás mohou kontaktovat v naší provozovně: Infraseňor s. r. o., Vřesová 571, Horní Jirčany, 252 42 Jesenice; tel/ fax: 241 940 989.

Každoročně také vystavujeme na veletrhu AMPER - letos bude ve dnech 13. až 16. dubna. Všechny novinky tam budou předvedeny ve funkci na našich tabulích.

Děkuji vám za rozhovor.

Připravil ing. Josef Kellner.

SVĚTOZOR



TV tuner na jednom čipu

Silicon Laboratories Inc. (www.silabs.com) patří k předním výrobcům integrovaných obvodů se zaměřením na vývoj vysoce integrovaných řešení. Jednou z jejich novinek je CMOS integrovaný obvod Si2170 s napájením 3,3 a 1,8 V v pouzdře QFN s 48 vývody o rozměrech 7 × 7 mm, který sám zajistí kompletní zpracování TV signálu od anténního vstupu po výstup video a audiosignálu. Proti tradičnímu řešení s diskretními součástkami odpadá potřeba až stovek součástek pro běžné nízkofrekvenční zesilovače, sledovací filtry, hřebenové filtry, varaktory a indukční filtry a po doplnění obvodem Si2161 nebo Si2165 i demodulátoru DVB-T, resp. DVB-T/C. Použití obvodu zvýší kvalitu obrazu a sníží výrobní náklady televizorů všech užívaných standardů kabelové a terestriální televize včetně nové generace ultratenkých TV panelů, set-top boxů a televizních tunerů pro PC.



Mikrokontroléry pro přesné měření spotřeby energie

Firma Texas Instruments (www.ti.com) nabízí novou řadu tří mikrokontrolérů MSP430F471xx určených pro moderní elektronické systémy. Obvody umožňují měření spotřeby elektrické energie domácností v třífázové síti s přesností lepší než 0,1 % na základě současného měření napětí a proudu a vyhodnocení 16bitovými sigma-delta A/D převodníky. Velmi malá vlastní spotřeba i při použití LCD displeje, hodin reálného času a dalších periférií usnad-



ňuje zálohování dat baterií v případě výpadku napájecí sítě. Je pamatováno i na detekci pokusů o manipulaci s měřičem a na měření teploty a vlhkosti. Velikost paměti u jednotlivých variant obvodů je 92, 116 a 120 kB paměti Flash a 4 až 8 kB RAM. Výrobce usnadňuje aplikaci poskytnutím vzorových kódů, vývojovými moduly a aplikačními listy. Texas Instruments se zaměřuje i na prvky pro pokročilé měření spotřeby vody a plynu.

Přesný operační zesilovač pro napětí až 40 V

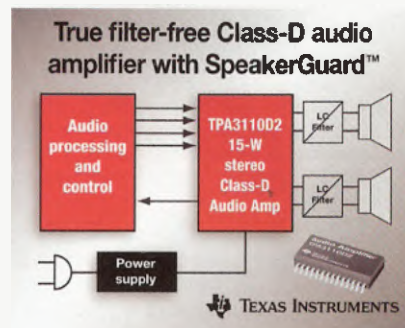
ISL28127 a ISL28227 jsou nové operační zesilovače, vyrobené firmou Intersil (www.intersil.com) její vlastní bipolární technologií. Zesilovače pracující při napětí 4,5 až 40 V mají výborné šumové vlastnosti při nízkých kmitočtech - 3 nV/√Hz při 10 Hz, tranzitní kmitočet 10 MHz, maximální napěťový offset 70 μV s teplotním driftem 0,5 μV/°C a vstupní klidový proud 10 nA. Jsou určeny zvláště pro použití při zesilování a filtraci signálu v přístrojových, průmyslových a medicínských aplikacích, ve váhách a v 12 až 24bitových systémech sběru dat pracujících v teplotním rozsahu -40 až +125 °C. Jednoduchý ISL28127 a dvojitý ISL28227 jsou k dispozici v 8vývodových pouzdrech SOIC, TDFN a MSOP.



Výkonové zesilovače třídy D bez výstupních filtrů

Integrovaný obvod TPA3110D2 od Texas Instruments (www.ti.com) je určen pro stereofonní výkonové zesilovače třídy D s analogovým vstupem a výstupním výkonem až 15 W do zátěže 8 Ω při činiteli zkreslení a šumu THD+N 10 % (při polovičním výkonu je zkreslení jen 0,1 %) a účinnosti až 90 %. Vysoká účinnost umožňuje použít obvod bez chladičů. Lze volit mezi čtyřmi hodnotami zesílení. Pro napájení je možné použít napětí v rozsahu 8 až 26 V. Pokročilá technologie potlačení elektromagnetické interference (EMI) odstraňuje potřebu drahých a prostorově náročných výstupních filtrů s cívkami, které nahradily levné feritové perličky a keramické kondenzátory. Úspory v ceně materiálu na zesilovač mohou dosáhnout až 50 %. Na čipu TPA3110D2 jsou i obvody pro ochranu reproduktorů technologií SpeakerGuard s nastavitelnými limi-

tem výkonu, která zmenšuje riziko jejich poškození a ochrany proti zkratu výstupních pinů vůči zemi, napájení a mezi sebou navzájem a tepelnému přetížení s následným automatickým zotavením. Velký výstupní výkon i další parametry předurčují obvod TPA3110D2 pro televizory, spotřební elektroniku a multimediální aplikace i s vysokými nároky na kvalitu zvuku. K dispozici jsou i monofonní obvody TPA3111D1 a TPA3112D1 s výkonem 10 a 25 W a stereofonní 6 W verze TPA3113D2.



Nejmenší nízkofrekvenční zesilovač

Nejnižší spotřebou, nejvyšší odolností vůči vysokofrekvenčnímu rušení a nejmenšími rozměry se mají vyznačovat nové integrované obvody pro nízkofrekvenční zesilovače od firmy Intersil (www.intersil.com). Monofonní ISL99201 pracuje ve třídě D bez filtru, s napětím 2,4 až 5,5 V, s klidovou spotřebou 3,2 mA. Při napájení 5 V dodá do zátěže 8 Ω výkon 1,4 W při zkreslení a šumu 1 %. Při výkonu 400 mW je účinnost 86 %. ISL99201 potřebuje již jen jedinou externí součástku. Vyrábí se v pouzdře WCSP (1,3 × 1,5 mm) s 9 kontakty a bezvývodovém TDFN (3 × 3 mm) s 8 kontakty. ISL99202 je stereofonní sluchátkový zesilovač se zkreslením 0,01 %, napájením 2,4 až 5,5 V a klidovou spotřebou pod 3 mA. ISL99202 je dodáván ve stejných provedeních, avšak s 12 vývody. Vedle zmíněných předností se s těmito obvody vytvořené zesilovače vyznačují kvalitní reprodukcí zvuku, potlačením rušivých zvuků při zapnutí a vypnutí napájení (click-and-pop) a jsou vybaveny ochranou proti zkratu a podpětí. Nové zesilovače jsou určeny zvláště pro mobilní telefony, MP3 přehrávače, PDA, herní konzole, výukové hračky a přenosné přístroje.

JH



Mikrokontroléry PIC (26)



V minulých dílech jsme se seznámili téměř s celým instrukčním souborem mikrokontroléru PIC16F88, který čítá celkem 35 instrukcí a je stejný jako u dalších osmibitových mikrokontroléru PIC řady „Mid-range“. Uvedli jsme si funkci a syntaxi těchto instrukcí a rovněž několik příkladů, které jste si mohli odsimulovat ve vývojovém prostředí MPLAB a detailně tak prostudovat funkci a chování jednotlivých instrukcí. V tomto dílu si popíšeme zbývající instrukce, kterými mikrokontrolér PIC16F88 a jemu podobné disponují. V příštím dílu bude uvedena souhrn-

ná tabulka se všemi instrukcemi, jejich stručným popisem, syntaxí a ovlivněnými příznaky.

Speciální instrukce

Instrukce NOP a SLEEP funkčně nezapadají ani do jedné ze skupin instrukcí, se kterými jsme se v minulých dvou dílech seznámili. O instrukci NOP (No Operation) jsme se již v předchozích dílech zmínili. Tato instrukce vlastně nevykonává žádnou funkci. Neovlivňuje obsah pracovního registru W ani žádného jiného běžného nebo speciálního funkčního registru a nenastavuje žádné příznaky. Přesto je však její funkce v mnohých případech velmi důležitá. Procesor totiž nemůže jen tak jednoduše zastavit, někdy však potřebujeme z různých příčin do programu vložit krátkou prodlevu, např. při čekání na odezvu nějakého externího obvodu nebo při změně nastavení některých interních hardwarových součástí. Jedině, co se při vykonání instrukce NOP změní, je ukazatel adresy programu (inkrementuje se čítač programu, a tedy i registr PCL).

Instrukce SLEEP přepne mikrokontrolér do úsporného režimu, při kterém se odpojí obvody oscilátoru a zastaví se vykonávání programu. Přepnutím do úsporného režimu a správným nastavením některých periferních obvodů a vstupně-výstupních portů lze dosáhnout podstatného snížení spotřeby mikrokontroléru, což je důležité zejména při napájení z elektrických článků. Při přechodu do úsporného režimu se vynuluje bit /PD (STATUS<3> - příznak napájení) a nastaví se bit /TO (STATUS<4> - příznak přetečení čítače WDT). Zároveň se vynuluje časovač WDT spolu s předěličkou, je-li mu přiřazena. Je-li však časovač WDT povolen, zůstává i v úsporném režimu aktivní spolu s interním RC oscilátorem 31,25 kHz. Instrukce SLEEP nemá žádné parametry a kromě bitů /PD a /TO neovlivňuje žádné další příznaky.

Z úsporného režimu se mikrokontrolér může probudit externím resetem (přivedením nízké úrovně na vstup MCLR), při přetečení čítače WDT (je-li čítač povolen) nebo nastane-li přerušení. Přerušení může být vyvoláno změnou úrovně na pinu RB0/INT, změnou úrovně na portu B (piny RB7:RB4) nebo od některých periférií (např. časovače TMR1 pracujícího v módu asynchronního čítače, modulu CCP, SSP a AUSART, A/D převodníku, paměti EEPROM, popř. dalších). Některé periferie však kvůli deaktivovanému hodinovému signálu nejsou v úsporném režimu schopny přerušení generovat.

Externí reset na pinu MCLR nejen mikrokontrolér probudí z úsporného režimu, ale rovněž jej vyresetuje. V případě probuzení v důsledku přetečení čítače WDT nebo vyvolání přerušení pak program pokračuje instrukcí následující za instrukcí SLEEP. Pomocí příznaku /PD a /TO registru STATUS (popis registru STATUS viz díl 23, PE11/2009) je možné určit, jaká událost probuzení z úsporného režimu vyvolala. Při přetečení čítače WDT se vynuluje příznak /TO, který se při volání instrukce SLEEP nastavil. Pomocí příznaku /PD lze naopak určit, zda MCLR reset nastal v době, kdy se mikrokontrolér nacházel v úsporném režimu (/PD = 0), nebo v průběhu jeho normální činnosti (/PD = 1).

Jednotlivá přerušení lze u mikrokontroléru PIC povolit nebo zakázat konfiguračními bity, které se nacházejí v registru INTCON nebo v registrech PIE, o kterých se zmíníme později. Globálně lze pak povolit nebo zakázat všechna přerušení pomocí bitu GIE (Global Interrupt Enable) v registru INTCON<7> (adresa 0Bh). Je-li však dané přerušení pomocí odpovídajícího bitu povoleno, mikrokontrolér se při vyvolání tohoto přerušení probudí z úsporného režimu nezávisle na stavu bitu GIE. Jsou-li přerušení globálně pomocí bitu GIE zakázána (tj. GIE = 0), po probuzení pokračuje mikrokontrolér ve vykonávání programu instrukcí následující za instrukcí SLEEP. V opačném případě, je-li GIE = 1, vykoná po probuzení mikrokontrolér instrukci následující za instrukcí SLEEP, v dalším kroku však skočí na vektor přerušení (adresa 0004h), kde je (nebo by měl být) uložen kód pro obsluhu přerušení.

Do skupiny speciálních instrukcí dále zařadíme dvě instrukce, které sice používat nebudeme, ale můžete se s nimi setkat v některé starší literatuře. Použití instrukcí OPTION a TRIS není pro zajištění kompatibility s budoucími mikrokontroléry doporučeno a např. v katalogovém listu pro PIC16F88 nejsou tyto instrukce vůbec zmíněny. Instrukce OPTION přesune obsah registru W do registru OPTION_REG a podobně instrukce TRIS přesune obsah registru W do zvoleného registru TRIS. Instrukce jsou podporovány pro zajištění kompatibility s mikrokontroléry PIC16C5X, protože jsou však registry OPTION_REG i TRISx přímo přístupné, není těchto speciálních instrukcí zapotřebí. Instrukce OPTION nemá žádné parametry, instrukce TRIS má jediný parametr f, kterým je číslo specifikující příslušný port, resp. registr TRIS (f = 5 pro TRISA, f = 6 pro TRISB, f = 7 pro TRISC). Registry OPTION_REG a TRISx se nacházejí v bankě 1 datové paměti, a tak může v některých případech použití instrukcí OPTION a TRIS ušetřit instrukci pro změnu banky. To může být důvod, proč se s těmito instrukcemi můžete v některé starší literatuře setkat.

Instrukce skoku a instrukce pro práci s podprogramy a přerušením

V minulém dílu jsme se seznámili se čtyřmi instrukcemi, které lze použít pro podmíněné větvení programu: INCFSZ, DECFSZ, BTFSZ a BTFFS. První dvě instrukce testují, zda je výsledek operace nulový, zatímco poslední dvě instrukce testují hodnotu bitu ve zvoleném registru. V případě pozitivního výsledku testu se následující instrukce přeskočí, resp. se místo ní provede instrukce NOP, tím však možnosti těchto instrukcí končí. Chceme-li dosáhnout toho, aby se v případě určitého výsledku testu provedla např. jiná procedura, musíme tyto instrukce doplnit buď instrukcí skoku GOTO, nebo instrukcí pro volání podprogramu CALL. S oběma instrukcemi jsme se již v našich předchozích programech setkali a i v programech následujících je budeme často využívat. Instrukce CALL má jeden parametr a její syntaxe je následující:

```
CALL k
```

Instrukce volá podprogram, který se nachází na adrese, jejíž jedenáct dolních bitů je specifikováno konstantou k ($0 \leq k \leq 2047$). Při volání podprogramu se nejprve uloží 13bitová adresa následující instrukce do zásobníku, poté se nahraje 11bitová adresa k

Tab. 13. Program v jazyce assembleru demonstrující použití instrukcí přesunu, podmíněných skoku a bitových operací (viz díl 25)

```
Seriál "Mikrokontroléry PIC" díl 25
PE 1/2010
Vít Šprngl

LIST          p=16F88
#include      <P16F88.INC>

=== DEFINICE PROMĚNNÝCH ===
CBLOCK 0x20
    m
    n
ENDC

=== RESET VEKTOR ===
reset:       ORG      0x0000

; Inicializace proměnných
; instrukce decf, incf, btfsc, btfss, (decfsz incfsz),
; bsf, bcf, clrf, clrw, clrw, movlw, movf, movwf, swapf
MOVLW 0x03   ; 03h -> W
MOVWF m      ; W -> m, m = 00000011b
MOVLW 0xA6   ; A6h -> W
MOVWF n      ; W -> n, n = 10100110b

; Hlavní program
loop1:
    INCF     m, f      ; m = m + 1
    BTFFS   m, 3      ; následující instrukce se
                    ; přeskočí, je-li bit3 = 1,
                    ; v tomto případě jakmile
                    ; m = 00001000b = 08h
    GOTO    loop1     ; skok se tedy provede
                    ; celkem 4krát

loop2:
    DECF    m, f      ; m = m - 1
    BTFSZ  m, 2      ; následující instrukce se
                    ; přeskočí, je-li bit2 = 0,
                    ; v tomto případě jakmile
                    ; m = 00000011b = 03h
    GOTO    loop2     ; skok se tedy provede
                    ; opět 4krát

loop3:
    DECFSZ m, f      ; m = m - 1, následující in-
                    ; strukce se přeskočí, je-li
                    ; po dekrementaci m = 0
    GOTO    loop3     ; skok se tedy provede
                    ; celkem 2krát
                    ; n -> m
    MOVF   n, W      ; n -> W
    MOVWF m          ; W -> m, m = n = A6h
    BSF   m, 3       ; m<3> = 1,
                    ; m = 10101110b = AEh
    BCF   n, 5       ; n<5> = 0,
                    ; n = 10000110b = 86h
    SWAPF n, f       ; n = 68h;

loop_end:
    GOTO   loop_end
END
```

do programového čítače PC<10:0>, přičemž horní bity PC<12:11> se nahrají z registru PCLATH<4:3>. V praxi vypadá situace obvykle podstatně jednodušší. Adresy specifikujeme pomocí návěští a zbytek se již většinou postará asembler při překladu zdrojového programu do strojového kódu. Z podprogramu se vrátíme na adresu následující za instrukcí CALL pomocí instrukce RETURN nebo RETLW. V obou případech se ze zásobníku vyjme poslední (13bitová) adresa, která se nahraje do programového čítače (PC). Instrukce RETURN nemá žádné parametry, instrukce RETLW (Return with Literal in W) má jeden parametr *k*, kterým je osmibitová konstanta ($0 \leq k \leq 255$), která se při návratu z podprogramu nahraje do pracovního registru W. Pomocí instrukce RETLW lze realizovat datové tabulky uložené v programové paměti.

V souvislosti s instrukcí SLEEP jsme se rovněž zmínili o přerušeních, která mohou být generována různými periferními obvody nebo změnou úrovně na některých vývodech mikrokontroléru. Přerušení podstatně usnadňují a zefektivňují komunikaci s periferními nebo externími obvody. Nemusíme totiž opakovaně programově kontrolovat, zda nastala určitá událost, ale jednoduše počkáme, až se událost sama ohlásí a vyvolá přerušení programu. Základním registrem pro konfiguraci přerušení je registr INTCON. Pomocí bitu GIE (Global Interrupt Enable, INTCON<7>) lze přerušení globálně povolit nebo zakázat.

V případě, že je vyvoláno přerušení, uloží se (podobně jako při volání podprogramu) adresa následující instrukce do zásobníku a do programového čítače se nahraje adresa 0004h (vektor přerušení), na které by měl začínat kód pro obsluhu přerušení. Zároveň se při vyvolání přerušení vynuluje bit GIE (globálně se zakáže přerušení), aby se zabránilo jeho opětovnému vyvolání. K návratu z přerušení slouží instrukce RETFIE (Return from Interrupt). Její funkce je obdobná jako u instrukce RETURN. Z vrcholů zásobníku se vyjme 13bitová adresa, která se nahraje do programového čítače PC, a program pokračuje v místě, ve kterém se přerušil. Instrukce RETFIE taktéž nemá žádné parametry, na rozdíl od instrukce RETURN se však při jejím volání rovněž automaticky nastaví bit GIE = 1, čímž se systémem přerušení opět povolí.

Instrukce GOTO provádí nepodmíněný skok. Podobně jako instrukce CALL má i tato instrukce jeden parametr *k* a její syntaxe je tedy následující:

GOTO *k*.

Konstanta *k* je opět 11bitové číslo ($0 \leq k \leq 2047$), ve kterém je uložena adresa, která se nahraje do programového čítače PC<10:0>. Protože je programový čítač 13bitový, horní bity PC<12:11> se opět nahrají z registru PCLATH<4:3>. V praxi je konstanta *k* obvykle opět reprezentována návěští, přičemž konkrétní adresy přiřazuje tento návěští až asembler při překladu programu.

Všechny instrukce, které mění obsah programového čítače trvají dva instrukční cykly. Kromě instrukcí CALL, GOTO, RETURN, RETLW a RETFIE mohou trvat dva instrukční cykly i některé další instrukce (např. MOVWF, ADDWF apod.), a to v případě, že mění obsah programového čítače (prostřednictvím registru PCL). Ostatní instrukce trvají jeden instrukční cyklus. (Pozn.: V případě pozitivního výsledku testu u instrukcí

INCFSZ, DECFSZ, BTFSZ a BTSS trvají tyto instrukce rovněž dva instrukční cykly. Ve skutečnosti se však místo následující instrukce provede instrukce NOP, takže se vlastně vykonají dvě instrukce, z nichž každá trvá jeden instrukční cyklus.)

Vykonávání programu a organizace programové paměti

V souvislosti s instrukcemi CALL a GOTO jsme se zmínili o programovém čítači, zásobníku a registrech PCLATH a PCL. Protože nemusí být situace kolem 11bitových a 13bitových adres a úlohách zmíněných registrů úplně jasná, bylo by namísto vnést do této problematiky trochu světla.

Jak mikrokontrolér pracuje, jste si mohli vyzkoušet na programech uvedených v minulých dílech, a to zejména při simulaci v prostředí MPLAB, při které jste mohli sledovat, jak se s časem a s jednotlivými kroky mění stavy registrů v závislosti na prováděné funkci. S každým instrukčním cyklem, který trvá u mikrokontroléru PIC čtyři periody oscilátoru, se inkrementuje programový čítač PC (Program Counter). Ten ukazuje na adresu právě prováděné instrukce, která je uložena v paměti programu. Po resetu mikrokontroléru nebo po zapnutí napájecího napětí ukazuje PC na adresu 0000h (vektor resetu). Pokud by se v programu nenacházely žádné instrukce CALL a GOTO, bylo by zakázáno přerušení a nezapisovali bychom žádné instrukce do registru PCL, který reprezentuje dolních osm bitů programového čítače, PC by se kontinuálně inkrementoval a s každým následujícím instrukčním cyklem by se vykonala instrukce uložena v programové paměti na adrese, na kterou PC ukazuje. Po dosažení konce programové paměti by PC přetekl a program by se začal vykonávat opět od adresy 0000h a takto stále dokola.

Pozn.: V příštím dílu bude uveden jednoduchý program, který demonstruje toto chování mikrokontroléru.

Programový čítač má u mikrokontroléru PIC16F88 (a dalších mikrokontrolérů řady „Mid-range“) 13 bitů. Maximální velikost programové paměti, kterou je PC schopen adresovat, je tedy $2^{13} = 8192$ instrukčních slov, přičemž instrukční slovo má u mikrokontroléru řady „Mid-range“ délku 14 bitů. Mikrokontrolér PIC16F88 má ovšem fyzicky implementováno pouze 4096 x 14 bitů programové paměti (adresy 0000h až 0FFFh). Při pokusu o přístup k fyzicky neimplementované paměti by se vykonala instrukce umístěná na adrese, kterou bychom získali doplněním nul za neimplementované bity. Např. při přístupu k adrese 1000h (PC = 1000h) se vykoná instrukce umístěná na adrese 0000h. Podobně je-li PC = 1300h, vykoná se instrukce na adrese 300h.

Osm dolních bitů programového čítače (PC<7:0>) je přímo přístupných pro čtení i zápis prostřednictvím registru PCL (adresa 02h, popř. 82h, 102h a 182h). Pomocí instrukcí zapisujících do registru *f* (např. ADDWF, MOVWF a dalších) je tak možné realizovat skoky v programu, přímo však

pouze v rozsahu 256 adres programové paměti (např. 0000h až 00FFh; 0300h až 03FFh apod.). Horních 5 bitů programového čítače (PC<12:8>) je přístupných nepřímo pouze pro zápis pomocí registru PCLATH<4:0>. Chceme-li tedy pomocí instrukce, jejímž cílovým registrem je PCL, realizovat skok na adresu mimo aktuální programový blok (o velikosti 256 adres), musíme nejprve specifikovat horní bity adresy zápisem do registru PCLATH<4:0> (viz obr. 28).

A jak je to tedy s instrukcemi CALL a GOTO? Instrukce mikrokontroléru sestávají ze dvou částí. První část je tvořena tzv. operačním kódem instrukce (OPCODE), který odpovídá typu instrukce a říká mikrokontroléru, jakou funkci má provést. Druhá část obsahuje operandy (parametry) instrukce. Uvedme si několik příkladů:

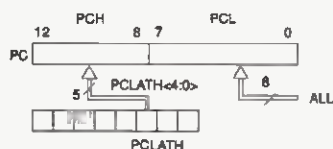
ADDWF: Formát instrukčního slova: 00 0111 dfff ffff, kde prvních šest bitů představuje operační kód instrukce, *d* je jednobitový parametr, který určuje, zda se výsledek uloží do registru W nebo zpět do registru *f*, a posledních sedm bitů specifikuje adresu příslušného registru *f*.

DECFSZ: Formát instrukčního slova: 00 1011 dfff ffff, kde 001011 je operační kód instrukce a *d* a *f* jsou parametry.

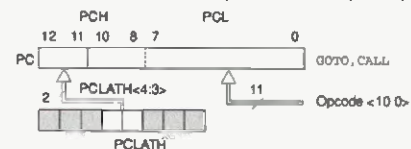
BSF: Formát instrukčního slova: 01 01bb bff ffff, kde 0101 je operační kód a *b* určuje bit v registru na adrese *f*.

Je zřejmé, že pokud bychom chtěli v rámci instrukcí CALL a GOTO specifikovat všech 13 bitů adresy programové paměti, musel by mít operační kód těchto instrukcí pouze jeden bit. V takovém případě by ovšem mohl mikrokontrolér rozlišit pouze dvě instrukce. Instrukce CALL a GOTO proto poskytují pouze 11 bitů adresy a dva vyšší bity se do programového čítače nahrají z registru PCLATH<4:3> (viz obr. 29). Protože lze pomocí jedenácti bitů adresovat pouze stránku programové paměti o velikosti 2048 instrukčních slov, můžeme se dostat do problémů, pokud bychom chtěli volat podprogram nebo realizovat skok na adresu, která se nachází v jiné stránce programové paměti. V takovém případě je třeba manuálně nastavit bity registru PCLATH<4:3> a zajistit tak správnou adresaci programové paměti. Podobný problém nenastává při návratu z podprogramu. Návratová adresa se ukládá do zásobníku, který má šířku 13 bitů, takže je schopen pojmout celou adresu. Mikrokontroléry řady „Mid-range“ jsou vybaveny osmiúrovňovým hardwarovým zásobníkem. Zásobník není součástí standardní programové ani datové paměti (tj. je hardwarový) a pojme maximálně osm návratových adres (tj. je osmiúrovňový). Zásobník tedy umožňuje maximálně osm vnořených volání podprogramů nebo přerušení. Při volání více vnořených podprogramů by se začaly jednotlivé návratové adresy přepisovat, přičemž nejprve by se přepsala adresa, která byla do zásobníku vložena jako první.

Vít Špringl
(Pokračování příště)



Obr. 28. Způsob nahrání adresy do programového čítače (PC) při zápisu nebo modifikaci registru PCL



Obr. 29. Způsob nahrání adresy do programového čítače (PC) při volání instrukce CALL nebo GOTO

AR ZAČÍNÁJÍCÍM A MÍRNĚ POKROČILÝM

Měření elektrostatického napětí a elektrický náboj

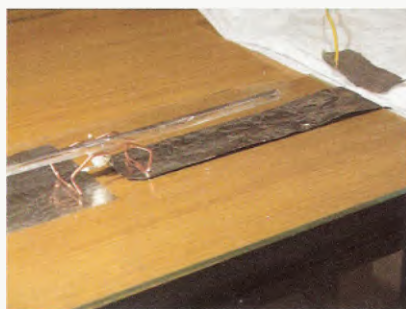
(Pokračování)

V minulé části jsme si popsali dva elektrostatické indikátory. Také jsme si řekli, že citlivost druhého můžeme zmenšit předřadným kondenzátorem vhodné kapacity.

Celkové napětí U se rozdělí na napětí indikátoru U_i a napětí na předřadném kondenzátoru C_p : $U = U_i + U_p$. Pro kapacitní dělič platí $U_i = U \cdot C_p / (C_p + C_i)$. To znamená, že na kondenzátoru s nejmenší kapacitou je největší napětí. Vytvoříme-li v sérii s indikátorem předřadný kondenzátor s kapacitou C_p menší než C_i , zůstane větší část z napětí U na ní, zbytek na indikátoru s kapacitou C_i (obr. 6).

Předřadný kondenzátor C_p musí vydržet vysoké napětí až 20 kV. Standardní kondenzátory používané v běžné domácí elektronice takové napětí nesnesou, prorazí se. Vyrobit si vlastní. Na pásek alobalu horní elektrody položíme silnější igelit a na něj plátek alobalu. To bude druhá elektroda kapacitoru C_p , na kterou přivedeme vodičem náboj z obrazovky. Uspořádání obvodu je na obr. 6. Pokud je během experimentu slyšet lupání, dochází k napěťovým průrazům použitého igelitu a k vyrovnávání náboje - je třeba použít silnější igelit.

Posouváním tohoto plátku mimo pásek pod igelitem měníme plochu překryvu a tím kapacitu. Sladujeme vliv na velikost vychýlení raménka po zapnutí nebo vypnutí te-



Obr. 6. Předřadný kapacitor vpravo zmenší napětí na indikátoru



Obr. 7. Indikátor 1 paralelně k indikátoru 2 s předřadným kondenzátorem C_p

levizoru. Spojíme-li vodičem krátce horní a spodní elektrodu indikátoru, vyrovnáme napětí na kapacitě indikátoru C_i , přestanou působit elektrostatické síly a raménko se vrátí do rovnovážné polohy. Spojíme-li krátce horní elektrodu indikátoru s plátkem alobalu, raménko se opět vychýlí. Tak lze děj několikrát opakovat. Pak je nutné televizor opět vypnout a zapnout, aby se C_0 opět nabil.

Pro názornější práci lze spojit tento systém paralelně s indikátorem 1 podle obr. 7. Zelenožlutý vodič v pravém horním rohu obrázku přivádí náboj, v levém dolním je vidět kablík k uzemnění.

Po zapnutí nebo vypnutí televize se přenesou elektrický náboj z alobalu před obrazovkou na indikátory. Indikátory vykáží výchylku, která se pomalu zmenšuje. Tak se vyrovnává náboj malými svodovými proudy přes povrch stolu a izolaci kabelu. Při přepínání programů nebo změně světlosti scény na obrazovce můžeme pozorovat jemný pohyb kuličky a chvění plátku alobalu tvořícího C_p .

Indikátor 2 lze rozšířit o dvě zavěšené plechové misky - víčka od sklenice, která jsou vodivě spojena s raménkem - obr. 8. Do jedné misky lze přidávat závaží - například plátky alobalu a udržovat raménko v rovnovážné poloze. Lze tak „vážit“ elektrický náboj (napětí). Při manipulaci je však třeba bedlivě dbát, abychom se misku jakoliv nedotkli a neodvedli měřený náboj.

Dalším rozšířením je projekce laserového paprsku odrazem od horní strany raménka, což dovliví na stropě místnosti velmi citlivě sledovat i nepatrné výchylky.

Jak funguje obrazovka jako zdroj elektrostatického napětí?

Katoda - kovová elektroda v patě obrazovky po nažhavení vestavěným žhavicím vláknem uvolňuje mrak elektronů. Elektron je částice s elementárním už nedělitelným záporným nábojem $q = -1,602 \cdot 10^{-19}$ coulombu [C] (čti kulombu). Velikost jakéhokoliv elektrického náboje je celočíselným násobkem tohoto elementárního náboje. Volné elektrony jsou urychlovány kladným vysokým napětím na opačné straně obrazovky - anodě. Je to vodivá plocha blízko čelního skla obrazovky. Prolétnou maskou, což je jemně děrovaný tenký plech, a dopadají na body pokryté luminoforem. Luminofor po vybuzení paprskem elektronů krátce svítí. Monitory o úhlopříčce 19"



Obr. 8. Indikátor 3

(48 cm) mají na anodě napětí 24 kV, větší obrazovky potřebují větší napětí. Na alobal před obrazovkou se přenesou náboj vyvolaný elektrostatickou indukci z anody obrazovky, viz obr. 5 v milém dílu.

Jaké je na naší elektrodě napětí? Značné. Rozhodně nezkoušejte toto napětí měřit bez vysokonapěťové sondy - zničíte měřicí přístroj. Orientační metoda určení velikosti vysokého napětí vychází ze vzdálenosti, při které už dojde k výboji mezi plochými elektrodami. Přibližujeme pomalu elektrody až nastane výboj. Vzdálenost elektrod l , při které začaly výboje, násobíme elektrickou pevností prostředí E_k . U suchého vzduchu je E_k přibližně 2 až 3 kV/mm. Se zvětšující se vlhkostí vzduchu se tato veličina snižuje - k výboji dojde snáze. Platí $U = E_k \cdot l$. Při výboji mezi plochými elektrodami na vzdálenost $l = 3$ mm můžeme odhadnout napětí na 9 000 V. Na vzdálenost přeskočku má vliv také tvar elektrod. Na špičatém hrotu výboj vznikne snáze, což vnáší chybu do odhadu.

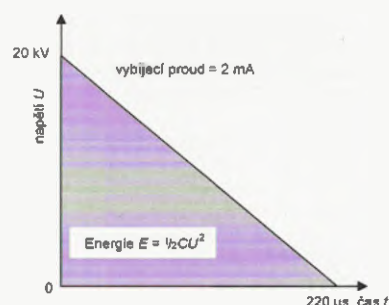
A jakou energii tento zdroj dodá? Proud $I = Q/t$ je tok náboje Q za čas t . Platí také $I = C \cdot U/t$.

Odhadneme-li kapacitu C naší elektrody na obrazovce na 22 pF nabitou na $U = 20$ kV a budeme ji vybíjet konstantním proudem $I = 2$ mA, zmenší se napětí na 0 V podle vztahu $t = C \cdot U/I$ za čas $t = 22 \cdot 10^{-12} \cdot 20 \cdot 10^3 / 0,002 = 0,22$ ms. Stejně rychle by se uvedeným proudem elektroda nabíjela z 0 V na 20 kV. Energie náboje na uvedené kapacitě je $E = 1/2 t U I$, což lze napsat také jako $E = 1/2 C U^2$ a odpovídá velikosti vyřafované plochy na obr. 9.

Rovnoměrná změna napětí na kondenzátoru nastává jen při konstantním proudu, což není častý případ. Častěji je kondenzátor vybíjen do odporové zátěže. Energie odevzdaná do zátěže je stejná, napětí se však mění exponenciálně.

Zbývá mladé čtenáře varovat před zdroji vysokého napětí. Ačkoliv si v těchto experimentech asi okusili drobné píchnutí při kontaktu s vysokým napětím, šlo o velmi malý náboj. Technické zdroje vysokého napětí takové omezení nemají - jsou schopny dodat i při nižších napětích výrazně větší energii, což může být fatální.

VP
(Pokračování příště)



Obr. 9. Vybíjení kondenzátoru 22 pF

JEDNODUCHÁ ZAPOJENÍ PRO VOLNÝ ČAS

Časovač pro modeláře

Tento časovač je určen pro modelářskou praxi, kdy potřebujeme na určitou dobu sepnout elektrické zařízení (zátěž Z).

V přístroji, jehož schéma je na obr. 1, je využíván časovací obvod NE555 (Ic1) zapojený jako monostabilní klopný obvod (MKO). Spínačem Sp se zapíná napájecí napětí, které může být 6 až 12 V.

Po zapnutí se napájecí napětí dostane přes článek R1, C2 na spouštěcí vstup 2 Ic1 a tím se spustí kyv MKO. Během kyvu se přes P1 a R2 nabíjí časovací kondenzátor C3, a když napětí na něm dosáhne rozhodovací úrovně vstupu 6 Ic1, kyv se ukončí. Během kyvu je na výstupu 3 Ic1 vysoká úroveň a sepnutým tranzistorem T1 je do zátěže připojené mezi svorky Z+ a Z- přiváděn proud. Doba kyvu lze trimrem P1 nastavovat v rozmezí 4 až 28 s. Změnou hodnot součástek P1, R2 a C3 je možné nastavit i jinou dobu kyvu.

Probíhající kyv lze kdykoliv ukončit vypnutím spínače Sp. Také další kyv se spouští tímto spínačem, a to jeho vypnutím a opětovným zapnutím. Dióda D1 urychluje vybití kondenzátoru C3 po vypnutí spínače.

Výkonová dióda D2 potlačuje napěťové špičky, které by při vypíná-

ní proudu vznikaly na kolektoru T1 v případě, když by zátěž Z byla indukční (např. elektromotor, cívka relé apod.). Pokud tranzistorem T1 spínáme pouze činnou zátěž (žárovku, topný odpor apod.), můžeme D2 vynechat.

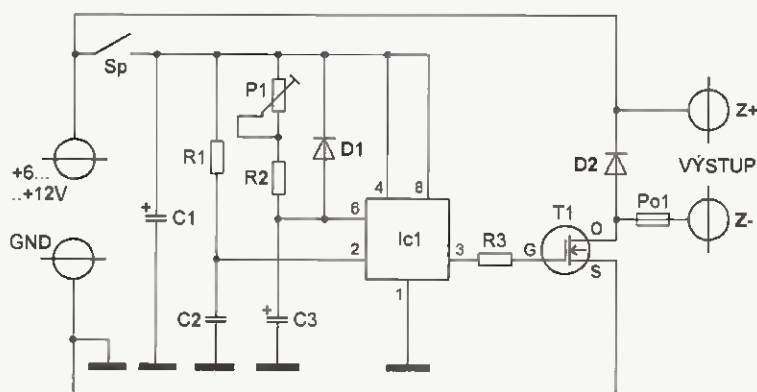
Tranzistor T1 je MOSFET s co nejmenším odporem kanálu, takže ztráta výkonu na něm vznikající je minimální. Proto T1 nemusí mít chladič. Pro spínání proudu do 2 A použijeme T1 typu IRLZ24N, při proudu do 5 A použijeme IRLZ34N, při proudu do 8 A použijeme IRL2203N a při proudu do 12 A použijeme IRL3803N. Uvedené tranzistory je možné obstarat na www.volny.cz/michal.cerny.

Tranzistor T1 je chráněn pojistkou Po1, kterou dimenzujeme podle velikosti spínaného proudu.

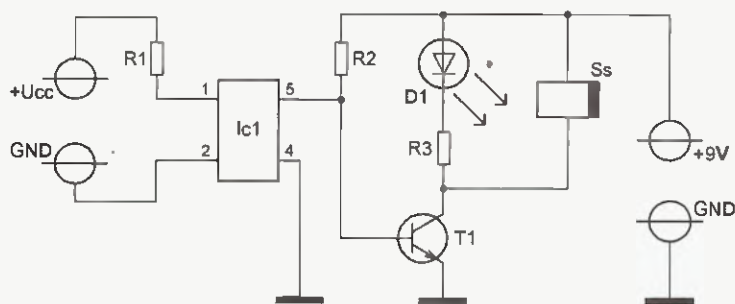
Seznam součástek

R1	1 MΩ, miniaturní
R2	100 kΩ, miniaturní
R3	100 Ω, miniaturní
P1	1 MΩ, trimr
C1	10 μF/25 V
C2	100 nF/63 V, fóliový
C3	22 μF/16 V, tantalový
D1	1N4148
D2	BYW29/200
T1	viz text
Ic1	NE555

Vítězslav Wolf



Obr. 1. Časovač pro modeláře



Obr. 2. Indikátor výpadku napětí

Indikátor výpadku napětí

Popisovaný indikátor je určen pro sledování přítomnosti ss napájecího napětí v elektrických přístrojích. Výpadek napětí je indikován blikající LED a tónem sirény.

Schéma indikátoru je na obr. 2. Sledované napětí U_{CC} se přivádí přes předřadný rezistor R1 na vstup optočlenu 4N25 (Ic1). Ve vybuzeném stavu je výstupem optočlenu uzemňována báze spínacího tranzistoru T1, který je tak udržován ve vypnutém stavu. Blikací LED D1 i samovybuzovací siréna Ss, které jsou zapojeny v kolektorovém obvodu T1, jsou v tom případě v klidu. Při výpadku napětí U_{CC} je na bázi T1 přiváděno přes rezistor R2 kladné napětí, T1 je otevřen a LED D1 i siréna Ss jsou tak uvedeny do činnosti.

Odpor rezistoru R1 závisí na velikosti napětí U_{CC} a vypočteme ho podle Ohmova zákona tak, aby do vstupu optočlenu tekla proud asi $I_{LED} = 5 \text{ mA}$:

$$R1 = (U_{CC} - U_{LED}) / I_{LED} \quad [\Omega; \text{V}, \text{A}],$$

kde U_{LED} je úbytek napětí na LED v propustném směru, který je asi 1,8 V.

Indikátor je napájen napětím 9 V z vlastního napájecího zdroje (z desičkové baterie).

Seznam součástek

R1	viz text, miniaturní
R2	22 kΩ, miniaturní
R3	430 Ω, miniaturní
D1	LED blikací, 2 V/20 mA
T1	BC337-16
Ic1	4N25
Ss	samovybuzovací siréna 9 V

Vítězslav Wolf

Akustický signalizátor nízkého napětí baterie

Popisovaný signalizátor je určen pro sledování stavu devítivoltové desičkové baterie. Pokud je napětí baterie větší než nastavená rozhodovací úroveň (např. 7,5 V), je signalizátor v klidu, při poklesu napětí baterie pod rozhodovací úroveň začne signalizátor periodicky pípat.

Pro vyzkoušení funkce byl zhotoven vzorek signalizátoru na desce s plošnými spoji. Fotografie desky osazené součástkami je na obr. 3.

Popis funkce

Schéma signalizátoru je na obr. 4. Přístroj je napájen napětím 9 V z baterie, jejíž napětí sleduje. Klidový odběr je asi 130 μA , během pípnutí je až 1,5 mA.

Tranzistory T1 a T2 pracují jako komparátor, který porovnává napájecí napětí, zmenšované děličem se součástkami R1, P1 a R2, s referenčním napětím 2,5 V z napěťové reference LM385-2,5 (IO1). Když je na bázi T1 napětí větší než přibližně 2,9 V, jsou T1 a T2 sepnuté a na kolektoru T2 je vysoká úroveň H. Poklesne-li napětí na bázi T1 pod 2,9 V, T1 i T2 vypnou a kolektor T2 přejde do nízké úrovně L. Trimr P1 musí být nastaven tak, aby přechod úrovně z H do L na kolektoru T2 nastal právě tehdy, když napájecí napětí poklesne na zvolenou rozhodovací úroveň, tj. např. na 7,5 V.

Binárním signálem z kolektoru T2 se ovládá generátor periodického pípnutí osazený čtveřicí hradel NAND se Schmittovými klopnými obvody typu 4093 (IO2A až IO2D). Tento generátor se skládá z časovacího multivibrátoru s hradlem IO2B, který časuje pípnutí, a tónového multivibrátoru s hradlem IO2D, který generuje tónový signál pípnutí.

Multivibrátor s hradlem IO2B poskytuje na svém výstupu 4 IO2B obdélníkový signál s periodou asi 4,5 s, přičemž nízká úroveň tohoto signálu trvá jen asi 150 ms. Je toho dosaženo pomocným rezistorem R7 s diodou D2, který zajišťuje rozdílnou dobu vyblížení a nabíjení časovacího kondenzátoru C4. Tento multivibrátor se spouští signálem z kolektoru T2 vedeným přes inverter s hradlem IO2A na ovládací vstup 5 IO2B. Multivibrátor kmitá pouze tehdy, když je na vstupu 5 IO2B úroveň H, tj. když napájecí napětí poklesne na rozhodovací úroveň a na kolektoru T2 je úroveň L.

Signálem v úrovni L z výstupu 5 IO2B je přes inverter IO2C spouštěn tónový multivibrátor s IO2D. Kmito-

Obr. 3.
Deska se součástkami akustického signalizátoru nízkého napětí baterie



čet tónu je určován hodnotami součástek C5 a R9 a je asi 4 kHz. K výstupu tohoto multivibrátoru je připojen piezoměnič SP1, který vydává akustický signál.

Konstrukce a oživení

Signalizátor je zkonstruován z vývodových součástek na desce s jednostrannými plošnými spoji. Obrázec spojů je na obr. 5, rozmístění součástek na desce je na obr. 6.

IO2 je vložen do objímky, aby jej bylo možné použít i v jiných zapojeních. Na desce je jedna drátová propojka zhotovená z odstříhnutého vývodu rezistoru.

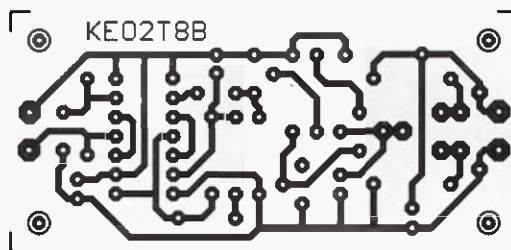
Realizovaný vzorek pracoval na první zapojení. Při ožívání je pouze nutné nastavit trimrem P1 požadovanou rozhodovací úroveň. Na vstup signalizátoru připojíme napájecí na-

pětí z laboratorního regulovatelného zdroje, které má velikost zvolené rozhodovací úrovně. K výstupu 3 IO2A připojíme osciloskop nebo logickou sondu, popř. ručkový voltmetr. Trimr P1 nastavíme na levý doraz, aby na vývodu 3 IO2A byla úroveň L. Pak otáčíme trimrem doprava až do okamžiku, ve kterém přejde úroveň na vývodu 3 IO2A z L do H. Tím je nastavení dokončeno. Následně ještě zkontrolujeme, že pípá piezoměnič SP1. S hodnotami součástek podle schématu lze trimrem P1 nastavit rozhodovací úroveň v rozmezí 6,5 až 12,9 V.

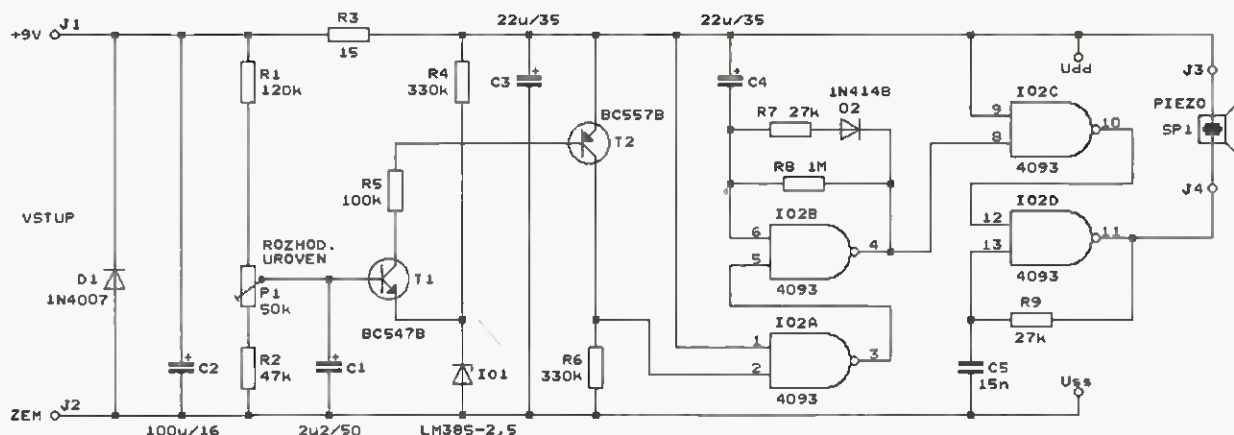
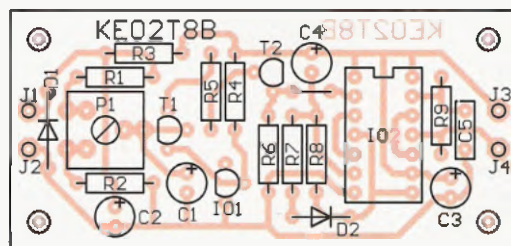
Vzorek signalizátoru byl důkladně vyzkoušen a proměřen, naměřené údaje jsou uvedeny v předcházejícím textu.

Signalizátor připojíme mezi kladnou napájecí sběrnici a zem přístroje

Obr. 5.
Deska s plošnými spoji akustického signalizátoru nízkého napětí baterie (měř.: 1 : 1)



Obr. 6.
Rozmístění součástek na desce akustického signalizátoru nízkého napětí baterie



Obr. 4. Akustický signalizátor nízkého napětí baterie

napájeného devítivoltovou baterií, jejíž stav sledujeme.

Seznam součástek

R1	120 kΩ/0,6 W/1 %, metal.
R2	47 kΩ/0,6 W/1 %, metal.
R3	15 Ω/0,6 W/1 %, metal.
R4, R6	330 kΩ/0,6 W/1 %, metal.
R5	100 kΩ/0,6 W/1 %, metal.
R7, R9	27 kΩ/0,6 W/1 %, metal.
R8	1 MΩ/0,6 W/1 %, metal.
P1	50 kΩ, trimr ležatý, 10 mm (PT10V)
C1	2,2 μF/50 V, radiální
C2	100 μF/16 V, radiální
C3, C4	22 μF/35 V, radiální
C5	15 nF/J/100 V, fóliový
D1	1N4007
D2	1N4148
T1	BC547B
T2	BC557B
IO1	LM385Z-2.5 (TO92)
IO2	4093 (DIL14)
precizní objímka DIL14	(1 kus)
SP1	piezoreproduktor
deska s plošnými spoji č. KE02T8B	

Radioelektronik Audio-HiFi-Video, 4/1998

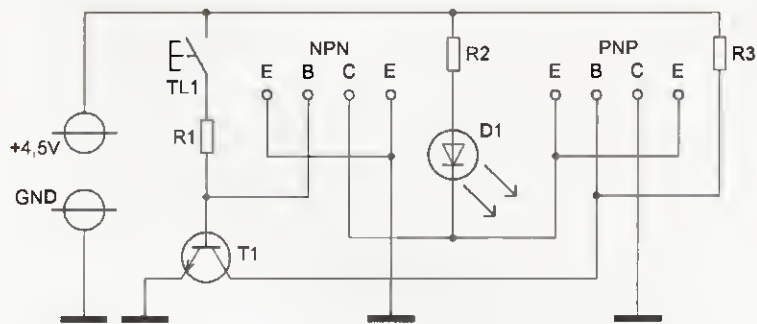
Tester bipolárních tranzistorů

Tímto testerem lze zkontrolovat, zda jsou bipolární tranzistory obou polarit (NPN i PNP) v pořádku (nepřoražené).

Schéma testeru je na obr. 7. Zkoušený tranzistor NPN zasuneme do objímky NPN a stisknutím tlačítka TL1 přivedeme přes rezistor R1 na jeho bázi kladné napětí. Je-li tranzistor dobrý, sepne a rozsvítí se LED D1.

U zkoušeného tranzistoru PNP zasunutého do objímky PNP se po stisknutí tlačítka TL1 přivede na jeho bázi přes pomocný tranzistor T1 potenciál země, na úroveň země poklesne i napětí na emitoru zkoušeného tranzistoru a rovněž se rozsvítí LED D1.

Jsou-li zkoušené tranzistory přoražené, rozsvítí se LED D1 ihned po zasunutí tranzistoru do objímky. LED se ovšem ihned rozsvítí i tehdy, když do objímky zasuneme tranzistor opačné polarity (např. do objímky NPN tranzistor PNP). Když je zkoušený tranzistor přerušovaný, nerozsvítí se LED ani po stisknutí tlačítka.



Obr. 7. Tester bipolárních tranzistorů

Tester je napájen ss napětím 4,5 V ze tří suchých článků.

Seznam součástek

R1	56 kΩ, miniaturní
R2	1,6 kΩ, miniaturní
R3	3,9 kΩ, miniaturní
D1	LED, 1,9 V/2 mA
T1	BC548B

Vítězslav Wolf

Měnič DC/DC zdvojující napětí

Nemáme-li zrovna po ruce speciální integrovaný obvod pracující na principu nábojové pumpy, můžeme měnič DC/DC zdvojující malé ss napětí snadno realizovat s časovačem 555 podle schématu na obr. 8.

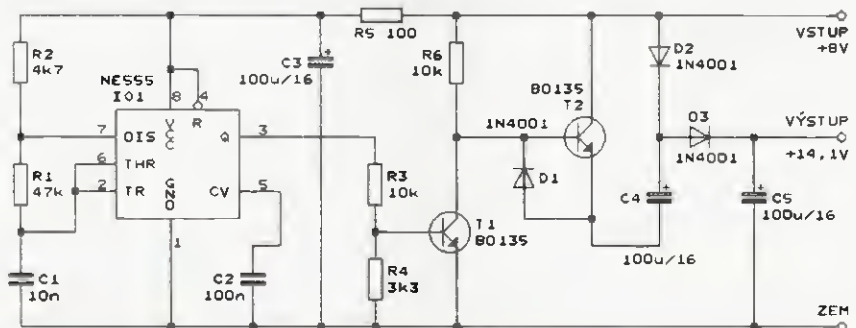
Měnič je tvořen generátorem, který mění ss vstupní napětí na obdélníkové střídavé napětí, a zdvojujícím usměrňovačem, který z tohoto střídavého napětí odvozuje výstupní ss napětí o velikosti přibližně 2x větší než vstupní napětí.

Výkonový generátor je tvořen multivibrátorem s časovačem 555 (IO1) a výkonovým zesilovačem proudů s tranzistory T1 a T2. Kmitočet multivibrátoru je určen především hodnotami součástek R1 a C1 a je asi 10 kHz. Střída generovaného obdélníkového signálu je přibližně 1 : 1.

Signálem z multivibrátoru je buzen spínací tranzistor T1. Rezistor R3 definuje proud báze T1, R4 zajišťuje dokonalé uzavření T1 při nízké úrovni budicího signálu. Napětím z kolektoru T1 je ovládán emitorový sledovač s tranzistorem T2.

Když je T1 sepnutý, nabije se C4 zdvojujícího usměrňovače proudem tekoucím přes D2, D1 a T1. Když je T1 vypnutý, vybije se C4 přes aktivní T2 a D3 do výstupního vyhlazovacího kondenzátoru C5. Protože při vybíjení je C4 spojen přes T2 se vstupní napájecí sběrnici, objeví se na C5 přibližně dvojnásobek vstupního ss napětí (zmenšený o úbytek napětí na součástkách D1, D2, T1 a T2). Účinnost měniče je asi 80 %. Lze odebrat proud řádu jednotek mA.

Radioelektronik Audio-HiFi-Video, 1/2007



Obr. 8. Měnič DC/DC zdvojující napětí

**PRAKTICKÁ
ELEKTRONIKA**
A Radio

PŘIPRAVUJEME
do příštích čísel

**RADIO KONSTRUKČNÍ
ELEKTRONIKA**
A Radio

Přijímač signálu z meteosatellitu NOAA - APT137
• Ročník 2009 na CD ROM • Vyhlášení nového ročníku Konkursu PE 2010 • Dálkový ovladač 433 MHz • Termostat pro ohřev desek s plošnými spoji • Sinusový blikáč

Tématem čísla 1/2010, které vychází začátkem února 2010, je aplikace procesoru ATmega644 v algoritmech číslicového zpracování signálu (DSP). Je popisována konstrukce několika přípravků a jejich využití při DSP

Dálkově řízená meteostanice

Martin Holain

Tento článek vychází z mé bakalářské práce a je popisem návrhu bezdrátové domácí meteorologické stanice a její technické realizace. Inspirací k tomuto projektu byla myšlenka vytvořit vlastní domácí měřicí systém s optimálními vlastnostmi a funkcemi pro použití v místě mého bydliště. Důležitou vlastností meteostanice je možnost rozšiřování o nové měřicí prvky a funkce bez nutnosti složitých zásahů do základních elektronických částí systému.

V současné době je na trhu nabízeno velké množství domácích meteostanic v různých cenových kategoriích. Zařízení, která by splňovala mé požadavky na funkce, jsou však velmi nákladná a navíc mají několik nevýhod. První nevýhodou většiny komerčně vyráběných domácích meteostanic je displej omezený na zobrazení pomocí několika segmentů. Složitější operace s naměřenými údaji je možné uskutečňovat až po připojení meteostanice k počítači, navíc mnohdy jen prostřednictvím sériového portu. Toto rozhraní v dnešní době postrádá většina nově vyrobených PC a je nutné použít převodník pro sběr-

nici USB. Pro přenos dat z této meteostanice do počítače by měl sloužit bezdrátový komunikátor velikosti přívěsku na klíče, připojitelný a napájený z USB sběrnice.

Velkým rozdílem od komerčních produktů by měla být možnost rozsáhlejšího zpracování naměřených dat přímo v přístroji. Proto je v tomto zařízení požadován velký grafický displej. Důležitým výchozím bodem projektu je také co nejnižší cena prototypu celého zařízení při použití dostatečně kvalitních a přesných měřicích prvků.

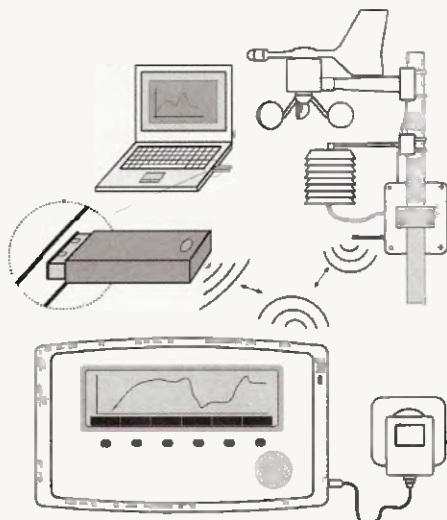
Představa a vlastní návrh

V této kapitole je popsán návrh meteostanice, výčet předpokládaných a požadovaných vlastností a také přiblížení představy o koncepci všech zařízení.

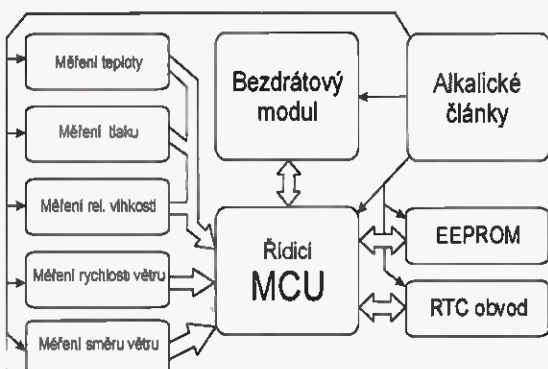
Návrh meteostanice na úrovni funkčních bloků

Systém meteostanice byl navržen jako 4 samostatné díly, které spolu navzájem komunikují (viz obr. 1).

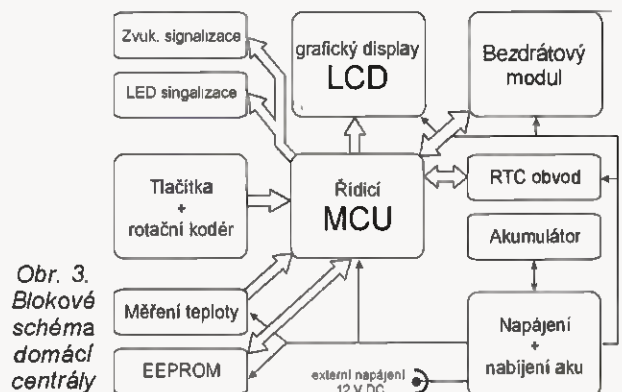
Všechny hardwarové možnosti, kterými meteostanice disponuje, jsou zobrazeny na následujících blokových schématech (viz obr. 2 až 4). Z těchto blokových schémat si lze



Obr. 1. Vizualní a systematický návrh celého zařízení



Obr. 2. Blokové schéma měřicí stanice



Obr. 3. Blokové schéma domácí centrály



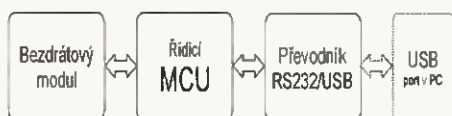
jednoduše představit princip činnosti všech zařízení. Vlastní funkce, ovládání, způsob komunikace jednotlivých prvků mezi sebou, komunikace s uživatelem a ostatní vlastnosti jsou závislé na řídících programech mikrokontrolérů (MCU).

Venkovní měřicí stanice

Toto zařízení je srdcem celého systému. Měřicí stanice umístěná v otevřeném prostranství zaznamenává hodnoty všech měřených veličin a zasílá je domácí centrále. V případě poruchy či odstávky domácí centrály jsou naměřená data dočasně uchovávána v paměti měřicí stanice. Toto zařízení oboustranně komunikuje s domácí centrálou.

Domácí centrála

Tato část systému je navržena jako nástěnné zařízení, napájené bezpečným síťovým adaptérem. Pro případ krátkodobého odpojení vnějšího napájení bude přístroj napájen z vnitřních akumulátorů. Centrála bezdrátově komunikuje s vnější stanicí a přijímá z ní uložená a aktuální naměřená data. Pro komunikaci s uživatelem byl navržen velký, přehledný grafický displej, tlačítka a rotační kodér, který je předpokladem pro rychlou a jednoduchou obsluhu zařízení. Centrála bude také komunikovat a předávat si data s USB komuniká-



Obr. 4. Blokové schéma USB komunikátoru

torem, který dále předá data obslužnému programu v počítači.

USB komunikátor

Komunikátor je navrhnut jako v dnešní době tak moderní USB „klíčenka“, která má za úkol přijímat data z centrály a meteorostanice a předávat je přes sběrnici USB příslušnému programu a naopak.

Obslužný program pro PC

Základními předpoklady programu jsou zobrazení a archivace dat, jejich zpracování ve formě grafů a tabulek, a dále sdílení dat v síti internet.

Základní vlastnosti zařízení

V této podkapitole je uveden výčet požadovaných vlastností a funkcí všech částí systému.

Venkovní měřicí stanice:

- Měření základních meteorologických veličin:
 - měření teploty vzduchu,
 - měření relativní vlhkosti vzduchu,
 - měření atmosférického tlaku,
 - měření rychlosti proudění vzduchu,
 - určování směru proudění vzduchu.
- Automatické měření a odeslání dat v přednastaveném intervalu a případná archivace naměřených údajů přímo ve venkovní stanici.
- Bateriové napájení venkovní stanice.
- Nízká spotřeba zařízení, zaručující dlouhodobý provoz.
- Obousměrná bezdrátová komunikace s domácí centrálou a USB komunikátorem.

Domácí centrála:

- Nástěnná domácí centrála s externím napájením pomocí síťového adaptéru.
- Přehledný grafický displej pro zobrazení všech potřebných údajů.
- Ovládání pomocí několika tlačítek a rotačního kodéru.
- Obousměrná bezdrátová komunikace s venkovní stanici.
- Příjem aktuálně naměřených hodnot a archivovaných dat z venkovní stanice v pravidelných časových intervalech.
- Zobrazení aktuálních hodnot měřených veličin.
- Měření, zobrazování a archivace vnitřní teploty.
- Zobrazení a zpracování všech měřených a archivovaných hodnot, zobrazování grafů, průběhy naměřených

veličin v časových úsecích (hodina, n-hodin, noc, den), průměrování hodnot, porovnávání apod.

- Záložní akumulátory s dobíjením pro krátkodobý chod centrály bez přítomnosti vnějšího napájení.
- Obousměrná bezdrátová komunikace s PC pomocí USB komunikátoru.
- Pomocné aplikace a funkce:
 - zobrazení času a budík,
 - kalendář,
 - zobrazení stavu baterie venkovní stanice,
 - zobrazení stavu akumulátorů domácí centrály,
 - indikace komunikace se stanicí a USB komunikátorem.

USB komunikátor:

- Obousměrná bezdrátová komunikace s domácí centrálou a měřicí stanicí.
- Přenos dat do PC pro dlouhodobé archivování a zpracování obslužným programem.

Obslužný program pro PC:

- Zobrazování aktuálně naměřených hodnot.
- Ukládání dat z měřicí stanice a domácí centrály.
- Větší možnosti zpracování naměřených dat, porovnávání grafů, úprava, komentování, export dat.
- Komunikace přes síť internet - zobrazování aktuálně naměřených dat na webu, zasílání dat z meteorologických serverů zpět do centrály a následně zobrazení na displeji LCD (předpovědi, varování).

Možnosti realizace zařízení

V následující kapitole jsou popsány klíčové funkční bloky, které jsou použity v navržených zařízeních. Účelem tohoto popisu je seznámení s možnostmi použití rozličných prvků a součástí při konstrukci zařízení, jejich porovnání a také výběr nejvhodnější varianty pro použití v této meteorostanici.

Bezdrátový přenos

Bezdrátový přenos je klíčovou vlastností celého systému. Každé ze tří elektronických zařízení jej musí obsahovat. Na výběr vhodného bezdrátového prvku byl kladen velký důraz. Tato komponenta určí kvalitu celého systému a hlavně výrazně ovlivní jeho cenu. Základním krokem je výběr vhodného frekvenčního pásma bezdrátového přenosu. Vysílací pásma a podmínky pro provoz zařízení krátkého dosahu určených k telemetrii a dálkovému řízení v ČR určuje všeobecné oprávnění č. VO-R/10/03.2007-4 vydané Českým telekomunikačním úřadem [9]. Pro bezdrátový přenos informací z meteorostanice jsou vhodná

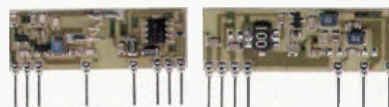
pásma 433 MHz, 868 MHz a 2,4 GHz. Na našem trhu je nabízeno mnoho vř modulů pracujících ve výše zmíněných pásmech, avšak vzhledem k ceně a ke kusové dostupnosti těchto prvků přišly v úvahu pouze dvě možnosti.

První variantou je použití některého z rozsáhlé řady hybridních vř modulů pracujících v pásmech 433 či 868 MHz od firmy Aurel [3], které jsou u nás běžně v prodeji ve specializovaných prodejnách (viz obr. 5). Jejich cena je přijatelná v poměru k ceně celé meteorostanice, ovšem mají pro tuto aplikaci mnoho nevýhod. Každý modul je určen buď pro vysílání nebo příjem, což znamená nakoupení a použití 6 modulů (dva do každého zařízení). Dále je velkou nevýhodou nutnost použít vlastní protokol k přenosu dat, ošetření chyb a kódování, což by s sebou přineslo mnoho práce při vývoji řídicích programů jednotlivých částí meteorostanice. Další nevýhodou je větší rozměr, který navíc při dvou kusech modulů výrazně ovlivní velikost a celkovou koncepci USB komunikátoru.

Druhou možností je použít integrovaný vř datový transceiver pro pásmo 433 MHz, 868 MHz nebo 2,4 GHz od Nordic Semiconductor. U těchto modulů lze hovořit jen o výhodách. Miniaturní provedení a nutnost jen několika málo externích součástek umožní realizovat celý modul na ploše max. 2 cm². Jejich pořizovací cena je zhruba poloviční než cena jediného modulu Aurel a jsou v ČR dostupné i v kusovém množství. Zajímavostí jsou verze obvodů s mikrokontrolérem jádra 8051 integrovaným na čipu. Srovnání vhodných obvodů firmy Nordic Semiconductor popisuje tab. 1. Pro aplikaci v meteorostanici byl vybrán typ nRF905 [4]. V pouzdře QFN32 tohoto IO (viz obr. 6) je realizován obousměrný vř transceiver pracující v pásmech 433/868/915 MHz.

Základní parametry udávané výrobcem:

- kompletní jednočipový GMSK transceiver v pouzdře QFN32,
- patentovaný režim „ShockBurst“ pro snížení spotřeby,
- napájecí napětí 1,9 až 3,6 V,
- provoz na různých kanálech - kompatibilní s normami ETCI a FCC,
- přepnutí kanálu za méně než 650 μ s,
- nastavitelný výst. výkon do 10 dBm,
- detekce nosné,
- indikace příjmu a vysílání,
- automatické opakování přenosu dat,
- automatické generování CRC,
- malá spotřeba proudu při vysílání i příjmu.

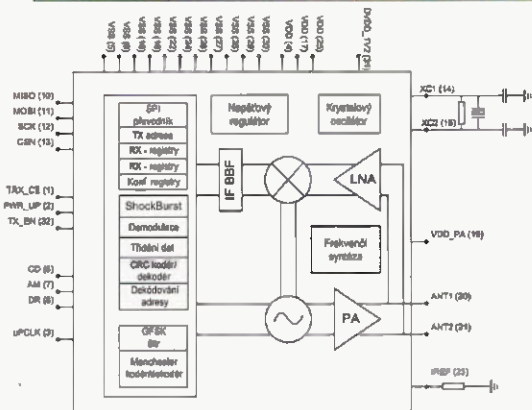


Obr. 5. Vysílací a přijímací modul Aurel 433 MHz

Tab. 1. Porovnání obvodů z nabídky firmy Nordic Semiconductor

Označení	nRF905	nRF9E5	nRF24L01	nRF24LU1
Napájení	1,9 – 3,6 V	1,9 – 3,6 V	1,9 – 3,6 V	4,0 – 5,5 V
Pásmo	433, 868, 915 MHz	433, 868, 915 MHz	2,4 GHz	2,4 GHz
MCU	-	8051 komp.	-	8051 komp.
Pouzdro	QFN32	QFN32	QFN32	QFN32
Cena ⁽¹⁾	135 Kč	165 Kč	90 Kč	165 Kč

(1) Ceny k 12. 5. 2009



Obr. 6. Blokové schéma obvodu nRF905 a jeho provedení v pouzdře QFN32

Obvod se skládá z integrovaného frekvenčního syntezátoru, výkonového zesilovače, modulátoru a přijímače. Veškeré parametry jako kmitočet, výstupní výkon a jiné vř parametry se nastavují programově přes SPI sběrnici, pomocí které celý obvod komunikuje s mikrokontrolérem. Programovým nastavením výstupního výkonu a pomocí několika pracovních režimů lze snadno regulovat spotřebu celého obvodu. Tento IO je speciálně určen pro dlouhodobé napájení z tužkových článků a jiných miniaturních zdrojů elektrické energie. Obvod je tedy ideální pro použití v meteostanici, kde je spotřeba velmi důležitý parametr.

Mezi základní aplikace doporučené výrobcem patří bezdrátová komunikace, alarmy, domácí automatizace, dálkové ovládání, vzdálený dohled, automobilové aplikace, telemetrie, průmyslové senzory, hračky a jiné. Pro použití v projektu bezdrátové meteostanice, ale také i pro použití v jiných aplikacích byl navrhnout malý modul, jehož popis je v kapitole Konstrukce.

Řídící mikrokontrolér

Mikrokontrolér je srdcem všech tří elektronických zařízení, ze kterých se celý systém skládá. V dnešní době se tyto speciální IO rozšířily do všech oblastí vývoje elektronických zařízení. Mikrokontroléry dnes vyrábí mnoho firem jako například Atmel [1], Freescale Semiconductor [2], Microchip, Analog Device, Toshiba, ST, Texas Instruments. Pro použití v meteostanici byly podle potřebných parametrů vybrány tři nejrozšířenější a běžně dostupné mikrokontroléry. Srovnání jejich parametrů je uvedeno v tab. 2. Ve všech třech případech se

jedná o 8bitové mikrokontroléry s architekturou RISC, tedy s redukovanou instrukční sadou. Vlastnosti i ceny těchto komponent jsou velmi vyrovnané a rozhodnutí nad volbou spočívá především ve zvyklostech a znalostech konstruktéra. Pro použití v meteostanici byl výběr zúžen na mikrokontroléry řady AVR od firmy Atmel. Pro řízení měřicí stanice byl původně vybrán nejjednodušší typ rodiny ATmega, a to konkrétně typ ATmega8L. S postupným vývojem zařízení se ukázal jako nevyhovující z důvodu nedostatečného množství vstupně-výstup-

Tab. 2. Porovnání nejdůležitějších parametrů vhodných mikrokontrolérů

Označení	ATmega16L	PIC18F242	MC908AP16
Výrobce	Atmel	Microchip	Freescale
Napájení	2,7 – 5,5 V	2,0 - 5,5 V	2,7 – 5,5 V
FLASH paměť	16 kB	16 kB	16 kB
RAM	1024 B	768 B	1024 B
EEPROM	512 B	256 B	--
A/D převodníky	8 x 10-bit	5 x 10-bit	8 x 10-bit
Čítače-časovače	2 x 8-bit, 1 x 16bit	2 x 8-bit, 2 x 16-bit	2 x 16-bit
Počet I/O pinů	32	28	32
Pouzdro	TQFP-44	TQFP-44	LQFP-44
Cena ⁽¹⁾	105 Kč	135 Kč	137 Kč

Tab. 3. Porovnání nejdůležitějších parametrů použitých mikrokontrolérů

Označení	ATmega128	ATmega16L	ATmega8L
Flash paměť	128 kB	16 kB	8 kB
EEPROM	4 kB	512 B	512 B
Počet I/O pinů	53	32	23
A/D převodníky	8 x 10-bit	8 x 10-bit	8 x 10-bit
Čítače-časovače	2 x 8-bit, 2 x 16-bit	2 x 8-bit, 1 x 16-bit	2 x 8-bit, 1 x 16-bit
Zvolené pouzdro	TQFP-64	TQFP-44	TQFP-32
Napájení	4,5 – 5,5 V	2,7 – 5,5 V	2,7 – 5,5 V

ních portů. Tento typ byl tedy nahrazen mikrokontrolérem ATmega16L.

Pro použití v USB komunikátoru zůstal typ ATmega8L, který v této aplikaci vyhovuje jak z hlediska počtu portů, tak i z hlediska velikosti paměti Flash. Důležitá pro toto zařízení je také malá velikost pouzdra.

Při výběru mikrokontroléru pro domácí centrálu byly zvažovány nejvyšší typy rodiny ATmega. S ohledem na poměr cena/výkon byl vybrán typ ATmega128. Velká paměť programu byla zvolena kvůli náročné obsluze grafického displeje a následným úpravám, zpracováním a zobrazení naměřených dat. V tomto zařízení jsou nároky na mikrokontrolér největší. Řídící obvod musí pravidelně komunikovat s bezdrátovým modulem, posílat a přijímat data z venkovní stanice. Dále musí data ukládat, zobrazovat aktuální veličiny na displeji, komunikovat s uživatelem, zobrazovat a zpracovávat data podle příkazů uživatele. Dalším zatížením obvodu je komunikace s USB komunikátorem a obsluhým programem v PC.

Měření teploty a vlhkosti

Základní veličinou popisující stav ovzduší je teplota. Její přesné měření se výrazně podílí na kvalitě meteostanice. Na českém trhu s elektronickými komponentami je nabízena řada miniaturních teplotních čidel. Pro použití v meteostanici byly vybrány 4 senzory, jejichž porovnání je uvedeno v tab. 4. Dalším důležitým prvkem je snímač relativní vlhkosti vzdu-

Tab. 4. Porovnání parametrů snímačů teploty

Označení	LM35	DS18S20	SMT 160-30	SHT71
Výrobce	National Semi.	Maxim	Smartec	Sensirion
Napájení	4 – 20 V	3 – 5,5 V	4,75 – 7 V	2,4 - 5,5 V
Spotřeba ⁽¹⁾	60 μ A (-)	1,5 mA (1 μ A)	200 μ A (-)	1 mA (1 μ A)
Měř. rozsah	-55 až +150 °C	-55 až +125 °C	-45 až +150 °C	-40 až +125 °C
Přesnost ⁽²⁾	$\pm 0,5$ °C	$\pm 0,5$ °C	$\pm 0,7$ °C	$\pm 0,4$ °C
Výstup	napětový	1-Wire®	PWM	digitální (2vodiče)
Cena ⁽³⁾	145 Kč	71 Kč	83 Kč	560 Kč

Tab. 5. Porovnání parametrů snímačů relativní vlhkosti

Označení	2381 691	SHT71	HIH-4031-001
Výrobce	Wishay	Sensirion	Honeywell S&C
Napájení	max. 15 V	2,4 - 5,5 V	4 - 5,8 V
Spotřeba ⁽¹⁾	-	1 mA (1 μ A)	500 μ A (-)
Měř. rozsah	10 – 90 % RV	0 – 100 % RV	0 – 100 % RV
Přesnost ⁽²⁾	-	± 3 % RV	$\pm 3,5$ % RV
Výstup	kapacitní	digitální (2vodiče)	napětový
Cena ⁽³⁾	375 Kč	560 Kč	650 Kč

⁽¹⁾ Spotřeba v aktivním režimu - (v režimu spánku)

⁽²⁾ Přesnost v rozsahu 10 až 90 % relativní vlhkosti

⁽³⁾ Ceny k 12.05.2009

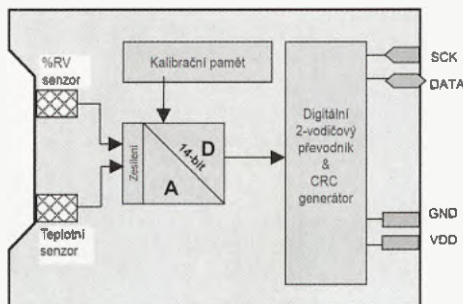
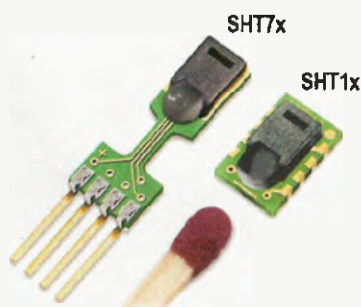
chu. Sortiment těchto komponent není tolik rozšířený jako u teplotních čidel. Z dostupných typů byly vybrány tři vhodná čidla, jejichž parametry jsou uvedeny v tab. 5.

Pro použití čidla v měřicí stanici jsou kromě měřicího rozsahu a přesnosti také důležitými parametry rozsah napájecího napětí a vlastní spotřeba. Z důvodů bateriového napájení dvěma alkalickými články je nutné použít čidlo s napájecím napětím 3 V a méně. Pro použití čidla v domácí centrále nejsou spotřeba a rozsah napájecího napětí tolik rozhodující. Dalším důležitým parametrem je formát výstupu dat z čidla. Z hlediska miniaturizace, přesnosti měření a vlivu velkého rozptýlu okolní teploty je výhodnější použít čidlo s digitálním výstupem.

Po zvážení všech uvedených parametrů se ukázalo jako nejvhodnější použít kombinované čidlo SHT71 [5] od firmy Sensirion (viz obr. 7).

SHT71 je kalibrované čidlo teploty a relativní vlhkosti s dvou vodičovým digitálním výstupem, založené na technologii CMOSens®. K jeho hlavním výhodám patří dlouhodobá teplotní stabilita, miniaturní rozměry, aplikace bez použití externích součástek a nízká spotřeba.

Pro měření teploty v domácí centrále bylo vybráno čidlo DS18S20 [6] firmy Maxim, které nabízí výrobce v kusovém množství jako vzorky zdarma. Jedná se o teplotní čidlo s digitálním jednovodičovým výstupem s rozlišením 9 bitů. Každý vyrobený kus má ojedinělý 64bitový sériový kód uložený v paměti ROM, který odesílá po jednovodičové sběrnici řídicímu mikrokontroléru. Lze tedy použít několik čidel na jedné sběrnici (jednom vodiči). Čidlo je vyráběno v pouzdrech TO-92 a SO-8 a lze je aplikovat bez použití externích součástek. K dalším zajímavostem patří uživatelsky nastavitelné teplotní alarmy.



Obr. 7. Vývodová a bezvývodová varianta čidla SHT7xx a jeho blokové schéma

Měření atmosférického tlaku

Senzorů pro měření tlaku není na našem trhu mnoho, proto bylo přihlíženo i k sortimentu zahraničních distributorů elektronických součástek. Porovnání parametrů tří dostupných čidel obsahuje tab. 6. Pro použití v měřicí stanici bylo vybráno čidlo z rozsáhlé nabídky firmy Freescale Semiconductor. Tato běžně dostupná čidla jsou často využívána v řadě amatérských konstrukcí - např. výškoměrů a barometrů.

Výhodou pro použití v této meteorostanici je také jeho dostupnost v několika kusech zkušebních vzorků nabízených výrobcem. Z celé řady tlakových čidel byl vybrán typ MP3H6115A [7], což je absolutní, teplotně kompenzované tlakové čidlo v pouzdru SSOP s integrovaným operačním zesilovačem na čipu. Čidlo je tvořeno odporovou sítí vyrobenou na polovodičovém čipu, která je rozvažována mechanickým prohnutím čipu. Výstupní signál tvoří napětí přímo úměrné atmosférickému tlaku (viz obr. 8) a díky integrovanému operačnímu zesilovači lze výstup čidla přímo připojit k analogově-digitálnímu převodníku řídicího mikrokontroléru.

Měření rychlosti a směru proudění vzduchu

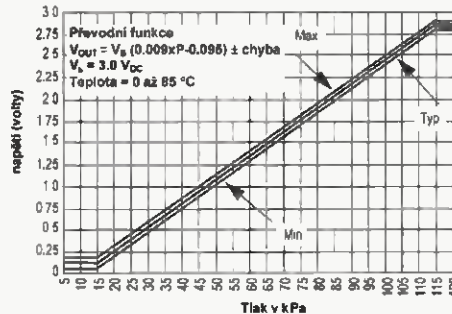
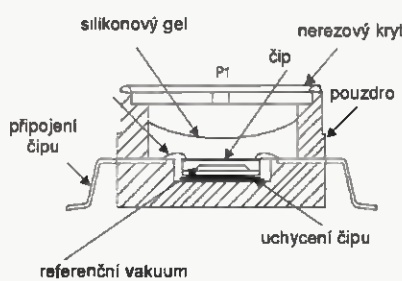
Anemometr (z řeckého „ánemos“ - vítr) je odborný název pro měřič proudění vzduchu. Tyto měřicí prvky jsou po mechanické stránce nejnáročnější částí měřicí stanice. Samostatné anemometry bez řídicí elektroniky nejsou na trhu dostupné. Prodávají se jen ruční, přenosné měřiče či náhradní anemometry k větším měřicím systémům, které jsou však příliš nákladné. Jedinou, finančně vhodnou možností je vlastní výroba anemometru. Vzhledem k dlouhodobé spolehlivosti a zhoršeným provozním podmínkám není výroba takového zařízení jednoduchá.

Na internetu a v odborných publikacích bylo zveřejněno několik takovýchto konstrukcí. Pro určení rychlosti větru se využívají především miskové anemometry. Rychlost větru je přímo úměrná rychlosti otáčení rotační části s miskami. Měření rychlosti je realizováno měřením počtu impulsů za určitý časový interval a následným výpočtem. Impulzy pro měření rychlosti lze vytvořit pomocí magnetického spínače a permanentního magnetu, upevněného na rotující části anemometru. Ideální délka intervalu čítání impulsů je 3 až 5 s. Měření směru proudění vzduchu lze realizovat otočným štítem. K určení jeho polohy se standardně využívají absolutní optické snímače polohy v binárním či Grayově kódu. Na obr. 9

Tab. 6. Porovnání parametrů tlakových snímačů

Označení	ASDX015D44R	SCC15AD2	MP3H6115A
Výrobce	Honeywell S&C	SenSym	Freescale
Napájení	4,75 – 5,25 V	max. 12 V	2,7 – 3,3 V
Spotřeba	6 mA	1,5 mA	4 až 8 mA
Měř. rozsah	0 – 104 kPa	0 – 104 kPa	15 – 115 kPa
Teplotní rozsah	-20 až +105 °C	-40 až +85 °C	-40 až +125 °C
Teplotní kompenzace	0 až +85 °C	0 až +50 °C	-40 až +125 °C
Přesnost	2 %	± 2 %	± 1,5 %
Výstup	I ² C	napěťový	napěťový
Cena ⁽¹⁾	1130 Kč	620 Kč	280 Kč

⁽¹⁾ Ceny k 12. 05. 2009



Obr. 8. Vnitřní uspořádání čidla MP3H6115A a závislost výstup. napětí na tlaku

Tab. 7. Porovnání nejdůležitějších parametrů vhodných RTC obvodů

Označení	DS1306	RTC8564JE	PCF8593T
Výrobce	Maxim	Epson	Philips
Napájení	2,0 – 5,5 V	1,8 – 5,5 V	2,5 – 6 V
Spotřeba ⁽¹⁾	1,28 mA (550 nA)	1 mA (275 nA)	3 mA (1µA)
Teplotní rozsah	-40 až +85 °C	-30 až +70 °C	0 až +70 °C
Vlastnosti	hodiny/kalendář	hodiny/kalendář	hodiny/kalendář
Vnitřní alarm	2x	1x	1x
Komunikace	SPI	I ² C	I ² C
Cena ⁽²⁾	120 Kč	70 Kč	60 Kč

⁽¹⁾ Spotřeba v aktivním režimu - (v režimu spánku)

⁽²⁾ Ceny k 12.05.2009

je zobrazeno stínítko pro 4bitový snímaní polohy. Čtyři fotoelektrické prvky (nejčastěji pár diody LED s fototranzistorem) zjišťují průchod světla rotujícím stínítkem. Použitím 4bitového snímaní (4 stopy na stínítku a 4 foto-prvky) lze určit polohu v 16 krocích. Výsledný krok úhlu natočení 22,5° je zcela dostačující.

RTC

Pro archivaci dat je nutný záznam aktuálního času a data. Nejjednodušší a nejkvalitnější řešení spočívá v použití RTC obvodu. Zkratka RTC znamená Real Time Clock, neboli hodiny reálného času. Na trhu se objevuje velké množství obvodů od firem Epson, ST Semiconductor či Dallas Semiconductor. Většina těchto obvodů svými parametry dostačuje

Obr. 9. Stínítko pro 4bitový absolutní snímač polohy

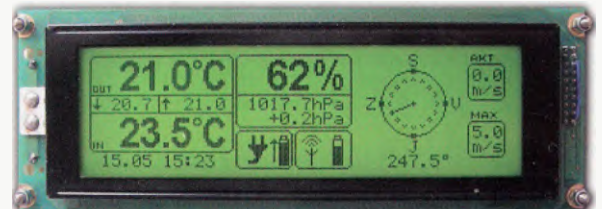


pro použití v meteostanici. Parametry tří z nejdostupnějších obvodů popisuje tab. 7. Důležitými parametry jsou rozsah napájecího napětí, rozsah provozních teplot a především co nejmenší spotřeba v neaktivním režimu. Pro venkovní měřicí stanici i domácí centrálu byl vybrán obvod RTC-8564 [8] od firmy Epson. Obvod v pouzdře VSOJ 20 obsahuje kompletní časovač sekund, minut, hodin, dní, měsíců, roků a dnů v týdnu. Disponuje výstupy uživatelsky definovatelného kmitočtu a výstupem přerušení pro nastavené alarmy. Komunikace s obvodem probíhá přes dvouvodicovou sériovou sběrnici I²C. Obvod obsahuje také krystalový oscilátor a k jeho činnosti stačí pouze napájecí napětí, které je možné zálohovat baterií.

Displej LCD

Pro zobrazení všech potřebných údajů na domácí centrále je zapotřebí displej. Prakticky jsou jen dvě mož-

Obr. 10. Grafický displej WG24064-YYH



nosti, a to použití alfanumerického nebo grafického displeje LCD. Alfanumerické displeje jsou velmi rozšířené a často používané v mnoha různých konstrukcích. Velmi výhodná je jejich nízká pořizovací cena a jednoduchost řízení. Tyto displeje mají na DPS integrovány řadiče, který samostatně řeší buzení displeje. Ke komunikaci řadiče s řídicím mikrokontrolérem je použito 4- nebo 8bitové paralelní rozhraní. Výborná čitelnost ve všech světelných podmínkách je zaručena díky LED podsvícení. Pro zobrazení všech měřených veličin by bylo zapotřebí velkého displeje, například displej LCD 20 znaků na 4 řádky. Zobrazení alfanumerickým displejem by však bylo velmi nepřehledné a vylučovalo by možnost vykreslování grafů. Proto byl tento typ displeje použit jen v první fázi vývoje meteostanice.

Pro finální podobu domácí centrály byl zvolen grafický displej. Cena tohoto prvku má sice významný podíl na celkové ceně meteostanice, ovšem výrazně rozšíří možnosti celého systému. Použitý typ WG24064-YYH od firmy Winstar je podsvícený grafický displej LCD s rozlišením 240 x 64 bodů. Širokouhlá zobrazovací plocha o rozměrech 128 x 38 mm je ideální pro vykreslování grafů a přehledné zobrazení všech aktuálně naměřených hodnot. Komunikace integrovaného řadiče s řídicím mikrokontrolérem je řešena 8bitově.

Napájení

Pro dlouhodobý provoz měřicí stanice v místech nedostupných elektrické sítě je nutností bateriové napájení. Pro toto zařízení, které disponuje velmi malým příkonem elektrické energie, je vhodné realizovat napájení alkalickými články, které mají velmi malé samovybití a velký rozsah provozních teplot. Všechny elektronické prvky použité v tomto zařízení mají spodní hranici napájecího napětí minimálně 2,7 V, což umožňuje napájení dvěma alkalickými články o jmenovitém napětí 1,5 V, zapojenými do série. Podle údajů o spotřebě, které jsou garantovány výrobcem použitých součástek, by doba provozu tohoto zařízení, napájeného tužkovými alkalickými články o jmenovité kapacitě 2800 mAh, byla několik měsíců. Při použití alkalických monočlánků 17 700 mAh by byla provozní doba několik let. Provozní doba je ovlivněna časovým intervalem mezi jednotlivými měřeními.

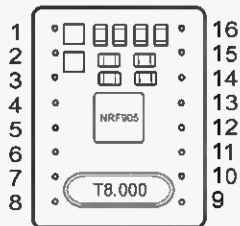
Pro napájení domácí centrály byl vybrán bezpečný síťový adaptér s výstupním napětím 12 V. Pro případy krátkodobého výpadku sítě je vhodné zálohování napájení akumulátorem. Z důvodů malé pořizovací ceny, jednoduchosti nabíjení, malého samovybití a malé hmotnosti vzhledem ke kapacitě, jsou ideální pro tuto aplikaci akumulátory Li-Ion. Ve stavu napájení zařízení ze sítě elektrické energie budou tyto akumulátory dobíjeny.

Popis konstrukce

Tato kapitola popisuje vlastní řešení a následnou konstrukci všech elektronických a mechanických částí systému.

Bezdrátový modul

Bezdrátová komunikace celého systému je založena na integrovaném obvodu nRF905. Ten je produkován pouze v pouzdře QFN32, což vyžaduje použití profesionálně vyrobených desek s plošnými spoji. Tato možnost je finančně velmi nákladná a pro kusové množství se nevyplácí. Proto byl navržen vF modul s obvodem nRF905 pro univerzální využití v různých elektronických konstrukcích, především v meteostanici. Tento modul je opatřen vývody z lámací pinové lišty se standardní roztečí 2,54 mm. Jako objímku pro tento modul lze použít



Obr. 11. Hotový bezdrátový modul a označení jeho vývodů



Tab. 8. Významy vývodů bezdrátového modulu

č.	Název vývodu	Popis funkce
1	TX_EN	výběr režimu vysílání nebo příjem
2	TRX_CE	povolení vysílání nebo příjem
3	PWR_UP	vypínání obvodu
4	UP_CLK	výstupní hodinový signál nastavitelný uživatelem
5	CD	detekce nosné
6	AM	platná adresa
7	DR	data připravena
8	nezapojen	
9	MISO	SPI komunikace
10	MOSI	SPI komunikace
11	SCK	SPI komunikace
12	CSN	SPI komunikace
13	XC1	sdílení krystalu s MCU
14	VDD	napájení 2,7 – 3,5 V
15	GND	země
16	nezapojen	

standardní širokou objímku pro integrované obvody.

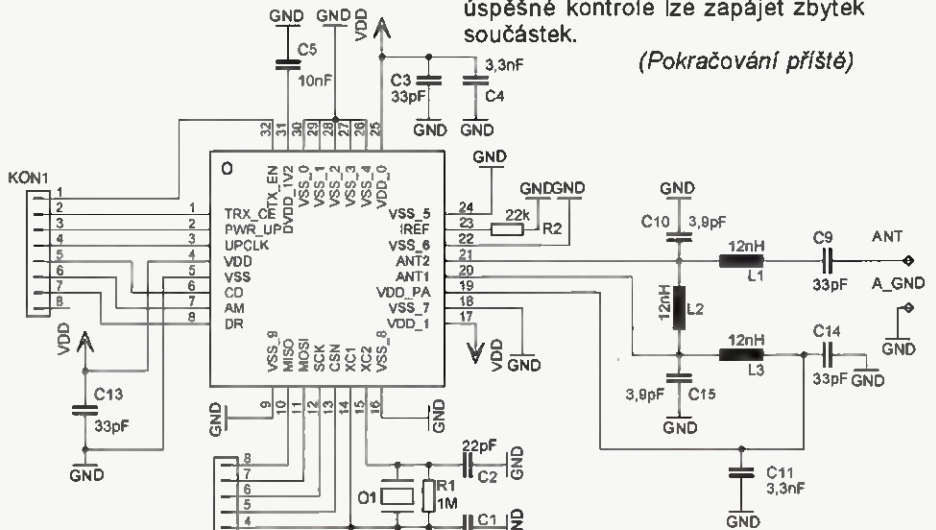
Schéma zapojení bezdrátového modulu (viz obr. 12) vychází z doporučeného zapojení výrobce [4]. Hodnoty součástek byly zvoleny pro použití modulu v pásmu 868 MHz.

Všechny pasivní součástky jsou SMD velikosti 0805. Součástky C1, C2, R1 a Q1 tvoří oscilátor obvodu, který může být sdílen s mikrokontrolérem. Prvky C3, C4, C5 a C13 jsou blokovací kondenzátory. Rezistor R2 tvoří proudovou referenci. Cívky L1 až L3 a kondenzátory C9, C10, C11, C14 a C15 tvoří transformační člen (tzv. balun) pro nesymetrické připojení 50 Ω antény. Jako anténa pro pás-

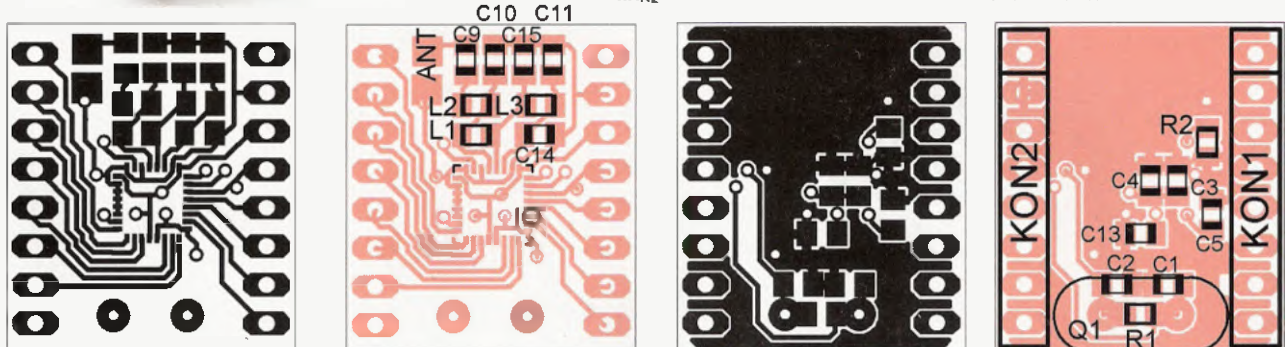
mo 868 MHz postačuje drát o délce 8,5 mm.

Obvod je realizován na oboustranné desce s plošnými spoji s nepájivou maskou a úpravou pájecích plošek metodou HAL (Hot Air Leveling). Osazování obvodu nRF905 na DPS s nepájivou maskou lze realizovat i v domácích podmínkách. Je třeba použít kvalitní pájku s velkým přídavkem tavidla. Po zapájení obvodu je nutné opticky a pomocí testeru diod zkontrolovat správnost zapájení. Jednotlivé vývody obvodu je třeba proměřit testerem diod proti zemi. Při správném zapájení musí být naměřen úbytek na vnitřní ochranné ESD diodě zhruba 500 až 700 mV. Po úspěšné kontrole lze zapájet zbytek součástek.

(Pokračování příště)



Obr. 12. Schéma zapojení bezdrátového modulu s nRF905



Obr. 12a. Deska s plošnými spoji (2 : 1) bezdrátového modulu a rozmístění součástek

Zásuvka do dílny

Jindřich Glaser

V současné době se hromadně používají proudové chrániče v nových instalacích u zásuvkových okruhů. Stále je ale většina rozvodů v soustavě TN-C, kde proudové chrániče použít nelze, a jejich stav je natolik dobrý, že jejich rekonstrukce do soustavy TN-S ještě dlouho nehrozí. Toto je i můj stav, kdy relativně nové rozvody jsou provedeny v mědi a soustavě TN-C. Prodávají se sice proudové adaptéry do zásuvky, ale proč nepoužít vlastní řešení.

Technické údaje

Napěťová soustava: TN-S, 230 V.
 Jistič: B 10 A.
 Nastavitelný unikající proud: 10 až 100 mA.
 Rychlost reakce: <10 ms.

Popis zapojení

Zásuvka je na vstupu vybavena jističem 10 A. Jednak s ohledem na použitá relé a za druhé z důvodu jistění zásuvkových okruhů většinou jističem 16 A. Následuje indikace fáze, kdy při připojení do zásuvky s fází vpravo se rozsvítí dioda LED1. Na funkci chrániče to nemá vliv, jen při vypnutí jističe zůstává fáze na spotřebiči. Následují rozpinací kontakty na obou pracovních vodičích, proudový transformátor, odpor snímající protékající proud a LED2 indikující napětí na výstupu.

Proudový transformátor spolu s deskou ochrany plní funkci proudového chrániče s možností nastavení velikosti unikajícího proudu pro vybavení chrániče. Transformátor má dvě proudové cívky, na kterých se při vyváženém stavu napětí odečítají a na sekundární cívkce je nulové napětí. Při

úniku proudu mimo obvod spotřebiče se indukuje napětí na sekundárním vinutí, dále se vyhodnotí na desce ochrany a potom odpojí spotřebič. Obvod je doplněn testovacím tlačítkem S1 pro kontrolu správné funkce chrániče.

Druhá deska je usměrňovač pro indikaci odebíraného proudu pomocí hotového LCD modulu 200 mV.

Deska ochrany je napájena ze síťového transformátoru TR1. Následuje můstkový usměrňovač, kondenzátory k vyhlazení a stabilizátor napětí. Toto napětí také napájí desku usměrňovače. Protože jsem použil transformátor s jedním sekundárním vinutím, vytváří IC1A umělou zem pro zapojení. Vlastní chránič obsahuje proudový transformátor (umístěný mimo desku), napěťový sledovač IC1B, komparátory IC1C a D s nastavitelnou úrovní překlopení pomocí potenciometru R12 a spínací tyristor T1 pro relé odpinající výstup zásuvky.

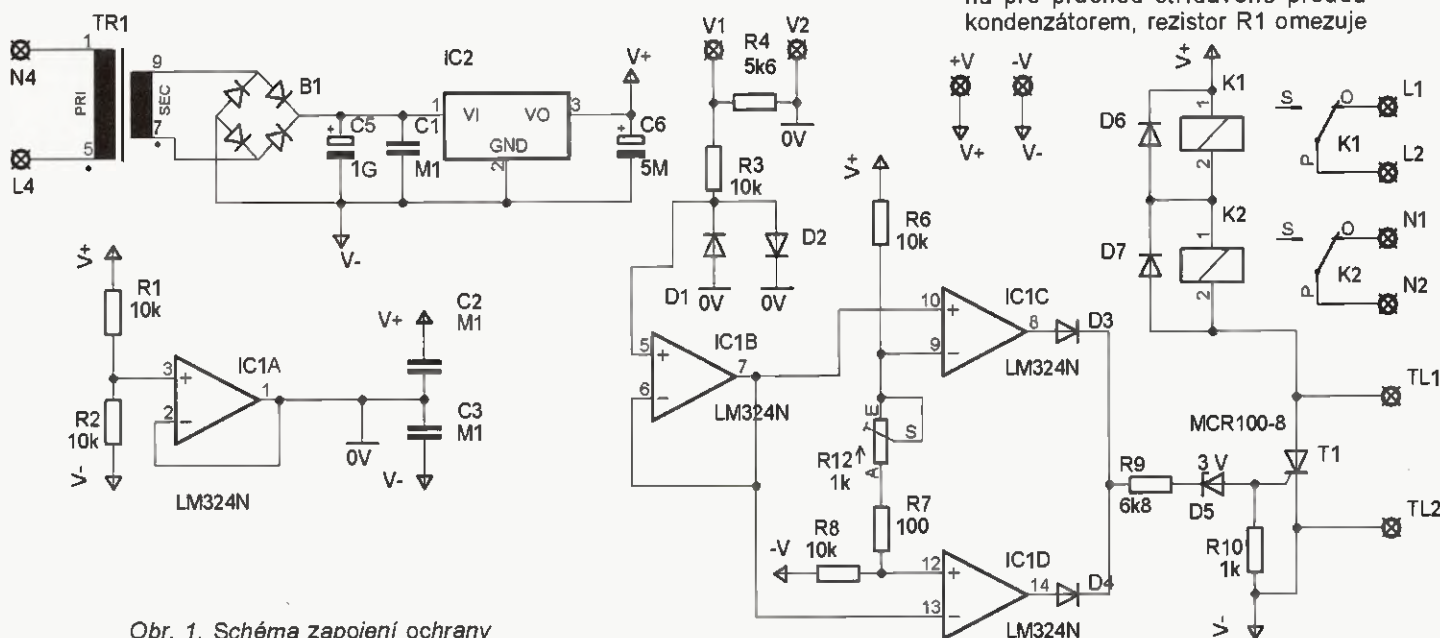
Vstup z proudového transformátoru je zatížen rezistorem R4 a ochranu před přepětím zajišťuje R3 spolu s D1 a D2. Použitý sledovač IC1B vlastně pouze využívá jeden OZ v integrovaném obvodu a zapojení by fungovalo i bez něj. Jeden kompará-



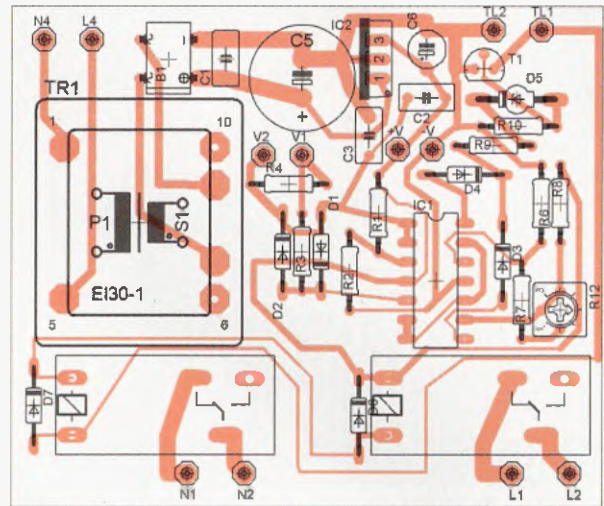
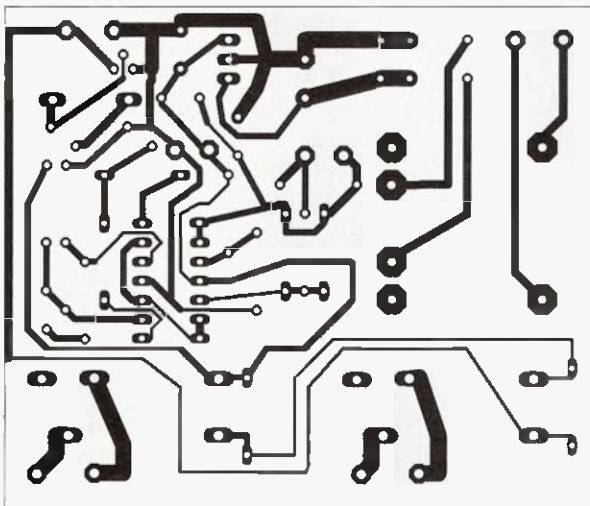
tor reaguje na kladné půlvlny napětí, druhý na záporné. Výstupy komparátorů jsou sečteny diodami D3 a D4 a spínají tyristor T1. Ten zároveň zastává funkci paměti, takže po reakci chrániče zůstane výstup odpojen až do stisknutí tlačítka S2. Tím zanikne přidržený proud tyristoru a po uvolnění tlačítka se připojí napětí k výstupu. Zenerova dioda D5 posouvá napětovou úroveň pro sepnutí tyristoru a je nutná z důvodu určitého výstupního napětí komparátorů v záporné saturaci. Tlačítka S1 - Test a S2 - Start lze s výhodou používat k odpojování spotřebiče od napětí (funkce stykače).

Deska usměrňovače je napájena z desky ochrany. Napětí 15 V je sníženo rezistorem R9 a D3 na 10 V a napájí také modul voltmetru 200 mV. Jedna polovina IC2 je půlvlnný usměrňovač, druhá polovina je nevyužita.

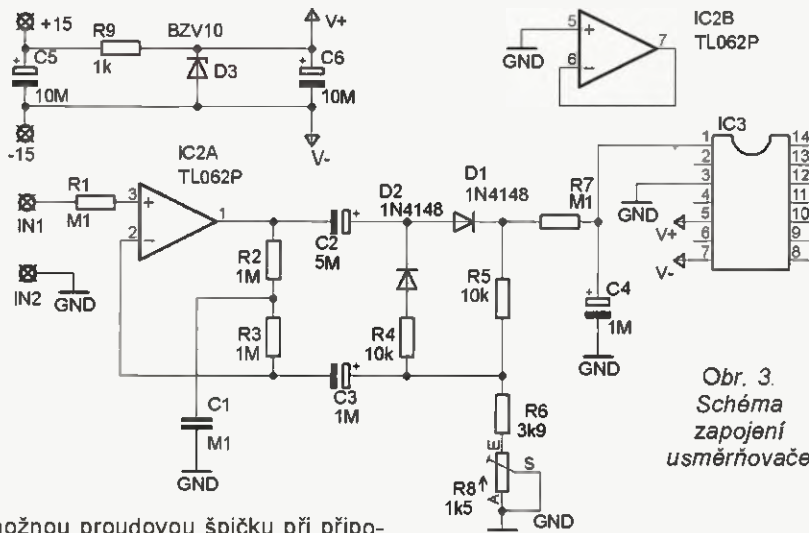
K indikaci stavů „Fáze vpravo“ a „Napětí na výstupu“ slouží LED1 a LED2. Proud diodami je omezen kondenzátorem C1, dioda D1 je nutná pro průchod střídavého proudu kondenzátorem, rezistor R1 omezuje



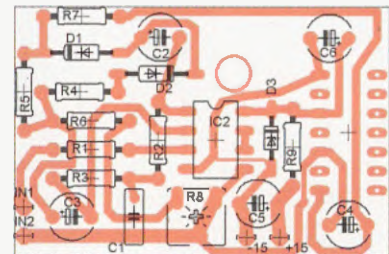
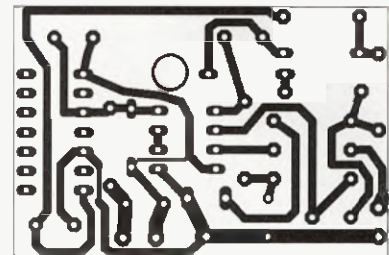
Obr. 1. Schéma zapojení ochrany



Obr. 2. Deska s plošnými spoji a rozmístění součástek ochrany



Obr. 3. Schéma zapojení usměrňovače



Obr. 4. Deska s plošnými spoji a rozmístění součástek usměrňovače

možnou proudovou špičku při připojení v okamžiku vrcholu sinusovky a R2 vybilí kondenzátor po odpojení od napětí.

Použité součástky

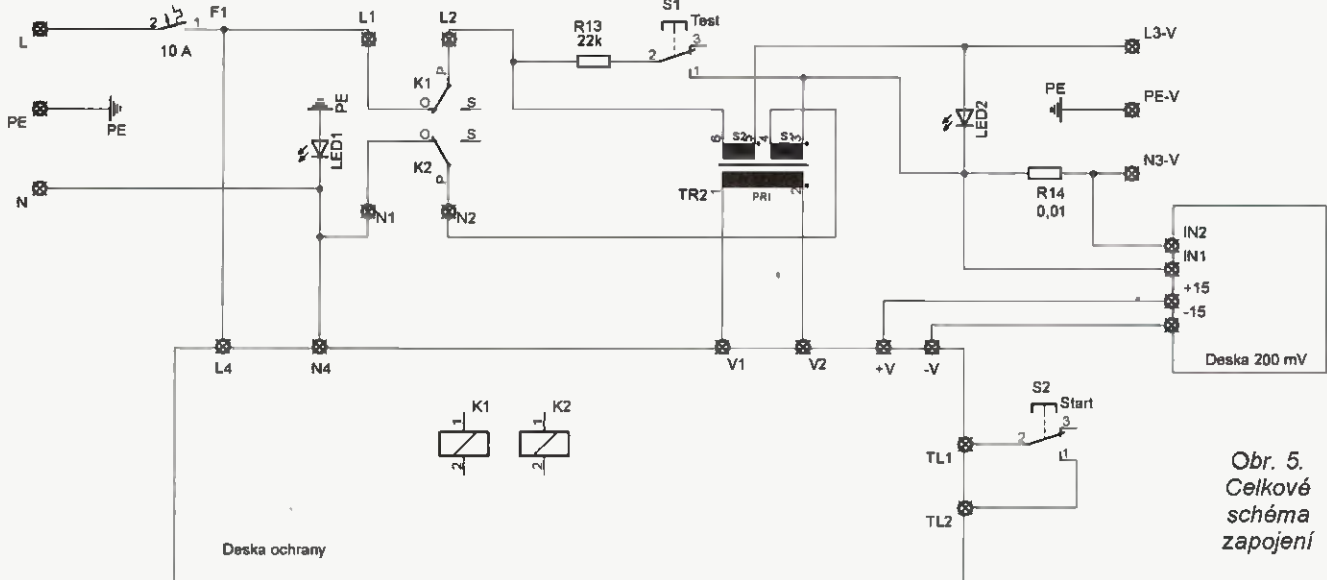
Proudový transformátor je zhotoven ze síťového 230 V/2x 5 V na jádru - plech EI o průřezu středního

sloupku 10 x 10 mm s odděleným sekundárním vinutím. Sekundární vinutí jsem odstranil a na jeho místo navinul dvě proudové cívky o třech závitěch z lakovaného drátu o průřezu 1,2 mm². Mezi cívky je navinuta izolace ze skelné pásky.

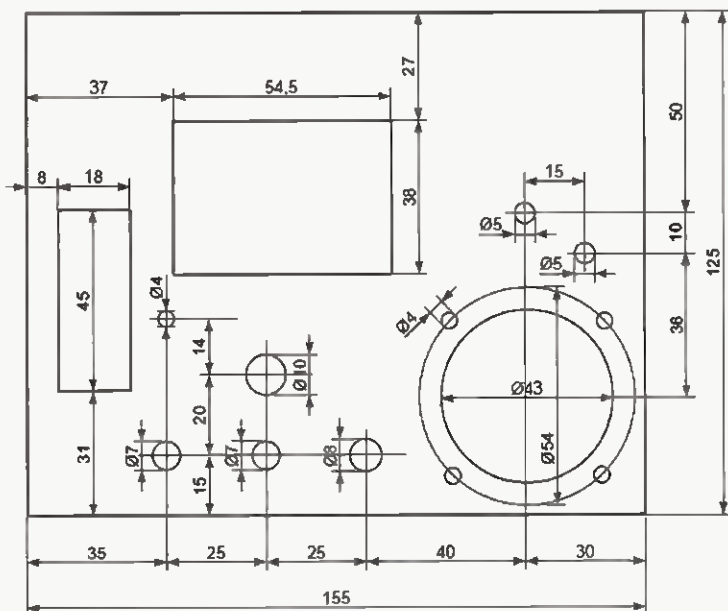
Snímací bočník pro měření proudu je z manganinového drátu o průřezu 2 mm², délka je 60 mm. Na konce

je připájen Cu drát o průřezu 1,5 mm² a uchycen na jedné straně do panelové zásuvky a na druhém konci do vnitřku řadové svorkovnice (čokolády) a její pomocí na vývod proudového transformátoru.

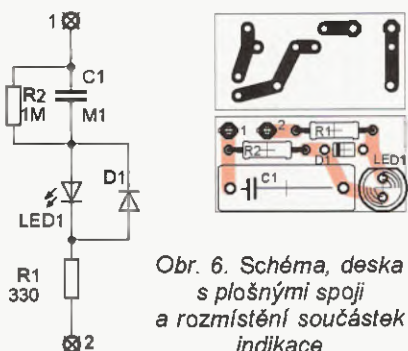
Použitý modul LCD je kousen hotový a má označení G 850 M. Jde o 3 1/2 místný voltmetr s převodníkem



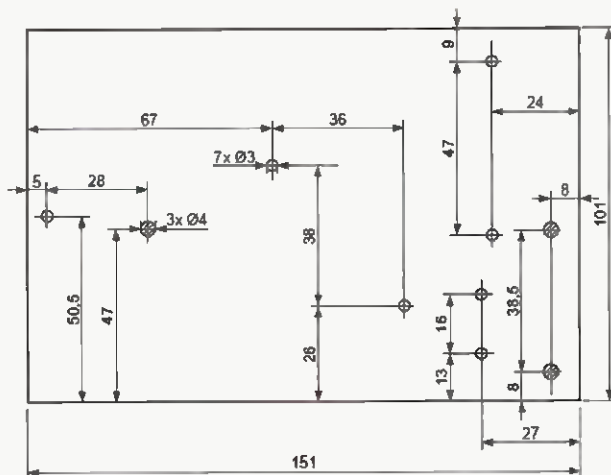
Obr. 5. Celkové schéma zapojení



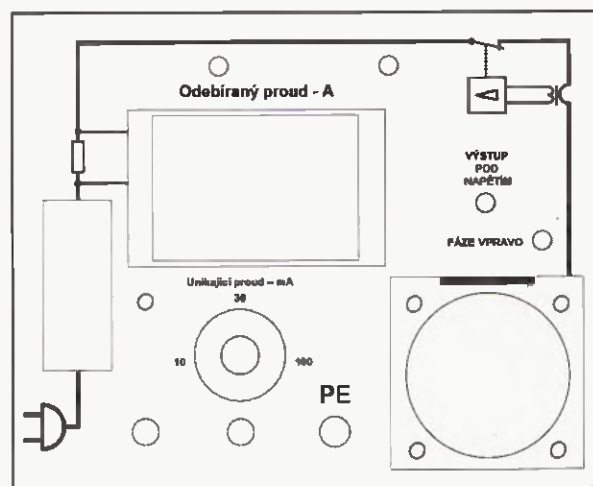
Obr. 7. Výkres čelního panelu



Obr. 6. Schéma, deska s plošnými spoji a rozmístění součástek indikace



Obr. 8. Výkres zadního panelu



Obr. 9. Popis čelního panelu

7106 a LCD displejem. Na modulu jsou spojeny plošky pro rozsvícení prostřední desetinné tečky a na vstupu zvolen rozsah 200 mV. Vývody modulu jsou kolíky s roztečí 5,08 mm, toho je s výhodou použito pro připojení usměrňovače. Ten má na DPS připájeny ze strany spojů objímku pro 14-vývodový IO (IC3) a ta je nasunuta na kolíky.

Panelová zásuvka je typ s víčkem používaný na rozvaděčích (víčko jsem odstranil).

Mechanická konstrukce

Přední a zadní panel (obr. 7 a 8) je z Al plechu tl. 2 mm. Ty jsou spojeny třemi mosaznými tyčkami 7 x 7 mm délky 65 mm. Tyčky mají v čelech vyříznuty závity M4. Pravá spodní mosazná tyčka (se dvěma bočními otvory M4) slouží k připojení vodiče PE přírodní flexošňůry, ochranného kolíku panelové zásuvky, zdířky PE na čelním panelu a ukostřuje i všechny vodivé části. Pravá horní tyčka má v polovině otvor M3 pro uchycení krytu. Tyčka u jističe a pomocný úhelník přichycuje DIN lištu pro jistič.

Na předním panelu jsou připevněny LCD modul, tlačítka, potenciometr, panelová zásuvka, zdířka PE a diody LED. Desky diod jsou přichyceny oboustrannou lepicí páskou používa-

nou na lepení zrcadel, je nalepena na horní stranu kondenzátoru C1 desky indikační diody a celek je zezadu prostrčený do otvoru v panelu.

Na zadní panel je připevněn proudový transformátor, pomocí lišty DIN jistič, DPS ochrany na dvou sloupcích, pomocný úhelník pro upevnění bočního krytu a pomocná svorkovnice (obr. 11).

Na tento samonosný celek je nasunut boční kryt tvaru tunelu a připevněn na jedné straně do mosazné tyčky a na druhé do pomocného úhelníku. Kryt je slepen ze sololaku tloušťky 3 mm o vnitřním rozměru 151,5 x x 101,5 a délce 70 mm.

Na levém boku je vypilován zářez na přírodní flexošňůru, nahore pro magnet a v bocích jsou otvory pro uchycení.

Přední panel je vyšší o 20 mm než zadní panel a kryt. Zezadu je na něj přišroubován silný magnet (získaný z vadného počítačového HDD), to umožňuje přichycení celku na kovovou polici na pracovním stole.

Popis čelního panelu je vytištěn na tiskárně, zalaminován a přilepen na přední panel.

Uvedení do provozu

Spočívá pouze v nastavení správné hodnoty odebraného proudu trim-

rem R8 na desce usměrňovače, popř. přímo na modulu voltmetru. Lze také vyzkoušet funkci chrániče pomocí externích rezistorů připojovaných mezi fázi a ochranný kolík zásuvky.

Stupnice na potenciometru unikačního proudu je pouze informativní, ale měla by zhruba odpovídat.

Závěr

Popsaná zásuvka je dobrým doplňkem do dílny, kde oddělovací transformátor není k dispozici, a občas člověk udělá nějakou tu hloupost.

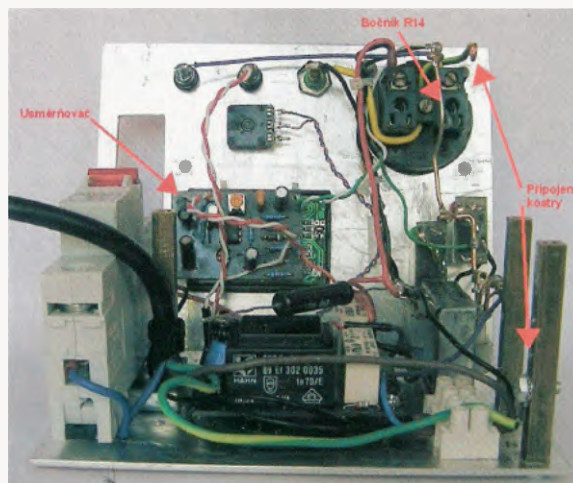
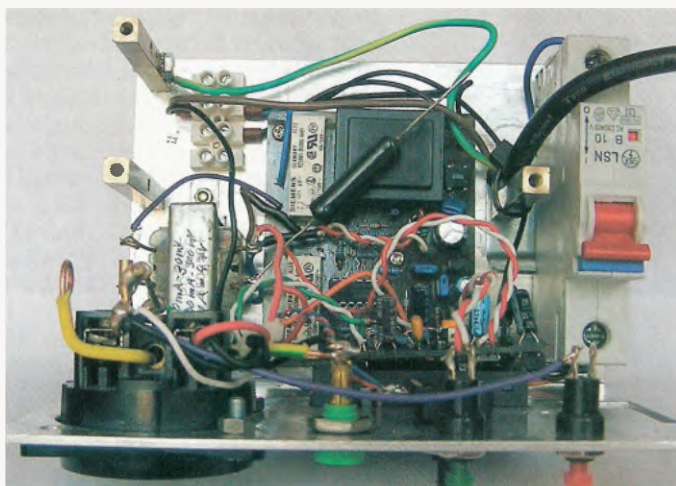
Použitá literatura

<http://www.datasheetarchive.com/>

Seznam součástek

Deska ochrany

R1, R2, R3,	
R6, R8	10 kΩ
R4	5,6 kΩ
R7	100 Ω
R9	6,8 kΩ
R10	1 kΩ
R12	1 kΩ/N
C1, C2, C3	100 nF, keram.
C5	1000 µF/25 V
C6	5 µF/15 V



Obr. 10. Fotografie vnitřního uspořádání

IC1	LM324N
B1	mústek DIL1A
D1 až D4, D6, D7	1N4148
D5	3 V
T1	MCR100-8
IC2	78L15
TR1 transformátor	do DPS 230/18,5 V, 0,9 VA
K1, K2	Siemens 6 V=, 10 A/240 V~

Deska usměrňovače

R1, R7	100 k Ω
R2, R3	1 M Ω
R4, R5	10 k Ω
R6	3,9 k Ω
R8	1,5 k Ω , trimr
R9	1 k Ω
C1	100 nF, keram.
C2	5 μ F/15 V
C3, C4	1 μ F/15 V

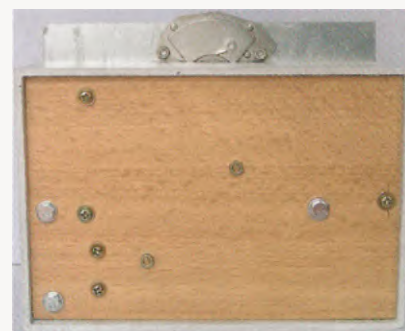
C5, C6	10 μ F/15 V
IC2	TL062
D1, D2	1N4148
D3	10 V
Objímka DIL 14	(IC3)

Deska indikace (2x)

R1	330 Ω
R2	1 M Ω
C1	100 nF/275 V~
LED1	5 mm, červená (zelená)
D1	1N4148

Ostatní součástky

R13	1 k Ω /2 W
R14	0,01 Ω
Manganinový drát	2 mm ² , $l = 60$ mm
Flexošňůra	3x 1 mm ²
Jistič	B10



Obr. 11. Pohled zezadu

LCD modul G 850 M, 200 mV
Tlačítko na panel (1x červené, 1x zelené)
Panelová zásuvka 230 V
Zdíčka \varnothing 4 mm

Jednoduchá synchronizace blikání několika diod LED

Pokud je žádoucí výrazně signalizovat nějakou funkci či poruchu přístroje nebo zařízení, je výhodnější zajistit, aby namísto stálého svitu, svítila signalizační dioda LED přerušovaně. Nejjednodušší způsob je využít běžně dostupné blikací diody obsahující v pouzdře i elektronický obvod, který přerušovaný svit zajistí bez přidavných součástek. Pokud má však blikat více diod LED najednou a má-li být blikání synchronní, je i cenově výhodné využít jednoduchý obvod zapojený podle schématu na obr. 1, který byl uveřejněn v [1]. Vedle blikací diody D1 určující rytmus blikání a několika běžných LED obsahuje pouze tranzistor T1 a rezistor R1.

Za jednoduchost se však někdy platí a je třeba i experimentovat. Obvod lze použít tak, jak je uveden na obrázku, pouze při napájení napětím nepřilíš vyšším než 3 V. Je totiž třeba, aby tranzistor nepracoval v nasycení.

Při potřebě napájet výrazně vyšším napětím by již bylo nutné omezit proud diodami LED rezistory a pak existují jiná a výhodnější zapojení řešící tento požadavek, jedno bylo uvedeno v [2].

Zpět však k obvodu na obr. 1. Počet synchronně svítících diod závisí na kolektorovém proudu tranzistoru, který je určen proudem báze, tedy proudem blikací diodou ve fázi, kdy svítí, a odporem rezistoru R1. Odpor rezistoru R1 je třeba volit tak, aby proud blikací diodou ve stavu, kdy nesvítí, nezpůsobil takové otevření tranzistoru, že spínané diody LED pak zcela nezhasínají. Vhodná velikost R1 je okolo 470 Ω .

Kolektorový proud T1 se rozdělí do jednotlivých paralelně spojených diod, aniž jejich jas s rostoucím počtem příliš rychle klesá. Protože na

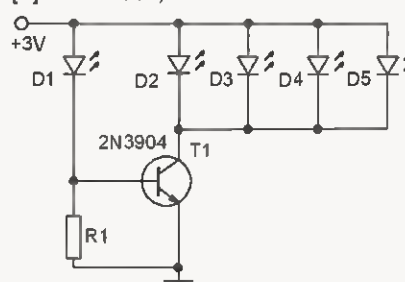
pěti na diodách určuje ta s nejmenším úbytkem, nelze kombinovat červené diody s úbytkem okolo 1,5 V s žlutými a zelenými s úbytkem pod 2 V.

Rovněž se nesmí překročit maximální bázevý a kolektorový proud T1, což však při napájení obvodu např. 3 V, kdy proud blikající diodou je jen několik mA (a proto téměř nesvítí), prakticky nepřichází v úvahu.

JH

[1] Most, R: Resistor And Transistor Synchronize Flashing LEDs. Electronic Design, 28. října 2004.

[2] PE 4/2003, s. 3.



Obr. 1. Blikací dioda ovládá blikání běžných LED

Zpoždovač pro vnitřní osvětlení v automobilu

Ing. Lukáš Fritsch

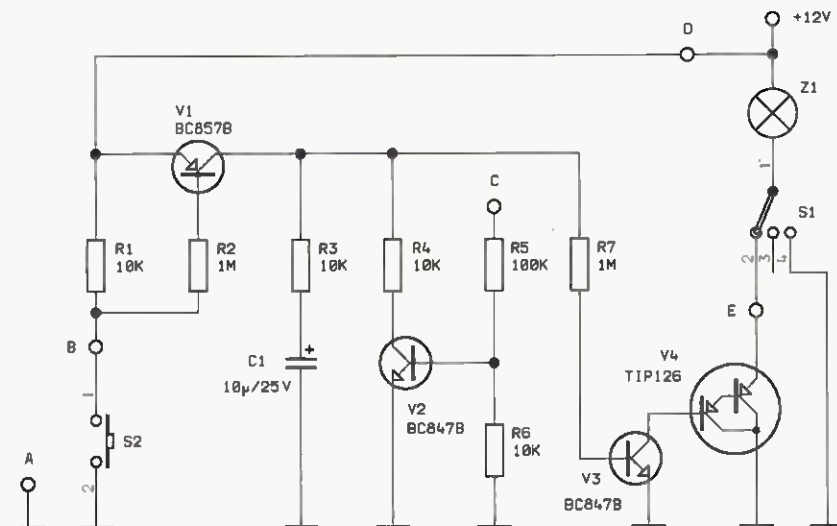
Článek popisuje konstrukci užitečného doplňku pro motoristy, jehož úkolem je prodloužit dobu svícení interiérového osvětlení v automobilu po zavření dveří, čímž usnadňuje posádce vozu nastupování za tmy. Kromě této základní funkce nabízí konstrukce ještě dvě vylepšení – pozvolný přechod z plného svitu žárovky do jejího zhasnutí a zkrácení prodlouženého svícení v případě sepnutí spínací skříňky. V následujícím textu uvedeme princip funkce zpoždovače podložený diskusí vybraných návrhových vztahů.

Popis zapojení

Vnitřní osvětlení v automobilu běžně disponuje přepínačem, kterým lze zvolit 1 ze 3 režimů svícení – světlo trvale vypnuto, světlo trvale zapnuto a světlo zapnuto pouze při otevřených dveřích (sepnutém dveřním spínači). Při popisu funkce zpoždovače, jehož úplné schéma je na obr. 1, vyjdeme ze stavu, kdy je zvolen poslední z uvedených režimů svícení (propojeny kontakty 1-2 přepínače S1) a je sepnut dveřní spínač S2.

Přes otevřený tranzistor V1 a rezistor R3 se nabíjí kondenzátor C1. Rezistor R3 omezuje nabíjecí proud kondenzátoru C1 a jeho odpor je vypočten pro případ zcela vybitého kondenzátoru C1 (v okamžiku sepnutí tranzistoru V1 představuje zcela vybitý kondenzátor C1 zkrat). Díky poměrně malé časové konstantě R3, C1 se i při rychlém sledu akcí otevření-zavření dveří stačí kondenzátor C1

nabít na napětí dostatečné k tomu, aby zpoždovač fungoval. Současně se sepne tranzistor V3 a dvojice tranzistorů v Darlingtonově zapojení V4, takže se rozsvítí žárovka Z1. Vzhledem k tomu, že kolektor tranzistoru V4 (PNP i NPN verze) je vodivé spojení s pouzdrem součástky, byl pro případ, kdy je záporný pól baterie připojen na karoserii vozu, zvolen tranzistor PNP. V případě tranzistoru NPN bychom museli zajistit, aby se vodivá část pouzdra součástky (příp. přidavný chladič, viz dále) nedotýkala po instalaci v automobilu vodivé části karoserie. Zkrat napájení by to sice nezpůsobilo, ale žárovka Z1 by svítila trvale. Rozeberme ještě případ, kdy je karoserie vozu vodivé spojena s kladným pólem baterie. U PNP verze vodivým spojením kolektoru tranzistoru V4 s kostrou (tedy s +12 V) nastane zkrat. U NPN verze vodivým spojením kolektoru tranzistoru V4 s kostrou (tedy s +12 V) nastane zkrat po otevření V4.

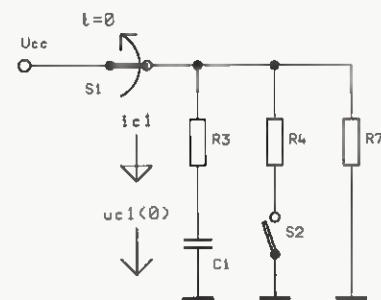


Obr. 1. Schéma zapojení zpoždovače pro vnitřní osvětlení. Odpor rezistoru R7 zvolíme podle příkonu žárovky, viz vztah (7)

Nyní předpokládejme, že rozepneme dveřní spínač S2 (zavřeme dveře). Tranzistor V1 se zavře a kondenzátor C1 se začne vybíjet přes rezistory R3 a R7 (zatím neuvažujeme tranzistor V2) a přechod báze-emitor tranzistoru V3, který je tedy stále otevřen. Se zmenšujícím se napětím na kondenzátoru C1 se pozvolna zavírá tranzistor V3 a tedy i tranzistor V4 a žárovka Z1 přechází od plného svitu do stavu úplného zhasnutí. Je zřejmé, že pokud bychom otevřeli a opět zavřeli dveře v době, kdy žárovka ještě nezhasla, dobije se kondenzátor C1 a tedy se obnoví délka svitu žárovky (obvod nenese charakter monostabilního klopného obvodu). Tranzistor V2 spolu s rezistory R4, R5 a R6 tvoří obvod zkracující délku svitu žárovky po zavření dveří. Svorka C ve schématu je totiž připojena k zapalování, a to tak, aby po otočení klíčku do polohy rozsvícených kontrolky bylo na svorce C napětí +12 V. Tím se přes R5 otevře tranzistor V2, takže se kondenzátor C1 vybíjí i přes rezistor R4. Abychom mohli navrhnout hodnoty součástek nabíjecího a vybíjecího obvodu, musíme sestavit příslušné obvodové rovnice a z nich pak vypočítat příslušné obvodové prvky. Pro náš obvod si zavedeme následující zjednodušení: a) tranzistory V1 a V2 nahradíme ideálním spínačem, b) vzhledem k velkému odporu rezistoru R7 neuvažujeme impedanci přechodu báze-emitor tranzistoru V3. Nabíjecí a vybíjecí obvod pak můžeme znázornit schématem na obr. 2.

Text „ $t = 0$ “ u spínače S1 specifikuje, že v relativním čase $t = 0$ se tento spínač rozpojí. Takový jev v obvodu bývá nazýván přechodovým dějem prvního řádu (obvod obsahuje jeden akumulací prvky, kterým je zde kondenzátor C1). Přechodový děj v obvodu je obecně spjat s připojováním, resp. odpojováním zdrojů, zátěží apod.

Hledíme časový průběh napětí na vybíjecím se kondenzátoru C1 přes rezistory R3 a R7 po rozpojení spínače S1. V čase $t = 0$ nechť je napětí na C1 (tzv. počáteční podmínka) v naznačené napěťové orientaci $u_{C1}(0) = U_{CC}$ (kondenzátor je nabit; nabítl se v čase $t < 0$, kdy byl spínač S1 spojený). Te-



Obr. 2. K návrhu nabíjecího a vybíjecího obvodu

oreticky trvá přechodový děj nekonečně dlouho, ale v praxi se uvažuje, že přechodový děj odezní po $t = 3\tau$, kde $\tau = (R_3 + R_7)C_1$ (časová konstanta obvodu). Matematický popis obvodových veličin (napětí, proud) takového obvodu je dán řešením lineární diferenciální rovnice 1. řádu, jejíž řešení je tvořeno součtem homogenní složky $x_0(t)$ a partikulární složky $x_p(t)$. Homogenní složka, která popisuje chování obvodu po dobu přechodového děje, je dána řešením zmiňované diferenciální rovnice s nulovou pravou stranou (řešíme např. nalezením kořenů tzv. charakteristického polynomu) a je obecně rovna:

$$x_0(t) = K \cdot e^{-\frac{t}{\tau}},$$

kde konstanta K se vypočte z příslušných počátečních podmínek v obvodu. Partikulární složka řešení nese charakter budících veličin v obvodu a udává velikost hledané obvodové veličiny po odeznění přechodového děje. V našem případě je zřejmá partikulární složka $u_{C_1}(\infty) = 0$. Metodou uzlových napětí sestavíme pro obvod na obr. 2 a $t > 0$ obvodovou rovnici:

$$C_1 \cdot \frac{du_{C_1}}{dt} + \frac{u_{C_1}(t)}{R} = R \cdot C_1 \frac{du_{C_1}}{dt} + u_{C_1}(t) = 0, \quad (1)$$

kde $\frac{du_{C_1}}{dt}$ značí 1. derivaci napětí na C_1 podle času a $R = R_3 + R_7$. Řešením (1) získáme:

$$u_{C_1}(t) = u_0(t) + u_p(t) = K \cdot e^{-\frac{t}{R \cdot C_1}}. \quad (2)$$

Uplatněním počáteční podmínky pro napětí na C_1 a jejím dosazením do (2) pro $t = 0$ dostaneme pro konstantu $K = U_{CC}$ a tedy:

$$u_{C_1}(t) = U_{CC} \cdot e^{-\frac{t}{R \cdot C_1}}. \quad (3)$$

Časový průběh proudu $i_{C_1}(t)$ (potřebný např. pro výpočet napětí na R_3) lze získat derivací vztahu (3) podle času. Logaritmováním vztahu (3) můžeme určit čas $t_{X_{vyb}}$, za který se zmenší napětí na kondenzátoru na velikost U_X :

$$t_{X_{vyb}} = (R_3 + R_7) \cdot C_1 \cdot \ln\left(\frac{U_{CC}}{U_X}\right). \quad (4)$$

Analogickým způsobem bychom mohli získat časové průběhy pro přechodový děj, který nastane po sepnutí spínače S_1 . Počáteční podmínka bude nyní $u_{C_1}(0) = 0$, partikulární složka řešení bude rovna U_{CC} . Dostaneme:

$$u_{C_1}(t) = U_{CC} \cdot \left(1 - e^{-\frac{t}{R_3 \cdot C_1}}\right) \quad (5)$$

a doba $t_{X_{nab}}$, za kterou se napětí na C_1 zvětší z 0 na U_X , je

$$t_{X_{nab}} = R_3 \cdot C_1 \cdot \ln\left(\frac{U_{CC}}{U_{CC} - U_X}\right). \quad (6)$$

Odvozené návrhové vztahy (4) a (6) poslouží k výpočtu odporů R_3 , R_4 , R_7 a kapacity C_1 . Zvolíme dobu $t_{X_{vyb}} = 35$ s pro konečnou velikost napětí $U_X = 0,7$ V. Začneme návrhem

rezistoru R_7 , protože jeho odpor koreponduje se zátěží spínanou tranzistorem V_4 . V našem případě je zátěž žárovka Z_1 s příkonem $P_Z = 10$ W při svorkovém napětí $U_S = 12$ V. Odpor vlákna žárovky je

$$R_Z = \frac{U_S^2}{P_Z} = \frac{144}{10} = 14 \Omega,$$

proud kolektoru tranzistoru V_3 (a tedy i velikost proudu báze tranzistoru V_4) je

$$I_{C_{V_3}} = \frac{U_{CC} - U_{CES_{V_4}}}{R_Z} = \frac{12 - 1,6}{14} = 0,74 \text{ mA}$$

(pro jednoduchost předpokládáme $|I_{C_{V_4}}| = I_{E_{V_4}}$). Vzhledem k tomu, že tranzistor V_4 má ve struktuře paralelně ke každému přechodu B-E integrován rezistor (viz katalogový list), je potřeba uvažovat proud větší. Výpočtem zjistíme, že celkový proud bude $I_{C_{V_3}} = 0,9$ mA. Odpor rezistoru R_7 je pak

$$R_7 = \frac{U_{C_{V_1}} - U_{BE_{V_3}}}{I_{C_{V_3}}} \cdot h_{21E_{V_3}} = \frac{11,8 - 0,7}{0,9 \cdot 10^{-3}} \cdot 100 = 1 \text{ M}\Omega. \quad (7)$$

Dosazením známých hodnot do (4) [zanedbáme velikost R_3 proti R_7 , i když by bylo možné řešit soustavu rovnic (4) a (6) pro neznámé R_3 a C_1 a zvolenou dobu $t_{X_{nab}} = 0,2$ s a napětí $U_X = 10$ V] určíme kapacitu C_1 a vybereme $10 \mu\text{F}/25$ V. Z rovnice (6) dostaneme $R_3 = 10$ k Ω . Vztah (4) použijeme i pro výpočet odporu rezistoru R_4 , který slouží k rychlejšímu vybití C_1 v případě sepnutí zapalování.

Věnujme se výběru tranzistoru V_4 z hlediska jeho výkonového zatížení. Tranzistor musí být schopen vyzářit do okolí ztrátový výkon

$$P_{V_4} = U_{CE_{V_4}} \cdot I_{C_{V_4}} + U_{BE_{V_4}} \cdot I_{B_{V_4}} = U_{CE_{V_4}} \cdot I_{C_{V_4}},$$

přičemž nesmí být překročena oblast bezpečného provozu (viz katalogový list). Na konstruktérovi je, aby zajistil účinný odvod tepla ze součástky. Vybereme např. TIP126 (příp. TIP125, 127). Z hlediska výkonového zatížení TIP126 není vhodné volit neúměrně velkou kapacitu C_1 (a tedy prodlužovat dobu svícení po rozeznání dveřního spínače). Pracovní bod ve výstupní charakteristice $I_C = f(U_{CE})$ se přesouvá z oblasti saturace do oblasti uzavření, kdy se proud I_C zmenšuje z maxima K nule a napětí U_{CE} se zvětšuje ze saturačního napětí na U_{CC} . Změna napětí $U_{CE_{V_4}}$ za určitý časový interval je větší než změna proudu $I_{C_{V_4}}$ a ztrátový výkon na tranzistoru V_4 během jeho vypínání krátkodobě převyší ztrátový výkon saturovaného tranzistoru V_4 . Pro žárovku 10 W je vhodná vypočtená kapacita kondenzátoru $C_1 = 10 \mu\text{F}$. Odstavec Simulace obvodu přináší grafy vybraných

průběhů, mezi nimiž je i diskutovaný průběh ztrátového výkonu na tranzistoru V_4 .

Ukažme si pro zajímavost, jakým způsobem se navrhuje chladiče pro odvedení přebytečného tepla ze součástky [1]. Návrh chladičů je založen na analogii elektrických a tepelných veličin, kdy elektrickému napětí odpovídá rozdíl teplot, elektrickému odporu odpovídá tepelný odpor a elektrickému proudu odpovídá ztrátový výkon (tepelný tok) mezi dvěma místy tepelného obvodu. Díky této analogii můžeme při řešení tepelných obvodů používat postupy, které známe z teorie elektrických obvodů. Tepelné odpory součástek (tepelný odpor mezi polovodičovým substrátem a pouzdrém, mezi pouzdrém a okolím) a další parametry týkající se tepelného namáhání součástky (maximální teplota substrátu apod.) udávají výrobci ve svých katalogových listech. Nejprve si všimneme případu, kdy nepoužijeme přídavný chladič a zajímá nás otázka, jak velký ztrátový výkon součástka bez přídavného chlazení snese. Z katalogového listu TIP126 zjistíme, že maximální přípustná teplota substrátu je $t_{jmax} = 150$ °C, tepelný odpor substrát-pouzdro je $R_{tjp} = 1,92$ K/W, tepelný odpor substrát-okolí $R_{tja} = 62,5$ K/W. Ve všech následujících příkladech uvažujeme teplotu okolí $t_a = 25$ °C a napájení ze stejnosměrného zdroje. Maximální ztrátový výkon bez přídavného chlazení je:

$$P_{V_4max} = \frac{t_{jmax} - t_a}{R_{tja}} = \frac{150 - 25}{62,5} = 2 \text{ W}.$$

Odpovídající teplota pouzdra součástky:

$$t_p = t_a + P_{V_4max} \cdot (R_{tja} - R_{tjp}) = 25 + 2 \cdot 60,58 = 146 \text{ °C}$$

nebo též rovnicí:

$$t_p = t_{jmax} - P_{V_4max} \cdot R_{tjp} = 150 - 2 \cdot 1,92 = 146 \text{ °C}.$$

Všimneme si, že není potřeba přepočítávat °C na K a naopak (teplotní rozdíl v Kelvinech a ve stupních Celsia je stejný). Stejným postupem vypočteme teplotu pouzdra tranzistoru V_4 , který spíná 10 W žárovku:

$$t_p = t_a + U_{CES_{V_4}} \cdot I_{C_{V_4}} \cdot (R_{tja} - R_{tjp}) = 25 + 1,6 \cdot \frac{12 - 1,6}{14} \cdot 60,58 = 97 \text{ °C}.$$

Ačkoliv z výpočtu plyne, že pro tento příkon žárovky není potřeba použít přídavný chladič, vzhledem k obr. 6 a pro zajištění rezervy ve schopnosti součástky se uchladiť (např. zvýšená teplota v autě) budeme uvažovat ztrátový výkon $P_{V_4} = 3$ W a tedy i použít přídavného chladiče. Návrhovým kritériem nechť je maximální teplota pouzdra tranzistoru V_4 $t_p = 70$ °C. V tepelném obvodu je paralelně k R_{tja} připojen tepelný odpor chladič-okolí

R_{tra} : Celkový tepelný odpor paralelní kombinace označme R_t a platí

$$R_t = \frac{t_p - t_a}{P_{V4}} = \frac{70 - 25}{3} = 15 \text{ } ^\circ\text{C/W.} \quad (8)$$

Jednoduchým výpočtem dospějeme ke vztahu pro tepelný odpor chladič-okolí:

$$R_{tra} = \frac{R_t \cdot R_{tpa}}{R_{tpa} - R_t} = \frac{15 \cdot 60,58}{60,58 - 15} = 20 \text{ } ^\circ\text{C/W.} \quad (9)$$

Vypočtený tepelný odpor chladič-okolí bychom měli ještě korigovat odečtením tepelného odporu mezi pouzdem a chladičem (respektování případných izolačních podložek, použití silikonové pasty pro menší tepelný odpor apod.). Podle tepelného odporu stanovíme vhodný chladič [z katalogu chladičů, kde bývají i příslušné grafické závislosti, např. závislost zvýšení teploty chladiče (pouzdra, zanedbáme-li tepelný odpor pouzdro-chladič) nad teplotu okolí na ztrátovém výkonu a parametru udávajícím hledané rozměry chladiče], případně můžeme použít empirických vztahů pro výpočet tepelného odporu pro deskový chladič, odkud pak získáme potřebné rozměry desky, viz např. [1].

Materiály, z nichž jsou součástky vyrobeny, mají určitou tepelnou kapacitu (součástka se musí ohřát). Teplota proto směřuje k vypočtené konečné teplotě podle exponenciální závislosti (lze pracovat s diferenciálními rovnicemi podobně jako u výše rozebraného přechodového děje). Podle charakteru buzení (např. obdélníkové impulsy) se korigují hodnoty ztrátového výkonu na součástce vypočteného pro stejnosměrné buzení.

Simulace obvodu

Díky programům, v nichž lze provádět simulace elektronických obvodů, můžeme sledovat chování těchto obvodů dříve, než je fyzicky realizujeme, což může přinést úsporu materiálu i času v případě, že jsme v obvodu přehlédli nějakou chybu v jeho koncepci. Jedním z velice rozšířených a oblíbených programů pro simulace je PSPICE. Ve verzi 5.0a je volně šiřitelný, „free“ verze má omezený počet součástek a uzlů v simulovaném obvodu. Program se spouští pod MS-DOS (ve Windows v simulátoru MS-DOSu). Dále je možné si vyzkoušet omezenou verzi WinSpice, která je, jak už název napovídá, aplikací pod Windows. Ve WinSpice byl simulován i tento obvod. Není zde účelem popisovat, jak se v těchto programech provádí definice zapojení obvodu pro simulaci, konfigurace simulací apod. Potřebné informace čtenář nalezne např. v [2]. V tab. 1 je výpis simulačního souboru pro obvod zpozdovače; čtenář si může po přepsání výpisu (lze použít jakýkoliv textový editor) zkusit simulace např. za jiných podmínek v obvodu. Na obr. 3 je upravené schéma zpozdovače pro potřeby simulace (jsou přidány ampérmetry, čísla uzlů, přejmenovány reference na součástky apod.).

Na obr. 4 a 5 jsou vyneseny časové průběhy napětí a proudu ve vybraných místech v obvodu. V čase $t = 5$ s se sepe dne dveřní spínač a v čase $t = 10$ s se spínač rozepe. Vidíme, že chování obvodu odpovídá popisu v předchozím textu. Obr. 6 představuje časový průběh ztrátového výkonu na tranzistoru V4. Data ze SPICE si můžeme vyexportovat (příkaz .print a přesměrování do souboru) a např. v Excelu s nimi dále pracovat.

Instalace do automobilu

Při hledání vhodného místa pro umístění desky s plošnými spoji, jejíž příklad je uveden na obr. 7, bereme ohled na to, že tranzistor V4 během činnosti zpozdovače uvolňuje teplo.

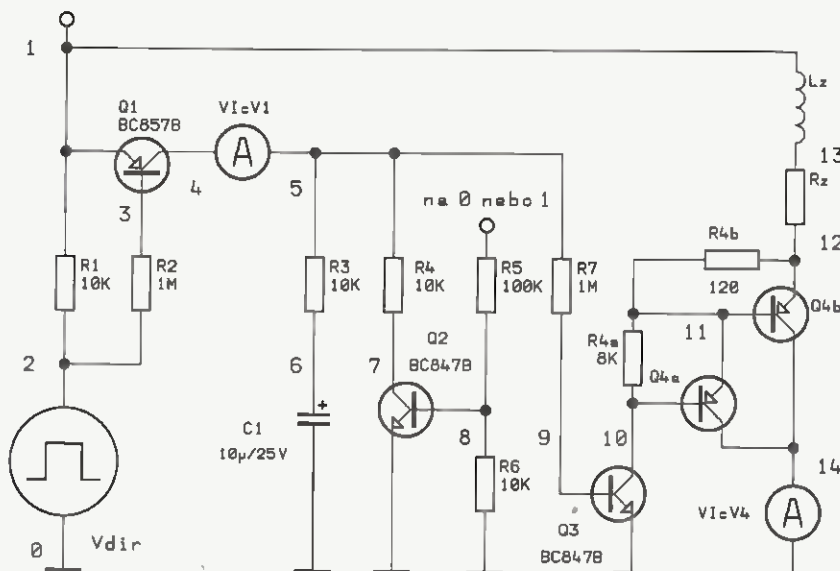
Po vymontování svítilny zjistíme, který kabel vede ke dveřním spínačům. Tento kabel odpojme od svítilny a připojíme jej na svorku B zpozdovače. Kontakt na svítilně, od něž jsme odpojili kabel ke dveřním spínačům, propojíme se svorkou E. Dále si

Tab. 1. Simulace zpozdovače pro vnitřní osvětlení v automobilu

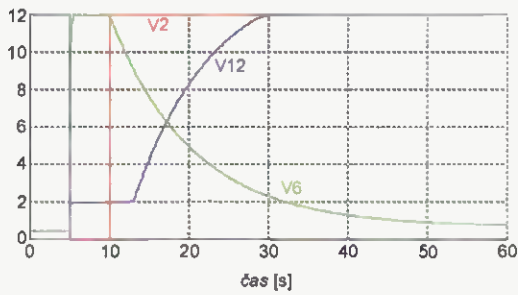
```

;ver 23.7.09, Lukas Fritsch
;soubor sim230709.cir (obr. 3)
;
V1 1 0 12 ;napajeci zdroj
Vdir 2 0 12 pulse (12 0 5s 2ns 2ns 5s 40s) ;ridici zdroj napeti simulujici dveřni spinač
;pocatecni napeti va, spickove vb, pocatecni doba s va, tr,tf, sirka vb, T
.model npnuni PNP BF=100 ;modely tranzistoru a definice h21E
.model npnuni NPN BF=100
.model pnpvyk PNP BF=10
Q1 4 3 1 npnuni ;tranzistor V1
R1 1 2 10K
R2 2 3 1MEG
v1cV1 4 5 0 ;ampermetr, meri Ic V1
R3 5 6 10k
C1 6 0 10u IC=0
R4 5 7 10k
Q2 7 8 0 npnuni
R5 8 0 100K ;je-li R5 mezi uzly 8,1->sepnuta spinači skrinka
R6 8 0 10K
R7 5 9 1MEG
Q3 10 9 0 npnuni
Q4a 14 10 11 npnuni ;Darlington V4
Q4b 14 11 12 pnpvyk
R4a 10 11 8k
R4b 11 12 120
Lz 1 13 1m ;zarovka U=12V, P=10W, Lz pouze odhad
Rz 12 13 14
v1cV4 14 0 0 ;ampermetr, meri Ic V4
.op
.tran 100ms 40s 0s ;tranzientni analiza od 0 do 40 s s krokem 100 ms
.plot tran v(2) v(4) v(6) v(12,14) ;vykresleni casovych prubehu
.plot tran i(v1cV4)
.plot tran i(v1cV4)*v(12,14) ;ztratovy vykon na V4
.options nopage ;poltaceni strankovani v prikazu print
.print tran v(12,14) i(v1cV4) >data.dat ;presmerovani vystupu do souboru data.dat
.end

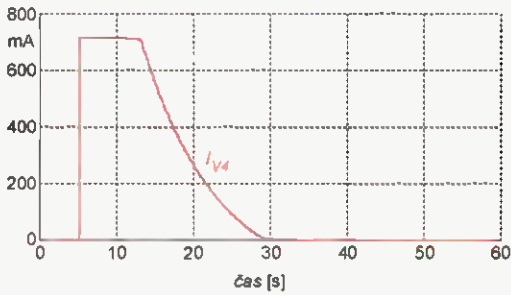
```



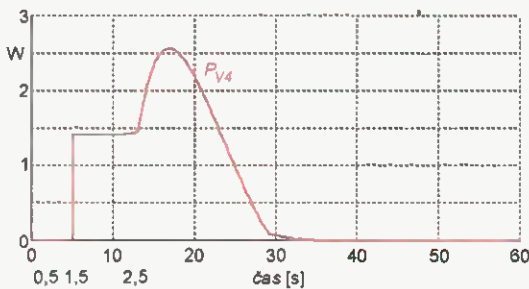
Obr. 3. Upravené schéma zpozdovače pro potřeby simulace



Obr. 4.
Časové průběhy napětí ve vybraných uzlech obvodu. Např. průběh $v(6)$ představuje napětí mezi uzly 6 a 0 (kostrou); čísla uzlů odpovídají obr. 3.



Obr. 5.
Časový průběh měřeného ampérmetrem I_{V4} na obr. 3 (velikostí odpovídá kolektorovému proudu pro Darlington Q4)



Obr. 6.
Časový průběh ztrátového výkonu na Darlingtonu V4

připravíme napájení (+12 V, svorka D), kostru (svorka A) a na svorku C přivedeme příslušný vodič (viz výše) od spínací skříňky. Zkontrolujeme funkčnost obvodu a míru ohřevu tranzistoru V4. Dokončíme instalaci. Pro přehlednost je na obr. 10 uvedeno ještě propojovací schéma.

Seznam součástek

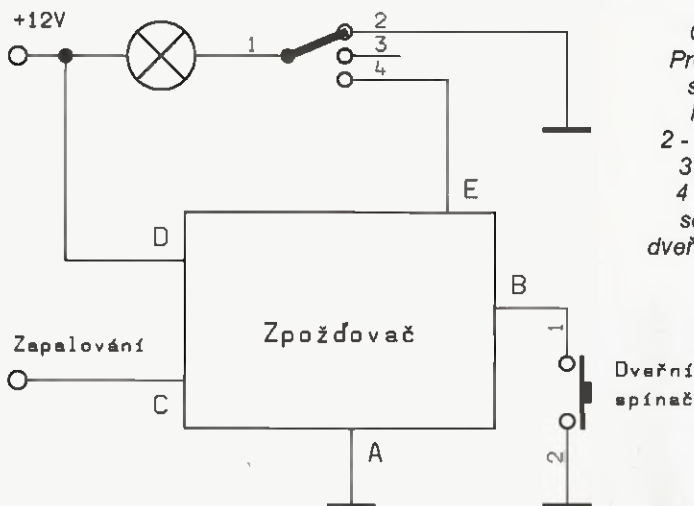
(platí pro schéma na obr. 1)

R1, R3, R4, R6 10 k Ω (SMD 0805)
R2, R7 1 M Ω (SMD 0805)
R5 100 k Ω (SMD 0805)
V1 BC857B

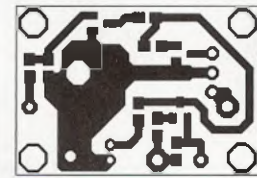
V2, V3 BC847B
V4 TIP126
C1 10 μ F/25 V
chladič [výběr podle použité žárovky a pomoci vztahů (8), (9)]

Literatura

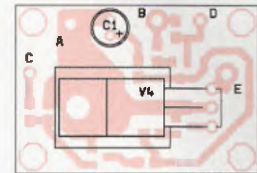
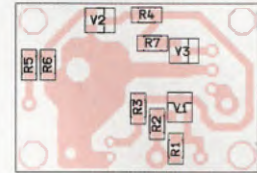
- [1] Fukátko, J.; Fukátko, T.; Šindelka, J.: Teplo a chlazení v elektronice. BEN – technická literatura, Praha 1997. Vydání první. ISBN 80-86056-24-4.
[2] Krejčířek, A.; Burian, Z.: Simuluj! BEN – technická literatura, Praha 2001. ISBN 80-7300-005-9.



Obr. 10.
Propojovací schéma.
Režimy:
2 - svítí trvale
3 - nesvítí
4 - svítí při sepnutém dveřním spínači



Obr. 7. Deska s plošnými spoji stmívače v měřítku 1:1 (32,4 x 22,4 mm)



Obr. 8 a 9. Osazení desky

Spínané zdroje pro napájení a ochranu USB portů

K novinkám firmy Texas Instruments (www.ti.com) patří rovněž dva nové obvody TPS2500 a TPS2501, které obsahují spínaný zvyšující měnič s omezením výstupního proudu včetně spínače.

Spínaný zdroj pracuje typicky s kmitočtem 1 MHz a vytvoří při účinnosti přes 94 % ze vstupního napětí 1,8 V až 5,25 z baterií (jeden článek Li+, tři články NiCd, NiMH, alkalické) nebo stabilizovaného zdroje např. 3,3 V výstupní napětí 5 V. Omezení výstupního proudu je programovatelné vnějším rezistorem v rozsahu 130 až 1400 mA. Ze zdroje s jediným TPS250x lze napájet dva USB porty. Navíc lze získat ještě přídatné napětí 5,1 V. Při vstupním napětí 3 V však musí být celkový odběr z obou zdrojů menší než 1150 mA. Použití nových obvodů přináší výraznou úsporu místa i nákladů v bateriově napájených přístrojích. Rozdíl mezi oběma typy je v možnosti ekonomického provozu (Eco-mode) při malé zátěži v případě obvodu TPS2500. Obvody jsou dodávány v pouzdře SON-10 s rozměry 3 x 3 x 0,9 mm.

JH

New synchronous DC/DC boost converter with integrated current-limiting switch



TEXAS INSTRUMENTS

Předzesilovač pro gramofon s magnetodynamickou přenoskou

Ing. Petr Jeníček

Předzesilovač slouží k předzesílení signálu z dnešních i starších gramofonů vyšší kvalitativní třídy, které vlastní předzesilovač ve většině případů nemají. Díky použití konektorů CINCH ho lze jednoduše propojit s domácí audiosestavou (linkový vstup). Při propojení se vstupem LINE-IN zvukové karty počítače může posloužit také k digitalizaci oblíbených gramofonových desek.

Popis funkce

V zapojení (obr. 1) je použit dvou-
stupňový tranzistorový zesilovač v zapo-
jení se společným emitorem s kmito-
čtově závislou zápornou zpětnou
vazbou z kolektoru T2 do emitoru T1.
Zesílení je tak velké, aby bylo možné
výstup tohoto zesilovače připojit na
vstup zesilovače určený pro krystalo-
vou přenosku.

V obvodu zpětné vazby je zapojen
korekční článek R8, R9, C4, C5, který
spolu s rezistorem R4 určuje zesílení
a tvar kmitočtové charakteristiky celého
zesilovače.

Proud tranzistory je volen úmyslně
dostí malý, aby měl zesilovač malou
spotřebu a nízký šum. Zapojení lze na-
pájet například z ploché baterie 4,5 V
nebo ze 4 „tužkových“ článků. Podobný
zesilovač je možno postavit i s operačním
zesilovačem, ale takový OZ, který by nízkým
šumem, malým napájecím napětím a proudem
předstihoval toto zapojení, bude zna-
telně dražší.

Důležité součástky

Rezistory R8, R9 a kondenzátory
C4, C5 ve zpětnovazebním obvodu je
třeba vybrat nebo poskládat s přes-
ností 2 %, abychom dodrželi správný
tvar kmitočtové charakteristiky. Např.
rezistor R8 3,98 kΩ může být sestaven
sériovým zapojením rezistorů
3,92 kΩ a 62 Ω s tolerancí 1 %. Na
místě C5 (67,6 nF) použijte konden-

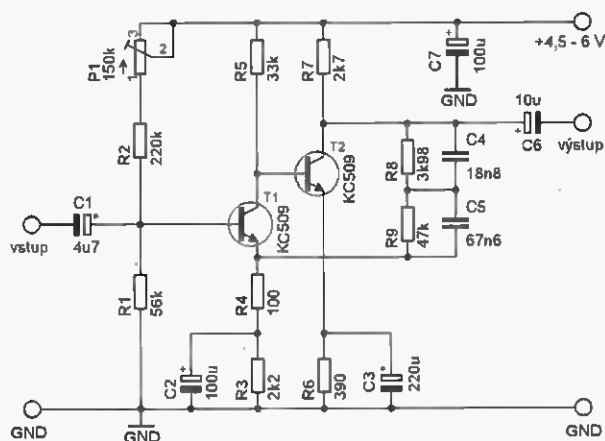
zátory 68 nF, které vyberete tak, aby
vyhověly toleranci 2 %. C4 (18,8 nF
je sestaven paralelním spojením konden-
zátorů 18 nF a 820 pF. Ostatní
součástky mohou být s obvyklou to-
lerancí, tj. rezistory 10 %, kondenzá-
tory 20 %. Tranzistory by měly mít vel-
ký proudový zesilovací činitel h_{21e}
a malé šumové číslo. Osvědčily se
KC509 (vyráběla TESLA), ze současně
dostupných vyhoví např. BC550C.

Konstrukce

Na desce je zapojení z obr. 1 dva-
krát. Označení součástek pravého
kanálu je o 10 vyšší. Aby se do vstu-
pu indukovalo co nejméně brumu,
musí být plocha smyčky vstupního
okruhu, tvořená konektorem CINCH
(vstup+GND), vstupem (C1, T1, R4,
C2) a rozdvojeným koncem kabelu od
přenosky, co nejmenší. Tyto součást-
ky musí být natěsnány blízko k sobě.
Při osazování nejdříve připájejte pro-
pojku PR1. Místo propojky S1 můžete
připájet spínač pro odpojení zapo-
jení v době, kdy jej nevyužíváte.

Oživení

Obvod připojíme ke zdroji tak vel-
kého napětí, se kterým ho později
budeme provozovat. Trimry P1 a P11
nastavíme na kolektorech T2, T12
napětí o 0,25 V větší, než je polovina
napájecího napětí. Při napájení 6 V to
bude 3,25 V, při napájení 4,5 V to je
2,5 V. Osciloskopem se ujistíme, zda



Obr. 1.
Zapojení jednoho
kanálu předzesilo-
vače pro gramofon

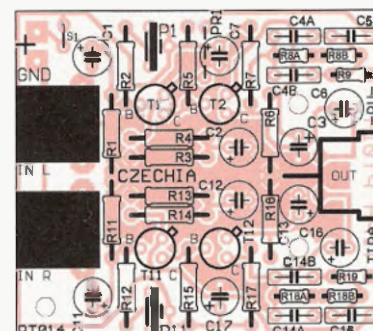
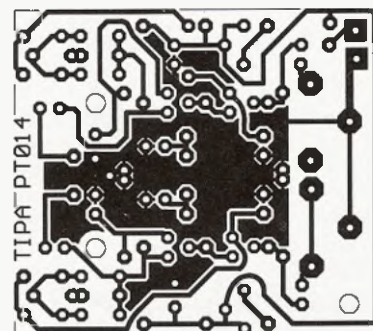


obvod divoce nekmitá. Nyní by měl
být zesilovač připraven k použití.

Seznam součástek

R1, R11	56 kΩ
R2, R12	220 kΩ
R3, R13	2,2 kΩ
R4, R14	100 Ω
R5, R15	33 kΩ
R6, R16	390 Ω
R7, R17	2,7 kΩ
R8A, R18A	3,92 kΩ, 1 %
R8B, R18B	62 Ω
R9, R19	47 kΩ, 1 %
P1, P11	150 kΩ, TP 008
C1, C11	4,7 μF/50 V
C2, C12, C7, C17	100 μF/10 V
C3, C13	220 μF/16 V
C4A, C14A	820 pF
C4B, C14B	18 nF, MKT 5 mm
C5, C15	68 nF, MKT 5 mm
C6, C16	10 μF/16 V
T1, T11, T2, T12	KC509 (BC550C)
Cinch IN L	bílá zdička do DPS
Cinch IN R	červená zd. do DPS
Cinch OUT	stereo zd. do DPS

Předzesilovač ve formě stavebnice
(PT014) nabízí firma TIPPA.



Certifikační kurzy zabezpečovací techniky

- ▶ Porozumíte zabezpečovací technice
- ▶ Předvedeme vám, jak ji montovat
- ▶ Podíváte se mobilem, co vyvolalo poplach
- ▶ Představíme možnost připojení na pult
- ▶ Přezkoušíme vaše znalosti
- ▶ Poradíme, jak získávat zákazníky
- ▶ Poskytneme nonstop poradenství
- ▶ Pomůžeme s propagací
- ▶ Prodloužíme záruku na výrobky
- ▶ Pozveme vás do rodiny „Jablotronu“

Autoalarmy a příslušenství

jednodenní kurz pro začátečníky i pokročilé

Představíme vám výrobky určené do aut. Naši vlajkovou lodí je GSM/GPS hlídač a lokalizační systém ATHOS. Popíšeme vám jeho funkce, instalaci a programování (včetně pohodlného dálkového přístupu z mobilního telefonu nebo Internetu). Dozvíte se, jak zjistit na dálku polohu auta, ale také jak jej zablokovat mobilním telefonem. Představíme vám i možnost sítěžení vozidel pultem. Uvidíte, že náš autoalarm dokáže i víc: bezdrátově hlídat garáž či karavan, monitorovat pohyb vozu, sestavovat za vás knihu jízd, dálkově ovládat spotřebiče v autě a nabízí i signál pro navigaci prostřednictvím bluetooth.

Vysvětlíme vám, jaké druhy dalších alarmů a detektorů se používají k hlídání aut a jak fungují. Jak si usnadnit instalaci pomocí CAN-BUS převodníku. Představíme možnost dodatečné instalace centrálních zámků včetně dálkového ovládání.

Atraktivním doplňkem jsou i parkovací senzory a kamery pro snadnější couvání.

Poradíme vám, jak jednat se zákazníky a jak je získávat. Nabídneme vám podporu při propagaci vašich služeb, ale také nonstop poradenství a přístup do montážní databáze Autoforum.

Kurz je určen především pracovníkům auto-servisů, technikům a autoelektrikářům.

Elektronické zabezpečení budov

dvoudenní kurz pro začátečníky

Tento kurz je „kuchařkou“, jak začít s montáží zabezpečovací techniky. Zorientujeme vás v platné

legislativě a doporučíme vám, jak správně postupovat při zakázce. Vysvětlíme principy detektorů, ústřednů a ostatních prvků. Na vzorcích předvedeme instalaci, nastavování i testování. Dozvíte se, kam se který prvek hodí, čemu se vyhnout a jak v praxi předcházet problémům.

Seznámíme vás s klasickými drátovými systémy, ale také s profesionálním bezdrátovým systémem OASIS. Vysvětlíme, jak komunikují prvky mezi sebou i jak je systém spojen s okolním světem (GSM, Internetem či telefonní sítí). Ukážeme vám, že bezdrátové detektory registrují nejen pohyb, ale současně fotografují a snímky posílají majiteli či hlídač agentuře. Systém dokáže sítěžit, ale také řídit topení, ovládat garážová vrata a jiné spotřebiče. Uvidíte, jak snadno lze nastavit vlastnosti počítačem i možnost dálkového servisu (mobilním telefonem nebo Internetem).

Dozvíte se, co poskytujeme montérům, jak je prodloužována záruka, nabídneme vám 24hod. poradenství, bezplatný servis a podporu při propagaci vašich služeb. Dostanete také „Marketingovou kuchařku“ jak získávat zakázky.

Kurz je určen elektrotechnikům, IT technikům, projektantům a dalším zájemcům, kteří si chtějí rozšířit svou kvalifikaci.

OASIS a novinky v sortimentu

jednodenní kurz pro středně a více pokročilé

Rozšíříme vaše znalosti sortimentu Jablotronu. Představíme nové „vychytávky“ hybridního systému OASIS jak pro sítěžení, tak i pro řízení jiných spotřebičů a regulaci topení. To vše umožňují náročným

zákazníkům řídit a sledovat dům z mobilu a internetu. Dozvíte se o projektu OKO1, který jako jediný na českém trhu nabízí plnohodnotné sítěžení pultem centrální ochrany na půl roku zdarma. Připojení na pult zrealizujete jediným stručným telefonátem.

Vyzkoušíte si kamerový detektor pohybu, který zosílá fotografie z místa poplachu. Novinkou je také unikátní snímač pohybu, který společně eliminuje zachycení domácích zvířat.

Ukážeme vám novou ústřednu JA-83K, která nabízí až 32 drátových smyček. Seznámíme vás s novým SW OLink pro správu systémů z počítače,

ale také se SW aplikací OASIS pro iPhone.

Praktickou novinkou je univerzální GSM ovládač a hlásič „David“ GD-04.

V kurzu je vyhrazen značný prostor dotazům a námětům.

Kurz je určen absolventům předchozích školení (starší osvědčení Jablotronu vám bude prodlouženo) a novým středně pokročilým technikům.



Bonus pro účastníky kurzu

Máte-li koncesovanou živnost sk. 314 (Poskytování technických služeb k ochraně majetku a osob) a platný certifikát z objektového školení JABLOTRONU ALARMS získáváte bonus: možnost nákupu sady EZS Jablotron OASIS JK-82 v hodnotě 16 100,- Kč bez DPH za poloviční cenu (tj. 8 050,- Kč). Bonus může každá firma uplatnit pouze jednou.

Sada obsahuje: ústřednu JA-82K s GSM komunikátorem, bezdrátovou klávesnici, bezdrátové detektory pohybu a otevíření dveří, bezdrátovou vnitřní sířenu, dálkový ovládač a bezdrátové zvonkové tlačítko.

Nově zvýhodněná sada vám umožní osahat si OASIS v proxi a navíc tak získáte ideální možnost ukázat zákazníkovi to, co mu můžete namontovat. Sada si však také můžete instalovat kdekoliv vás napadne. Objednávky pro školení zasílejte na adresu havel@jablotron.cz. Tuto nabídku můžete využít po dobu platnosti vašeho certifikátu (3 roky).

Písemný test na závěr kurzu

Každý z nabízených kurzů je zakončen písemným testem. Při úspěšném absolvování testu získáte certifikát.

Jak se do kurzů přihlásit?

Elektronicky se můžete přihlásit na webové stránce www.jablotron.cz. Další informace ke všem nabízeným kurzům získáte na firemních internetových stránkách, na telefonu 483 559 991, paní Michaela Čavojská fax. 483 559 993, nebo skoleni@jablotron.cz



Termíny kurzů únor - červen 2010

Datum	Místo	Název kurzu
23. - 24.2.	Praha	EI. zabezpečení budov
25.2.	Praha	OASIS a novinky
16. - 19.3.	Košice	kurzy K1 až K3 – možná účast i z ČR
22.3.	Brno	Autoalarmy a příslušenství
23. - 24.3.	Brno	EI. zabezpečení budov
25.3.	Brno	OASIS a novinky
8.4.	Jablonec n. N.	OASIS a novinky
20. - 21.4.	Praha	EI. zabezpečení budov
22.4.	Praha	OASIS a novinky
18.5.	Praha	Autoalarmy a příslušenství
19. - 20.5.	Praha	EI. zabezpečení budov
21.5.	Praha	OASIS a novinky
15. - 18.6.	Žilina	kurzy K1 až K3 – možná účast i z ČR
22. - 23.6.	Praha	EI. zabezpečení budov

Brno:

Detec, tel.: 547 241 849
Brnoalarm, tel.: 545 210 562

České Budějovice:

E*tech, tel.: 608 578 636

Hradec Králové:

Elsyco Trade, tel.: 495 522 041

Humpolec

E*tech, tel.: 774 651 475

Chomutov

Okánka, tel.: 474 621 004

Jablonec nad Nisou:

Telmo, tel.: 483 359 138

Karlovy Vary:

J. Urbanová, tel.: 355 328 979

Karviná:

Kycik Alarm, tel.: 596 345 098

Kolín:

CT Servis, tel.: 321 723 358

Litoměřice:

Eurosys s.r.o., tel.: 416 737 300

Loděnice:

Radim POLCAR, tel.: 604 821 306

Mladá Boleslav:

Axl Electron, tel.: 326 733 485

Most:

RSA Saksun, tel.: 476 709 786

Olomouc:

Josef Kvočil, a.s., tel.: 585 412 742

Petr Fráňa, tel.: 777 345 845

Ostrava:

HTV-Hodina, tel.: 596 110 015

Pardubice:

Elsyco Trade, tel.: 466 535 423

Píseň:

J. Roud, tel.: 371 121 318

Teplíc:

RSA Saksun, tel.: 417 577 924

Ústí nad Labem:

Okánka, tel.: 475 501 610

Vlašské Mezíříc:

AI-NOVA, tel.: 571 627 814

Praha:

Axl Electron, tel.: 266 312 043

E*tech, tel.: 267 021 212

Okánka, tel.: 773 174 461

JABLOTRON ALARMS a.s., Pod Skalkou 33
466 01 Jablonec nad Nisou

tel.: 483 559 911, fax: 483 559 993

prodej@jablotron.cz

www.jablotron.cz

Dovozce na Slovensko:

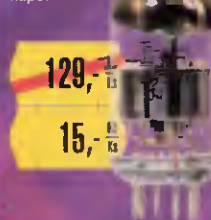
Jablotron Slovakia s. r. o., Žilina

Tel.: +421-41-5640264

AKCE

6N24P

Dvojitá trioda s proměnnou strmostí, VF a NF zesilovač napětí.

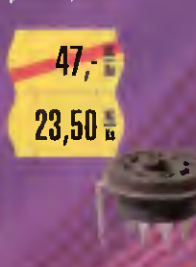


129,- Kč

15,- Kč

SK8-PC

Elektronková patice oktál, plastová, do PCB



47,- Kč

23,50 Kč

MW 5798

Inteligentní rychlonabíječ NiCd/NiMH 2/4 ks akumulátorů AAA, AA, C, D, 2x9V. Mikroprocesorem řízená logika zabezpečuje optimální nabíjení všech vložených článků. Nabíjecí proud 800mA; po nabíjení pulzní udržovací nabíjení; funkce vybití; po vybití automaticky přejde na nabíjení. Indikace stavů pomocí 7 LED, akustická signalizace. Po dokoupení adaptéru (MW 5798 PLUG12) lze nabíječ používat i v automobilu.

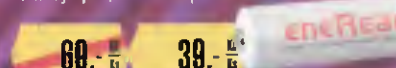


495,- Kč

399,- Kč

UMR 3-NH2200 EM

NiMH akumulátor, 1,2V / 2200mAh „eneready“, nízké samovybití, komerční provedení

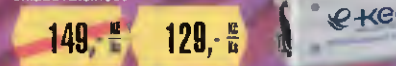


60,- Kč

39,- Kč

9-VOLT NIMH200 EKP

NiMH akumulátor 9V / 200mAh „e-keep“ nízké samovybití, dlouhá skladovatelnost



149,- Kč

129,- Kč

PIN1 3,0VA

DC/AC měnič, 12V DC / 230V AC, 300VA, 180x75x75 mm, proudová a tepelná ochrana



1180,- Kč

999,- Kč

MW 2103GS

Síťový napáječ stabilizovaný 15-16-18-19-20V / 6A, 22-24V / 5A. Vstup 100-240V 50/60Hz. Výkonný impulzní zdroj; 4 vyměnné síťové koncovky. 6 výstupních koncovek: vhodný pro napájení přenosných počítačů



1099,- Kč

999,- Kč

BP-12V/7Ah ALG

Pb akumulátor, těsný, 12V / 7,0 Ah, 151x65x101mm, 2,6kg, faston 4,8mm



339,- Kč

299,- Kč

NOVINKY

TOR-S-Apollo 3710

Svítilna nabíjecí halogenová, žárovka 5,5 W, aku 6V / 4Ah. Nabíjení ze sítě 230V nebo z 12V. Ddolné provedení IP43, popruh na rameno. Funkce nouzového osvětlení.



399,- Kč

811A-MP SINO

Trioda pro VF a NF zesilovače výkonu, párovaná dvojice



1490,- Kč

811A-MQ SINO

Trioda pro VF a NF zesilovače výkonu, párovaná čtveřice



2990,- Kč

DVB-T FTA 17K

DVB-T přijímač volně šířených kanálů KÖNIG FTA17. Kompletní lokalizace a podpora ČJ (menu, EPG, teletext). 2x SCART (TV, video), 1x digitální audio S/PDIF koaxiální výstup. Stříbrné provedení



990,- Kč

DVB-T SCART 11

DVB-T přijímač KÖNIG přímo do SCART zásuvky. MPEG-2 DVB-T, automatická konverze PAL/NTSC, paměť na 1000 kanálů, 8 odlišných skupin oblíbených, EPG v ČJ na 7 dní dopředu, český teletext a menu, automatické i ruční prohledávání kanálů, rodičovská ochrana, podpora titulků, automatický čas.



989,- Kč

DVB-T EMG VISION

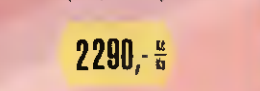
DVB-T přijímač Emgeton Vision 3 přímo do SCART zásuvky. Umožňuje příjem a záznam (na externí USB zařízení) digitální TV a rádia, dále přehrávání souborů AVI, MPG, DAT, VOD, hudby ve formátu MP3, OGG, WMA a prohlížení obrázků JPG a GIF. Kvalitní příjem s vysokou citlivostí, otočný kloub pro použití u LCD / Plasma přijímačů, OSD v ČJ, podpora EPG a teletextu v ČJ, paměť na 900 programů.



849,- Kč

MS5300

Digitální RLC měřič, 3 5/6 LCD displej, RS232. Měří indukčnosti v rozsazích 0,6mH-60H, kapacity v rozsazích 6nF-6mF a odpory v rozsazích 600-60M. Součástí dodávky jsou měřicí šňůry, propojovací kabel pro připojení k PC a ovládací software. Multimetr je dodáván bez napájecích baterií (6x1,5V AAA).



2290,- Kč

HDS 2062M

Přenosný digitální osciloskop 2x60 MHz, 250 MS/s, multimetr. Barevný LCD displej s rozlišením 320x240 bodů, časová základna 5ns-5s/div, citlivost 5mV-5V/div, kurzory pro snadné měření, paměť 6kB/kanál, rozhraní RS232 / USB.



19900,- Kč

NÁŠ TIP



ZÁSILKOVÁ SLUŽBA A VELKOOBCHOD

GES-ELECTRONICS, a.s.
Studentská 55a, 323 00 Plzeň
☎ 37 73 73 111
☎ 37 73 73 999
✉ ges@ges.cz



PRODEJNY

NOVÉ PRAHA 1, Myslívkova 31 ☎ 222 724 803 ✉ ges.praha@ges.cz
BRNO, Křenová 29 ☎ 543 257 373 ✉ ges.brno@ges.cz
OSTRAVA, 28. října 273 ☎ 596 637 373 ✉ ges.ostrava@ges.cz
PLZEŇ, Studentská 55a ☎ 377 373 311 ✉ ges.plzen@ges.cz
HRADEC KRÁLOVÉ, Habrmanova 14 ☎ 495 532 368 ✉ ges.hradec@ges.cz

LABORATORNÍ NÁBYTEK VARIOLAB+

UCELENÝ SYSTÉM NÁBYTKU PRO ELEKTROLABOŘE A DÍLNY

- Modularita
- Moderní ergonomický design
- Volitelné antistatické provedení
- Vysoce pevná konstrukce
- Vysoce stabilní konstrukce
- Možná mobilní konstrukce
- Inteligentní způsob nastavení pracovní výšky desky stolu, polic a nástavby
- Inteligentní vedení potřebných kabelů a hadic nohou stolu
- Široký výběr zabudovatelných přístrojů
- Široký výběr příslušenství a doplňků
- Výroba komponentů i na zakázku
- Budoucí rozšiřitelnost
- Odolné a kvalitní materiály



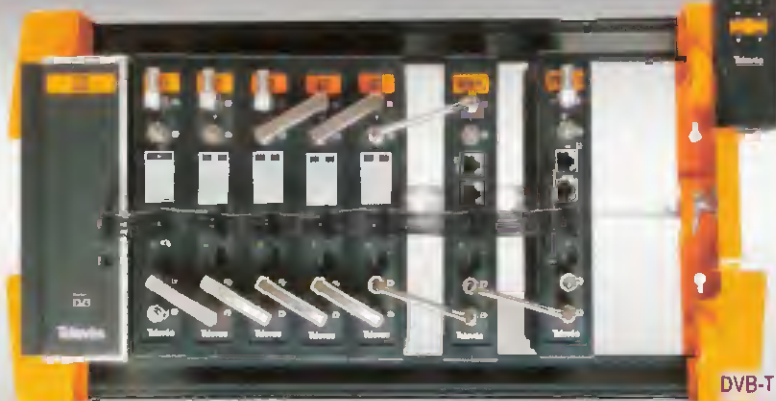
**Další informace a fotografie
naleznete na
www.diametral.cz**

VYŽÁDEJTE SI KATALOG, KTERÝ VÁM RÁDI ZDARMA ZAŠLEME

« **DIAMETRAL** spol. s r.o., Hrdoňovická 178, 193 00 Praha - Horní Počernice
tel./fax 2 8192 5939-40, e-mail: info@diametral.cz, www.diametral.cz

« **DIAMETRAL**

digitální HS TELEVES T05



DVB-T stanice TELEVES, kanálové procesory ref.5179

Přehled prvků DHS TELEVES:

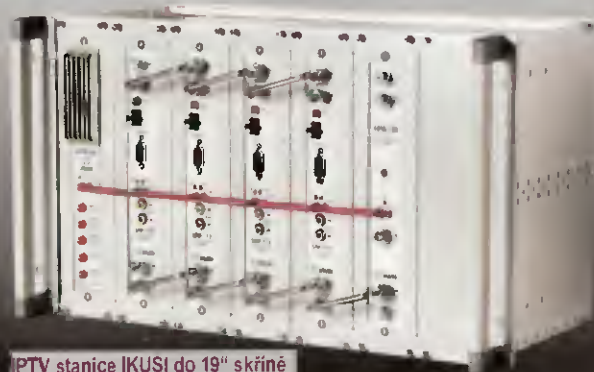
- kanálové DVB-T procesory ref.5179
- přijímače DVB-T signálu se stereo VSB mod. ref. 5044
- přijímače DVB-S signálu s CI slotem a stereo VSB mod. ref. 5000
- transmodulátory DVB-S na FM pro příjem rádia ref.5579
- transmodulátory DVB-S, DVB-S2 na DVB-T ref.5181
- transmodulátory DVB-S, DVB-S2 na DVB-C ref.5180
- transmodulátory DVB-T na DVB-C s TS procesing ref.5556
- SAT IF/IF trojitý procesor ref.5864
- stereo BG/DK modulátory ref. 5802
- širokopásmový zesilovač ref.5075
- programovací jednotka ref.7234
- vzdálený monitoring hlavní stanice CDC system ref.5052
- modem pro vzdálený monitoring (GSM, IP nebo STN)
- optické systémy pro širokopásmový přenos

Nové IPTV streamery IKUSI představují ekonomické řešení multicastového vysílání TV a R programů v IP sítích. Zdrojem signálu jsou DVB multiplexy nebo AV signál. Jeden streamer může generovat až 8 simultánních programů s individuálními IP adresami. Moduly lze kombinovat a celkový počet programů je omezen pouze kapacitou sítě. Streamery pracují s protokoly UDP nebo UDP/RTP. Příjem je možný pomocí PC nebo IP set-top-boxu. Nastavení a monitoring se provádí pomocí webového rozhraní. Je zajištěna podpora SAP a SDP protokolu a QoS.

PŘEHLED PRVKŮ IPTV STANICE IKUSI:

- | | |
|-------------------------------------|--|
| SNS-100 - IP streamer pro FTA DVB-S | TNS-100 - IP streamer pro FTA DVB-T |
| SNS-101 - IP streamer pro DVB-S | BNS-100 - IP streamer pro 2x AV signál |
| SNS-102 - IP streamer pro DVB-S2 | RNS-101 - IP streamer pro radio DVB-S |

LANTV® televize po IP síti



IPTV stanice IKUSI do 19" skříně



Satelitní hlavní stanice ALCAD
- digitální přijímače TP/TO

DIGITÁLNÍ HLAVNÍ STANICE STA/TKR

Nabízíme většinu technických řešení digitální hlavní stanice STA/TKR:

- přímé zesílení a rozvod DVB-T signálu pro set-top-boxy (STB)
- kmitočtovou konverzi DVB-T signálu do UHF nebo VHF pro STB
- převod DVB-T programů do analogového signálu a jeho modulaci
- převod DVB-S programů do analogového signálu a jeho modulaci
- konverze IF signálu do jednokabelového rozvodu pro set-top-boxy
- konverzi DVB-S, DVB-T nebo AV do IP sítě (IPTV)
- transmodulace DVB-S, S2/DVB-C, DVB-S, S2/DVB-T, DVB-T/DVB-C
- optické propojení hlavní stanice se vzdálenými lokalitami

PŘEHLED PRVKŮ DIGITÁLNÍ STANICE ALCAD:

- satelitní digitální příjem DVB-S programů
 - TP-569 - přijímač s CI a stereo BG modulátorem
 - automatické přepínání mono/stereo/dual
- pozemní digitální příjem DVB-T programů
 - TO-559 - nový přijímač FTA se stereo BG modulátorem
 - automatické přepínání mono/stereo/dual
- transmodulátory QPSK/QAM
 - TQ-551 - transmodulátor z QPSK do QAM (VHF/UHF výstup)
- IF procesory QPSK signálu
 - UC-221 - dvojitý IF procesor QPSK signálu
- přímý rozvod DVB-T programu bez konverze pro příjem pomocí set-top-boxů
 - ZG-611/601 - kanálový zesilovač pro DVB-T kanál ve VHF pásmu
 - ZG-431/401 - kanálový zesilovač pro DVB-T kanál ve UHF pásmu
- kanálové procesory, libovolná konverze DVB-T kanálů
 - PC-525 - kanálový procesor DVB-T



Pozemní hlavní stanice ALCAD
- nové zesilovače ZG

NABÍZÍME:

- profesionální přístup
- zdarma technický návrh řešení
- většinu komponentů hlavních stanic stále skladem
- cenovou nabídku do 48 hodin
- školení na montáž hlavních stanic

antech
Spol. s r.o.

Rovnice 998/6, 691 41 Břeclav, tel/fax. 519 374 090
e-mail: obchod@antech.cz, www.antech.cz



KTS - AME s. r. o., K. Čapka 60,
500 02 Hradec Králové

tel.: 495 263 263
fax: 495 212 588
mobil: 605 263 263

AKČNÍ CENA UNIVERZÁLNÍ NABÍJEČKY AV-MP !

ZAPOMNĚLI JSTE NĚKDY VZÍT SI NA
DOVOLENOU NABÍJEČKU K FOTOAPARÁTU
NEBO KAMERĚ? VEMTE SI NA DOVOLENOU
POUZE JEDNU NABÍJEČKU! POUZE SI
S SEBOU PŘIŘADTE REDUKCE
AKUMULÁTORŮM ŠITĚ PŘÍMO NA MÍRU.
POUZE PRO LI-ION AKUMULÁTORY !



Nabíječka - 384 Kč
Redukce - 42 Kč



LS2171

LS2234



LS2001



LS2046



LS2060



LS2511



LS2128



LS2407

ZAVOLEJTE NÁM A MY VÁM
RADI POMŮŽEME S VYBĚREM
REDUKCE K VAŠEMU
AKUMULÁTORU

- LS2171 - PANASONIC KWI-3007 CGA-3008 DWH-3010 ...
- LS2234 - CANON NB-2L,NB-2LN,NB-2LX,NB-2LN ...
- LS2001 - CANON NB-1L,NB-1L1 ...
- LS2046 - CANON NB-9L ...
- LS2060 - PANASONIC FUJI, SUGIKI, NP-24P12 - NP-40, NP-41, NP-5000, NP-30, L1B12A, PDR-8T3, D-L12, VW-VBA10, LI-20 ...
- LS2511 - CANON BP-511, BP-512, BP-514, BP-522, BP-245 ...
- LS2128 - PANASONIC BP-511, BP-512, BP-514, BP-522, BP-535 ...
- LS2407 - DZ-BP07S, DZ-BP14S, DZ-14FW, DZBP07, DZBP14, CGA-DU07E, CGA-DU14E, CGA-DU21E ...
- ... A MNOHO DALŠICH ...

TISKOVÉ CHYBY VYHRAZENY. NABÍDKA PLATÍ DO 10. 3. 2010 NEBO DO
VYPRODÁNÍ ZÁSOB. UVEDENÉ CENY JSOU VČETNÉ DPH.

WWW.AME.CZ

Nahlédněte na naši adresu www.hadex.cz do odkazů **AKCE** a **DOPRODEJ**, kde Vám aktuálně nabízíme položky za nejnižší možné ceny

MINI DVR, BEZDRATOVÉ KAMERY

Digitální DVR se vzdáleným přístupem JDR-963 - T858



Pentaplexní provoz: živé sledování, nahrávání, přehrávání, zálohování, vzdálený přístup přes LAN, sledování na PC nebo také na mobilních telefonech nebo PDA
Standard video: PAL/NTSC rozlišení PAL 720x576px
Záznamové médium: HDD max 500GB 3,5" IDE nebo SATA
Zálohování: SD karta, HDD, vypalovačka DVD-připojení přes USB
Video vstupy: 4x smyčkový vstup (BNC) pro kamery podpora PTZ kamer (rozhraní RS-485)
Audio vstupy: 1x linkový RCA
Video výstupy: 1x displej 2,5", 1x kompozitní video 1x S-video
Zaznamová rychlost: D=50fps(PAL), CIF=100fps(PAL)
Snímková rychlost live: 25fps(PAL), fps=počet snímků/sec
Záznamový režim: manuální, při detekci pohybu a alarmu, časový
Vstupy / výstupy alarmu: 4xIN, 1xOUT
Módy zobrazení: celá plocha nebo 4pole, 2x-4x digi zoom
Ovládání: IR ovládač přední panel, vícejazyčné OSD menu
Kompresní formát: video H.264, audio ADPCM (vše= MPEG4)
Vzdálený přístup: síťové rozhr. 10/100Base-TX Ethernet (RJ45) protokoly TCP/IP, DHCP, DDNS, vzdálený přístup pomocí klienta SW, nebo pomocí prohlížeče (I.E.)
Napájení: 100-240VAC 7990,- / 5990,- od 3ks

Minialarm s kamerou a DVR JK-015 - kód T930



Funkce: Minialarm se sirénou, záznamem obrazu i zvuku a uložení na interní SD kartu (max.2GB)
Technické parametry: kamera CCD, rozlišení 420lin, záznam v AVI(320x240) 10 sn/sec, nebo fotky v JPEG (640x480), on-line výstup na monitor, kde se rovněž nastavuje na ON-SCREEN menu funkce celého zařízení. Spouštění PIR čidlem, detekci pohybu ve snímaném obrazu, nebo obojim. Citlivost PIR 8m/120° přisvícení IR diodami (svítí pouze za nedostatku světla). Výstup alarmu na sirénu. Vestavěný Li-Ion aku 3.6V/1800mAh pro 3hod nepřetržitého provozu při záznamu. Možnost připojení vnějšího zdroje 5V/1,5A. Když je SD karta plná, nový záznam přemazává historii (až 5dnů v závislosti na počtu a délce souborů AVI, nebo 15 dnů při nastavení do módu tvorby fotek)
Příslušenství: siréna 105dB/m, adaptér 5V/1,5A, čtečka SD karet, kabel k monitoru, držák na zeď, dálkové ovládání rozm. 125x67x50mm * Akce cena do 1.3. MC=2990,-

Bezdrátová kamera s LCD monitorem 2,5" - kód T830



Monitor: LCD color 2,5" se zvukem a vestavěným aku Li-Ion3,6V
Rozlišení 480x234bodů, aktivní plocha 49,2x38,1mm
Kontrastní poměr 150:1, jas 150cd/m, úhlopětka 63 5mm
Regulace jasu a hlasitosti, A/V vstup i výstup, možno použít jako zdroj signálu i monitor.Přijímá signál 4.bezdrátových kamer v pásmu 2,4GHz (CH1-CH4) Jednotlivé kamery je možno dokoupit(T828,829,834). Dosah 100m ve volném terénu, 40m v zástavbě, rozměry 125x73x30mm, výklopný stojánek
Kamera: color CMOS 1/3" 380řádků se zvukem, 12x infra LED výsílací výkon 10mW, rozměry: 43x54mm, váha 250g
Příslušenství: 2x adaptér 230V pro kamery i přijímač, kabel A/V, aku Li-Ion 3.6V * Akce cena do 1.3. MC=1890,-

Bezdrátová kamera s LCD monitorem 1,5" - kód T838

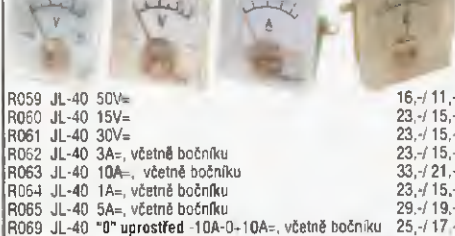


Monitor: LCD color 1,5" (3,81cm) se zvukem
napájení: 4xAAA / adapter
Rozlišení 280x220bodů,
Kontrast 150:1, jas 250cd/m²
Regulace jasu a hlasitosti,
Přijímá signál až 3 bezdrát.
kamer v pásmu 2,4GHz
Možno použít T828-834.

Dosah 100m (volný terén)/40m (zástavba), rozm. 110x77x38mm
Kamera: color CMOS 1/3" 380řádků se zvukem, 6x infra LED, napájení: 4xAAA, výsílací výkon 10mW rozměry 108x75x40mm
Příslušenství: 2x adaptér 230V **DOPRODEJ** MC = 1390,-

PANELOVÉ MĚŘICÍ PŘÍSTROJE

Kód 40x40mm 5% bez korekce nuly MC/VC od 5ks



R059 JL-40 50V= 16,- / 11,-
R060 JL-40 15V= 23,- / 15,-
R061 JL-40 30V= 23,- / 15,-
R062 JL-40 3A=, včetně bočnicku 23,- / 15,-
R063 JL-40 10A=, včetně bočnicku 33,- / 21,-
R064 JL-40 1A=, včetně bočnicku 23,- / 15,-
R065 JL-40 5A=, včetně bočnicku 29,- / 19,-
R069 JL-40 "0" uprostřed -10A-0-10A=, včetně bočnicku 25,- / 17,-

Kód 45x45mm 2,5%, s korekcí "0" MC/VC 3ks



R020 MP45 100µA=, Ri=2,66kΩ, do otvoru ø38mm 99,- / 69,-
R021 MP45 10mA=, Ri=2 2Ω, do otvoru ø38mm **doprodej** 10,-
R022 MP45 3A=, s bočnickem, do otvoru ø38mm 99,- / 69,-
R023 MP45 10A=, s bočnickem, do otvoru ø38mm 120,- / 79,-
R024 MP45 10V=, s předřadníkem, do otvoru ø38mm 99,- / 69,-
R025 MP45 30V=, s předřadníkem, do otvoru ø38mm 99,- / 69,-
R026 MP45 10mA=, s bočnickem, do otvoru ø38mm **doprodej** 18,-
R027 MP45 10V=, s předřadníkem, otvor ø38mm **doprodej** 18,-
R028 MP45 100mA=, Ri=0,2Ω, do otvoru ø38mm **doprodej** 18,-

Kód 80x80mm 2,5% s korekcí nuly MC/VC od 3ks



R050 DH80 100µA=, Ri=2,01kΩ, do otvoru ø64mm **doprodej** 39,-
R051 DH80 30V=, s předřadníkem do otvoru ø64mm **doprodej** 35,-

Kód Indikátory vybuzení MC/VC od 5ks



R093 R094 R097
R093 ZJ-48 500µA, -20+3dB, 55x48mm 23,- / 15,-
R094 ZJ-40 500µA, -20+3dB, 40x40mm 23,- / 15,-
R097 ZJ-116 2x 200µA, 2x -20+5dB, 116x57mm 89,- / 59,-



R096
R096 ZJ-116 2x 500µA, 2x -30+10dB, 190x30mm **doprodej** 19,-

KONDENZÁTORY PRO ZESILOVAČE

vyrovňovací kondenzátor 2F/22V - kód I949



1F(2F)/22V ± 20%
rozměry 76x245mm
digitální V-metr 2100,- / 1490,- 2ks

vyrovňovací kondenzátor 1F/18V (2F/18V) se svorkovnicí



I951 1F/18V ±20% s V-metrem - **doprodej** MC=490,-
I952 2F/16V ±20% s V-metrem - **doprodej** MC=690,-

ŽÁROVKY LED

Kód LED žárovky 230V E14, E27 MC/VC 3ks



K788,793 K768,69,773 K774,908
K788 * 12x 12Cd, 230V-3W, ø 40x65mm-E27 **AKCE** do 1.3 59,-
K793 * (teplá) 2x 10Cd, 230V-3W, ø 40x65mm-E27 **AKCE** 59,-
K768 * 20x 5Cd/20°, 230V-2W, ø 50mm-E27 PAR16 125,- / 83,-
K769 * 20x 5Cd/20°, 230V-2W, ø 50mm-E27 PAR16 125,- / 83,-
K773 * (teplá) 20x 10Cd/15°, 230V-3,5W, ø 50-E27 **doprodej** 71,-
K774 * 30x 12Cd/15°, 230V-3W, ø 63mm-E27 PAR20 155,- / 105,-
K908 * 30x 4Cd/15°, 230V-3W, ø 63mm-E27 PAR20 155,- / 105,-



K747,48,988,89 K772,796,990,996-999 K798,799

K747 * 15x 12Cd/15°, 230V-2W, ø 50mm-E27 **doprodej** 49,-
K748 * (teplá) 15x 10Cd/15°, 230V-2W, ø 50-E27 **doprodej** 45,-
K988 * 18x 12Cd/15°, 230V-2W, ø 50mm-E27 MR16 89,- / 59,-
K989 * (teplá) 20x 10Cd/15°, 230V-2W, ø 50-E27 MR16 95,- / 69,-
K772 * 18x 12Cd/15°, 230V-2W, ø 50mm-E27 **doprodej** 59,-
K796 * (teplá) 20x 12Cd/15°, 230V-2W, ø 50-E27 JDR 105,- / 72,-
K798 * 60x 12Cd/15°, 230V-2,5W, ø 50mm-E27 JDR 230,- / 155,-
K799 * (teplá) 60x 12Cd/15°, 230V2,5W, ø 50-E27 JDR 235,- / 159,-
K990 * 20x 12Cd/15°, 230V-2W, ø 50mm-E27 JDR 99,- / 69,-
K996 * 20x 2,5Cd/15°, 230V-1,5W, ø 50mm-E27 JDR 92,- / 61,-
K997 * 20x 4Cd/15°, 230V-1,5W, ø 50mm-E27 JDR 92,- / 61,-
K998 * 20x 4Cd/15°, 230V-1,5W, ø 50mm-E27 JDR 95,- / 64,-
K999 * 20x 10Cd/15°, 230V-1,5W, ø 50mm-E27 JDR 99,- / 66,-



K994,995 K784 K909-14

K784 * 60x 12Cd/15°, 230V-3W, ø 95mm-E27 PAR30 275,- / 190,-
K909 * 120x, 400Lm, 230V-8W, ø 111mm-E27 FR 495,- / 340,-
K913 * 120x, 650Lm, 230V-8W, ø 111mm-E27 FR 650,- / 450,-
K914 * (teplá) 120x, 650Lm, 230V/8W, ø 111-E27 FR 650,- / 450,-
K994 * 48x 12Cd/15°, 230V-2,5W, ø 50mm-E27 JDR 155,- / 105,-
K995 * (teplá) 48x 12Cd/15°, 230V2,5W, ø 50-E27 JDR 160,- / 110,-



K775-777,783,785 K905-907

K775 * 20x 2,5Cd/20°, 230V-1,5W, ø 50mm-E14 JDR 89,- / 59,-
K776 * 20x 3Cd/20°, 230V-1,5W, ø 50mm-E14 JDR 89,- / 59,-
K777 * 20x 3Cd/20°, 230V-2W, ø 50mm-E14 JDR 94,- / 62,-
K783 * (teplá) 20x 15Cd/15°, 230V/2W, ø 50-E14 JDR 99,- / 66,-
K785 * 20x 15Cd/15°, 230V-2W, ø 50mm-E14 JDR 97,- / 62,-
K905 * 48x 12Cd/15°, 230V-3W, ø 50mm-E14 JDR 155,- / 105,-
K906 * (teplá) 48x 12Cd/15°, 230V-3W, ø 50-E14 JDR 165,- / 110,-
K907 * 48x 4Cd/15°, 230V-3W, ø 50mm-E14 JDR 149,- / 99,-



K960,961 K962,963 K964,965

K960 * 3W 130Lm/30°, 230V ø 50mm-E27 **AKCE** do 1.3. 228,-
K961 * (teplá) 3W 120Lm/30°, 230V ø 50-E27 **AKCE** do 1.3. 228,-
K962 * 3W 130Lm/30°, 230V ø 50mm-E14 **AKCE** do 1.3. 234,-
K963 * (teplá) 3W 120Lm/20°, 230V ø 50-E14 **AKCE** do 1.3. 252,-
K964 * 5W 180Lm/68°, 230V ø 50mm-E27 **doprodej** 299,-
K965 * 5W 170Lm/68°, 230V ø 50mm-E27 **AKCE** do 1.3. 348,-



K496,497 K498 K750-754 K991-993

K496 * (teplá) 6x SMD5050 65Lm 12V/1,2W, ø 23mm-G4 170,- / 115
K497 * 6x SMD5050, 60Lm 12V-1,2W, ø 23mm-G4 165,- / 110,-
K498 * 12x SMD5050, 120Lm, 12V-2,5W, ø 31mm-G4 270,- / 185,-
K750 * 7x 3Cd/20°, MR11, 12V/0,5W, ø 35mm-G24 49,- / 33,-
K751 * 7x 3Cd/20°, MR11, 12V/0,5W, ø 35mm-G24 49,- / 33,-
K752 * 9x 3Cd/20°, MR11, 12V/1W, ø 35mm-G24 75,- / 49,-
K753 * 7x 7Cd/20°, MR11, 12V/0,5W, ø 35mm-G24 69,- / 45,-
K754 * 9x 15Cd/15°, MR11, 12V/1,5W, ø 35mm-G24 79,- / 52,-
K756 * 20x 3Cd/20°, MR16, 12V/1,5W, ø 50mm-GX5,3 89,- / 59,-
K757 * 20x 3Cd/20°, MR16, 12V/1,5W, ø 50mm-GX5,3 89,- / 59,-
K758 * 20x 3Cd/20°, MR16, 12V/1,5W, ø 50mm-GX5,3 89,- / 59,-
K759 * 18x 7Cd/20°, MR16, 12V/1,5W, ø 50mm-GX5,3 89,- / 59,-
K760 * 18x 12Cd/15°, MR16, 12V/1,5W, ø 50-GX5,3 89,- / 59,-
K761 * (teplá) 20x 12Cd/15°, MR16, 12V/2W, ø 50-GX5,3 95,- / 63,-

KATHREIN

Kompaktní IPTV systém od společnosti KATHREIN

AEC ELEKTROTECHNIKA spol. s r.o.

Na Rovinách 6/390, 142 00 Praha 4
tel.: 241 710 018,-48; fax: 241 710 003
E-mail: info@aec-eltech.cz



- modulární
- mnohostranný
- perspektivní

Základní skříň pro 8 modulů
IPC-BG-PSSW-01 může obsahovat:

- 1) modulární napájecí zdroj IPC-PS 300
- 2) modulární systémový přepínač IPC-SW 401 se čtyřmi externími porty pro připojení signálů
- 3) první serverový modul IPC-CU-022 zajišťuje streaming a přenos signálu
- 4) druhý serverový modul IPC-CU-022 zajišťuje EPG, Teletext a pracuje jako GUI server pro TV v reálném čase. Díky nové koncepci je zajištěno rychlé přepínání TV kanálů u uživatele
- 5) serverový modul IPC-CU-024HD zajišťuje video na vyžádání (cca 100 nebo 200 hodin dle osazeného HDD)
- 6) modul Interfejsů IPC-PE-402 obsahuje 2 x SFP Gbit rozhraní (elektrické nebo optické) pro přenos na větší vzdálenosti (další budovy)
- 7) a 8) serverové moduly IPC-CU024 a IPC-HD-2250 nebo IPC-HD2500 pro „TimeShift“ a „nPVR“ umožňují záznam 10 programů po dobu 24 hodin a umožňují tak jejich časově posunutě sledování. Součástí je i individuální PVR

Systém je možno dokompletovat DVB-S/S2 streamery typu TVD200 (2 x DVBS/S2 tuner + 2 x CI) s výstupem buď v ASI nebo Gbit ethernet.



← vice informací najdete na www.aec-eltech.cz

AVEL MAK

ORIGINÁLNE
Diaľkové ovládače

SONY LCD
11,60 €

Grundig
8,99 €

SEG DVD
7,50 €

Thomson
9,90 €

BEKO
7,95 €

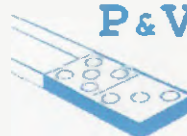
Vestel
9,50 €

Uvedené ceny
sú MOC
vrátane DPH.

LG LCD
8,99 €

www.avelmak.sk

E-mail: avelmak@avelmak.sk
Telefón: +421-57-7682825, Fax: +421-57-7580460



P & V ELEKTRONIK

spol. s r.o.

Nad Rybníkem 589
19012 Praha 9 - Dolní Počernice

VINUTÉ DÍLY PRO ELEKTRONIKU

- Samonosné a tvarové cívky
- Antenní spěkané cívky
- Zákaznické vinuté díly
- Měřicí cívky a senzory
- Transformátory a tlumivky do spínaných zdrojů
- SMD tlumivky a převodníky
- Toroidní síťové transformátory a tlumivky

MECHANIKA NEJEN PRO ELEKTRONIKU

- Nástroje a přípravky pro elektrovýrobu
- Elektroerozivní drátové řezání a hloubení
- Konvenční broušení na plocho, na kulato a tvarové
- CNC soustružení do průměru 41 mm

Provozovna 33544 Kasejovice 389
telefon: 00420371595412, fax: 00420371595280
e-mail: pvelektronic@pvelektronic.com
<http://www.pvelektronic.com>





NEZAPOMÍNEJTE NA TO, CO UMÍME UŽ 20 LET NEJLÉPE

MW2410SZ
751-443



Miniaturní lehký síťový zdroj (adaptér) spínaný, 24 V/1 A vstup 100-240 VAC 25 W ochrana proti zkratu a tepelná ochrana! 0,25kg bez síťové šňůry.

~~195 Kč~~ **149 Kč**

GP-SPRINT CR-123
751-426



Nabíječka pro 1x Li-Ion článek CR-123, 600 mAh, nabíjecí proud 370 mA/3 hodiny, součástí je síťový a automobilový adaptér, 1 ks baterie CR-123/600 mAh.

~~268 Kč~~ **239 Kč**

B-LI2300-SAN
540-255



Značkový lithium-iontový akumulátor SANYO, 3,7V/2300mAh s paskovými vývody, Li-Ion typ 18650, vhodné pro výměnu nebo výrobu aku-packů pro notebooky, modelářství a nebo záložní zdroje. Rozměry 64,9x18,3mm, váha pouze 46,5g! Max. trv. vyb. proud=4A.

~~249 Kč~~ **199 Kč**

CAB-USB-AA2-MF
652-088



USB prodlužovací kabel A vidlice/A zásuvka, délka 2 m.

Ucelenou nabídku propojovacích PC kabelů naleznete ve výpočetní technice na našem e-shopu www.gme.cz

~~25 Kč~~ **20 Kč**

CAB-USB-BB2-MM
652-089



USB kabel B vidlice/B vidlice, délka 2 m.

Ucelenou nabídku propojovacích PC kabelů naleznete ve výpočetní technice na našem e-shopu www.gme.cz

~~25 Kč~~ **15 Kč**

AKUMULÁTOR Ni-MH 9V 150mAh Vinnic
540-352



Akumulátor Ni-MH 9 V-blok, 150 mAh Vinnic GP 8,4 V (6F22, R22).

Vyberte si z nejširší nabídky akumulátorů a baterií na našem e-shopu www.gme.cz

~~89 Kč~~ **69 Kč**

KDE4812PMV1
625-145



Ventilátor SUNDON 120x120x38 mm, 48V DC/225mA, MagLev VAPO ložisko, 246,35m³/hod (145 CFM), 50 dbA, 3.000 ot./min. Označení výrobce: KDE4812PMV1-13.MS.A.G.N.

~~225 Kč~~ **159 Kč**

DAM1575A4D1
757-086



GPS aktivní anténa se zesilovačem s magnetickým uchycením, zisk 27 dB šum F 1,5 dB, konektor SMA standard, napájení po koax. kabelu 3-5 V/15 mA. Kabel RG174 - 5 m. Impedance 50 Ohm, frekvence 1575,42 MHz, šířka pásma 5 Mhz. Teplota 40°C až +85°C. 100% vodotěsná.

~~128 Kč~~ **99 Kč**

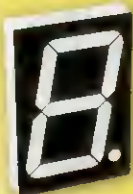
COD220030020E
610-923



Transformátor 230V/50 Hz, 20 VAC/1,5 A, rozměry 72x61x55x54.

~~138 Kč~~ **79 Kč**

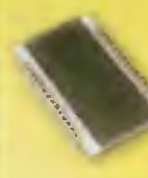
HD-AD14RD
512-088



LED displej 57 mm, vlnová délka 635 nm, barva červená typ SA, Iv na seg. 12 mcd, při If 10 mA, Vřtyp 8,0 V, pouzdro HD-AD01x.

~~128 Kč~~ **59 Kč**

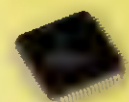
LCD3924
513-139



STN LCD displej, modrý, negativní transreflece, 16 znaků na jednom řádku. Rozměry: 50x30 mm

~~125 Kč~~ **79 Kč**

MC56F8323VFBE LQFP64
979-006



Digital Signal Controller, 32KB Program Flash, 4 KB Program RAM, 8 KB Data Flash, 8 KB Data RAM, 8 KB Boot Flash, 60 MHz frequency, JTAG, EONCE for onobtrusive, real-time debugging, supply voltage 3,0-3,6V, -40 °C to 125 °C, LQFP64

~~608 Kč~~ **299 Kč**

27C040-100
413-050



Paměť EPROM 512Kx8 100ns, Ucc=5 V, COIP32

Ucelenou řadu pamětí EPROM naleznete v elektronických součástkách na našem e-shopu www.gme.cz

~~158 Kč~~ **99 Kč**

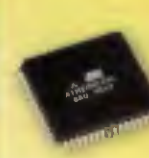
ISD1760PY
341-007



IO pro záznam a přehrávání řeči 60s@8kHz, fsampl. 4kHz-12kHz nastavitelné externím rezistorem, délka záznamu 120 s. až 40 s., Ucc 2,4 až 5,5 V, Icc (standby) 0,5 µA; Top 0 až 70°C, Pout=670. mW@5,5V@8 ohm.

~~148 Kč~~ **119 Kč**

ATmega128L-8AU
958-114



ATMEL AVR 128kB program FLASH, 4kB SRAM, 4 kB EEPROM, 2x8 bit timer, 2x16 bit timer, 6+2 PWM channels, 8x10bit A/D, I²C 2xUSART, SPI, Brown-out, internal RC oscillator, Power save modes compatibility fuse, industry, JTAG, TQFP64, Pb Free.

~~205 Kč~~ **149 Kč**

**LM2574HVN-5
935-012**

Stabilizátor spínaný, Uout 5 V, Iout 0,5 A, Uin max 63 V, pouzdro DIP8.



~~138 Kč~~ **89 Kč**

**TCA785
313-092**

Analogový obvod pro fázové řízení tyristoru a triaku. Umožňuje spínání obvodu v nule (zero switch), DIP16.



~~159 Kč~~ **119 Kč**

**LTC485IN
310-472**

Low power RS485 interface transceiver, Ucc=5 V, 30ms, alternativa za 75176A, -40 až +85 °C, DIL8.



~~113 Kč~~ **49 Kč**

**BNC-M 50 V90
817-031**

Konektor BNC Male (vidlice), 50R (ohmů), zahnutý 90°.



Široký výběr BNC konektorů naleznete v elektronických součástkách na našem e-shopu www.gme.cz

~~39 Kč~~ **29 Kč**

**CENTR.24V S
802-017**

Konektor CENTRONICS samec (vidlice), 24 pinů, samořezný.



Vyberte si z rozsáhlého sortimentu konektorů na našem e-shopu www.gme.cz

~~39 Kč~~ **29 Kč**

**K29588
808-045**

Konektor RCA (CINCH), samec (vidlice), zahnutý 90°, červená barva.



Rozsáhlá nabídka konektorů CINCH je k dispozici v našem e-shopu www.gme.cz

~~7 Kč~~ **3,90 Kč**

**DA7M4X20
623-100**

Distanční sloupek kovový šroubovka M4, délka sloupku 20 mm.



Ucelenou nabídku konstrukčních prvků naleznete na našem e-shopu www.gme.cz

~~5,80 Kč~~ **4,90 Kč**

**F0705SR-7R1
656-245**

Kabelová vývodka rovná na panel, průměr 9,2-10,5 mm.



Komplexní nabídku kabelových vývodků naleznete v internetovém obchodě www.gme.cz

~~2 Kč~~ **1,50 Kč**

**SKS-M310P
662-029**

Plastový šroub, M3x10, hlavice 2,5x6 mm.



Široký výběr plastových a kovových šroubů pro elektroniku na www.gme.cz

~~2 Kč~~ **0,90 Kč**

**S202S12
523-072**

Solid State Relay SSR plus RC, spínání v nule, Uiso 4 kV, It 0,3, Uohm 600 V, Ift 8 mA, pouzdro SIP 4.



~~258 Kč~~ **169 Kč**

**BTW69-1200
002-505**

Tyristor If=50 A, Ur=1200 V, Ig=50 mA, pouzdro TOP-3.



~~297 Kč~~ **199 Kč**

**BC547C TO92 TAP
210-129**

Tranzistor NPN 45V 0,1A NPN 45V 0,1A β= 450-900 TO-92 páskované, tvarované- ohnuté vývody, rozteč 2,5 mm



~~1 Kč~~ **0,50 Kč**

**OSP-822J MAT
611-172**

Tlumivka MATSUTA radiální 8,2 mH 5%, I_{max}=0,10 A, R_{max}=20R, parametry měřeny při 1 kHz/0,25 V, jádro H19 OR 7,5*9 F50, RM=5 mm, tlumivka je alternativou k tlumivce OSP-822J sklč. 611-065.



~~12 Kč~~ **5,90 Kč**

**P6KE30A
222-162**

Transil unipolar 600 W do15, 1mm SuA, U_{rm} 25,6 V, U_{br} min 28,5 V, U_{br} typ 30,0 V, U_{br} max 31,5 V, I_r 1 mA, U_{cl} 41,4 V, I_{pp} 15,0 A.



~~5 Kč~~ **2,90 Kč**

Seznamte se s naší nabídkou solárních produktů na našich prodejnách



*Na zboží v akci se nevztahují žádné další slevy. Uvedené ceny jsou maloběžhodní včetně DPH a dopřepřik na historický elektroobchod. Tiskové chyby vyhrazeny. Akce platí od 1. do 28. února nebo do vyprodání zásob.

Jste náš velkoobchodní zákazník? Využijte k nákupu velkoobchodní e-shop www.gmelectronic.eu a šetřete svůj čas při nakupování.

Podrobnější informace o produktech naleznete na našem webu

www.gme.cz

INFOLINKA 226 535 111 Po-Pá 8-16 hod.

Praha velkoobchod: Křížkova 77, 186 00 Praha 8, e-mail: praha@gme.cz

Praha maloobchod: Thámova 15, 186 00 Praha 8, e-mail: praha.maloobchod@gme.cz

Brno velkoobchod: Koliště 9, 602 00 Brno, e-mail: brno@gme.cz

Brno maloobchod: Koliště 9, 602 00 Brno, e-mail: brno.maloobchod@gme.cz

Pižeň: Dominikánská 8, 301 00 Pižeň, e-mail: pizen@gme.cz

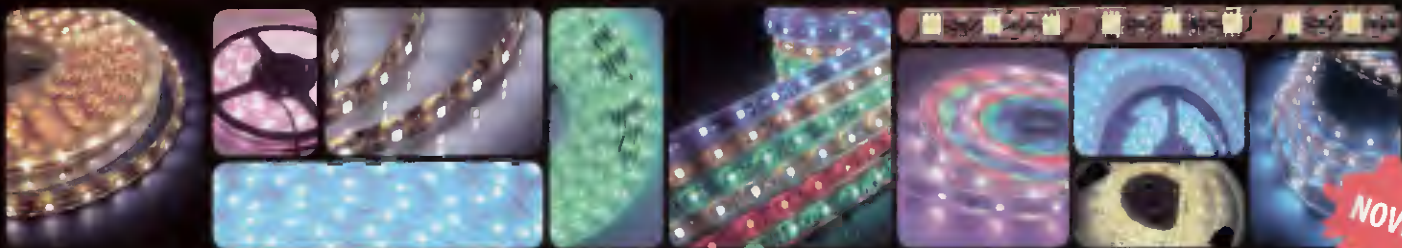
Ostrava: 28. října 254, 709 00 Ostrava, e-mail: ostrava@gme.cz

Bratislava: Mlynské Nivy 58, 821 05 Bratislava, tel.: +421 220 633 403, e-mail: bratislava@gme.sk

Wien: Brünnerstrasse 19, 1210 Wien, tel.: +43 1 27 11 256, e-mail: szaga@gm-e.eu

LED pásy, zdroje a drivery

Kompletní nabídku LED techniky naleznete na www.flajzar.cz



RGB LED pásy + vodotěsné RGB LED pásy	KÓD	Cena modul / 1 metr
RGB LED pásek / 48 LED na 1 metr / 12V	RGB48	47 Kč / 740 Kč
RGB LED pásek / 60 LED na 1 metr / 12V	RGB60	38 Kč / 780 Kč
RGB LED pásek vodotěsný / 30 LED na 1 metr / 12V	RGB30IP	64 Kč / 639 Kč
RGB LED pásek vodotěsný / 60 LED na 1 metr / 12V	RGB60IP	40 Kč / 790 Kč
Jednobarevné LED pásy vodotěsné	KÓD	Cena modul / 1 metr
LED pásek vodotěsný / studená bílá / 60 LED na 1 metr / 12V	CW60IP	19 Kč / 379 Kč
LED pásek vodotěsný / modrý / 60 LED na 1 metr / 12V	B60IP	18 Kč / 369 Kč
LED pásek vodotěsný / zelený / 60 LED na 1 metr / 12V	G60IP	19 Kč / 379 Kč
LED pásek vodotěsný / žlutý / 60 LED na 1 metr / 12V	Y60IP	18 Kč / 369 Kč
LED pásek vodotěsný / červený / 60 LED na 1 metr / 12V	R60IP	18 Kč / 359 Kč

Jednobarevné LED pásy	KÓD	Cena modul / 1 metr
LED pásek / teplá bílá / 60 LED na 1 metr / 12V	YW60	18 Kč / 349 Kč
LED pásek / studená bílá / 60 LED na 1 metr / 12V	CW60	18 Kč / 349 Kč
LED pásek modrý / 60 LED na 1 metr / 12V	B60	17 Kč / 345 Kč
LED pásek zelený / 60 LED na 1 metr / 12V	G60	18 Kč / 349 Kč
LED pásek žlutý / 60 LED na 1 metr / 12V	Y60	17 Kč / 339 Kč
LED pásek červený / 60 LED na 1 metr / 12V	R60	17 Kč / 339 Kč

Všechny LED pásy mají napájení 12V DC. Pásy se skládají z modulů, kde každý jeden modul obsahuje 3 LED diody. Po těchto modulech je možné pásy rozdělovat. Délka modulu se liší dle počtu LED na jeden metr.

Driver RGB LED pásek L12GM

Univerzální ovladač (driver) pro LED pásy RGB, umožňující dálkové ovládní, zapínání, změnu jasu a barvy nebo automatické cykly (prolínání, blikání, strobo efekt, míchání barev). Napájení 12V, maximální výstupní hodnoty 3x12V/3x2A, celkový výkon 72Watt.



Univerzální ovladač LED pásek L12MM

Vhodný ovladač pro jednobarevné LED pásy. Umožňuje dálkové zapnutí / vypnutí a regulaci jasu pásku. Napájení 12V, maximální výstupní výkon 12V/8A = 96Watt.



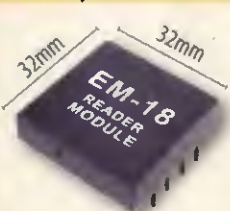
Zdroje pro LED pásy

V naší nabídce naleznete několik typů vhodných zdrojů pro LED pásy. Jedná se o precizní spínané zdroje v podobě klasických zásuvkových adaptérů, nebo v případě venkovního nasazení nabízíme výkonný vodotěsný napáječ.

1. Spínaný napájecí adaptér 12V/0,5A
Cena: 151 Kč/kč, obj. č. S21205
2. Spínaný napájecí adaptér 12V/2A
Cena: 251 Kč/kč, obj. č. S2132
3. Spínaný zdroj pro venkovní použití 12V/1,25A
Cena: 424 Kč/kč, obj. č. L1PT5W



Modul čtečky RFID EM-18

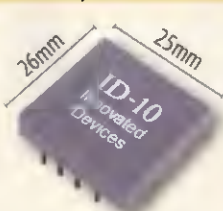


- Formát: EM 4001 nebo kompatibilní
- Frekvence: 125 kHz
- Čtecí vzdálenost: >10cm
- Rozměry: 32x32x8mm
- Kódování: Manchester 64bit
- Formát dat: ASCII nebo Wiegand26
- Výstup: TTL
- Napájení: 5V DC/50mA

Obj. č.: EM-18

350 Kč

Modul čtečky RFID ID-10



- Formát: EM 4001 nebo kompatibilní
- Frekvence: 125 kHz
- Čtecí vzdálenost: >8cm
- Rozměry: 26x25x7mm
- Kódování: Manchester 64bit
- Formát dat: ASCII nebo Wiegand26
- Výstup: RS232/TTL
- Napájení: 5V DC/60mA

Obj. č.: ID-10

420 Kč

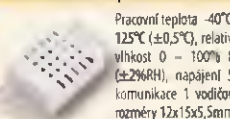
Vybíráme:

Široká nabídka RFID přívěsků, náramků, karet a nálepek



1. RFID náramky v barvách červená, zelená, modrá, černá a oranžová
Cena: 99 Kč/ks
2. RFID karta v bílé barvě
Cena: 69 Kč/ks
3. RFID nálepkové černé
Cena: 45 Kč/ks
4. RFID přívěšky v barvách modrá, šedá, oranžová
Cena: 69 Kč/ks

Kombinované teplotní/vlhkostní čidlo s digitálním výstupem



Pracovní teplota -40°C – 125°C (±0,5°C), relativní vlhkost 0 – 100% RH (±2%RH), napájení 5V, komunikace 1 vodičová, rozměry 12x15x5,5mm.

V naší nabídce naleznete starobice precizního regulátoru teploty a relativní vlhkosti HTR 9 s nastavitelnou hysteresí, využívající právě toto dvojitě čidlo pro měření obou veličin. Podrobnosti na www.flajzar.cz.

Obj. č.: AM2302

290 Kč

Obj. č.: HTR-9

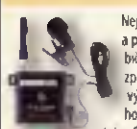
990 Kč

Zveme Vás...
AMPER 2010
13. - 16. 4. 2010 - PRAHA
Budeme tam!

Pohodlný nákup
v našem novém eShopu
na www.flajzar.cz



GSM komunikátor µGATE



Nejmenší komunikátor na trhu s jednoduchými a přehlednými funkcemi v kovové krabici s vysouvacím konektorem. Jednoduché zapojení, dva konfigurovatelné vstupy, dva výstupy, funkce zjištění polohy a mnoho dalšího. Dálková signalizace a ovládní prostřednictvím GSM sítě. Napájení 12V DC. Popis funkce a software ke stažení naleznete na www.flajzar.cz.

Obj. č.: uGATE1K

2990 Kč

GSM ovládní na DIN lištu

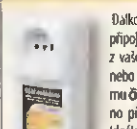


Modul GSM spínáče pro DIN lištu. Napájení 230V, 1x relový výstup do 10A, 1x výstup SSR relé 230V/100mA, dva vstupy pro teplotní čidla, dva digitální vstupy 0-30V, měřič vstup 0-30V. Integrovaný záložní akumulátor, mikrofon a konektor pro připojení antény. Volá a posílá SMS. Ideální pro dálkové spínání a restart spotřebičů, monitorování teploty, odposlech, zabezpečení...

Obj. č.: GSM-DIN1

3200 Kč

GSM ovládní

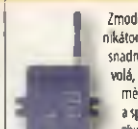


Dálkově ovládaná GSM zásuvka, do které můžete připojit libovolný spotřebič a ten dálkově ovládat z vašeho mobilního telefonu prostřednictvím sms nebo provozním. Díky integrovanému teplotnímu čidlu lze využít jako termostat. Na vstup je možné připojit nejkratiší čidla. Napájení 230V/10A. Ideální pro spínání topení, zavlažování, osvětlení, restartování serverů...

Obj. č.: GSM-DDV2

2690 Kč

GSM komunikátor SIP-600 USB



Zmodernizovaná verze profesionálního GSM komunikátoru řady SIP300. Je vybaven USB portem snadnou konfigurací všech funkcí. Odesílá SIP volá, pět univerzálních vstupů, tři výstupy, dálkové měření teploty, termostat, aktualizace firmwaru a správa přes USB programem G-LINK, tři externí konektory a mnoho dalších funkcí. Napájení 12V DC, spínací relé 30V/1A.

Obj. č.: SIP600-USB

4500 Kč

Široká nabídka sirének a elektroakustických měničů

- piezoměniče s oscilátorem, bez oscilátoru
- varianty pro napájecí napětí od 1,5V
- vývody drátové, pevné, SMD provedení
- miniaturní typy od \varnothing 12mm
- 40 typů k dodání ihned ze skladu



od 12 do 43mm Typy pro snadnou montáž na panel \varnothing od 23 do 42mm Ultrazvukový měnič



Bzučáky pro různá napětí

Výkonné sirény 100-115 dB/1m, 1- 4 zvuky

Miniaturní reproduktory



4 - 32 Ω

Dynamické měniče



32 Ω od \varnothing 8mm

Elektretové mikrofony



od \varnothing 4,5 mm

- katalogové listy Vám zašleme na vyžádání
- možnost dodání vzorků
- u výrobků, které nejsou na skladě min. objednávkové množství 1000ks

▶▶▶ NAVŠTIVTE NÁŠ E-SHOP s RFID výrobky ~ WWW.BEZKONTAKTNI.CZ

PHOBOS[®]
spol. s r.o.

Phobos spol. s r.o.
Horní 199
744 01 Frenštát p. R.
www.phobos.cz

tel.: 556 836 961
fax: 556 836 011
phobos@phobos.cz
e-shop:www.bezkontakti.cz

NOVÝ SORTIMENT

ERA COMPONENTS spol. s r.o.

SYFER **NOVACAP** **ST** **VITROHM**

SKLADEM - K DODÁNÍ IHNEDE

ČIPOVÉ REZISTORY SMD

1206 1R0 - 10M 5%, 1% TK200/100 od 0,02 Kč/ks
0805 1R0 - 10M 5%, 1% TK200/100 při odběru 5000 ks/cívka
0603 1R0 - 10M 5% TK200

MINIATURNÍ REZISTORY METAL-FILM

velikost 0207 1% TK50 0,6 W od 0,15 Kč/ks

SUBMINIATURNÍ REZISTORY METAL-FILM

velikost 0204 1% TK50 0,4 W \varnothing 1,8 x 3,3 mm od 0,15 Kč/ks

Na skladě k okamžitému dodání hodnoty:

200R, 1k, 33k, 39k, 56k, 75k, 76k8, 78k7, 80k6, 82k5, 84k5, 86k6, 88k7, 90k9,
93k1, 95k3, 97k6, 102k, 107k, 110k, 113k, 115k, 118k, 121k, 124k, 127k, 130k,
133k, 137k, 140k, 143k, 147k, 150k, 154k, 158k, 160k, 162k, 165k, 169k, 174k,
178k, 182k, 187k, 191k, 196k, 200k, 220k, 301k, 430k, 470k, 510k, 560k, 620k,
680k, 750k, 820k, 1M0, 1M2, 1M3, 1M5, 2M4, 2M7, 5M8

PŘESNÉ VÝVODOVÉ REZISTORY 0,1%

24R9 0,1% TK25 0,6W vel. 0207 od 1 ks od 25 ks 100-
3,68 2,84 1,00

VÝVODOVÉ REZISTOROVÉ SÍŤE SIP

L05-1 10R - 1M0 2%, 4x R, spol.vývod, SIP5
L08-3 10R - 1M0 2%, 8x R, jednotlivě, SIP8 od 0,98 Kč/ks
L09-1 10R - 1M0 2%, 8x R, spol.vývod, SIP9

Ceny v Kč bez DPH

Piatl do vyprodání zásob.

Michelská 12a, 140 00 Praha 4 tel.: 241483138 fax: 241481161 era@comp.cz

FlowCAD

Pracujte s viac Design Rule Check

kontrola pravidel dizajnu v systéme OrCAD a Allegro



Do verzie 16.3 národných systémov OrCAD a Allegro od firmy Cadence boli implementované mnohé nové možnosti, ktoré umožňujú efektívnu kontrolu pravidiel dizajnu (DRC), ktoré môžete za pomoci Constraint Managera rýchlo a efektívne aktualizovať a spravovať.

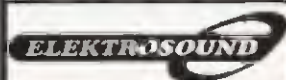
Pracujte Same Net Rule pravidla editovať jedným klikom. Nastavené pravidlá sa konfigurovajú pre konkrétne objekty, ktoré sú zapojené v jednej sieti. Telo je napríklad obklopené pri „Same“ spojoch (pod VIL na obr.) alebo pri „High Speed“ zapojeniach (vri LIL na obr.).

Viac informácií naskopí na: www.FlowCAD.cz

www.flowcad.cz

Plošné spoje rychle, levně, kvalitně

Zhotovíme jedno i dvojstranné pl. spoje dle časopisů AR, KTE i dle vlastních předloh. Běžné dodací lhůty týden až 10 dnů. Po domluvě i express do 24 hodin.



Borská 33, 301 00 Plzeň

tel/fax: 377326701 mobil: 603264981

www.elektrosound.cz e-mail: obchod@elektrosound.cz



System pro návrh desek plošných spojů

Distributor: T.E.I. Ing. Aleš Hamáček
tel.: 603 540 067; fax: 371 725 588

<http://www.formica.cz>

OPTOELEKTRONICKÁ ČIDLA A ZÁVORY

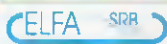


INFRA ZÁVORY 12m
REFLEX. ZÁVORY 5m
DIFUZNÍ ČIDLA 1,2m
INDUKČNÍ ČIDLA 6mm

PROGRAMOVATELNÁ ČIDLA A ZÁVORY

Použití: kontrola osob, předmětů, rozměru, ochrana objektů

REHABILITAČNÍ A MASAŽNÍ PRÍSTROJE



Rečice 22
388 01 BLATNÁ

e-mail: srb@elfa.cz

<http://www.elfa.cz>

tel. fax 383 423 652

www.aradio.cz

KONEKTORY - BRNO, s.r.o.

Musilova 1, 614 00 BRNO

tel. + fax: 541 212 577

www.konektor.cz

e-mail: brno@konektor.cz

V novém roce
s novým softwarem

sPlan 7.0

www.elvo-plzen.cz

tel. 378 605 510

Prodej elektronických měřicích přístrojů.



repasované, nové

Elex - Křenová 12
Brno 60200

Tel/fax 543255252/1

www.elexbrno.cz

elex@elexbrno.cz



Provádíme opravy a kalibrace.

LSD 2000

český návrhový systém pro elektroniku
nová verze 6

- editor schematických značek a schémat
- editor palic a plošných spojů
- automatický návrh spojového obrazce
- tisk - PostScript - (Extended) Gerber
- NC vtačky - frézy - osazovací automaty
- PCL - HPGL - DXF - BMP - WMF

Ing. Zdeněk Mysliveček tel. 608 438 780
Ing. Tomáš Orel e-mail: lsd2000@lsd2000.cz

www.lsd2000.cz

Programing Speed Improvement

BeeProg2

EXTRÉMNE RÝCHLY UNIVERZÁLNÝ PROGRAMÁTOR

NOVINKA

BeeProg+

VELMI RÝCHLY UNIVERZÁLNÝ PROGRAMÁTOR

Podporuje > 51000 obvodů!

- konektor pro ISP
- duální připojení k PC: USB port / printer port
- možnost násobného programování připojením více programátorů k jednomu PC
- záruka - 3 roky

programovanie a verifikacia [s]			
Obvod	Veľkosť [bity]	BeeProg2	BeeProg+
Atmel AT89C01	8192 bit	10.0	48.4
Atmel AT89C02	16384 bit	14.0	42.0
Atmel AT89C04	32768 bit	18.0	39.0
Atmel AT89C05	65536 bit	22.0	36.0
Atmel AT89C06	131072 bit	26.0	33.0
Atmel AT89C08	262144 bit	30.0	30.0
Atmel AT89C10	524288 bit	34.0	27.0
Atmel AT89C12	1048576 bit	38.0	24.0
Atmel AT89C16	2097152 bit	42.0	21.0
Atmel AT89C20	4194304 bit	46.0	18.0
Atmel AT89C46	8388608 bit	50.0	15.0
Atmel AT89C60	16777216 bit	54.0	12.0
Atmel AT89C128	33554432 bit	58.0	9.0
Atmel AT89C256	67108864 bit	62.0	6.0
Atmel AT89C512	134217728 bit	66.0	3.0
Atmel AT89C1024	268435456 bit	70.0	0.0
Atmel AT89C2048	536870912 bit	74.0	0.0
Atmel AT89C4096	1073741824 bit	78.0	0.0
Atmel AT89C8192	2147483648 bit	82.0	0.0
Atmel AT89C16384	4294967296 bit	86.0	0.0
Atmel AT89C32768	8589934592 bit	90.0	0.0
Atmel AT89C65536	17179869184 bit	94.0	0.0
Atmel AT89C131072	34359738368 bit	98.0	0.0
Atmel AT89C262144	68719476736 bit	102.0	0.0
Atmel AT89C524288	137438953472 bit	106.0	0.0
Atmel AT89C1048576	274877906944 bit	110.0	0.0
Atmel AT89C2097152	549755813888 bit	114.0	0.0
Atmel AT89C4194304	1099511627776 bit	118.0	0.0
Atmel AT89C8388608	2199023255552 bit	122.0	0.0
Atmel AT89C16777216	4398046511104 bit	126.0	0.0
Atmel AT89C33554432	8796093022208 bit	130.0	0.0
Atmel AT89C67108864	17592186044416 bit	134.0	0.0
Atmel AT89C134217728	35184372088832 bit	138.0	0.0
Atmel AT89C268437456	70368744177664 bit	142.0	0.0
Atmel AT89C536874912	140737488355328 bit	146.0	0.0
Atmel AT89C1073749826	281474976710656 bit	150.0	0.0
Atmel AT89C2147499653	562949953421312 bit	154.0	0.0
Atmel AT89C4294999306	1125899906842624 bit	158.0	0.0
Atmel AT89C8593998613	2251799813685248 bit	162.0	0.0
Atmel AT89C17187997226	4503599627370496 bit	166.0	0.0
Atmel AT89C34375994453	9007199254740992 bit	170.0	0.0
Atmel AT89C68751989006	18014398509481984 bit	174.0	0.0
Atmel AT89C137503978012	36028797018963968 bit	178.0	0.0
Atmel AT89C275007966024	72057594037927936 bit	182.0	0.0
Atmel AT89C550015932048	144115188075855872 bit	186.0	0.0
Atmel AT89C1100031864096	288230376151711744 bit	190.0	0.0
Atmel AT89C2200063728192	576460752303423488 bit	194.0	0.0
Atmel AT89C4400127456384	1152921504606846976 bit	198.0	0.0
Atmel AT89C8800254912768	2305843009213693952 bit	202.0	0.0
Atmel AT89C17600509825344	4611686018427387904 bit	206.0	0.0
Atmel AT89C35201019650688	9223372036854775808 bit	210.0	0.0
Atmel AT89C70402039301376	18446744073709551616 bit	214.0	0.0
Atmel AT89C140804076022752	36893488147419103232 bit	218.0	0.0
Atmel AT89C281608152045504	73786976294838206464 bit	222.0	0.0
Atmel AT89C563216304091008	147573952589676412928 bit	226.0	0.0
Atmel AT89C1126432608182016	295147905179352825856 bit	230.0	0.0
Atmel AT89C2252864121634032	590295810358705651712 bit	234.0	0.0
Atmel AT89C4505728243268064	1180591620717411303424 bit	238.0	0.0
Atmel AT89C9011456486536128	2361183241434822606848 bit	242.0	0.0
Atmel AT89C18022912973072256	4722366482869645213696 bit	246.0	0.0
Atmel AT89C36045825946144512	9444732965739290427392 bit	250.0	0.0
Atmel AT89C720916518922881024	18889465931478580854784 bit	254.0	0.0
Atmel AT89C1441833037845762048	37778931862957161709568 bit	258.0	0.0
Atmel AT89C2883666075691524096	75557863725914323419136 bit	262.0	0.0
Atmel AT89C5767332151383048192	151115727451828646838272 bit	266.0	0.0
Atmel AT89C115346643027660833728	302231454903657293676544 bit	270.0	0.0
Atmel AT89C230693286055321667456	604462909807314587353088 bit	274.0	0.0
Atmel AT89C461386572110643334912	1208925819614629174706176 bit	278.0	0.0
Atmel AT89C9227731442212866688256	2417851639229258349412352 bit	282.0	0.0
Atmel AT89C1845546284442573337728	4835703278458516698824704 bit	286.0	0.0
Atmel AT89C3691092568885146745456	9671406556917033397649408 bit	290.0	0.0
Atmel AT89C7382185137770892890912	19342813113834066795298816 bit	294.0	0.0
Atmel AT89C14764370275541781781824	38685626227668133590597632 bit	298.0	0.0
Atmel AT89C2952874055108356356352	77371252455336267181195264 bit	302.0	0.0
Atmel AT89C59057481102167127138272	154742504910672534362390528 bit	306.0	0.0
Atmel AT89C11811496220433425427456	309485009821345068724781056 bit	310.0	0.0
Atmel AT89C23622992440866850854912	618970019642690137449562112 bit	314.0	0.0
Atmel AT89C472459848817337177118224	1237940039285380274899124224 bit	318.0	0.0
Atmel AT89C9449196976346743542464	2475880078570760549798248448 bit	322.0	0.0
Atmel AT89C18898393952693487089968	4951760157141521099596488896 bit	326.0	0.0
Atmel AT89C37796787905386974179936	9903520314283042199192977792 bit	330.0	0.0
Atmel AT89C7559357581077395139872	19807040628566084398385955584 bit	334.0	0.0
Atmel AT89C15118715162154790777964	39614081257132168796771911168 bit	338.0	0.0
Atmel AT89C3023743032430958155552	79228162514264337593543822336 bit	342.0	0.0
Atmel AT89C60474860648618763111104	158456325028528675187087644672 bit	346.0	0.0
Atmel AT89C120949721297235352222208	316912650057057350374175289344 bit	350.0	0.0
Atmel AT89C241899442594470704444416	633825300114114700748350578688 bit	354.0	0.0
Atmel AT89C483798885188941401496896	1267650600228229401496717377376 bit	358.0	0.0
Atmel AT89C96759777037788280299376	2535301200456458802993434754752 bit	362.0	0.0
Atmel AT89C193519544075576564598752	5070602400912917605986869509504 bit	366.0	0.0
Atmel AT89C387039088151153112919744	10141204801825835211973739019008 bit	370.0	0.0
Atmel AT89C77407817630230622547488	20282409603651670423947478038016 bit	374.0	0.0
Atmel AT89C15481563526046125094976	40564819207303340847894956076032 bit	378.0	0.0
Atmel AT89C30963127052092250189952	81129638414606681695789912152064 bit	382.0	0.0
Atmel AT89C61926254104184501379904	162259276829213363391579824304128 bit	386.0	0.0
Atmel AT89C123852508208369002739808	324518553658426726783159648608256 bit	390.0	0.0
Atmel AT89C247705016416738005477616	649037107316853453566319297216512 bit	394.0	0.0
Atmel AT89C49541003283347600109532	1298074214633707107132638944430024 bit	398.0	0.0
Atmel AT89C99082006566695200218064	2596148429267414214265277888860048 bit	402.0	0.0
Atmel AT89C198164013133390400436128	5192296858534828428530555777720192 bit	406.0	0.0
Atmel AT89C396328026266780800872256	10384593717069656857061111555440384 bit	410.0	0.0
Atmel AT89C792656052533561601744512	20769187434139313714122223110880768 bit	414.0	0.0
Atmel AT89C1585312105067123203488224	41538374868278627428244446221761536 bit	418.0	0.0
Atmel AT89C3170624210134444467376448	83076749736557254856488892443523072 bit	422.0	0.0
Atmel AT89C6341248420268888934754896	166153499473114509712977784887046144 bit	426.0	0.0
Atmel AT89C1268249684053777779495936	332306998946229019425955569774082288 bit	430.0	0.0
Atmel AT89C253649936810755555899984	6646139978924580388519111395481655744 bit	434.0	0.0
Atmel AT89C507299873621511117799968	1329227995784916077703822279096311488 bit	438.0	0.0
Atmel AT89C1014599747242222355599936	2658455991569832155407644558192622976 bit	442.0	0.0
Atmel AT89C2029199494484444711199872	5316911983139664310815289116385245952 bit	446.0	0.0
Atmel AT89C4058398988968889422399744	10633823966279328621630578232770491904 bit	450.0	0.0
Atmel AT89C8116797977937777844799488	21267647932558657243261156465540838816 bit	454.0	0.0
Atmel AT89C16233595955875555689599776	425352958651173144865223129310881763328 bit	458.0	0.0
Atmel AT89C3246719191175111137999552	85070591730234628973044625862176346656 bit	462.0	0.0
Atmel AT89C6493438382350222275999104	17014118346046925794608925172435269312 bit	466.0	0.0
Atmel AT89C129868767647004445151998208	34028236692093851589217850344870581824 bit	470.0	0.0
Atmel AT89C2597375352940088930			

www.reproduktory.org

Staré triky
výrobců...

Na co si dát
pozor?

Jak vybrat
ozvučení?

PORTÁL na ozvučení

Nepřehledný
e-shop
s množstvím
blikajících slev?

NE!

DEXON[®]

TEORIE - KONSTRUKCE - NAVRHY UZVUČNÝCH
PORADNA - DISKuze - INZERCE

DEXON[®]

Převodníky ETHERNET - RS232/422/485

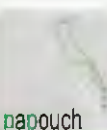
Různá provedení, snadné použití, nízká cena (převodník, webový server, FTP server, ...), zakázkový software

Převodníky USB - RS232/485/422

"Chybí Vám sériový port?"
Běžné i průmyslové provedení, galvanické oddělení, přenos všech signálů, virtuální driver

Převodníky a opakovací linek RS232 i RS485/422

Galvanické oddělení, přepětová ochrana, různá provedení, vysoká spolehlivost



Teploměry

S výstupy RS232/485, USB, Ethernet (IP teploměr). Měření přímo ve °C

Měřicí moduly DRAK

AD převodník 0-10 V, 4-20 mA, výstup Ethernet, USB, RS232/485. Nové rychlé provedení

Optické oddělení a prodloužení RS232

I/O moduly pro RS232/485/422, USB, Ethernet

PAPOUCH s.r.o.

Elektronické aplikace dle Vašich požadavků - www.papouch.com
Strašnická 1a, Praha 10, tel. 267 314 267-9, 602 379 954

ELTIP s.r.o., elektrosoučástky

Velkoobchod, maloobchod, zásilková služba

Bulharská 961, 530 03 Pardubice

☎ 466 611 112, 466 657 688, fax 466 657 323

eltip@eltip.cz www.eltip.cz

L7805CV ST TO220	á 3,90/50ks	MAX232IN TI	á 6,80/20ks
L7805ABV TO220	á 4,90/50	MAX232EWE	á 15,50/10
PC817 Sharp	á 2,90/50	NE 555N ST	á 1,95/50
TNY264-6.78 PN	á 29,50/1ks	ULN 2003AN	á 2,80/25
Relé SCHRACK RT 424 012, 024 (2x 8A) 12, 24 VDC	á 45, /20ks		
Relé SCHRACK RT 314 012, 024 (1x16A) 12, 24 VDC	á 45, /20ks		
Relé SCHRACK RT 314, 424 730 (1x16A, 2x8A) 230 V ~	á 89, /20ks		
Baterie lithiové CR 2032 PANASONIC	á 9,50/10ks		

Aktuální ceny dalších součástek sdělíme na požádání e-mailem, faxem.

Distribuce sortimentu ENIKA, LINEAR TECHNOLOGY, SUNON, WAGO, ...

Pro dodržení cen z tohoto inzerátu uvádějte
na objednávkách kód SPEC. NAB. 01/2008

Ceny bez DPH

BS ACOUSTIC

BS ACOUS TIC CZ, s.r.o., Brno - CZ
tel.: 00420 541 633 797

BS ACOUSTIC, s.r.o., Radošovce - SK
tel.: 00421 34 660 4511

REPRODUKTORY

REPROSOUSTAVY

OZVUCOVACÍ TECHNIKA

CAR-HIFI-PROFESSIONAL SOUND SYSTEMS

www.bsacoustic.com

ELEKTRONICKÉ SOUČÁSTKY
e-mail: bucek@bucek.name
www.bucek.name

Jaromír BUČEK
Tel/Fax: (05) 45 21 54 33
Vranovská 14, 614 00 BRNO

Výroba zakázkových
plošných spojů - jednostranné
- oboustranné

- * plošné spoje dle časopisů AR, PE, KE, Radio PLUS (KTE)
- * plošné spoje zakázkové - jednostranné,
Oboustranné prokovené/neprokovené
(měďáky, cínované, vrtané, s nepájivou maskou, s potiskem)
- * zhotovení filmových předloh
- * digitalizace plošných spojů
- * digitalizace dat pro strojní vrtání
- * výroba plošných spojů z hotových DPS, ke kterým nejsou výrobní podklady

Bližší informace o výrobě naleznete na www.bucek.name



Posvitme si na něj, ale jak?

Všichni známe tu klasickou větu, doplněnou často několika vykřičníky: „Já si na ??? posvítím!“. Namísto otazníků si doplňte slovo z vlastní zkušenosti. Jeden si posvítit na sou-



obr. 1

seda v paneláku, neb mu mete smetí pod rohožku, další si posvítí na svoji ratolest, neboť známky ratalosti v žákovské knížce, vyjádřené číselnou hodnotou, silně kopírují stoupající trend cen. Prostě posvítit si lze v přeneseném slova smyslu na kohokoliv či cokoliv a jakkoliv. Hádka mezi sousedy či kárání potomka je ten mírnější způsob naplnění přeneseného významu.



obr. 3

Zabývejme se světlem a svícením v tom pravém slova smyslu. Ty tam jsou doby, kdy se chodilo brzy

spát, aby se šetřily louče nebo později petrolej v lampách. Díky elektrické se bavíme i pracujeme dlouho do noci. Kvůli úspoře energie se, ač často neradi, loučíme v mnoha aplikacích s klasickou žárovkou a nahrazujeme ji moderními světelnými zdroji. Podívejme se na některé z nabízených v prodejnách GM Electronic Praha.

Úsporné žárovky, dnes nejběžnější náhrada za žárovky klasické. Jsou k dispozici typy ve tvaru spirály. Jejich životnost je udávána 8000 hodin, barevná teplota 4100 K. O-FULL SPIRAL E14 13 W, 4100 K, skladové číslo 510-114, cena Kč 69,- nahrazuje klasickou žárovku o výkonu 55 W. O-FULL SPIRAL E14 15 W, 4100 K, skl.číslo 510-113 (obr. 1), s cenou Kč 75,- nahrazuje klasickou žárovku 60 W, patice také E14.

O-FULL SPIRAL E27 15 W, 4100 K, skl. číslo 510-117 (obr. 2), cena Kč 79,- nahrazuje klasickou žárovku 60 W s patičkou E27. Klasickou žárovku 75 W s patičkou E27 nahrazuje typ O-FULL SPIRAL E27 20 W, 4100 K, skl.číslo 510-116 za Kč 89,-. Poslední ve výčtu, náhrada za klasiku 100 W s patičkou E27 je O-FULL SPIRAL E27 23 W, 4100 K, skl. číslo 510-115 s cenou Kč 95,-. V názvu úsporných žárovek je zakonponován jejich skutečný příkon, který je cca 1/4 spotřeby tradiční žárovky o stejné svítivosti.

Samozřejmě v nabídce zůstávají i tradiční žárovky s patičkou E27, s číselnou baňkou o příkonech 25, 40, 60 a 75 W s jednotnou cenou Kč 10,-. V prodejnách jsou k dispozici také modifikace klasických žárovek s příkonem 40 W a reflektorem. O-E-14C040R50F, skl. číslo 516-221 (obr. 3), se závitem E14, v ceně Kč 25,- a O-E27C040R63F, skl. číslo 516-214 (obr. 4) se závitem E27, v ceně Kč 29,-.

Posvítit si lze samozřejmě i jinými, inovovanými zdroji, odvoze-

nými z klasické žárovky. Takovou modifikací jsou žárovky halogenové. Svými vlastnostmi si udržují stále své místo na trhu. Mají zvýšenou svítivost, přitom barevná teplota je velice příznivá. Lineární žá-



obr. 2

rovky do průmyslových reflektorů O-HAL.100W 78MM v ceně Kč 39,-, skl.číslo 516-208 (obr. 5) o příkonu 100 W a jejich výkonější provedení o příkonech 150, 200, 250, 300, 500 a 1000 W s délkou 118 mm. Úspornější náhradou za halogenové lineární žárovky pro délku 118 mm je upravená kompaktní zářivka s příkonem 24 W BALTA-24W 118MM skl.číslo 510-149 (obr. 6) s cenou Kč 292,-.



obr. 4

Zapomněli jsme na aplikace LED diod pro osvětlování? Nezapomněli. Jen široký rozsah osvětlovacích

prvků na bázi „ledek“ vydá na několik podobných článků. Všimněme si několika aplikací na síťové napětí 230 V. O-LED SPOT E27-A 1x1W COOL WHITE, skl. číslo 517-004,



obr. 5

cena Kč 249,-. Reflektorová bodová diodová žárovka s patičkou E27 ve studené bílé barvě o příkonu 1 W. Příznivci teplejšího odstínu bílé barvy mohou použít O-LED SPOT E27-A 1x1W WARM WHITE, skl. číslo 517-005 (obr. 7) ve stejné ceně Kč 249,- ve shodném mechanickém provedení. Tyto bodové žárovky E27, 1 W dodáváme také v barevném provedení s jednotnou cenou Kč 249,-. Barvy modrá, zelená, červená, žlutá (obr. 8).

Obdobně vyhlíží řada LED bodových žárovek na 230 V s příkonem 3 W. Jsou dodávány v barvách studená bílá, teple bílá, červená, žlutá, modrá, zelená ze jednotnou cenu Kč 299,-. Názvy jsou stejné, jen



obr. 6

na konci se mění podle označení barvy. O-LED SPOT E27-A 1x3W WARM WHITE, skl. číslo 517-011 je označení pro žárovku s teple bílým světlem, O-LED SPOT E27-A 1x3W RED pro červenou barvu. Použití těchto žárovek dává nové

možnosti do rukou nejen bytovým architektům, ale všem domácím kutilům. Kromě úspory energie stojí za zmínku minimální tepelné namáhání okolí svítidla a dlouhá životnost.

O jiných hotových diodových světelných zdrojích přistě. Musím upozornit na zajímavý námět pro bastlíře, jak si pořídit levné osvětlení z bílých ledek. V prodejnách GM Electronic je ve výprodejní ceně Kč 1,- LED dioda bílá, 5 mm, svítí-



obr. 7

vost 7000 mcd. Při odběru celého balení 500 ks je její cena dokonce jen Kč 0,50. Označení má LED 5MM WHITE 11000/15° VYPRODEJ, skladové číslo 511-713 (obr. 9). Jak ledku aplikovat snad není



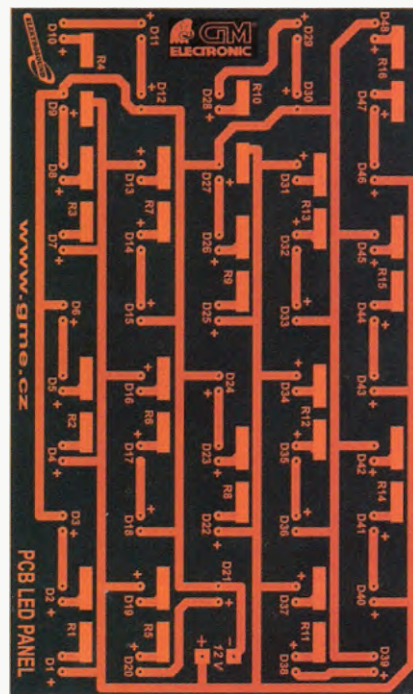
obr. 9

třeba bastlířům vysvětlovat. Ale jeden námět si přece neodpustím. Pro výrobu osvětlovací lišty nebo panelu pro napájení 12 V jsou v prodeji desky plošných spojů pro serioparalelní zapojení trojic LED diod. PCB-LED LISTA 24 LED 766-434 je

lišta pro zapojení osmi trojic led na napětí 12 V s použitím vhodných odporů. Je předvrtaná, odpory lze použít jak s drátovými vývody, tak v smd provedení. Za cenu Kč 40,- si ušetříme leptání při výrobě desky plošného spoje.

Kdo potřebuje vyrobit větší světelný panel, ocení polotovary vrtné desky PCB-LED PANEL 48 LED, skl. číslo 766-436 (obr. 10) za Kč 85,-. Je také připraven pro napájení 12 V a montáž 48 LED diod.

Všechny způsoby jak si posvítit s výrobky z GM Electronic jsme dnes nevyčerпали. V prodejnách v Praze na Thámově 15, v Brně na Kolišti 9, v Ostravě, 28. října 254, v Plzni, Dominikánská 8 a na Slovensku v Bratislavě, Mlynské Nivy 58 si jistě najdete další náměty pro netradiční aplikace osvětlení. Nechte se také inspirovat webem www.gme.cz a www.gme.sk. Sekce dům, byt kancelář – osvětlovací technika.



obr. 10



obr. 8

RPM meter

Viliam Sabol

RPM meter je otáčkomer s rozsahom od 0 do 5 000 otáčok za minútu. Zariadenie je schopné merať s rozlíšením až stotín otáčok, a je teda vhodné použiť ho na meranie otáčavého pohybu pre prístroje s plynulou reguláciou otáčok (napr. sústruh...). Otáčavý pohyb je snímaný opticky reflexným optočlenom CNY70, ktorý sníma pruhy enkodéru umiestneného na rotore meraného prístroja. Otáčkomer funguje v troch režimoch. V RPM a RPS režime meria počet otáčok za minútu, resp. za sekundu, a v COUNTER režime počíta otáčky rotora. Špeciálnou funkciou je zadávanie počtu pruhov enkodéru, ktorou je možné zvýšiť presnosť merania na desiaty až stotiny otáčky.

Popis zapojenia

Základom konštrukcie (obr. 1) je mikroprocesor Atmel AVR - ATmega8. Je taktovaný externým kryštálom Q1 s frekvenciou 12 MHz a je doplnený o dvojicu keramických kondenzátorov C6 a C7, ktoré upravujú impedancie v obvode. Aby sa zabránilo externému resetu mikroprocesora, je k pinu RESET mikroprocesora pripojený pull-up rezistor R4. Mikroprocesor je možné preprogramovať bez väčšieho zásahu do zariadenia, pretože na programovací konektor sú vyvedené piny mikroprocesora potrebné pre sériové programovanie (RESET, MISO, MOSI, SCK). Z hľadiska bezpečnosti sa pri programovaní používa externé napájanie 5 V, a v tom prípade zabraňuje dióda D5 toku prúdu do zdrojovej časti zariadenia. Pri pro-

gramovaní je nutné odpojiť zariadenie od siete.

Výstup optočlena CNY70 (obr. 2), odoberaný z kolektora fototranzistora, je privedený na PB0 - Input Capture Pin mikrokontroléra. Ako pull-up je použitý rezistor R3 s odporom 22 kΩ. S týmto odporom mikroprocesor rozlišuje nízku úroveň v prípade, keď na fototranzistor dopadá odrazené svetlo od bieleho pruhu enkodéru, a vysokú úroveň v prípade, keď sa svetlo z fotodiódy od čierneho pruhu neodrazí. Kolektorový prúd závisí tiež na vzdialenosti senzora od povrchu enkodéru. Pre správnu činnosť otáčkomeru je vhodné umiestniť senzor 2 až 6 mm nad enkodér. Senzor má vždy lepšie rozlíšenie, ak je os fotodiódy a fototranzistora kolmá na hranu pruhu enkodéru. Minimálna šírka pruhov enkodéru závisí na vzdialenosti

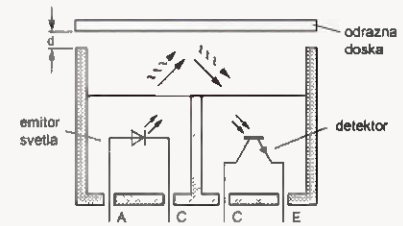
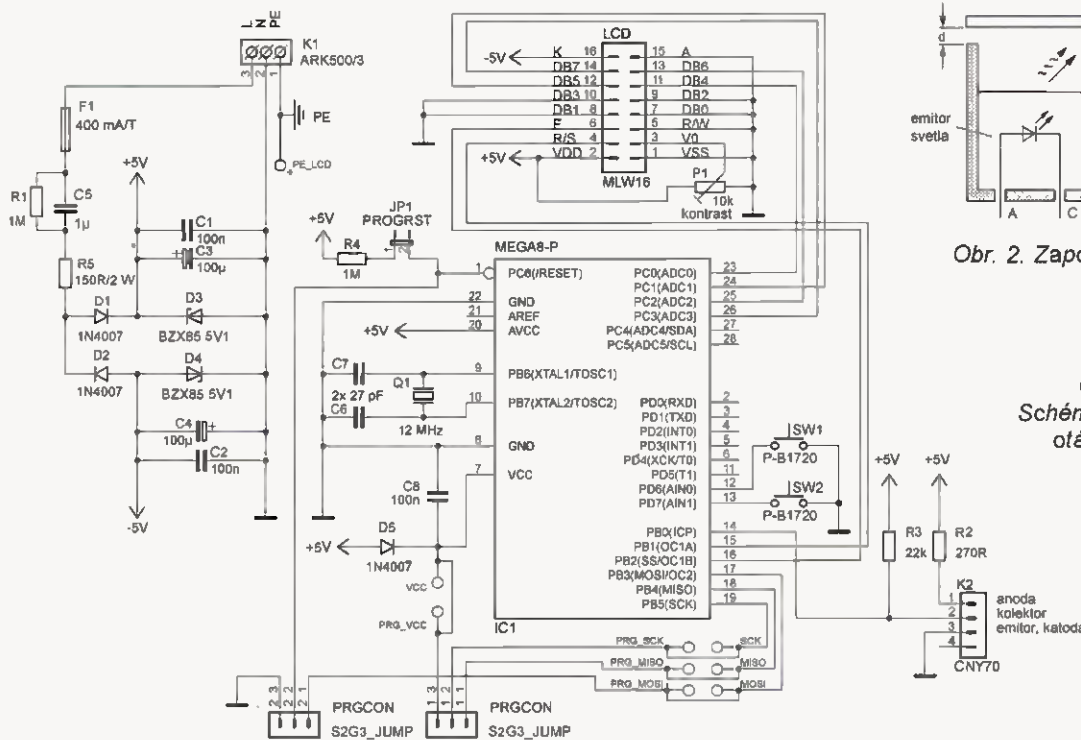


senzora od povrchu enkodéru. Závislosť je znázornená v grafe na obr. 3.

Na ovládanie otáčkomeru sa používajú tlačidlá SW1 a SW2, pripojené na piny PD6 a PD7. Pre zjednodušenie konštrukcie sú pre tieto piny zapnuté interné pull-up rezistory.

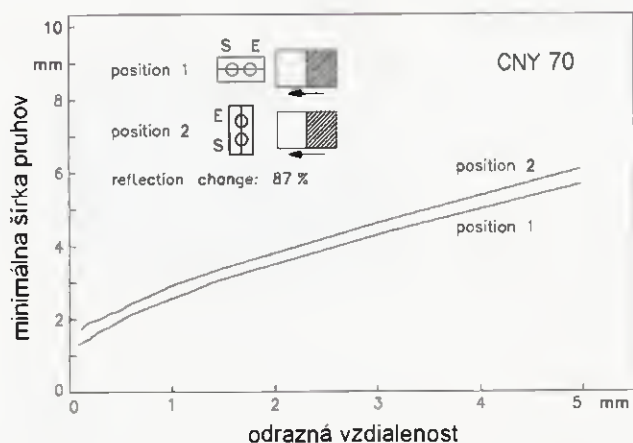
Namerané výsledky sú zobrazované na displeji so štandardným radičom HD44780. Displej komunikuje s mikroprocesorom v tzv. 4-bitovom režime, a je možný iba zápis do LCD, pretože R/W pin LCD modulu je uzemnený. Datové linky LCD modulu sú cez konektor typu MLW16 pripojené na piny PC0 až PC3, RS a ENABLE na piny PB1 a PB2 mikroprocesora. Kontrast displeja je možné nastaviť trimrom P1. V prípade, že kovový rám displeja nie je umiestnený v krabicike zariadenia, je potrebné ho z bezpečnostných dôvodov prepojiť s ochranným vodičom (PE).

Zariadenie je napájané priamo zo siete 230 V/50 Hz bez použitia transformátora. Stabilizovaný zdroj napätia 5 V pre mikrokontrolér je tvorený sériovým kondenzátorom C5 spolu s vyblacím rezistorom R1. Rezistor R5 obmedzuje prúdový náraz pri pri-



Obr. 2. Zapojenie CNY70

Obr. 1. Schéma zapojenia otáčkomeru



Obr. 3. Minimálna šírka pruhov enkodéra

pojení zariadenia do siete. Poistka F1 chráni zariadenie v prípade prerazu kondenzátora C5. Zdrojom napätia 5 V pre mikroprocesor, optický senzor CNY70 a logiku LCD modulu, sú usmerňovacia dióda D1 a Zenerova dióda D3 na 5,1 V. Zápornú polvlnu striedavého sieťového napätia využívajú diódy D2 a D4, ktoré sú zdrojom pre podsvietenie LCD. Na výstupe zdroja sú použité kondenzátory C1 až C4 na vyhladenie napätia a obmedzenie prúdových špičiek pri pripojení zariadenia do siete.

Software

Zariadenie využíva mikroprocesor ATmega8, čomu je prispôsobený aj program, ktorý je napísaný v jazyku AVR Assembler v2. Po úprave zdrojového kódu je možné použiť aj iný mikroprocesor typu AVR s podobnými vlastnosťami. Všetky časové konštanty v programe sú odvodené od použitej taktovacej frekvencie 12 MHz, a preto pri použití iného hodinového zdroja je potrebné ich znovu prepočítať. Na výpočet RPM/RPS hodnoty sa používa Input Capture Unit časovača, ktorý pri každej nástupnej hrane vo vstupnom signále vygeneruje prerušenie a zaznamená hodnotu časovača - timestamp. Týmto je možné spočítať čas medzi jednotlivými otáčkami. Nástupná hrana vo vstupnom signále

znamená, že senzor sníma prechod z odrazivej plochy na svetlo pohlcujúcu plochu, teda v prípade použitia enkodéra bude zariadenie reagovať na prechod z bieleho na čierny pruh. Aby sme dostali hodnotu RPM/RPS, musíme vydeliť čas odpovedajúci jednej minúte/sekunde časom medzi jednotlivými otáčkami. Pre nastavenie časovača sa ukázalo, že s použitím prescaler hodnoty 256 je presnosť postačujúca. Napriek tomu sú hodnoty času (v cykloch MCU) vysoké, a preto je pôvodný 16-bitový časovač rozšírený o ďalší bajt v prídavnom registri, ktorý je inkrementovaný v overflow prerušení časovača. Hodnota času 1 s pri frekvencii 12 MHz a prescaler hodnote časovača 256 je

$$12\,000\,000 / 256 = 46\,875$$

tikov časovača. Pre timestamp hodnotu, napr. 2130 tikov časovača, je počet otáčok za sekundu

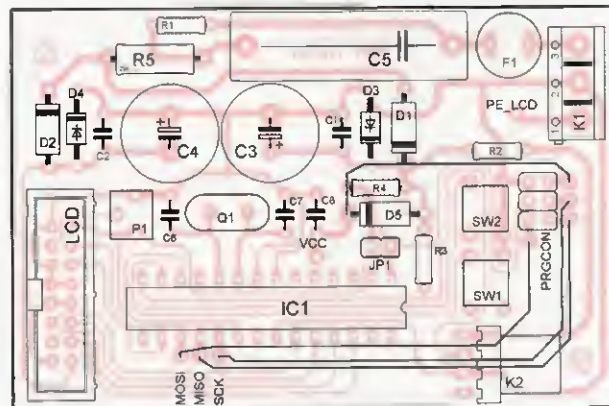
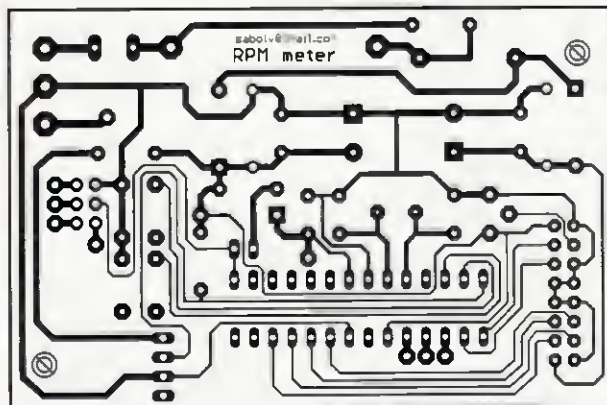
$$46\,875 / 2130 = 22.$$

Ak sa pri rovnakých nameraných hodnotách naviac používa N významných pruhov enkodéra (rozumie sa čiernych pruhov), výslednú hodnotu ešte vydělíme N. Aby sa hodnoty odpovedajúce jednotlivým časovým konštantám nemuseli počítať stále počas behu programu, spočítajú sa len raz, a to po zmene premennej obsahujúcej počet významných pruhov enkodéra.

Pre zobrazenie s presnosťou na desatiny (stotiny) sa pred delením vynásobí časová konštantka 10, resp. 100, a výsledná hodnota sa zobrazí s príslušným počtom desatinných miest. Ak je hodnota časovej konštanty taká vysoká, že ju nemožno násobiť, pretože by došlo k pretečeniu 24 bitového čísla, nie je možné v takomto prípade zobraziť výsledok s požadovanou presnosťou, a zariadenie nie je možné prepnúť do daného režimu.

Maximálny počet otáčok, ktorý je možné odmerať týmto prístrojom, je závislý na viacerých hodnotách. Závisí na taktovacej frekvencii mikroprocesora a na aktuálnom počte významných pruhov enkodéra. Čím vyšší je počet pruhov enkodéra, tým kratší čas má procesor na výpočet a zobrazenie výsledku za predpokladu, že počet otáčok je konštantný. Preto je dôležité pre konkrétne použitie zariadenia zvoliť hodnoty tak, aby počet cyklov potrebný na výpočet a zobrazenie údajov na výstup bol vždy menší ako počet cyklov medzi prerušeniami zo vstupného snímača enkodéra. Maximálny počet pruhov enkodéra je preto obmedzený na 64, čo postačuje na meranie otáčok v rozsahu od 0 do 5000.

Zariadenie sa ovláda tlačidlami, ktoré je možné pripojiť na takmer ľubovoľný port mikroprocesora. Kludový stav pre pin tlačidla je log. H kvôli použitiu pull-up rezistoru, pri stlačení je to log. L. Prekmitý tlačidiel sú vyriešené softwarovo pomocou časovača, ktorý pravidelne kontroluje ich stav. Ak sa za určitý počet meraní stav tlačidla nezmení, je takýto stav stabilný a na tento stav môže program reagovať. Každé tlačidlo musí mať teda v pamäti uložený posledný nameraný stav a počítadlo meraní - tzv. čítač zákmitov. Meranie stavu tlačidiel nastáva v overflow prerušení 8-bitového časovača s prescaler hodnotou 256, čo znamená, že meranie sa uskutoční približne každých 5,4 ms. Osvedčilo sa testovať tlačidlá osemkrát (hodnota čítača zákmitov 8), teda

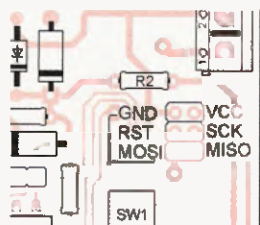


Obr. 4 a 5. Návrh plošného spoja a rozloženie súčiastok na doske

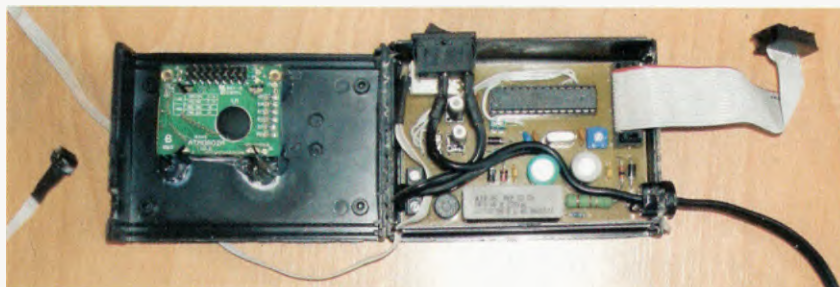
tláčidlo musí zostať v nezmenenom stave asi 43,6 ms, aby zariadenie reagovalo na jeho stlačenie (uvolnenie). Tlačidlo SW2 sa používa na prepínanie režimov zariadenia, tlačidlo SW1 spúšťa alternatívne funkcie pre konkrétny režim. Pre režim RPM/RPS tlačidlom SW1 prepínáme presnosť zobrazovania na desatiny, resp. stotiny, ak je daný výpočet možný. V režime počítadla tlačidlom SW1 nulujeme hodnotu počítadla. Stlačením tlačidla SW1 so súčasným podržaním tlačidla SW2 sa dostane zariadenie do režimu, v ktorom je možné nastaviť tlačidlom SW1 hodnotu pruhov enkodéra. Z tohoto režimu sa dostaneme späť opäť stlačením tlačidla SW1 so súčasným podržaním tlačidla SW2, zároveň sa uloží počet pruhov enkodéra do pamäte EEPROM. Do SRAM pamäte sa okrem dopredu spočítaných časových konštánt ukladajú aj aktuálny režim zariadenia a režim zobrazovania desatinnej čiarky.

Implementované sú všetky štandardné inštrukcie na komunikáciu s modulom LCD, po malej úprave kódu je možné použiť aj iný typ displeja (iný font, počet riadkov a stĺpcov) s rovnakým radičom. Po každej inštrukcii je potrebné počkať presne stanovený čas, kým LCD vykoná požadovanú inštrukciu, na čakanie sa používajú funkcie s aktívnym čakaním (DELAY_MS, DELAY_US). Pre zápis dát do LCD sa používa funkcia LCD_DATA, ktorá zapíše obsah registru r16 na aktuálnu pozíciu v LCD. Inštrukcie sa zapisujú do LCD pomocou LCD_INSTR v podobe bajtu, uloženého v r16.

Mikroprocesor ATmega8 je dodávaný s nastavením, ktoré používa interný oscilátor ako hodinový zdroj. Pred používaním programu je potrebné preprogramovať poistkové bity. Prednastavené hodnoty poistiek sú:



Obr. 6. Programovací konektor



hfuse = 0xD9
lfuse = 0xE1

Pre správne nastavenie zariadenia tak, aby používal 12 MHz externý kryštál ako hodinový zdroj je potrebné zmeniť SUT0:1 = 1:1, CKSEL0 = 1 (Crystal Oscillator, slowly rising power). A pomocou CKOPT = 0, CKSEL1:3 = 1:1:1 nastavíme externý vysokofrekvenčný kryštál ako hodinový signál. Výsledné hodnoty poistkových bitov sú teda:

hfuse = 0xC9
lfuse = 0xFF

Poistky je možné v programe Avrdude zmeniť nasledujúcim príkazom:

```
avrdude -P lpt1 -c bsd -p m8 -U lfuse:w:0xFF:m -U hfuse:w:0xC9:m
```

za predpokladu, že používame programátor typu bsd pripojený na port lpt1.

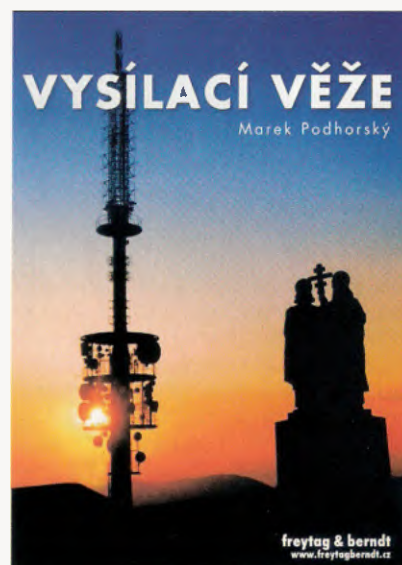
Zapojenie programovacieho konektora na doske (zobrazenie zo strany súčiastok) je na obr. 6.

Zdrojové kódy programu v assembleri, preložený program a vzory odrazných kolies s rôznym počtom pruhov si môžete stiahnuť z internetu na <http://www.aradio.cz>. Prípadné otázky alebo pripomienky posielajte na adresu sabolv@gmail.com.

Zoznam súčiastok

R1, R4	1 MΩ
R2	270 Ω
R3	22 kΩ
R5	150 Ω, 2 W
P1	trimer 10 kΩ
C1, C2, C8	100 nF
C3, C4	100 μF
C5	1 μF
C6, C7	27 pF
D1, D2, D5	1N4007
D3, D4	BZX85 5V1
IC1	ATmega8-16PU, naprogramovaný
Q1	12 MHz
LCD displej	MC0802A-SYL/H (GM electronic)
F1	400 mA/T, radiálna poistka
K1	ARK500/3
K2	konektor PSH02-04W (GM electronic)
SW1, SW2	tlačidlo P-B1720 (GM electronic)

reflexný optočlen CNY70 - pripojený na konektor K2



Podhorský, Marek: Vysílací věže. Vydalo Nakladatelství freytag & berndt Praha a České Radiokomunikace a. s. v r. 2009; 160 stran A4, vázané.

Publikace ve 36 kapitolách přibližuje 36 nejvýznamnějších televizních a rozhlasových vysílačů naší vlasti - z těch známějších např. Cukrák, Černá hora, Ještěd, Klet', Kojál, Liblice, Lysá hora, Topolná.

Každá kapitola obsahuje fotografie vysílací věže a základní informace (orientační umístění v mapce ČR, GPS souřadnice, nadmořskou výšku, výšku objektu a typ konstrukce). Dále si o každém vysílači můžeme přečíst několik stran textu - zajímavosti z historie stavby až po současnost.

Na mnoha vrcholcích našich hor a kopců vznikaly již v 19. století rozhledny, chaty a hotely, a proto statě o historii začínají často právě v těchto letech. Například o kótě Klínovec (1244 m n. m.) si můžeme mj. přečíst, jak zde r. 1817 vystavěli první dřevěnou rozhlednu, r. 1884 kamennou a r. 1908 hotel. Z hlediska radiotechniky je ale zajímavější mladší historie vrcholu Klínovce, o které se dočteme, že zde r. 1957 postavili radioamatéři pod hlavičkou Svazarmu televizní vysílač, a Klínovec se tak stal prvním místem s TV vysílačem v západních Čechách. Dočteme se o prvních úspěších i problémech šíření TV signálu z Klínovce a také o tom, jak zde byla r. 1967 vybudována vysílací věž, která i s nástavcem měří 90 m. Jako u velké části jiných vysílačů končí historie v době nedávno vzdálené popisem montáže nových anténních systémů pro vysílání digitální televize DVB-T.

Knížka obsahuje mapku vysílačů digitální TV v ČR k 20. 5. 2009.

Publikaci je možné zakoupit v e-shopu Českých Radiokomunikací za cenu 399 Kč včetně DPH:

www.shop.radiokomunikace.cz

OK1HYN

Dorozumívací zařízení

Jaroslav Selucký

Byl jsem požádán, zda by bylo možné navrhnout dorozumívací pultíky pro více než dvě stanice. Zařízení by mělo mít formu interkomu v omezené verzi pro více účastníků. Po prostudování literatury a několika verzích jsem odzkoušel uvedené zařízení.

Popis zapojení

Úplné schéma jedné stanice je na obr. 1. Je použito 8 stejných pultíků pro 8 účastníků. Celá síť je propojena 9žilovým kablíkem. Každá stanice obsahuje kódér adresy, přijímač a mikrofon se zesilovačem. Napájení všech stanic je společné, zapíná je určená stanice. Žádná stanice není nadřazená. Propojení stanic je uvedeno na konci článku. Každá stanice má pevně nastaven svůj přijímací kód propojkami JP1 až JP8 a všechny jsou stále v poloze příjem. Po stisknutí některého z tlačítek se vyšle kód, který přijímají všechny stanice. Ve stanici, která má nastavený stejný kód propojkami JP1 až JP8, sepne relé 2, které připojí zvolený pultík k výstupnímu zesilovači a volající stanice může hovořit. Současně se na všech pultících rozsvítí modrá LED (D11), která vizuálně imituje blokování, aby

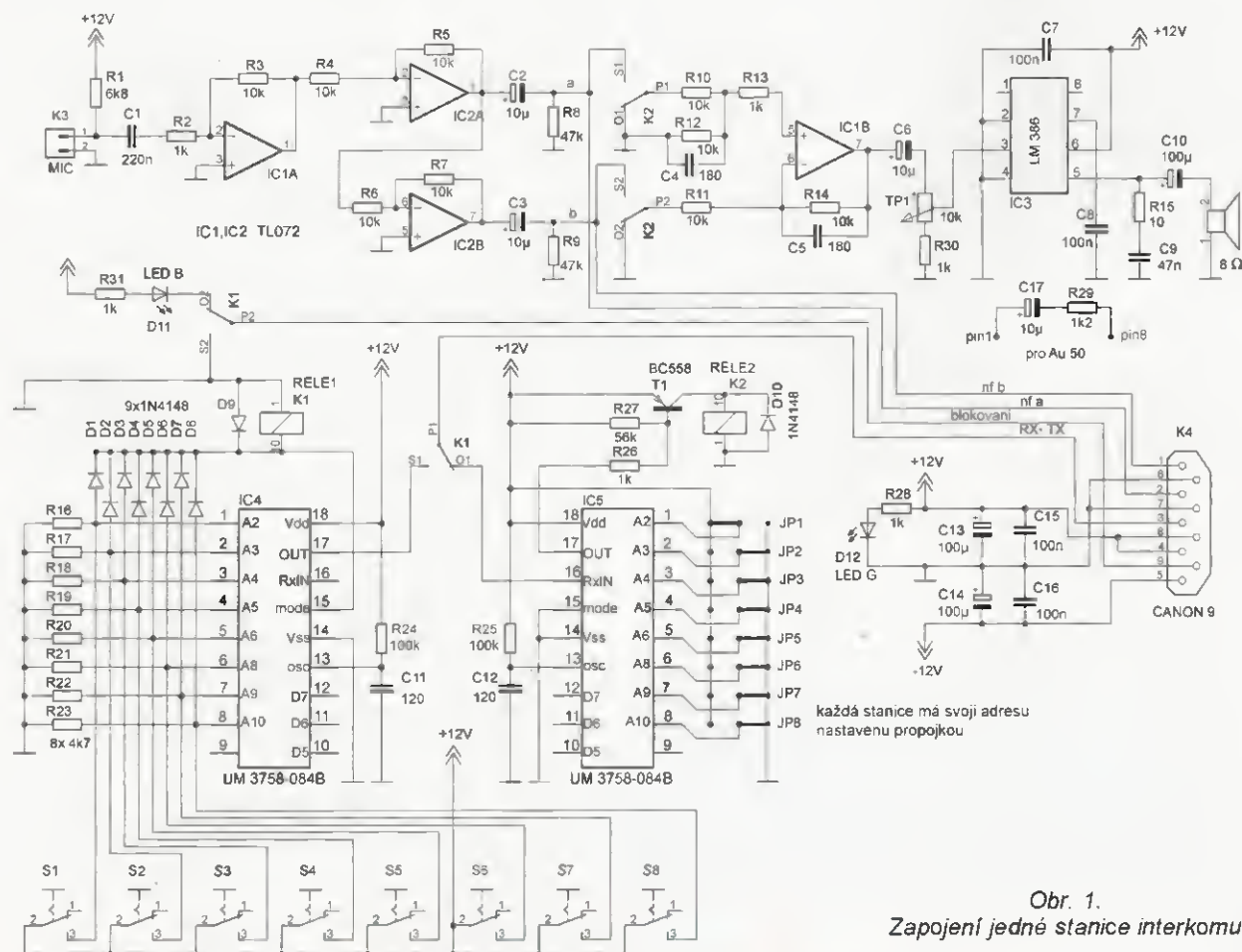
další hovory nebyly uskutečňovány. Ostatní stanice tento hovor neslyší, protože nebyl aktivován jejich přijímací kód. U vysílající stanice relé 1 odpojí tuto stanici od příjmu, relé 2 této stanice není sepnuto, a tudíž není vlastní příposlech. Po zhasnutí modré LED se může připojit jiný účastník. Já jsem měl k dispozici obvody UM3758-084B, které obsahují 8 adresových vstupů, tak je možno zapojit až 8 stanic podle potřeby. Přijímací obvod IC5, který je součástí stanice, má nastavený ten samý kód jako vysílací obvod IC4. Propojky umožňují použít všechny desky se stejným motivem spoju.

Stiskem a držením tlačítek S1 až S8 se navolí v IC4 kód volaného účastníka, přes diody D1 až D8 se kladné napětí přenesou na pin 15 tohoto obvodu, ten přejde do módu vysílání kódu určené stanici a současně sepne relé 1, jehož jeden kontakt

připojí pin 17 (OUT) na vodič 3 sběrnice, a druhý přepínací kontakt sepne modrou LED indikující blokování, které tak signalizuje ostatním účastníkům vizuální zákaz volání do sítě. Tato indikace je vodičem 9 sběrnice rozvedena ke všem účastníkům.

Současně se iniciuje obvod IC5, který je na příjmu a má navolen stejný kód jako volající. Výstup tohoto obvodu (pin 17) přejde na úroveň L, tranzistor T1 sepne relé 2 a jeho přepínací kontakty připojí koncový zesilovač IC3 na vodiče 1 a 2 sběrnice.

Druhou částí zařízení je audiomodul. Signál z elektretového mikrofonu je veden na IC1A, se ziskem nastaveným rezistorem R3 tak, aby na výstupu IC1A bylo asi 300 mV. Toto napětí je dostačující pro vybudzení koncového zesilovače. Max. rozkmit může být více jak 1 V, ale koncový zesilovač by byl už v limitaci, případně regulátor hlasitosti by musel být na minimu. Následuje IC2A, z jehož výstupu je signál přes C2 vyveden na vodič 2 sběrnice a přes IC2B, který obrací fázi, na vodič 1 přes C3. Symetrický signál má vyšší odolnost vůči rušení a dalším nežádoucím vlivům v rozvodu spojovacího vedení. Signál je dále veden na přepínací kontakty relé 2, které jsou v klidové poloze na GND. Při aktivaci IC5 se tyto kontakty přepojí na oba vodiče (1 a 2) sběrnice. Symetrický signál je přiveden na vstupy IC1B, na jeho výstupu je asymetrický



Obr. 1.
Zapojení jedné stanice interkomu

signál, který je přes kondenzátor C6 veden na trimr TP1 s prodlouženou osičkou pro nastavení požadované hlasitosti. Dolní vývod TP1 je „podepřen“ rezistorem R30, aby byla zachována minimální hlasitost i při běžci TP1 na zemním konci. Následuje koncový zesilovač s IC3 LM386, který je v doporučeném zapojení. Na výstupu je Boucherotův člen RC a přes C10 je připojen malý reproduktor s impedancí 8 Ω. Zesílení obvodu IC3 je interně nastaveno na 20, ale pokud by bylo nutné větší zesílení, tak je možno mezi piny 1 a 8 zapojit RC člunek C17, R29. Na desce je na tuto možnost pamatováno, zde není využito.

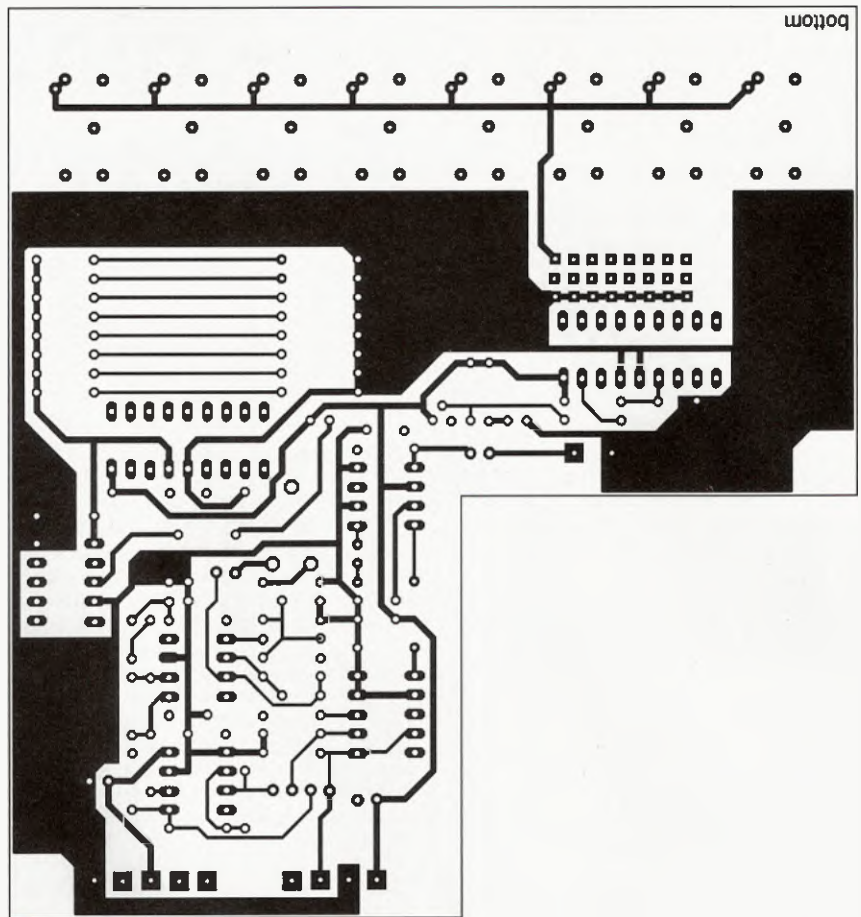
Mechanické provedení a součástky

Všechny součástky jsou na jediné oboustranné desce 120 x 112,5 mm s výřezem pro reproduktor. Na desce je 8 tlačítek pro volbu účastníka, i když by jich stačilo jen 7, protože sám sobě nevolám. Je to z důvodu, aby všechny desky mohly mít stejný motiv spojů a rozlišeny jsou pouze jumpery JP1 až JP8 nastavenými pro každý pultík jiným kódem. Tak bude mít pultík č. 1 nastaven kód 1 na pinu 1 obvodu IC5, pultík č. 2 nastaven kód 2 na pinu 2 obvodu IC5 atd. Pultík č. 1 bude mít první tlačítko žluté, ostatní rudé, pultík č. 2 bude mít druhé tlačítko žluté, ostatní rudé atd. Toto odlišné tlačítko nebude používáno, je pouze z výše uvedených důvodů.

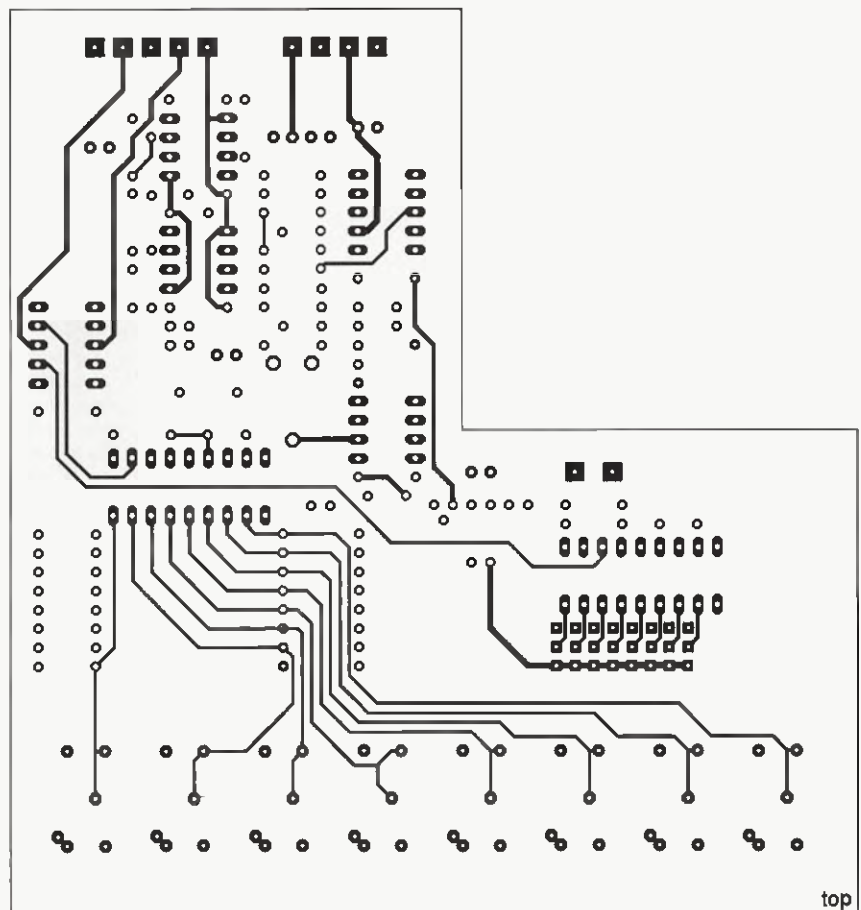
Všechny pultíky jsou propojeny kabeláží kladenou do lišt. Je vhodné použít vodiče s větším průřezem, aby se příliš neuplatnil jejich odpor při delším vedení. Nf kablík je symetrický stíněný. Odbočení pro jednotlivé pultíky je 9pinovým konektorem CANNON, do kterého se zasouvají příslušné protikusy z jednotlivých pultíků. Ke kabeláži je také připojen napájecí zdroj. Pokud není zapnut stále, zapíná ho účastník, který přichází na pracoviště jako první. Napájecí zdroj by měl dodávat napětí ±12 V při zátěži až 1 A. Zapojení zdroje je klasické, každý si jej zhotoví podle svých požadavků. Na centrální rozvod se připojí zem na kolíky konektorů 6 a 7, kladné napětí na kolíky 4 a 8, záporné napětí na

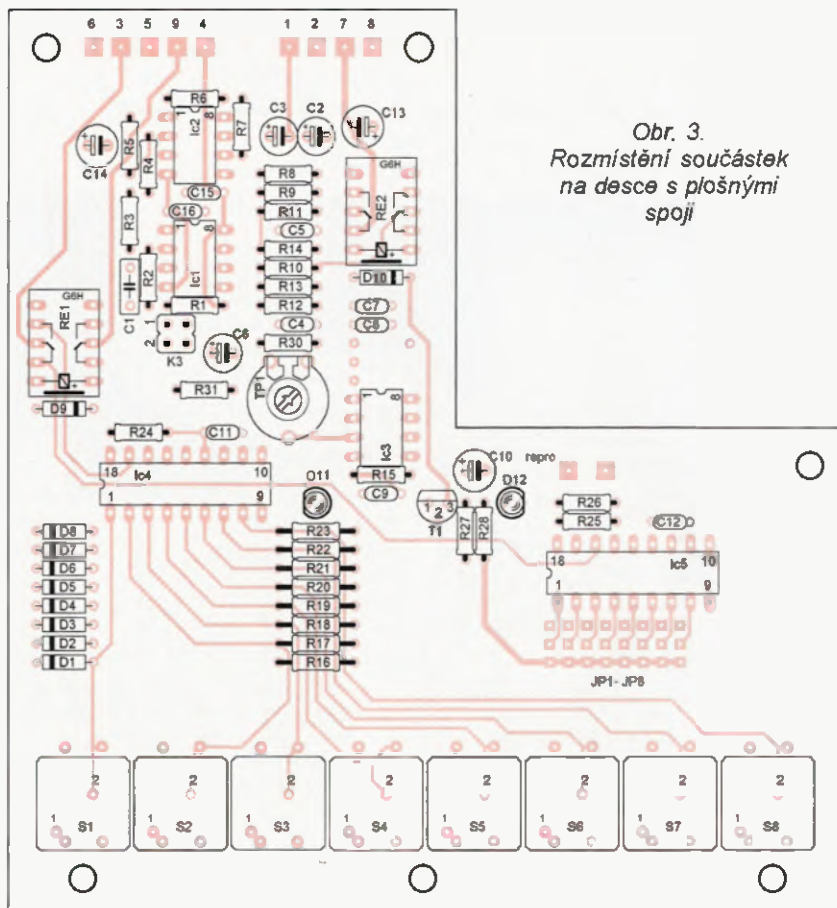
Tab. 1. Tabulka zapojení adresovacích jumperů

stanice	pin IC5							
	1	2	3	4	5	6	7	8
1	H	L	L	L	L	L	L	L
2	L	H	L	L	L	L	L	L
3	L	L	H	L	L	L	L	L
4	L	L	L	H	L	L	L	L
5	L	L	L	L	H	L	L	L
6	L	L	L	L	L	H	L	L
7	L	L	L	L	L	L	H	L
8	L	L	L	L	L	L	L	H



Obr. 2. Deska s plošnými spoji interkomu v měřítku 1:1 (120 x 112,5 mm)





Obr. 3.
Rozmístění součástek
na desce s plošnými
spoji

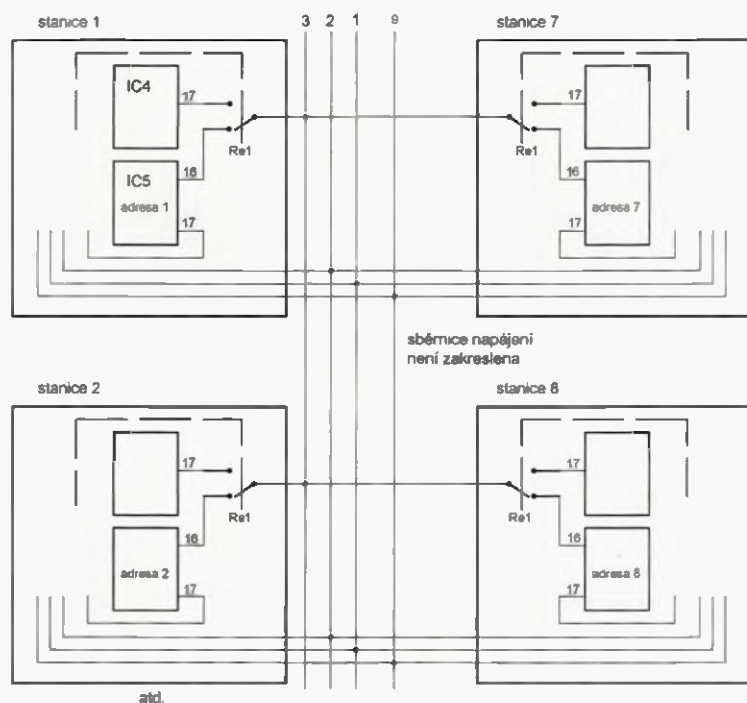
fonu připájíme na dvouřadé lámací kolíky. Celek, který by měl mít délku do 20 cm, vložíme do smršťovací bužírky. Takto vytvořený celek je možné opatrně ohýbat a přizpůsobit tak vhodnou polohu pro hovor a proti případné akustické vazbě. Konektor K3 je uříznut ze dvouřadé dutinkové lišty vysoké 8,3 mm a zapájen do desky.

Závěr

Dorozumívání je funkční, volání účastníci musí být v dosahu, jinak by požadovaný hovor nemohl být uskutečněn. Nedostatkem zařízení je nemožnost vyzvánění, dále není prosvětleno volané tlačítko. Také není zajištěno úplné blokování, aby nebylo možné se připojit na sběrnici, když svítí LED „obsazeno“ (D11). Vzhledem k jednoduchosti jsou tyto nedostatky vyváženy nižší cenou a menším počtem propojovacích vodičů.

Seznam součástek pro 1 plůtik

R1	6,8 kΩ
R2, R13, R26, R28, R30, R31	1 kΩ
R3	10 kΩ, viz text
R4, R5, R6, R7, R10, R11, R12, R14	10 kΩ
R16 až R23	4,7 kΩ
R15	10 Ω
R24, R25	100 kΩ
R27	56 kΩ
R29	1,2 kΩ, viz text
TP1	10 kΩ
C1	220 nF, MKT
C2, C3, C6	10 μF, miniaturní
C4, C5	180 pF, keramický
C7, C8, C15, C16	100 nF, keramický
C9	47 nF, keramický
C10, C13, C14	100 μF/25 V, mini.
C11, C12	120 pF, keramický
C17	10 μF, viz text
IC1, IC2	TL072
IC3	LM386
IC4, IC5	LM3758-084B
T1	BC558
D1 až D10	1N4148
D11	LED 3 mm, modrá
D12	LED 3 mm, zelená
K3	viz text
K4	CANNON 9
S1- S8	P-B1715
mikrofon	MCE 100 (GM)
Re1, Re2	relé MP (GM)
JP1 až JP8	zkratovací kolíky
lámací lišty	



Obr. 4. Propojení stanic

kolíků 5. Přítomnost napájení je indikována zelenou LED12.

Rezistory jsou velikosti 0207, kondenzátory miniaturní vysoké 7 mm, aby nebyly vyšší než tlačítka S1 až S8, která by jinak byla „utopená“ pod krycím panelem, protože tlačítka jsou vysoká 10 mm. Typ P-B1715 je možné nahradit typem P-B1711, který je elegantnější, ale v GM málokdy bývá.

Motiv spojů na desce je navržen pro oba typy tlačítek.

Elektretový mikrofon je upraveným konektorem zasunut otvorem ve vrchním panelu do konektoru K3 na desce. Vlastní kapsle mikrofonu je připojena stíněným kablíkem, k němu je volně přiložen měděný izolovaný drát s průřezem 1,5 mm. Konec drátu i konec stíněného kablíku od mikro-

Literatura

- [1] Belza, J.: Kodér - dekodér s obvody série UM3758. Amat. radio 12/93, s. 22.
- [2] Jurkovič, K.; Zodi, J.: Průručka nízkofrekvenční obvodové techniky. Alfa, Bratislava 1985.
- [3] Zapojení s operačními zesilovači. Konstrukční elektronika 3/96.
- [4] Meca, P.: Integrované výkonové zesilovače. AR-B 2/97.

Mini-Whip – – ostře sledovaná anténa (2)

Ing. Miroslav Procházka, CSc.

K mému článku v PE 11/2009 jsem dostal řadu připomínek, na které jsem postupně odpovídal. Jsem rád, že redakce PE připravila možnost širší diskuse k problematice M-W a otiskla většinu připomínek (PE 1/2010), jež jsem na její výzvu do redakce přeposlal. Mám tedy možnost reagovat na připomínky souhrnně.

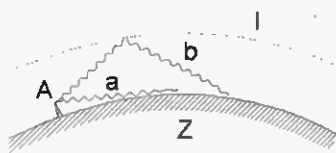
Předně bych chtěl zdůraznit, že k praktické činnosti antény jsem neměl žádné výhrady a souhlasím se zkušenostmi uživatelů. Někteří pisatelé mě dokonce podezřívali, že jsem M-W neměl ani v ruce. To je samozřejmě omyl (viz závěr).

Největší rozruch vyvolala moje poznámka o technické mystifikaci, která se však týkala zavádějícího vysvětlení původního autora M-W (Roelof Bakker, PA0RDT) k zásadní činnosti malé anténní plošky. Podle reakce některých uživatelů M-W jsem dospěl k názoru, že po přečtení tohoto slova již dále nečetli další text a vynesli odsuzující názor. Někteří text dočetli a popřemýšleli, jak vlastně M-W funguje.

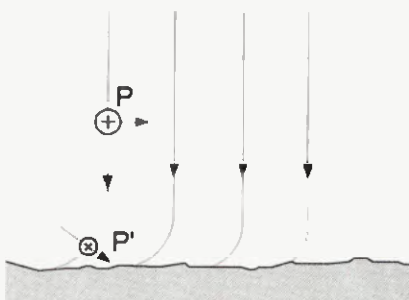
Jeden z účastníků diskusního fóra (text se již nedostal do PE 1/2010) si pravděpodobně vzpomněl na sedmdesátá léta minulého století a na elektronické aktivní antény (např. autoantény), třeba i na práce prof. Meinkeho a reagoval následovně:

„Aktivní autoanténa a Mini-Whip (M-W) jsou téměř stejné, ekorát je tam nahrazen 30cm bičik ploškou z kuprexitu a je tam dodán ještě druhý tranzistor, který vykompenzuje ztráty na vedení atd.

Abychom mohli objektivně porovnat příjmové vlastnosti M-W, museli bychom



Obr. 1. Schéma šíření rádiových vln podél zemského povrchu: a – vlna přizemní, b – prostorová (schematicky), Z – Země, I – ionosféra, A – vysílač



Obr. 2. Rozložení siločar elektromagnetického pole DV. P – tok energie DV, P' – ztráty energie v polovodivé zemi

to srovnávat vždy třeba s dipólem na KV, pak s dipólem na SV, DV...

Půlvlnný dipól se získem 0 dB na KV, natož anténa se získem +5 až +8 dB, to nejde srovnávat – to musí M-W prohrát, ale ne SV má už drátová anténa oproti teoretickému půlvlnnému dipólu získ přibližně minus 6 až 10 dB, u dlouhých vln je ten získ ještě slabší.

M-W má přibližně stejné vlastnosti ne KV, SV i DV (teoreticky nekonečné impedance vstupního tranzistoru); te ploške se chová jako drát odpovídající délce vlny podle frekvence. Kdyby bylo vše ideální, tak se ploška u M-W chová jako drát několik desítek metrů dlouhý na KV, několik stovek metrů dlouhý na SV a kilometry dlouhý drát na DV.

Oproti ideální anténě je M-W slabší, ale v porovnání s reálnými prostorově omezenými anténami pak M-W prostě vyhrává.

K předešlému by bylo třeba stručně doplnit něco o šíření dlouhých vln (tj. 30 až 300 kHz) a velmi dlouhých vln (3 až 30 kHz). Tyto rádiové vlny se šíří podél zemského povrchu jako povrchová vlna a odrazem od dolní hranice ionosféry (vrstva D a E) v jakémsi kulovém vlnovodu, jehož jednu stěnu tvoří komplexní povrch Země a druhou zmíněná spodní hranice ionosféry (obr. 1).

Podobně jako v kovových vlnovodech v pásmu cm a mm vln, interferují spolu paprsky odražených vln a vytvářejí tok energie, který je nasměrován stěnami vlnovodu podél stěn, v našem případě podél povrchu Země.

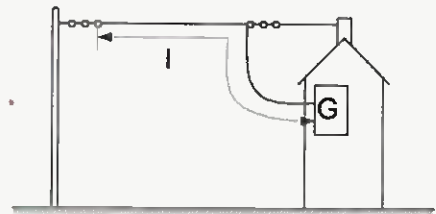
DV se odráží od stabilních vrstev ionosféry D a E a jejich šíření není doprovázeno ostrými změnami intenzity příjmu nebo krátkými přerušováními spojení. Rozložení elektromagnetického pole v dlouhovlnném vlnovodu je quasihomogenní (obr. 2) a příjem vertikální anténou (sondou ve vlnovodu) není ovlivněn žádným úhlem dopadu. Příjem takovou „dlouhovlnnou anténou“ je závislý pouze na její elektrické délce ($n\lambda$), případně elektricky prodloužené zařazením koncové kapacity, např. podle obr. 3a, nebo hodně historicky podle obr. 3b.

SV (100 kHz až 1,5 MHz) na rozdíl od DV potřebují ke svému odrazu jinou „kvalitu“ vrstev D, E, F ionosféry. Složení ionosféry je mimo jiné závislé na denních, popřípadě nočních hodinách, navíc jsou DV tlumeny průchodem ionosférou. Tento krátký exkurs do teorie šíření rádiových vln by snad měl postačit; jinak doporučuji pročíst odbornou literaturu, např. [1].

Z textu připomínek a konečně i podle autora M-W R. Bakker existuje předsta-



Obr. 3a. Příklad dlouhovlnné antény s kapacitní zátěží



Obr. 3b. Historická rozhlasová přijímací L-anténa

va, že hlavní funkce M-W je založena na existenci malé anténní plošky připojené na vstup oddělovací a impedance přizpůsobovací elektroniky.

Připomínky se zabývají nejen technickými problémy pisatelů, ale mnozí vyjadřují určitou nedůvěru k teoretickým úvahám. Chtěl bych připomenout, že teoretické práce pánů Sommerfelda, Šulejkína, van der Pola aj. a zejména objevitele rádiového spojení G. Marconiho stály – před více jak sto lety – na počátku poznání principů šíření rádiových vln (zejména dlouhých), takže dnešní DX-mani mají na koho vzpomínat.

Abych vyhověl těm, kterým „nevoní“ teorie, a milovníkům praktického „bastlení“, rozdělil jsem následující text na část teoretickou a část praktickou.

Čtenáři si mohou vybrat, jak se jim zalíbí.

Teorie

V následujícím textu uvedu další teoretické důkazy tvrzení, že zdrojem užitečného signálu M-W je plášť koaxiálního přívodu, který je ve vhodném místě uzemněn. Ostatně i autor antény M-W (viz obr. 1 v PE 1/2010, str. 31) takto učinil, i když nikoliv ve vhodném místě, což je spodní konec vertikální části koaxiálního kabelu, neboli pata antény (viz obr. 1 v PE 11/2009, str. 31).

Použil jsem náročnější teoretický výpočet a stanovil jsem rozložení elektrického napětí (resp. náboje) na soustavě M-W jako celku, tj. včetně vertikální části přírodního koaxiálního vedení.

Na místo využití principu reciprocity (kdy se předpokládá, že proudové rozložení podél anténní struktury se shoduje při příjmu i při vysílání) použil jsem jako zdroje užitečného signálu na vstupu elektroniky M-W působení vnějšího elektromagnetického pole. K výpočtu je použit moderní výpočetní program SUPER NEC s výhodným a názornějším grafickým výstupem.

Na obr. 4 je znázorněn jednoduchý vertikální vodič nad vodivou rovinou, na jehož vrcholu je umístěn „přijímač“. Délku vodiče (a pozici anténní sondy) jsem zvolil $l = 10$ m a počítá se rozložení potenciálu C (v coulombech – definici této jednotky lze nalézt ve většině středoškolských

Rozložení náboje (napětí) podél vertikálního monopólu na běžné zemi (Sommerfeld)

f [MHz]	0,2	0,5	1,0	10
Náboj [coulomb, C]	$12 \cdot 10^{-16}$	$14 \cdot 10^{-16}$	$19 \cdot 10^{-16}$	$8,8 \cdot 10^{-15}$

Tab. 2. (Vpravo) Náboj v bodě umístění elektroniky, různá vzdálenost paty vodiče od země h , poloha elektroniky ve stálé výšce 10 m nad zemí

Tab. 1. (Vlevo) Náboj v bodě umístění elektroniky; $l = 5$ m dlouhý uzemněný vodič

$f = 0,5$ MHz	$l = 10$ m; $h = 0$ m	$l = 9$ m; $h = 1$ m	$l = 5$ m; $h = 5$ m	$l = 2,5$ m; $h = 7,5$ m
Náboj [C]	$4,8 \cdot 10^{-15}$	$2,94 \cdot 10^{-15}$	$2,11 \cdot 10^{-15}$	$12,9 \cdot 10^{-16}$

knih o fyzice) podél vodiče v závislosti na dopadající vertikálně polarizované elektromagnetické vlně s kmitočtem 0,5 MHz (obr. 4b). Výpočet je proveden pro několik případů. Jednak s uzemněným dolním koncem vodiče (obr. 4a, b) a jednak s volným koncem pro $h = 1, 5, 7,5$ m nad zemí, obr. 5a, b. Výsledky vypočtených potenciálů v místě vstupu do elektroniky M-VV jsou shrnuty v tab. 2.

Pozn.: Z důvodu vhodného grafického zobrazení je zvolen omezený rozměr zemní plochy, ale výpočet je proveden pro Sommerfeldovu zemní plochu o velikosti 100 m².

Rozdíl potenciálů na vrcholu vodiče (mezi uzemněným vodičem a volným vodičem, a pro různé délky) je zcela zřejmý, takže bych si dovolil tvrdit, že zásadní funkce vertikálního monopólu s „příjímáčem“ na vrcholu je nepochybnitelná.

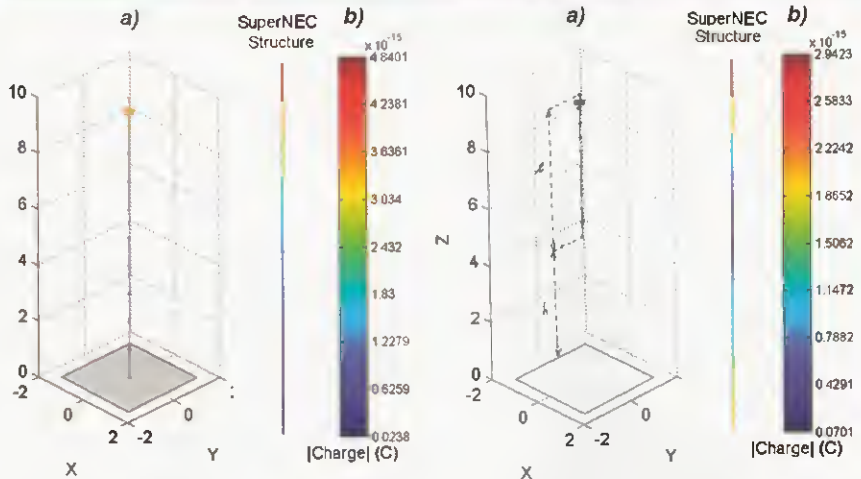
Uvedený výpočet byl proveden také pro délku vertikálního vodiče $l = 5$ m a pro různé kmitočty na středních vlnách (tab. 1). Čtenář jistě zaznamená rozdílné hodnoty ve prospěch vyšších kmitočtu oproti DV. Toto zjištění je sice logické (jde o relativně kratší efektivní vodič), ale praktické zkušenosti některých uživatelů jsou opačné. Příjem na dlouhých vlnách byl samozřejmě lepší (viz informace o šíření dlouhých vln na začátku tohoto článku).

Praxe

Zkušeným praktikům tedy předkládám „praktické ověření“. Použil jsem k tomu malý bateriový rozhlasový přijímač (pocket-receiver, obr. 6), jež se mně válel doma. Příjímač byl pro střední vlny vybaven feritovou vnitřní anténkou, kde část vinutí sloužila jako ladící indukčnost ke středním vlnám (plus ladící otočný kondenzátor). Zrušil jsem funkci anténky zkratováním vinutí a připojil krátký výsuvný bič sloužící jako přijímací anténka na VKV. Po doladění jsem na zemnici vodič „tíšfáku“ připojil volný vodič délky 5 m a celek upevnil na laminátový stožár (viz obr. 7). „Měření“ se pak redukovalo pouze na dva případy: zemní vertikální vodič připojen – rádio hraje; nebo odpojen – rádio nehraje. Měření je z mého hlediska primitivní, ale názorné. Kdo by si chtěl pohrát a použít přijímač, na kterém mu nezáleží (případně zřícení stožáru), může si funkci „aktivní protiváhy“ – vertikálního monopólu ověřit.

Možná že by se našel i někdo, kdo by nelitoval finančních nákladů a umístil by soupravu M-VV spolu s bateriové napájeným komunikačním přijímačem na vysoký dřevěný geodetický triangel nebo do balónového koše a pokusil se ověřit příjem M-VV pouze s krátkým připojením na přijímač a potom i s visícím vodičem připojeným na místo vnějšího vodiče koaxiálu.

I když původce antény M-W má o zdroji signálu jinou představu, je třeba konstatovat, že zvolil zcela správné místo

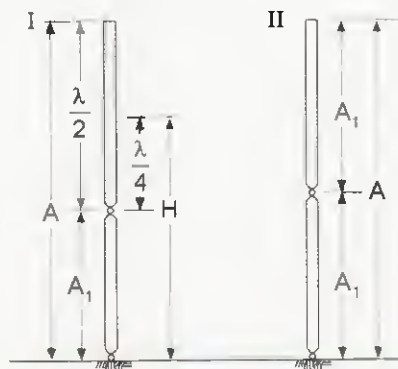


Obr. 4a. Vertikální vodič (monopól) v pravouhlé souřadné soustavě; $l = 10$ m, uzemněný, $h = 0$, přijímač u vrcholu

Obr. 4b. Rozložení náboje podél uzemněného vertikálního vodiče

Obr. 5a. Vertikální vodič $l = 5$ m, $h = 5$ m

Obr. 5b. Rozložení náboje podél vertikálního vodiče $l = 5$ m, $h = 5$ m



Obr. 8. (Vlevo) Schéma vertikální protiúnikové rozhlasové antény. Připojení vysíláče v dělicím místě stožáru A1/A1



Obr. 6 a 7. Dvě fotografie „pokusného“ rozhlasového přijímače



připojení anténního vodiče k přijímači. Na vertikální anténě je to místo s relativně největším napětím (potenciálem) a poměrně vysokou impedancí. Jde o běžný trik, často využívaný konstruktéry antén, realizovaný také jako bočníkové napájení.

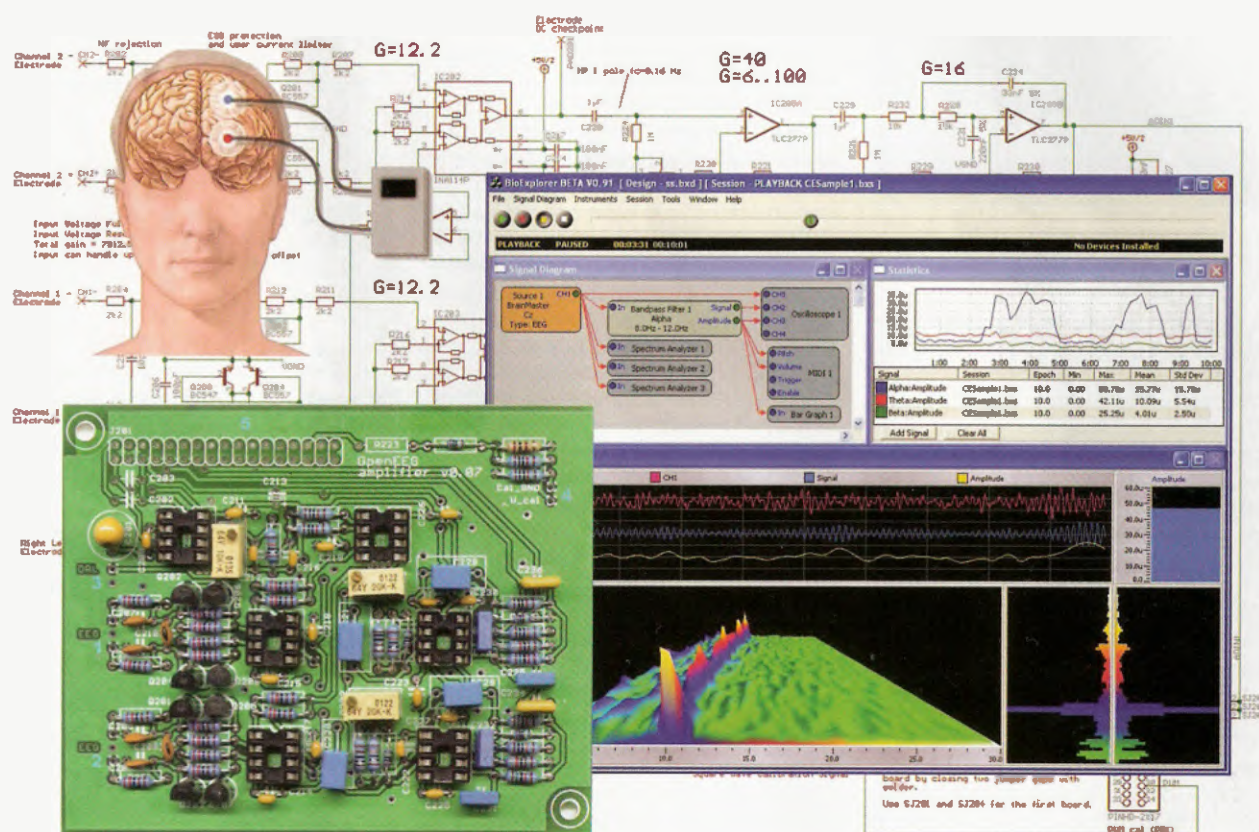
Příkladem budiž konstrukce protiúnikové rozhlasové vysílací antény (obr. 8), postavené kdysi i u nás, nebo i populární anténa Windom.

(Dokončení na straně 46)



POČÍTAČE a INTERNET

Rubriku připravuje ing. Alek Myslík, INSPIRACE, alek@inspirace.cz

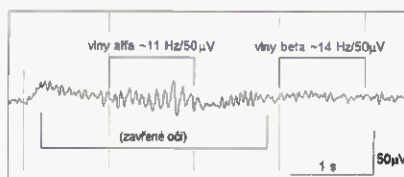


AMATÉRSKÝ EEG

Německý lékař H. Berger ohlásil v roce 1929 svůj objev, že je možné zaznamenávat elektrické impulsy mozku a graficky je zobrazovat na papír. Objevil rovněž, že charakter těchto impulsů se mění v závislosti na aktivitě mozku, ve spánku, pod sedativy ap. Z tohoto objevu postupně vznikl dnes známý EEG, *elektroencefalograf*, který se využívá nejen v lékařství ale i v dalších oborech, jako je např. ovládání přístrojů mozkovou činností, vrcholový trénink, biologická zpětná vazba při různých cvičeních (tzv. *biofeedback*) ad. Komerční elektroencefalografy jsou velmi drahé a tudíž pro amatérské experimenty nedostupné. Dostupnou a levnou amatérskou konstrukci EEG řeší projekt *OpenEEG*.

Projekt *OpenEEG* vznikl proto, aby umožnil jednotlivcům experimentovat zejména v nelékařských využitích EEG, zkoumat reakce a stavy mozku v různých situacích a využívat na monitoru zobrazenou odezvu jako zpětnou vazbu při různých cvičeních, meditacích, ovládání přístrojů ap.

Hardwarová část EEG slouží ke snímání a zesílení velmi slabých mozkových impulsů a jejich odfiltrování od s mozkiem nesouvisejících šumů a po-

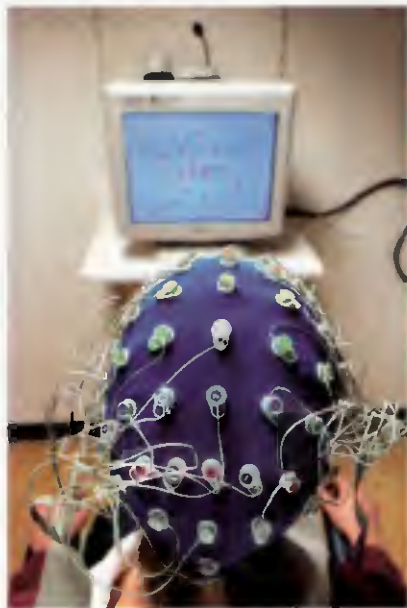


Obr. 1. Příklad záznamu z tohoto EEG

hardwarovou část přístroje by neměly překročit asi 4000 Kč. Tento článek pouze popisuje projekt *OpenEEG*, který se rozvíjí a je volně dostupný na Internetu. Ani autor (zatím) ani redakce tento přístroj nestavěli.

Příkladem výstupu tohoto EEG může být obr. 1; byl získán ze dvou elektrod, umístěných v bodech C3 a P3, a jsou na něm vidět tzv. *vlny alfa* při relaxaci a zavřených očích a *vlny beta* při bdělé pozornosti a aktivitě.

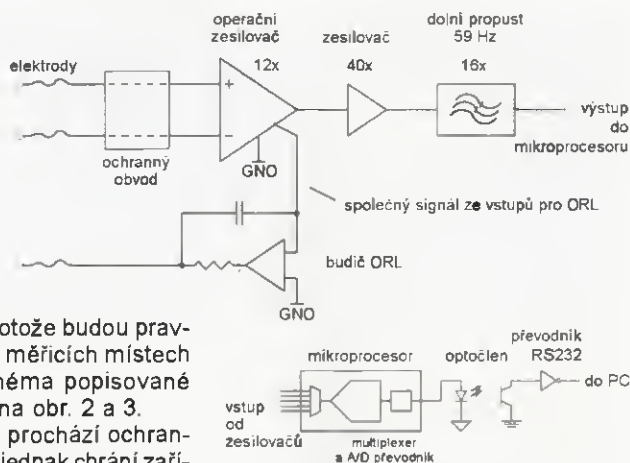
K vyhodnocení a zobrazení získaných signálů pak slouží standardní počítač a potřebný software. Náklady na



Princip zapojení

Signál z mozku se získává z elektrod, přiložených na určitá místa na hlavě. Amplituda signálu je pouze několik mikrovoltů a je ho proto zapotřebí nejdříve zesílit o několik řádů. Jelikož mozkové vlny jsou jemné, mohl by signál velmi snadno zaniknout v šumu a brumu, způsobovaných zejména vyzařováním různých elektrických zařízení, připojených na elektrickou síť. Signál se proto nejdříve zesílí co nejvyšší kvalitou operačním zesilovačem, který měří rozdíl mezi napětími na dvou místech hlavy. Tím se vyloučí značná část ne-

Obr. 2. Blokové schéma zapojení popisovaného EEG – analogová část



žádoucích šumů, protože budou pravděpodobně na obou měřicích místech stejné. Blokové schéma popisované konstrukce EEG je na obr. 2 a 3.

Signál z elektrod prochází ochranným obvodem, který jednak chrání zařízení před elektrostatickou elektřinou, jednak naopak chrání člověka před proniknutím nebezpečného napětí na jeho hlavu při případné poruše. V následujícím operačním zesilovači je signál 12x zesílen, v dalším stupni je pak zesílen asi 40x. Mezi těmito dvěma stupni bývá horní propust, odstraňující stejnosměrnou složku signálu. Nakonec je signál zesílen ještě 16x a prochází dolní propustí, aby se předešlo aliasingu při pozdější digitalizaci. Další zesilovač, směřující „opačným směrem“, se využívá k výrazné redukci všudypřítomného síťového brumu 50 Hz místo dříve používané uzemňovací elektrody.

Nyní je signál připraven pro převod z analogové do digitální podoby. Potřebný převodník je v tomto případě součástí použitého mikroprocesoru. Mikroprocesor odesílá opticky oddělený zdigitalizovaný signál do počítače po standardní sériové lince (obr. 3).

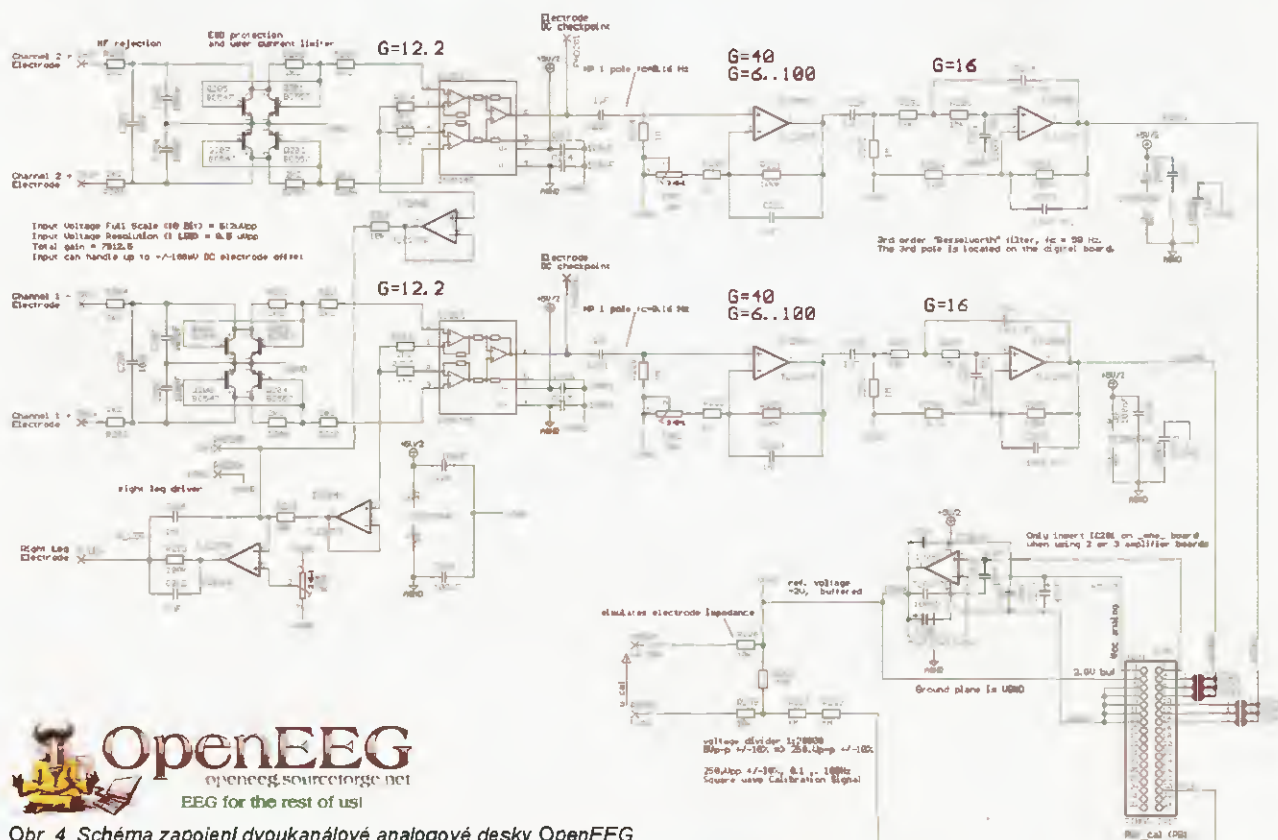
Obr. 3. Blokové schéma – digitální část

Popis zapojení

Schéma zapojení dvoukanalové analogové části je na obr. 4 (v popisu je uvažován vždy jen jeden kanál, druhý je identický).

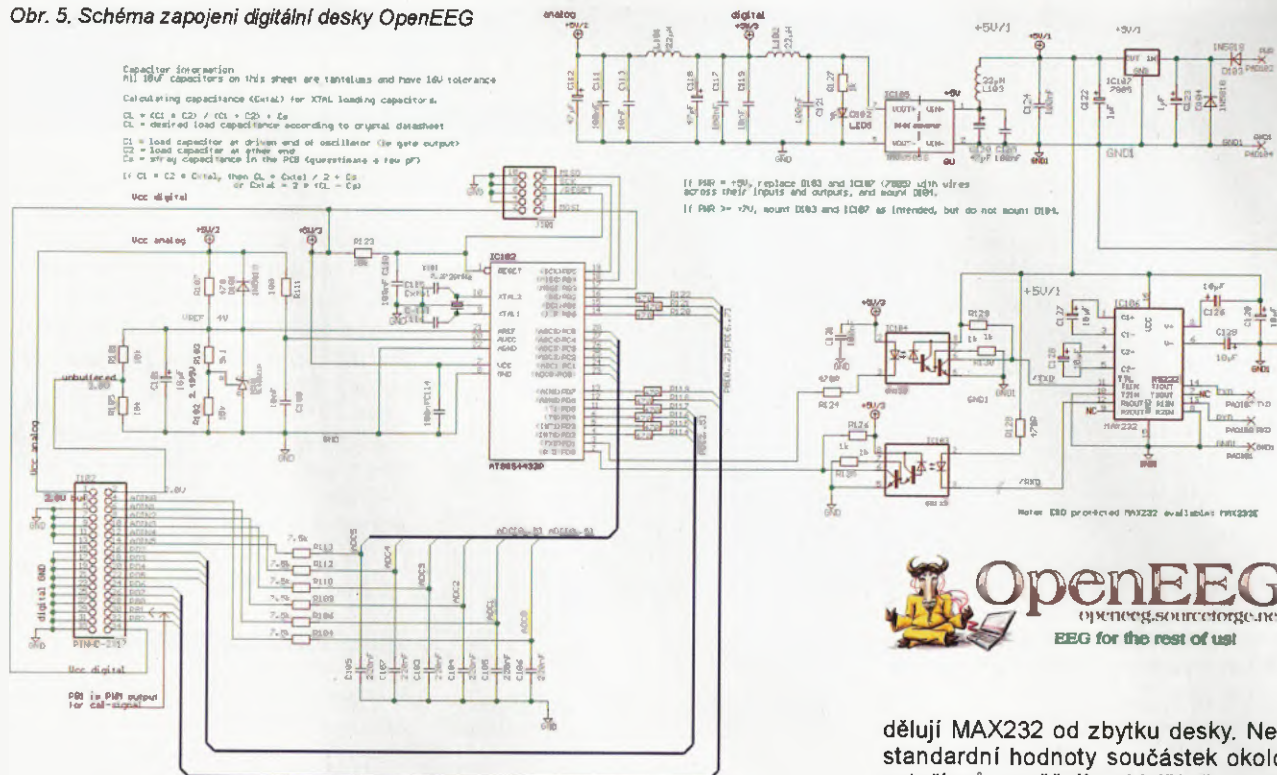
Ochranný obvod

Po vstupu (ke kterému jsou připojeny sondy) do analogové desky přijde signál do ochranného obvodu. Začíná kondenzátory C210, C206 a C207 (mají potlačit případné vř. radiové signály, které se mohou naindukovat na přívodech k sondám), za kterými následuje čtveřice tranzistorů Q202, Q204, Q206 a Q208 a několik rezistorů (R203, R204 a R209 až 212). Tyto tranzistory jsou použity ve funkci omezovačích diod. Pokud napětí na některé z těchto „diod“ překročí 0,2 V, začnou pro-



Obr. 4. Schéma zapojení dvoukanalové analogové desky OpenEEG

Obr. 5. Schéma zapojení digitální desky OpenEEG



použitý proud, a při napětí 0,7 V už působí prakticky jako zkrat. Ve spolupráci s rezistory tedy zajišťují, že napětí nemůže překročit 0,7 V. Omezují také maximální proud, který by v případě poruchy mohl protékat směrem k osobě se sondami.

Zesilovače a filtry

Za ochranným obvodem následuje operační zesilovač IC203. Zesiluje vstupní signál ale také snižuje vstupní impedanci, čímž je vstup méně citlivý na nežádoucí šum. Zesílení je nastaveno rezistory R216 a R217 podle vzorce $G=1+50 \text{ k}\Omega/R_g$, kde $R_g=R216+R217$. Mezi rezistory R216 a R217 se odebírá vstupní napětí (*common-mode*) pro operační zesilovač IC204A, který ho po zpracování používá k ovládní výstupu DRL (společná elektroda). Signál EEG po zesílení (12x) v IC203 prochází horní propustí z C221 a R226, navrženou k odstranění stejnosměrného offsetu. Kmitočtová hranice propusti je 0,16 Hz. Následuje standardní zesilovací obvod se zesílením nastavitelným rezistory od 6 do 100 podle vzorce $G=(R_a+R_b)/R_a$, kde $R_a=P203+R222=1 \text{ k}\Omega$ až 21 k Ω a $R_b=R225=100 \text{ k}\Omega$.

Signál dále přichází do druhé horní propusti, identické s tou první, a do dolní propusti (její část je i na digitální desce EEG), přičemž operační zesilovač IC206B jej ještě 16x zesílí.

Nyní přejdeme na druhou – digitální – desku (schéma na obr. 5).

Mikroprocesor

V konstrukci je použit mikroprocesor AT90S4433 nebo ATmega8 od firmy Atmel. Byl zvolen proto, že je rychlý (většina instrukcí potřebuje pouze jeden ho-

dinový cyklus), má vestavěný šestikanálový desetibitový převodník A/D, který umožňuje měřit šest EEG signálů současně (při použití tří vstupních analogových desek), má výstup PWM (použitý pro generování obdélníkovitého signálu 14 Hz pro testování přístroje), má plně duplexní sériový port, jeho programování je velmi jednoduché a nevyžaduje nákladný programátor. Digitální část zařízení je dimenzována pro až 6 vstupů (tři vstupní analogové dvoukanalové desky).

Součástky na schématu vlevo od mikroprocesoru jsou převážně použity k vytvoření stejnosměrného napětí 4 V pro převodník AD. Zdroj referenčního napětí IC101 stabilizuje napětí propouštěním potřebného proudu, čímž ovládá úbytek napětí na R107 (470 Ω). Rezistor R107 omezuje proud na asi 2 mA. R102 a R103 tvoří dělič napětí a zpětnovazební větev pro referenci. Kondenzátor C101 filtruje drobné impulsy jako většina podobně zapojených kondenzátorů na celé desce. Diody D101 zajišťuje, aby referenční napětí nikdy nemohlo překročit napájecí napětí (při vypínání). Rezistory R101 a R105 rozdělují napětí 4 V na polovinu a vytvářejí referenci 2,0 V pro úroveň VGND. Na analogové desce je pak tato úroveň oddělena zesilovačem (IC201) se zesílením $G=1$. Rezistor R111 (100 Ω) a kondenzátor C108 (10 nF) tvoří filtrační obvod pro analogový vstup mikroprocesoru.

Rozhraní RS232

Sériové rozhraní má tři části. Klasický obvod MAX232 (IC106) konvertuje napětíové úrovně RS232 na úroveň TTL a naopak. Dva optočleny IC103 a IC104 z bezpečnostních důvodů elektricky od-

dělují MAX232 od zbytku desky. Nestandardní hodnoty součástek okolo optočlenu umožňují rychlejší přechody mezi úrovněmi log. 0 a log. 1 a tím i rychlejší přenos. Jednotlivé optočleny se obvykle dost liší pokud jde o optickou účinnost a tak bude možná v některých případech zapotřebí změnit odpor rezistorů R124 popř. R128.

Napájení

Popisovaný EEG lze napájet dvěma způsoby. Doporučuje se použít baterii (9 V nebo 12 V), ale lze použít i externí zdroj 5 V. Schéma napájení je na obr. 5 vpravo nahoře. Pokud se použije baterie 9 nebo 12 V, připojí se mezi PWR a GND1. D103 pak chrání obvody před přepólováním. Následuje IC107 (stabilizátor 5 V), který napájí jednak obvody rozhraní RS232, jednak napětíový převodník DC/DC IC105. Tento převodník má důležitou úlohu, protože elektricky odděluje (izoluje) ostatní obvody od napájecích vstupů. Vydří napětí až 1 kV a špičky až 3 kV. Za převodníkem DC/DC jsou dva filtry z indukčnosti L101 a L102 a kondenzátorů C111-113 a C117-119. Tři kondenzátory různých kapacit jsou paralelně proto, že každý z nich zkratuje jinou část kmitočtového spektra. Úkolem těchto filtrů je redukovat spínací šum, způsobovaný převodníkem DC/DC. Napájení digitálních obvodů jde přes jeden filtr, napájení analogových obvodů přes oba.

Operační zesilovače na analogové desce potřebují symetrické napájecí napětí. Proto je vytvořen virtuální zemnicí bod VGND přivedením napětí 2 V do operačního zesilovače IC201A na analogové desce. Prakticky to znamená, že to co je uzemnění na digitální desce se použije jako záporné napětí na analogové desce a o dva volty vyšší VGND působí jako virtuální zemnicí (středový) bod. (Pokračování příště)

SOFTWARE PRO ŠKOLY ZDARMA

Potenciál Internetu a počítačů ve vzdělávání je obrovský a v praxi zatím stále nedocenený. Přes slovní propagandu ale vzdělávání v naší společnosti není zřetelně hlavní prioritou a finančních prostředků pro něj není dostatek. Po celém světě už učitelé, pro které je jejich práce posláním a ne jen zaměstnáním, zjišťují, že princip svobodného softwaru (*Open Source Software*) jim pomůže řešit nedostatek finančních prostředků a výrazně změnit trendy školní výuky a vzdělávání všeobecně. Na serveru *LinuxPlanet* byl loni uveřejněn příklad 55 programů (pro všechny hlavní operační systémy) z různých oborů, které jsou zdarma k dispozici a mohou být užitečnými nástroji nejen pro učitele při naplňování jejich poslání, ale i pro jednotlivce každého věku, kteří se chtějí dále vzdělávat. (Pokračování z minulého čísla)

(Windows , Linux , OS X )

jVLT

Java Vocabulary Learning Tool je nástroj, který kombinuje populární „kartičky“ se slovníkem a kvízy (s příklady použití slov) k výuce cizích jazyků. Lze v něm používat jakékoliv vlastní slovníky nebo soubory stažené z Internetu.

OS   

Web <http://jvlt.sourceforge.net>

ZWDisplay

Program pro výuku čínských (Mandarin) znaků (*zhong-wen*, čínské psaní). Vložíte znak a zobrazí se výslovnost (v *Pinyin*) a anglický překlad. Podobně lze vkládat i celý text. Výslovnost i překlad lze i skrýt a z procvičovaných znaků lze vytvořit *flashcards* (kartičky).

OS 

Web <http://zwdisplay.sourceforge.net>

Zkanji

Program je určen pro výuku japonštiny anglicky mluvícím studentům. Obsahuje i slovník, seznamy, testy, plán studia a další užitečné funkce.

OS  

Web <http://zkanji.sourceforge.net>



ZWDisplay pro výuku čínských znaků



BingoCardMaker

BingoCardMaker

Hra *Bingo* může oživit jinak nudnou výuku slovíček a gramatiky na základních školách. Program umí vygenerovat ze sady obrázků, které si nashromáždíte k dané tématice, čtvercové kartičky k rozstříhání pro hru *Bingo*. Lze nastavit velikost kartiček, barvy, nadpisy, ad.

OS nezávislý

Web

<http://bingocardmaker.sourceforge.net>

FlashQard

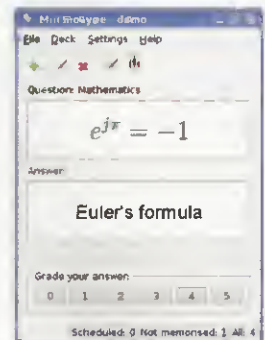
Flashcards je výraz používaný pro počítačovou obdobu populárních „kartiček“, používaných k výuce slovíček a dalších informací k zapamatování. Program *FlashQard* umožňuje vytvořit kartičky pro prakticky libovolný materiál, vkládat do nich i obrázky, zaznamenávat odpovědi a používat i nahrávky (např. výslovnost). Používá populární

Program *FlashQard* pro výuku čehokoliv k zapamatování pomocí „kartiček“ a *Leitnerovy* metody procvičování

a efektivní *Leitneruv* systém výuky. Obsahuje i jednoduchý editor textu a obrázků. Vytvořené sady kartiček jsou přenosné v jediném souboru XML.

OS  

Web <http://flashqard-project.org>



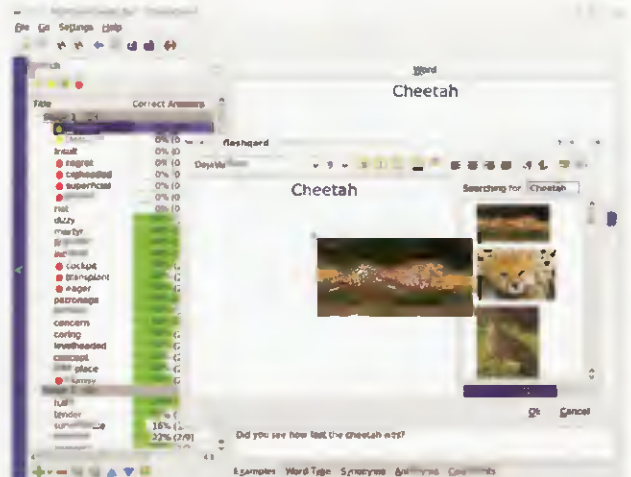
Mnemosyn Project

The Mnemosyne Project

Další podobný program, kromě vytváření sad kartiček obsahuje sofistikovaný algoritmus, určující sled prezentovaných kartiček pro optimalizaci výukového procesu. Podporuje kromě textu i obrázky, zvuky a formátování HTML. Kartičky mohou mít (na rozdíl od reálného světa i „tři strany“ (např. slovíčko, překlad a výslovnost). Program tvoří průběžně statistické vyhodnocení výukového procesu.

OS  

Web www.mnemosyne-proj.org



Pauker

Další populární „kartičková“ aplikace, navržená pro komplexní posílení okamžitě, krátkodobě i dlouhodobě paměti. Kromě standardní verze je k dispozici i miniverze pro mobilní přístroje (Java).

OS   X

Web <http://pauker.sourceforge.net>

jMemorize

Jako ve většině předchozích podobných programů jde zase o „kartičky“ a Leitnerův procvičovací systém. Průběžně vidíte v pracovním okně grafy, zobrazující kolik toho již umíte, jak rychle pokračujete ap., což může být pro výuku motivující.

OS nezávislý

Web <http://sourceforge.net/projects/jmemorize>

Parley

Program *Parley* je součástí vzdělávacího projektu KDE a jeho hlavní předností je existence neustále doplňované bohaté knihovny připravených sad „kartiček“ z nejrůznějších oborů (historie, chemie, anatomie, hudba, jazyky ad.). K ukládání sad používá program otevřený formát XML.

OS  

Web <http://edu.kde.org/parley>

Program *Parley* nabízí různé způsoby procvičování



WorldWind

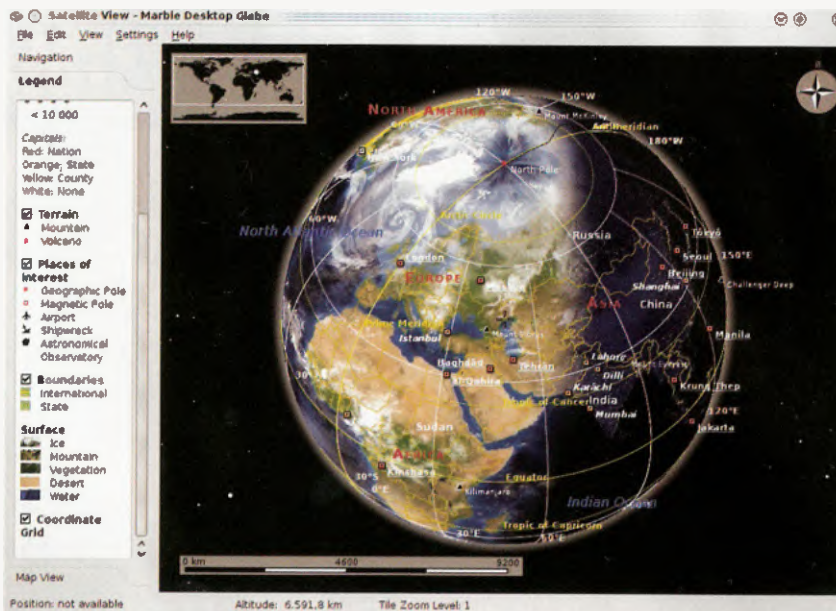
Aplikace vyvinutá americkou vesmírnou agenturou NASA umožňuje přístup k satelitním snímkům prakticky jakéhokoliv místa na zeměkouli. Je velmi podobná populárnímu programu *Google Earth*, nabízí ale i některé další funkce, včetně např. podrobných snímků Měsíce.

OS 

Web <http://worldwind.arc.nasa.gov>

Marble

Další podobná aplikace (jako *Google Earth* a *WorldWind* – atlas světa a virtuální globus), kromě satelitních snímků však umožňuje zkoumat i mapy – lze volit mezi topografickými, silničními, ale i mapami průměrných teplot nebo srážek i okamžité oblačnosti, to vše



Atlas světa a virtuální globus Marble

v různých používaných mapových projekcích.

OS   X

Web <http://edu.kde.org/marble>

Argumentative

Tato aplikace umožňuje vytvořit vizuální reprezentaci struktury argumentu – tzv. *mapu argumentu*. Bude užitečná studentům kritického uvažování, logiky, filozofie, debat a psaní přesvědčivých dokumentů, stejně jako právníkům a podobným profesím. Usnadní všem i průzračnější rozhodování.

OS 

Web

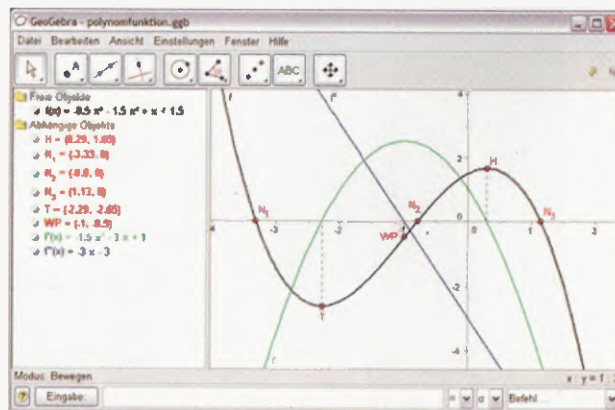
<http://argumentative.sourceforge.net>

GeoGebra

GeoGebra je oceňovaný program pro tvorbu dynamických modelů, užitečných pro výuku geometrie, aritmetiky, algebry a diferenciálního počtu. Umožňuje i počítat s čísly, vektory a body, poskytuje derivace a integrály a nabízí příkazy jako *nulové body* a *extrém*. Existuje i online verze programu k použití přímo na webu.

OS nezávislý

Web <http://www.geogebra.org/cms>



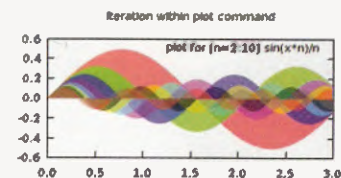
GeoGebra je program pro tvorbu dynamických modelů v matematice, geometrii, statistice ad.

gnuplot

Gnuplot tvoří 2D a 3D grafy k usnadnění vizualizace matematických funkcí nebo vědeckých dat. Grafy lze tisknout, ukládat nebo exportovat v mnoha různých vektorových i bitmapových formátech.

OS   X

Web <http://gnuplot.sourceforge.net>



Program *gnuplot* tvoří 2D a 3D grafy

GraphCalc

Podobný program jako výše uvedený *gnuplot*. Je to grafický kalkulátor po vše od aritmetiky po statistickou analýzu, Booleovy funkce, geometrii, diferenciální počet ad., grafy tvoří dvoj- i trojrozměrné (2D, 3D).

OS 

Web <http://gcalc.sourceforge.net>

(Pokračování příště)

TECHNICKÉ ZAJÍMAVOSTI

mini PC VOT32

Další malý počítač uvedla na trh firma ViewSonic. Velmi elegantní skříňka měří pouze 190x135x24 mm a váží 1,4 kg. O jeho chod se stará procesor Intel Atom 330 (1,6 GHz DualCore) se sběrnici 533 MHz a s čipovou sadou Nvidia MCP7A-ION, která umožňuje přehrávat video v plném HD rozlišení 1900x1080p. Počítač je vybaven pamětí RAM 2 GB a pevným diskem 320 GB SATA. K dispozici má všechna potřebná rozhraní – LAN 10/100/1000 Gb/s, WiFi 802,11 b/g/n, 6x USB 2.0, DVI, HDMI, S/PDIF/Mic IN, S/PDIF OUT, konektor pro sluchátka a čtečku paměťových ka-



Pohled na přední a zadní panel minipočítače VOT132: 1 – anténa, 2 – porty USB, 3 – port DVI, 4 – port HDMI, 5 – LAN RJ45, 6 – napájení, 7 – S/PDIF OUT, 8 – síťový vypínač, 9 – uspávací tlačítko, 10 – LED, 11 – čtečka paměťových karet, 12 – S/PDIF/Mic IN, 13 – výstup pro sluchátka, 14 – stojánek



Elegantní mini PC ViewSonic VOT132

ret (SD, MS, MMC). Použitý operační systém je Windows 7 Home Premium.

Počítač lze buď postavit do elegantního stojánku nebo ho připevnit pomocí standardního uchycení VESA (75x75, 100x100) přímo na zadní stranu monitoru. O napájení se stará externí napáječ 19 V/65 W. Samostatně lze přikoupit optickou CD-RW/DVD mechaniku přesně stejné velikosti (obě skříňky lze i spojit). Cena ViewSonic VOT132 se pohybuje okolo 400 USD.



Počítač VOT32 lze standardním uchycením VESA připevnit přímo na monitor

Kouzelná hůlka

The Magic Wand Remote Control je „kouzelná hůlka“ pro dálkové ovládní přístrojů. Umi se naučit celkem 13 infračervených kódů z vašeho stávajícího dálkového ovládní a vyslat je, když s ní uděláte jedno z předdefinovaných gest (pohybů). Zvukovými impulsy potvrdí, že rozeznala vaše gesto, a oznámí vám i téměř vybitou baterii. Pokud ji nepoužíváte, sama se po 60 vteřinách vypne, znovu se zapne jakmile ji uchopíte. Kouzelná hůlka rozpozná následující pohyby: kroužení ve směru a proti směru hodinových ručiček (obvykle používané k ovládní hlasitosti), švihnutí nahoru, dolů, doleva a doprava, ťuknutí špičkou, ťuknutí bokem, velké máchnu-

The Magic Wand Remote Control se jako správná kouzelnická hůlka prodává v luxusním pouzdře



Kouzelná hůlka a její manuál

tí, pohyb prudce dopředu, pohyb prudce dozadu, dvojité ťuknutí špičkou, dvojité ťuknutí bokem. Hůlka může být také v režimu učení (přifazování infra kódů pohybům) nebo v režimu návčivku (kdy se učíte pohyby). „Kouzelná“ hůlka má průměr 20 mm, délku 35 cm a je napájena dvěma bateriemi AAA. Stojí v Evropě asi 60 EUR.

Zvukový granát

Sound Bomb Speaker je nápaditá reproduktorová soustava ve tvaru granátu (bomby) s výkonem 6 W. Je napájena ze 4 tužkových baterií AA (nebo z portu USB) a lze k ní přiloženým kabelem připojit jakékoliv zařízení s výstupem pro sluchátka (mobilní telefon, notebook, PC, MP3 přehrávač ad.). Měří v průměru 15 cm (koule) plus 2 cm výstupek s konektorem pro sluchátka. Stojí asi 15 EUR.



Sound Bomb Speaker



Potápěčské brýle se zabudovanou kamerou od firmy Liquid Image

Potápěčské brýle s kamerou

Prodávají se různá vodotěsná pouzdra na fotoaparáty a kamery pro natáčení pod vodou. Firma *Liquid Image* však zabudovala fotoaparát/kameru přímo do potápěčských brýlí a uvolnila tak rekreačním potápěčům ruce.

Fotoaparát s rozlišením 5 Mpx může pracovat do hloubky 5 metrů a je tak vhodný pro potápění se šnorchlem nebo natáčení v bazénech. Skla brýlí jsou z temperovaného skla a mají vyznačené zaměřovací křížky, což pomůže získat požadovaný záběr. Indikační diody a stavový LCD displej jsou uvnitř brýlí. Zabudovaná paměť má (pouze) 16 MB, lze ale používat paměťové karty SD do 2 GB.

Maximální rozlišení fotografií je 2560x1920 obrazových bodů, rozlišení

pro natáčení videa je 640x480 (VGA, 18 až 25 snímků/s). Vše se napájí ze dvou baterií AAA (mikrotužky), snímky lze načíst do počítače přes rozhraní USB. Kamera se sama vypne po 120 vteřinách nečinnosti.

Brýle *Liquid Image Explorer* stojí asi 115 EUR.



Liquid Image Explorer fotí a točí pod vodou

Univerzální Kelvin.23

Pro různé drobné opravy se hodí univerzální nástroj *Kelvin.23*. Číslo 23 udává počet obsažených nástrojů. Je mezi nimi 16 různých šroubováků, vysouvací metr 200 cm, kladívečko, svítil-



Skládací všeučel *Kelvin.23*

na s LED, vodováha, magnety k přidržování šroubků. Vše složené to váží asi 300 g a měří 135x40x50 mm a stojí asi 25 EUR.

Baterie na kličku

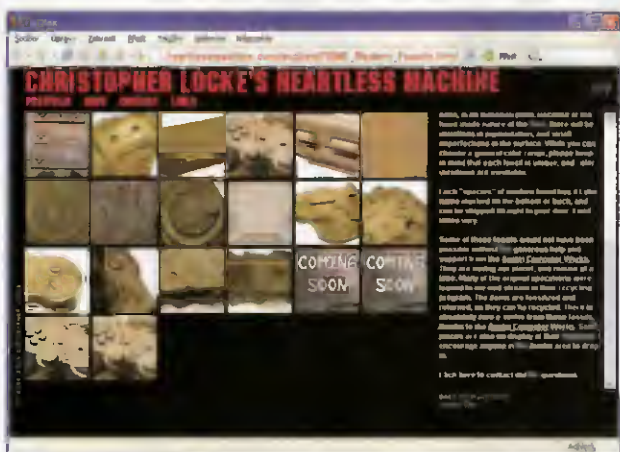
Baterie (i ty nabíjecí, akumulátory) mají tu špatnou vlastnost, že obvykle přestanou dodávat proud právě když je to nejméně vhodné. Vyřešit by to měla tato baterie „na kličku“. Dá se samozřejmě nabít i běžným způsobem, ale pokud není nabíječ nebo elektrická přípojka k dispozici, stačí vyklopit kličku a mechanickým úsilím (viz obrázky) baterii alespoň trochu dobít. Pětiminutové úsilí by mělo stačit na dobítí na 45%, desetiminutové na 60%, patnáctiminutové na 80% a dvacetiminutové naplno (100%). Indikační dioda LED při nabíjení zeleně bliká, při úplném nabití začne svítit červeně. Nápad pochází z webu www.yankodesign.com.



ZAJÍMAVÉ WEBY

www.opera-prehliadac.com

Velmi dobrý slovenský web podpory pro populární internetový prohlížeč Opera. Je zde mnoho zajímavých článků a návodů, přehled doplňků, uživatelské JavaSkripty, hojně navštěvované diskuzní fórum a všechny aktuální novinky, samozřejmě s možností stažení nejnovější verze prohlížeče.



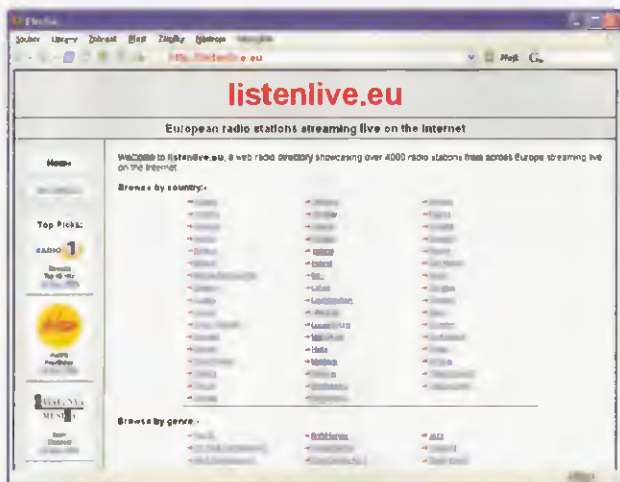
http://heartlessmachine.com/section/79989_Modern_Fossils.html

Za cenu okolo 50 USD si zde můžete koupit technickou fosilii – zkamenělou magnetofonovou kazetu, starý mobilní telefon ad. Každá má i svůj latinský název... (Vše je samozřejmě umělé.)



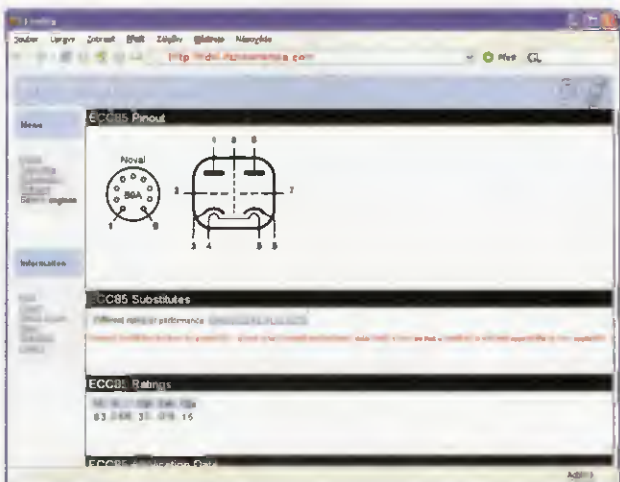
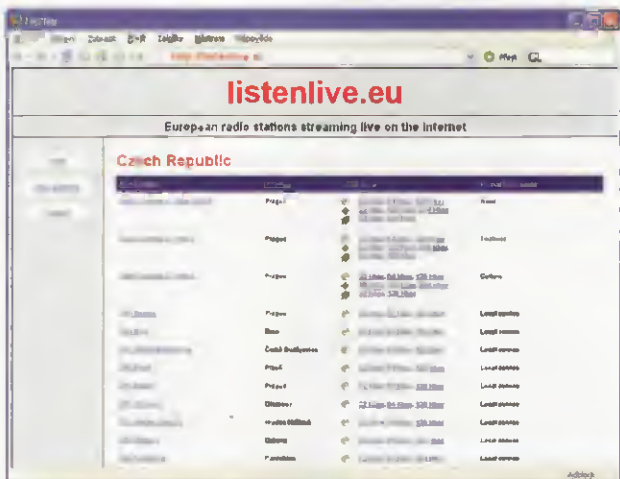
<http://tdsl.duncanamps.com>

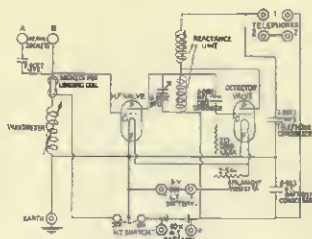
Tube Data Sheet Locator je web, kde lze vyhledávat údaje elektronek (to jsou takové ty skleněné baňky s elektrodami, používané ve starověku místo tranzistorů a integrovaných obvodů ... :-)). Zobrazí nejen zapojení a základní parametry, ale i dostupné další související zdroje na Internetu. Lze zde stáhnout i program pro offline používání v počítači.



<http://listenlive.eu>

Web *listenlive.eu* je přehledný portál evropských internetových rádií. Je neustále doplňován a najdete na něm přes 4000 stanic z 50 různých evropských zemí. Pod samostatnou záložkou jsou novinky, vyhledávat lze i podle žánrů. Kliknutím na název stanice se dostanete na její web, kliknutím na zvolený formát se vybraný stream začne přehrávat v přehrávači, který pro něj máte v počítači nastaven.





RÁDIO „HISTORIE“

90 let od založení firmy RCA

Ing. Jan Lexa

Před devadesáti lety, v roce 1919 byly položeny základy firmy RCA (Radio Corporation of America), která do značné míry ovlivnila elektronický průmysl celého světa v mnoha odvětvích. V tomto článku si hlavní činnosti a výrobky společnosti RCA připomeneme.

Vše začalo vyhlášením války Francii a Anglii 4. srpna 1914 Německu. V té době přes Atlantický oceán dramaticky stoupla mezi spojenci bezdrátová komunikace protože Němci přerušili podmořské kabely a později, v roce 1917 bez varování potopili čtyři americké válečné lodě, takže i Amerika nakonec vyhlásila Německu válku. Okamžitě byly ve státním zájmu veškeré patenty firem týkající se rádiového vysílání vzaty pod kontrolu amerického válečného loďstva. Vláda vyvalala GE (General Electric) k vytvoření RCA, což se také v říjnu 1919 stalo. Mělo

dojít k jakémusi sňatku mezi privátním sektorem a státem v oblasti vývoje rádiových systémů. RCA tedy převzala majetek americké části firmy Marconi (fa Marconi byla i v Anglii), GE a Westinghouse. Úspěchy RCA byly enormní. Zatímco před rokem 1920 bylo v domácnostech jen asi 5000 rádií, v roce 1924 už to bylo 2,5 milionu. Zisk z prodeje rádií (Radiola) přesáhl 46 mil. dolarů. Westinghouse (jako součást RCA) získává první licenci na komerční vysílací stanici KDKA v roce 1920 a v následujícím roce živě vysílá světový šampionát boxerů v těžké váze,



Obr.1 Pánové, kteří stáli u zrodu RCA: Owen Young, nepřímo Guglielmo Marconi a Ed Nally na lodi Elettra r. 1922

což byl chytrý marketingový tah generálního manažera RCA Davida Sarnoffa. David Sarnoff byl původně telegrafním posílkem u Marconiho telegrafní společnosti, která v roce 1901 poprvé bezdrátově vysílala písmeno „S“ do Anglie, kde



Obr. 2. Jedna z prvních krystalek vyrobená firmou RCA (vlevo nahoře)

Obr. 3. (Vlevo) Radiola Senior z r. 1921 se skládala ze dvou dílů, z přijímače (RF) a zesilovače (AC)

Obr. 4. (Vpravo) Drahý přijímač s reproduktorem, typ Radiola Grand z r. 1923

Obr. 5. Jedny z prvních elektronek používané v přijímačích, typ WD12 a WD11 (vpravo nahoře)



Vojenská taktická rádiová stanice PRC-319

Starší generace radioamatérů nejen že dobře pamatuje dokonalou inkurantní techniku, která na našem území zůstala po osvobození po německé armádě, ale dokázala ji také dokonale využít při provozu na radioamatérských pásmech. Vždyť hlavně přijímače jako Forbes, FuGe16, EZ6 patřily k tomu nejlepšímu, co bylo možné zprvu prakticky zdarma, později za přístupnou sumu si pořídit na poslech, event. pro vyvolené i pro vysílání na amatérských pásmech. Pamatuji ještě na hromady souprav FuGe16, EK-SK a dalších, o kterých jsme vlastně ani nevěděli, k čemu by se daly použít, v Praze Na Měninách. Později přišly alespoň u části amatérů do módy naše RM-31 nebo přijímače R4 přidělované Svazarmu; s „RF-kami“, později výkonnějšími RO21 jsme úspěšně zajišťovali spojovací služby, OL amatéři pak usilovně přestavovali letecké RSI sovětské provenience na svůj první vysílač pro 160 m. Z inzerátů a některých článků v časopisech se dá soudit, že i po odchodu ruských vojsk leckde zbyly části jejich vysílací techniky – hlavně výkonné. Ovšem získat nějakou techniku používanou v západních armádách, to bylo na našem území možné snad jen na fotografiích. Teprve internet nám umožňuje sledovat různé burzy v zahraničí – zatím co naše rádiová technika až na výjimky obvykle končila drčením pod pásy tanků, ve světě již dávno přišli na to, že je možné vyřazovanou vojenskou techniku výhodně zpeněžit.

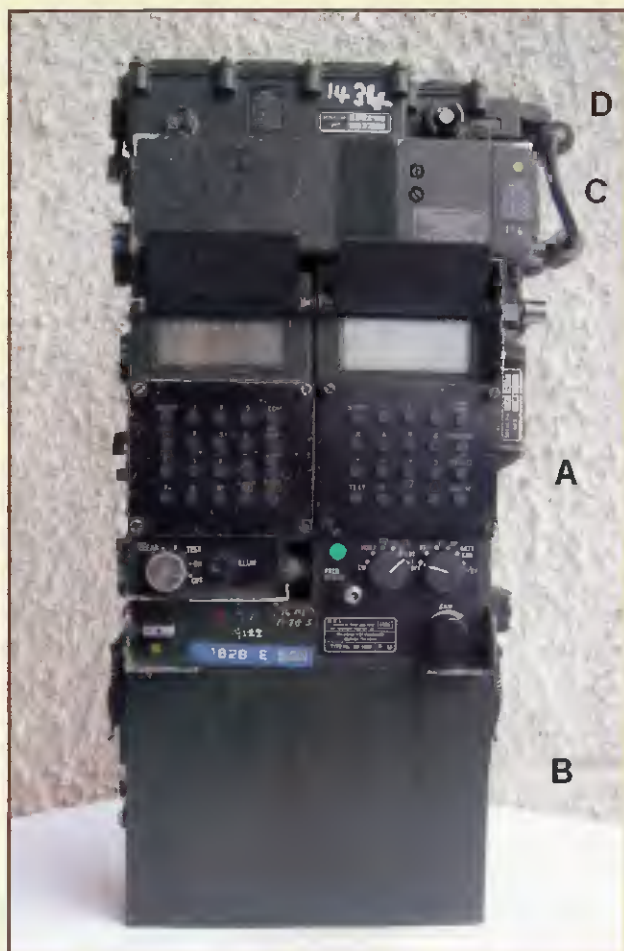
Před časem se mi dostal do ruky trofejní, ale prakticky nepoužívaný, ještě s typickou vůní izolačního laku na dráto-

Obr. 1. Sestavená radiostanice, pohled zepředu. Části A – přijímač-vysílač, B – akumulátor, C – automatický anténní člen, D – doplňkový anténní člen. Tento kus se zúčastnil operace Pouštní bouře při válce v Perském zálivu (1990-91)

vých svazcích německý vysílač, typ 30WS.a (viz popis v PE 12/2006, s. 42), nyní to byla sice novější, ale určitě vzácnější anglická speciální taktická radiostanice pro výsadkaře s označením PRC-319. Jedná se

o moderní přijímač + vysílač, schopný pracovat v rozsahu 1,5 až 40 MHz s výkonem 5 W (krátkodobě 50 W) pro CW a USB provoz (fázová metoda), příp. s možností přes modem používat datové přenosy s třemi variantami rychlosti přenosu (včetně „burst“ paketů). Je to kanálové zařízení s možností individuálního nastavení deseti různých kmitočtu z kmi-

točového rozsahu jak na části RX, tak TX, takže je možné pracovat i split provozem. Kmitočty je řízen mikroprocesorem, VCO pracuje na kmitočtech 4x vyšších, než jsou provozní (6 až 160 MHz), provozní kmitočty se nastavuje tlačítky na speciální tastatuře. Přijímač je velmi jednoduchý – s přímým zesílením. Zařízení bylo vyvinuto pro anglickou armádu v la-



Obr. 6. Tři loga RCA. Zleva: nejznámější RCA logo a dvě krásná loga RCA-Victor

také sídlila firma Marconi, jak již bylo zmíněno. Na obr. 1 jsou zachyceni (na Marconiho jachtě Elettra) tři pánové, kteří také stáli u zrodu RCA.

Jedním z prvních výrobků RCA byla dobře vybavená krystalika s třemi přepínatelnými pásmy 170-410, 350-965 a 925-1650 kHz (obr. 2). Hlavní prodejní úspěchy v r. 1921-1922 však zaznamenal přijímač Radiola Senior Regenerative Receiver (typ RF) spolu s dvoustupňovým zesilovačem Radiola A.C. 2 Stage Audio Amplifier (typ AC). Přijímač obsahoval jednu elektronku WD11. Byl napájen baterií 1,5 V a 22,5 V. Dvoustupňový zesilovač byl osazen dvěma WD11 (obr. 3) a anodová baterie měla buď 60, nebo 90 V. Každý díl stál 65 \$. V roce 1923 se

objevil mnohem dražší (325 \$) přijímač Radiola Grand (obr. 4) jako náhrada za neúspěšné Aeriola Grand. Obsahoval 4 ks WD11 (obr. 5), regenerativní detektor a push-pull výstup, který budil tlakový reproduktor. Kovové části byly pozlacené. Ve výčtu vyrobených modelů rádií bychom mohli pokračovat dále, ale zmíníme se také o tom, jak RCA postupně rozvíjela vysílací síť a přebírala vysílače. Kolem roku 1926 zakoupila společnost RCA vysílače WEAF, WCAP a vysílací síť od AT&T, WJZ v New Yorku a řetězec WRC ve Washingtonu, a to pod společným názvem NBC (National Broadcasting Company), která existuje dodnes.

RCA nechtěla zůstat jen u rádii, a tak v roce 1929 převzala i tehdy největšího

výrobce gramofonů Victor Talking Machine Company a vznikla dceřiná společnost RCA-Victor, jejichž dvě pěkná loga včetně loga RCA lze vidět na obr. 6. Ne každý ví, že originální logo RCA-Victor s foxteriérem jménem Nipper nakreslil téměř neznámý londýnský umělec Francis Barraud, když tento pes seděl před „troubou“ Edisonova fonografu a naslouchal „His Master's Voice“ (obr. 7). Tento obrázek, ovšem již s gramofonem, pak doprovázel všechny vyřizované desky RCA-Victor.



Obr. 7. Originální kresba F. Barauda, pes Nipper u Edisonova fonografu z konce 19. století

(Pokračování)



Obr. 2. Pohled z boční strany (spojovací a přípojné konektory)

boratořích MEL (Mullard Electronic Laboratories), vyráběla je firma Philips a později také Thales v letech 1985-86, cena soupravy byla pro zákazníky 21 000 \$ (!).

Stanice používaly výsadkové jednotky v Anglii, Austrálii a na Novém Zélandě. Je vodotěsná do hloubky asi 2 m a souprava váží kolem 12,5 kg s větším, 4 Ah NiCd nebo 10 kg s 1,2 Ah akumulátorem. Celá souprava se pro přepravu směstná do speciálního batohu z pevného plátna, který má tři díly – střední pro vlastní radiostanici o rozměrech 250 x 450 x 110 mm, ke kterému jsou po bocích mohutnými zipy připevněny dvě další úložné části – jedna pro anténní příslušenství, druhá pro ruční generátor, klíč, mikrotelefon, sluchátko atp. Celková šířka sestaveného batohu je asi 550 mm.

Na obr. 1 vidíte sestavenou radiostanici zepředu s „odkrytým hledím“ displejů kontrolní a vysílací/přijímací části. Radiostanici je možné provozovat takto, nebo lze jednotlivé části od sebe snadno oddělit povolením dvou speciálních spojovacích prvků na každé části a propojit je pro provoz kabely. Napájení je z 24 V akumulátoru nebo také z 24 V ručního generátoru, kterým je možné také akumulátor dobíjet, zapojuje se mezi baterii a vlastní radiostanici (obr. 3). Z interního měniče se pak získávají potřebná kladná i záporná napětí nutná k provozu celé soupravy radiostanice.

Anténní vybavení: 2,4 m skládací prutová, drátová 7 m, drátová 5 m, speciální balun pro dipólové antény, adaptér pro

připojení koaxiálního kabelu. Antény se doladují automaticky rychlým automatickým anténním tunerem, který může být nasazen přímo na radiostanici nebo napájen samostatně přes koaxiální kabel do vzdálenosti max. 50 m. Je schopen doladovat drátové antény v rozsahu 4 až 23 MHz; pokud se pracuje na nižších kmitočtech, je třeba přidat další doplňující díl, se kterým je možné doladovat dipólové nebo LW antény již od provozního kmitočtu 1,5 MHz. Pro vyšší kmitočty nad 23 MHz se používá prutová anténa přes anténní tuner nebo dipóly laděné na provozní kmitočty.

Pro poslech telegrafie (nebo příposlech další osobou) je v soupravě další sluchátko, které je možné připevnit na hlavě pro „handsfree“ provoz. Kouzelný je miniaturní klíč pro vysílání Morseovy abecedy, pro připevnění na nadkolenní partii nohy operátora (obr. 4). Má říditelný zdvih i tvrdost, provoz na něm (po mnoha letech) mi silně připomněl vynikající klíče Junkers, které jsou dodnes mezi radioamatéry oblíbené.

Vlastní provoz je jednoduchý, problémy pro nezacvičenou obsluhu nutně dělá nastavování na požadovaný kmitočet, event. přeladování... Já si např. z počátku neuvědomil, že je kmitočet nutné zadat včetně posledního desetinného místa, a marně přemýšlel, proč přestože všechny kontroly jsou pořádku, TRX nevysílá. Ovšem to je zvyk amatérů – do manuálu se podívat, teprve až sešlou všechny předchozí pokusy, které podvědomě nabízí „přirozená inteligence“. Zadaný kmitočet platí pro přijímač, vysílač má odskok asi 1 kHz. Je ovšem možné nastavit samostatně kmitočet pro přijímač a odskok jiný pro vysílač. Zpola vybitý akumulátor mi již nedovolil navázat nějaké spojení, o které jsem se pokoušel zprvu na 7, pak 14 MHz a LW anténu; za několik minut po několikerém dávné výzvy pokleslo napětí pod 20 V. Zprvu vypověděl službu anténní člen, pak se rozblíkal další kontrolky... Pokoušet se dobít akumulátor ručním generátorem, to jsem vzdal předem. Kupodivu přijímač vydržel v provozu ještě při napětí baterie 18 V.

Obr. 3. Ruční generátor pro provoz radiostanice, příp. k dobíjení akumulátorů



Obr. 4. Miniaturní telegrafní klíč

Jeden z majitelů tohoto zařízení na internetu oznamuje, že má v provozu tuto stanici již několik let a podařilo se mu navázat spojení s více jak 100 zeměmi DXCC. Na CQ je to poměrně slušný výsledek; je třeba si uvědomit, že hledat stanice po pásmu je s kanálovým zařízením, které má poměrně složité nastavování kmitočtu, při dnešním provozu téměř vyloučené. Několikrát jsem se snažil naladit se na stanici dávající výzvu, ale než jsem namačkal potřebný kmitočet na tastatuře (což je nutné zvlášť pro přijímač, zvlášť pro vysílač), stanice již dávno měla spojení. Takže závěr – hezký kousek do sbírky vojenských zařízení, ale pro praktický provoz na amatérských pásmech téměř nepoužitelný. Svůj původní účel však určitě stanice plnila spolehlivě.

QX





Z RADIOAMATÉRSKÉHO SVĚTA

Počítač v ham-shacku LXIX

Automatický telegrafní klíč a klávesnicový dávač Winkey

(Dokončení)

Uzamčení klíče

Klíč je vybaven možností uzamčení, kdy je vyřazen vstup z pastičky a tlačítka zpráv. Tato funkce prakticky odpovídá vypnutí klíče, hodí se proto tehdy, když klíč např. zabalíme na cestu nebo jako dětská pojistka. Při uzamčení je klíč v klidovém stavu s minimálním odběrem. Klíč lze uzamknout tak, že přejdeme do příkazového režimu a jako příkaz zadáme AAA bez mezery (-.-.-), což je mj. také symbol pro tečku (např. za větou). Odemčení klíče provedeme červeným tlačítkem, které stiskneme a držíme po dobu 5 sekund. Klíč se „probudí“ a vyšle R.

Obslužné programy

Spolu s klíčem jsou na instalačním CD dodávány obslužné programy, které sice nejsou pro funkci klíče nezbytné, ale jejich pomocí lze provést některá uživatelská nastavení bez použití pastičky. Rovněž tak lze editovat zprávy přímo z klávesnice a uložit do paměti WK2. Programy jsou určeny pro operační systém Microsoft Windows, proto je nutné před jejich použitím nainstalovat příslušný ovladač USB portu, který je rovněž součástí instalačního CD. Postup instalace ovladače závisí na verzi Windows, kterou používáte. Vhodným výchozím bodem je hlavní nabídka, kde zvolíme „Tento počítač“ a pak „Přidat hardware“. Někde může být rychlejší cestou spustit správu počítače, hardware a nechat prohledat celé CD. Po nainstalování ovladače se objeví nový COM

port, který může být vidět v hardwarové konfiguraci jako „USB COM Port“ nebo „USB FTDI Port“ apod.

CD obsahuje víc programů, mj. i jednoduchý klávesnicový dávač, ale zřejmě se jedná o vývojové verze, které nemusí být kompatibilní se všemi verzemi Windows. Pro uvedení klíče do provozu a jeho první testy, příp. nastavení některých parametrů však budou důležité zejména dva.

WinKey Test Bed (wktest)

Program slouží k otestování klíče (obr. 11). Najdete ho na doprovodném CD v adresáři WK_APPS, kde je i s instalátorem jako `wktest_setup.exe`.

Před použitím programu je nutné zvolit či najít port, ke kterému je WK2 připojen. Z horní nabídkové lišty zvolíme Comm a zadáme číslo portu - je stejné, jako číslo nového portu, viditelného v hardwarové konfiguraci po instalaci ovladače portu. Pokud číslo portu neznáme, není těžké jej najít zkusmo, stačí vyzkoušet všechny porty (většinou mimo COM1 a COM2). Pokud program najde WK2 a naváže s ním komunikaci, můžeme začít testovat. Do okénka **Keyboard Entry Window** můžeme psát text a slyšíme, jak jej WK2 vysílá pomocí příposlechu, pokud je zaškrtnutá volba **Sidetone** (vpravo uprostřed). Program nás velmi rychle seznámí s možnostmi klíče a tím, co která volba dělá. Doporučuji si s programem a různými volbami pohrát. Pokud změníme

hodnotu nějakého parametru, je nutné kliknout na tlačítko **Update**.

WinKey2 Standalone Editor (wk2mgr)

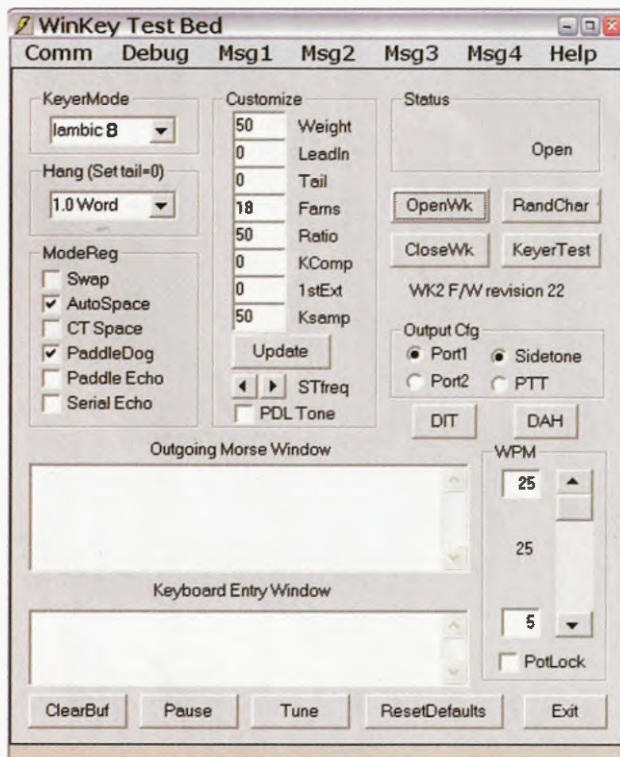
Tento program slouží nejen k ověření funkcí klíče a jeho spolupráce s počítačem, ale umožňuje i editovat zprávy (všech 6) a nastavit celou řadu parametrů, které není možné nastavit pastičkou v samostatném režimu (obr. 12). Pokud tedy používáte Windows, budete se k tomuto programu asi občas vracet. Najdete ho na doprovodném CD v adresáři WK_APPS, kde je i s instalátorem jako `wk2mgr_setup.exe`.

I zde je nutné nejprve nastavit port, ke kterému je připojen WK2. V dolní části obrazovky se objeví oznámení o volné kapacitě paměti, zpráva o otevření klíče (**WK Open**) a zobrazí se verze firmware (zde **F/W revision 22**). Tyto zprávy znamenají, že je vše v pořádku a můžeme začít konfigurovat klíč. Klikneme na tlačítko **Read WK** a v okně se objeví kompletní obsah paměti EPROM, tedy nejen texty zpráv, ale i všechna uživatelská nastavení. Stejně jako v předešlém případě, ani zde není potřeba komentáře k uživatelskému rozhraní, protože veškeré parametry jsou vysvětleny v textu článku.

Kdyby se klíč choval jinak, než očekáváte, udělali jste chybu právě zde při nastavování. Program ale umožňuje také vše opravit, nesmíte však zapomenout vždy kliknout na tlačítko **Write WK**. Poslední z významných tlačítek, **Test WK**, umožňuje otestovat nastavení ještě před jeho uložením.

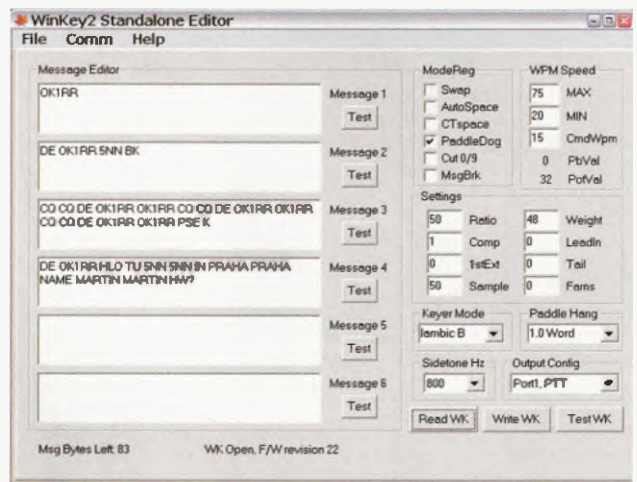
Odkazy

- [1] K1EL Systems, <http://www.k1el.com/>
- [2] *Bamett, James*, *WB4VVF: The WB4VVF Accu-Keyer*. QST, August 1973.
- [3] *Kačárek, Boris*: Od historie k současnosti telegrafního provozu. In: *Daneš, J. a kol.*: *Amatérská radiotechnika a elektronika*. 2. díl. Naše vojsko, Praha 1986, s. 390.



Obr. 11. Program `wktest` k ověření funkce WK2 ve spolupráci s počítačem

Obr. 12. Program `wk2mgr` k nastavení parametrů klíče



Kalendář závodů na březen (UTC)

2.3. VKV aktivita ¹⁾ , NA ²⁾	144 MHz	18.00-22.00
3.3. MOON Contest ³⁾	144 MHz	19.00-21.00
6-7.3. I. subreg. závod ⁴⁾	144 MHz-241 GHz	14.00-14.00
9.3. VKV aktivita: NA	432 MHz	18.00-22.00
10.3. MOON Contest ³⁾	432 MHz	19.00-21.00
11.3. VKV aktivita: NA	50 MHz	18.00-22.00
13.3. FM Pohár	145 a 432 MHz	09.00-11.00
13.3. Mistr. ČR juniorů ⁵⁾	145 a 432 MHz	09.00-11.00
13-14.3. ATV Contest ⁶⁾	432 MHz a výše	12.00-12.00
16.3. VKV aktivita: NA	1,3 GHz	18.00-22.00
18.3. VKV aktivita: NA	70 MHz	18.00-22.00
20.3. AGCW CW Contest	144 MHz	14.00-17.00
20.3. AGCW CW Contest	432 MHz	17.00-18.00
21.3. Provozní aktiv	144 MHz-76 GHz	08.00-11.00
21.3. Mistr. ČR juniorů ⁵⁾	144 MHz a 432 MHz	08.00-11.00
21.3. DUR Activity Contest	432 MHz-76 GHz	08.00-11.00
23.3. VKV aktivita: NA	mikrovlnná pásma	18.00-22.00

¹⁾ Podmínky viz: www.satelit.cz

²⁾ Nordic Activity Contest

³⁾ Hlášení na: ok2vbz@centrum.cz

⁴⁾ Deníky na: vkvzavody.moravany.com

⁵⁾ Hlášení na OK1OHK

⁶⁾ Deníky na adresu OK1MO: Jiří Vorel,
P. O. Box 32, 350 99 Cheb 2

OK1DVA

Jarní setkání radioamatérů,

CB-čkářů a ostatních zájemců o radiotechniku, elektroniku a výpočetní techniku se uskuteční **27. března 2010** od 8 do 12 hodin v obou sálech Pivovaru Přerov, Komenského ulice. Pro prodejce budou sály otevřeny od 7.30 h.

Srdečně všechny zveme.

Radioklub OK2KJU, Přerov

Kalendář závodů na únor a březen (UTC)

12.-14.2. YL-OM Contest	SSB	14.00-02.00
13.2. OM Activity	CW SSB	05.00-07.00
13.-14.2. WVV RTTY WPX	RTTY	00.00-24.00
13.-14.2. PACC	CW+SSB	12.00-12.00
13.-14.2. First RSGB 1.8 MHz	CW	21.00-01.00
17.2. AGCW Semiautomatic	CW	19.00-20.30
20.-21.2. ARRL DX Contest	CW	00.00-24.00
26.-27.2. Russian WWV PSK	PSK31	21.00-21.00
26.-28.2. CQ WWV 160 m DX	SSB	22.00-22.00
27.-28.2. French DX (REF)	SSB	06.00-18.00
27.-28.2. European Community (UBA)	CW	13.00-13.00
28.2. OK-QRP Contest	CW	06.00-07.30
28.2. HSC CW	CW	viz podm.
1.3. Aktivita 160	SSB	20.30-21.30
6.3. SSB liga	SSB	06.00-08.00
6-7.3. ARRL DX Contest	SSB	00.00-24.00
7.3. Provozní aktiv KV	CW	05.00-07.00
7.3. UBA 80 m Spring	SSB	07.00-11.00
7.3. DARC Corona 10 m	DIGI	11.00-17.00
8.3. Aktivita 160	CW	20.30-21.30
13.3. OM Activity	CW/SSB	05.00-07.00
13.3. AGCW QRP Contest	CW	14.00-20.00
13.-14.3. DIG QSO Party	SSB	viz podm.
14.3. VRK závod	CW/SSB	06.00-10.00
20.-21.3. Russian DX Contest	MIX	12.00-12.00
20.-21.3. Internat. SSTV DARC	SSTV	12.00-12.00
27.-28.3. CQ WWV WPX Contest	SSB	00.00-24.00

Tabulka závodů na VKV v roce 2010

Závody pořádané Českým radioklubem:

Název závodu	Datum	UTC od-do	Pásmo	Deník na:
I. subregionální závod	6. a 7. března	14.00-14.00	144 a 432 MHz, 1,3 až 241 GHz	OK1AGE RK OK1KHI
II. subregionální závod	1. a 2. května	14.00-14.00	144 a 432 MHz, 1,3 až 241 GHz	OK1CDJ RK OK1KCI
Závod mládeže	5. června	14.00-17.00	144 MHz	OK1RCR
Mikrovlnný závod	5. a 6. června	14.00-14.00	1,3 až 241 GHz	OK1IA, OK1KHK
Polní den mládeže	3. července	10.00-13.00	144 a 432 MHz	OK1RCR
Polní den na VKV	3. a 4. července	14.00-14.00	144 a 432 MHz, 1,3 až 241 GHz	OK2ZI RK OK2KVM
QRP závod	7. a 8. srpna	14.00-14.00	144 MHz	OK1RCR
IARU Region I. VHF Contest (Den rekordů)	4. a 5. září	14.00-14.00	144 MHz	OK1NP RK OK1KRQ
IARU Region I. UHF/Microwave Contest	2. a 3. října	14.00-14.00	432 MHz, 1,3 až 241 GHz	OK1GK OK1KIR
A1 Contest - Marconi Memorial Contest	6. a 7. listopadu	14.00-14.00	144 MHz	OK1DOZ OK1KPA

Podle Všeobecných podmínek platných od 1. 1. 2008 se posílají zásadně elektronické deníky ve formátu EDI, nejlépe na adresu:

<http://vkvzavody.moravany.com>, nebo na adresu vyhodnocovatelů.

Níže uvedené údaje v případě změn budou upřesněny v dalších číslech PE AR.

OK1AGE: Stanislav Hladký, Masarykova 881, 252 63 Roztoky;

E-mail: ok1age@sky.cz

OK1CDJ: Ondřej Koloničný, Sezemická 1293, 530 03 Pardubice;

E-mail: ok1cdj@moravany.com

OK1IA: Jan Moskovský, Čajkovského 923, 500 09 Hradec Králové;

E-mail: ok1ia@seznam.cz

OK1NP: Jan Paleček, Brněnská 13, 323 00 Plzeň;

E-mail: ok1np@email.cz

OK2ZI: Karel Odehnal, 675 53 Valeč u Hrotovic č. 246;

E-mail: ok2zi@atlas.cz

OK1GK: Pavel Novák, Na Farkáně III/281, 150 00 Praha 5;

E-mail: ok1gk@seznam.cz

OK1DOZ: Bedřich Jánský, Družby 337, 530 09 Pardubice;

E-mail: ok1kpa@volny.cz

OK1RCR: Český radioklub, U Pergamenky 3, 170 00 Praha 7;

E-mail: pdmlogy@crk.cz

Ostatní závody:

Velikonoční závod	4. dubna	08.00-14.00	144 MHz a výše	RK OK1KKT
Velikonoční závod dětí	4. dubna	14.00-15.00	144 MHz a výše	RK OK1KKT
Vánoční závod	26. prosince	08.00-11.00 12.00-15.00	144 MHz	OK1IA

OK1KKT: RK Tanvald, pošt. schr. 30, 468 61 Desná v Jizerských horách,
E-mail: info@ok1kkt.cz

Dlouhodobé soutěže, pořádané Českým radioklubem:

Provozní VKV aktiv	každou třetí neděli v měsíci	08.00-11.00	144 a 432 MHz 1,3 až 76 GHz	OK1MNI RK OK1KPA
Mistrovství ČR juniorů	souběžně s Provozním VKV aktivem a FM Pohárem		144 a 432 MHz	OK1OHK

OK1MNI: Miroslav Nechvíle, U Kasáren 339, 533 03 Dašice v Čechách;
E-mail: ok1kpa@volny.cz

OK1OHK: vkvzavody.moravany.com

OK1DVA

Podmínky prakticky všech závodů v češtině najdete na internetových stránkách našeho časopisu: www.aradio.cz.

Během 25. 2., kdy Kuwait slaví „Národní den“, by odtamtud měly vysílat zvláštní stanice

Pozor, během WPX contestu (28. 3. od 02.00) se změní zimní čas na letní.

Adresy k odesílání deníků přes internet

Aktivita 160:

cw@a160.net, ssb@a160.net

ARRL:

DXCW@arrl.org, DXphone@arrl.org

DARC Corona: do1npf@darc.de

CQ 160 m SSB: 160ssb@kkn.net

CQ WPX: ssb@cqwpx.com

EC-UBA: ubacw@uba.be

HSC: hsccontest@gmail.com

OK-QRP: karel.line@seznam.cz

OM Activity: omac@pobox.sk

REF (SSB): cdfssb@ref-union.org

RSGB 160: 1st160.logs@rsgbhfcc.org

Russian PSK: rusdigital@bk.ru

Russian: rdxc@srr.ru

SSB liga: <http://ssbliga.nagano.cz>

UBA Spring: on6kl@qsl.net

Závod VRK: OK5VRK@seznam.cz

QX

Expedice Tahiti 2010

Mezinárodní tým uskuteční v době od 9. do 25. února 2010 velkou expedici do Francouzské Polynésie, konkrétně na Tahiti. Členy expedice jsou Phil, FO8RZ, Jacques, F6BEE, Nigel, G3TXF, a Gilles, VE2TZT.

Mají vydaný speciální volací znak TX4T. Budou pracovat na všech KV pásmech, ale speciálně se zaměří na spodní pásmo 160 až 40 metrů. Věnovat se budou všem druhům provozu, včetně digimódů. Jak je známo, CW nejvíce preferuje Nigel.

Jejich výborné vybavení by mělo být zárukou dobré možnosti s nimi navazovat spojení zvláště na spodních pásmech. Tři transceivery firmy Elecraft K3 spolu s KV zesilovačem Acom 1010 a HL-1 by měly produkovat solidní signály.

Také anténní vybavení by tomu mělo napomáhat. Na 160 m to bude invertovaná L anténa do výše 18 m, kterou instalují přímo na pláži, skoro v moři. Pro 80 m postaví dva fázované čtvrtlnné vertikály, další také na 30 a 40 m. Pro pásma od 20 do 10 m použijí osvědčený Spiderbeam ve výšce kolem 10 m, k tomu další vertikál na 17 a 12 m. Dle možnosti natáhnou několik přijímacích Beverage a použijí přijímací loop K9AY. Jejich vysílací stanoviště bude na severním cípu poloostrova Hiti přímo u pláže (obr. 1). Navíc má toto místo zcela otevřený výhled na Ameriku a Evropu. To by mělo být pro nás ve

Obr. 1. Stanoviště expedice TX4T na pobřeží



střední Evropě příznivě, protože směřování od nás na Francouzskou Polynésii je na severo-severozápad a podmínky šíření nejsou v tomto směru příliš dobré.

Operátoři TX4T se v době konání expedice zúčastní WPX RTTY a ARRL CW závodů. QSL manažerem je G3TXF. Vyřizovat bude přednostně direkty, nutno zaslat SAE + nový IRC nebo 2 \$. QSL via bureau vyřizuje také, ale v poslední době se tato doba výměny lístků velice prodloužila. Vyřizování přes bureau Velké Británie je v posledních letech velice pomalé. Ale je možnost požádat o QSL e-mailem na adrese G3TXF: QSL@G3TXF.com. Tim by se mohla doba pro získání QSL zkrátit. Pokud takto zažádáte, nezapomeňte mu však zaslat váš QSL via bureau, neboť Nigel QSL-listky sbírá. Veškerá spojení budou převedena do LoTW krátce po skončení expedice. Jejich log snad bude dostupný během provozu expedice on-line. Na jejich webové stránce

jsou dostupné další informace o průběhu expedice:

<http://www.fo2010.org/>

OK2JS

Největší kniha diplomů k dispozici zdarma

Ted Melinosky, K1BV – autor největší trvale udržované aktuální sbírky podmínek diplomů „The K1BV DX Awards Directory“ (přes 3300 diplomů), zpřístupnil od r. 2010 její internetovou verzi zdarma všem zájemcům. Dosud bylo možné si buď objednat její knižní vydání, nebo po zaplacení mít přístup na její stránky. Nyní jsou omezení zrušena, podívejte se na

www.dxawards.com

QX

Mini-Whip – ostře sledovaná anténa

(Dokončení ze str. 32)

Použití koaxiálního vedení za součást anténní struktury je také dlouho známé. Jde převážně o antény pro VKV a UKV (obr. 9, 10, 11). Ostatně zmíněná rozhlasová anténa byla také napájena speciálním souosým vedením.

Závěr

Vážení DX-maní, lepší teoretický i praktický důkaz již nepředložím, takže panu Kaplanovi se asi nezavděčím. Za použití slova mystifikace se omlouvám, ale mezi vědeckými pracovníky se publikování nesprávné teorie takto označuje. (Jestlipak víte, že Darwinova teorie o pů-

vodu druhů je v Americe i leckde jinde také považována za mystifikaci?)

Znova opakuji, co jsem uvedl na začátku: vůbec nepochybují o praktické činnosti M-W. Nedůvěra některých praktiků k teorii je mně známa a za některé invokativy se nezlobím, nicméně připomínka, že jsem M-W neměl vůbec v ruce, je dosti povážlivá, ne-li hloupá. Mnozí radioamatéři mně znají a vědí, že během mé více jak 60leté činnosti mně prošlo rukou nespočet elektronických zařízení včetně M-W, naposledy před rokem u mého kanadského přítele. Pan Boháč se bude divit, M-W byla stíněná, tj. zapouzdřená do die-cast aluminium boxu, jak uvádí i pan

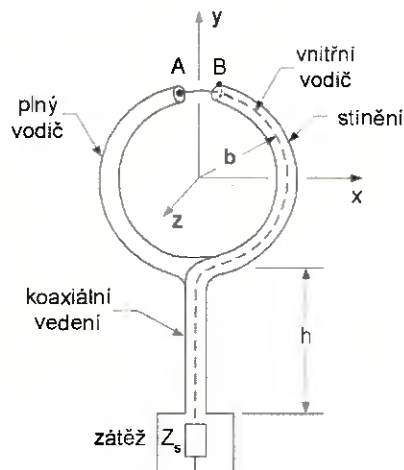
R. Bakker, PA0RDT. Doporučuji tedy panu Boháčovi a dalším DX-manům: studujte odbornou literaturu a používejte internetové vyhledávače (googlujte), čtete pozorně, dovíte se mnohé, o čem pochybujete, a nebudete muset problémy házet za hlavu.

Literatura

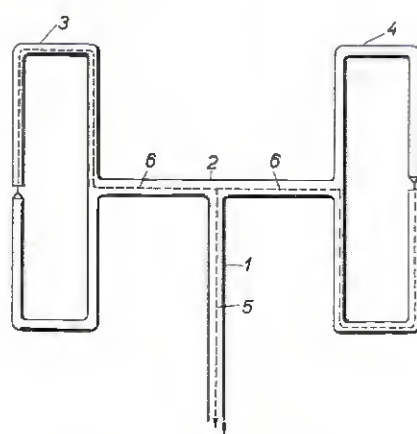
[1] Prokop, J.; Vokurka, J.: Šíření elektromagnetických vln a antény. SNTL/ALFA, Praha 1980.

73, Ing. M. Procházka

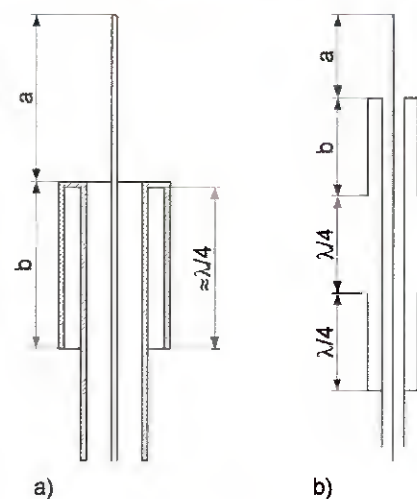
www.anteny-info.cz



Obr. 9. Smyčková anténa stíněná s koaxiálním napájením



Obr. 10. Anténa VKV zaměřovače – koaxiálně napájené skládané dipóly (3, 4), přívodní vedení (1, 2, 5, 6)



Obr. 11. Koaxiální dipól pro VKV



ELEKTRONIKA ZDENĚK KRČMÁŘ

VÝKONOVÉ ZESILOVAČE EZK - výběr

KJD5700 SX - stavebnice, 2x 200W/4R nebo 350W/8R, až ± 60V	999 Kč
KJD5700 HX - modul, 2x 200W/4R nebo 350W/8R, až ± 60V	1349 Kč
KJD5702 SX - stavebnice, 2x 300W/4R nebo 500W/8R, až ± 68V	1299 Kč
KJD5702 HX - modul, 2x 300W/4R nebo 500W/8R, až ± 68V	1649 Kč
KMD7666 SX - stavebnice, 800W/4R nebo 400W/8R, až ± 90V	2345 Kč
KMD7666 HX - modul, 800W/4R nebo 400W/3R, až ± 90V	3319 Kč
KMD7555 SX - stavebnice, 500W/4R nebo 300W/8R, až ± 80V	1799 Kč
KMD7555 HX - modul, 500W/4R nebo 300W/8R, až ± 80V	2599 Kč
KJD4780 SX - stavebnice, 2x 50W/4R nebo 100W/8R, až ± 42V	469 Kč
KJD4780 HX - modul, 2x 50W/4R nebo 100W/8R, až ± 42V	579 Kč
KDD8780 SX - stavebnice, 4x 50W/4R nebo 2x 100W/8R, až ± 42V	899 Kč
KDD8780 HX - modul, 4x 50W/4R nebo 2x 100W/8R, až ± 42V	1099 Kč



VÝKONOVÉ TRANZISTORY-výběr

MJL1302A - 15A, 200W, 230V, pnp, 30MHz, TO264	79 Kč
MJL3281A - 15A, 200W, 230V, npn, 30MHz, TO264	79 Kč
MJL4302A - 15A, 230W, 350V, pnp, 35MHz, TO264	159 Kč
MJL4281A - 15A, 230W, 350V, npn, 35MHz, TO264	159 Kč
MJL21193 - 16A, 200W, 250V, pnp, 4MHz, TO3P	99 Kč
MJL21194 - 16A, 200W, 250V, npn, 4MHz, TO3P	99 Kč
MJL21195 - 16A, 200W, 250V, pnp, 4MHz, TO3P	99 Kč
MJL21196 - 16A, 200W, 250V, npn, 4MHz, TO3P	99 Kč
2SC5200-HIFI - 15A, 150W, 230V, npn, 30MHz, TO3P	49 Kč
2SA1943-HIFI - 15A, 150W, 230V, pnp, 25MHz, TO3P	49 Kč

IO PRO ZESILOVAČE - výběr

TDA2005 - koncový stupeň 2x 10W/2R, max 18V	52 Kč
TDA7293V - koncový stupeň 100W/4R, max ± 60V	72 Kč
TDA7294V - koncový stupeň 70W/4R, max ± 50V	66 Kč
TDA7374V - koncový stupeň 2x 21W/4R, max 18V	99 Kč
TDA8560Q - koncový stupeň 2x 40W/2R, max 18V	109 Kč
TDA8571J - konc. stupeň 4x 40Wsqr/4R, max 18V	109 Kč
TDA1562Q - koncový stupeň 70W/4R, max 18V	199 Kč
LM3886T - koncový stupeň 60W/4R, max ± 42V	129 Kč
LM4702CTA - budič koncového stupně, až ± 75V	339 Kč
LM4780TA - konc. st. 2x 50W (1x 100W), max ± 42V	270 Kč

Úplnou nabídku zboží, aktuální ceny s množstevními slevami, novinky, mimořádné slevy a doprodeje naleznete v **e-obchodu**.

Uvedené ceny v Kč jsou MC včetně DPH.

www.ezk.cz/e-shop

ROŽNOV p. R., Tylovice 1880, tel.: 571 651 321, fax: 571620 576, mobil: 605 463 743

OLOMOUC, Hálkova 2, tel.: 585 511 211, mobil: 605 463 655, fax: 585 511 257

<http://www.ezk.cz>, ezk@ezk.cz, objednavky@ezk.cz

AMPER[®] 2010

13. - 16. 4. 2010

PVA Letňany Praha / Prague

18. mezinárodní veletrh elektrotechniky a elektroniky

the future right now

www.amper.cz

Souběžné veletrhy

OPTONIKA

1. mezinárodní veletrh optických technologií a aplikací

COMMTEC




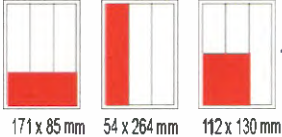
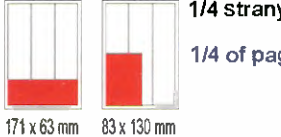
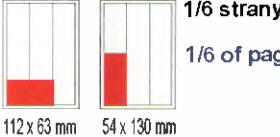
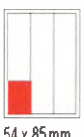

1. veletrh komunikačních technologií

TERINVEST, spol. s r. o., veletržní správa, Americká 459/27, 120 00 Praha 2, Česká republika, www.terinvest.com

TERINVEST
prestižní veletrhy.com

CENÍK INZERCE (barevná/full colour - Kč/Czk)

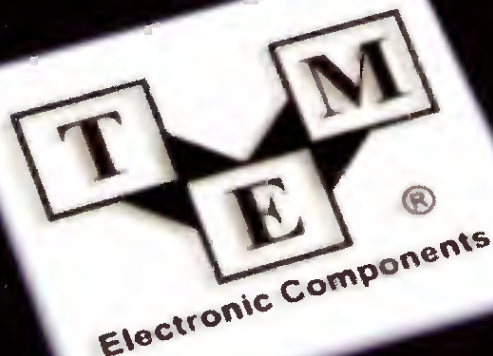
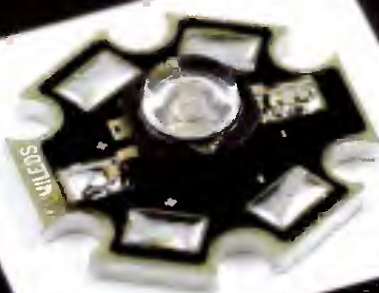
The price list of advertisements in the Praktická elektronika A Radio Journal

 <p>celá strana full page 171 x 264 mm</p> <p>23.520 Czk</p>	 <p>1/2 strany 1/2 of page 171 x 130 mm</p> <p>11.760 Czk</p>	 <p>2/3 strany 2/3 of page 112 x 264 mm</p> <p>15.670 Czk</p>
 <p>1/3 strany 1/3 of page 171 x 85 mm 54 x 264 mm 112 x 130 mm</p> <p>7.830 Czk</p>	 <p>1/4 strany 1/4 of page 171 x 63 mm 83 x 130 mm</p> <p>5.880 Czk</p>	 <p>1/6 strany 1/6 of page 112 x 63 mm 54 x 130 mm</p> <p>3.910 Czk</p>
 <p>1/9 strany 1/9 of page 54 x 85 mm</p> <p>2.600 Czk</p>	 <p>1/12 strany 1/12 of page 54 x 63 mm</p> <p>1.950 Czk</p>	<p>The banner on our web site www.aradio.cz costs 5.000 Czk per month.</p>
<p>Obálka: vnitřní strana: 43.000 Kč, IV. strana: 53.000 Kč.</p> <p>Advertisements on the cover: inside page: 43.000 Czk; last (4.) page of the cover: 53.000 Czk</p>		
<p>Slevy při opakované inzerci</p> <p>Ve 3 a více číslech se sazba snižuje o 5 % V 6 a více číslech se sazba snižuje o 10 % Při celoroční inzerci se sazba snižuje o 20 %</p> <p>The reduced prices on the repeating</p> <p>In 3 and more issues minus 5 % In 6 and more issues minus 10 % In 12 issues per one year minus 20 %</p>		<p>Podklady pro inzerci přijímáme ve výstupních formátech PDF, JPG v rozlišení 150 LPI (300 DPI) na adrese pe@aradio.cz</p> <p>The bases for advertisements please send us in the PDF or JPG formats with the resolution of 150 LPI (300 DPI). Our address: pe@aradio.cz</p>
<p>Všechny ceny jsou bez DPH. All the prices are without VAT.</p>		
<p>Kontakt: AMARO, spol. s r. o., Karlovo nám. 30, 120 00 Praha 2; tel. 257 317 313; e-mail: pe@aradio.cz</p> <p>Contacts: AMARO, Karlovo nám. 30, 120 00 Praha 2, Czech Republic; tel. +420 257 317 311, 313; e-mail: pe@aradio.cz</p>		

Seznam inzerentů v PE 02/2010

AEC - TV technikaVII	ERA components - elektronické součástkyXI
AME - elektronické přístroje a součástkyV	EZK - elektronické součástky a stavebnice47
ANTECH - měřicí přístroje, STA a TKRIV	Flajzar - stavebnice a kameryX
AV-ELMAK - elektronické přístrojeVII	FlowCAD - programy OrCAD, AllegroXI
BS ACOUSTIC - ozvučovací technikaXIV	GES - elektronické součástkyII
BUČEK - elektronické součástkyXIII, XIV	GM electronic - el. součástkyVIII, IX
DEXON - reproduktoryXIV	HADEX - elektronické součástkyVI
DIAMETRAL - laboratorní nábytek VARIOLAB+III	JABLOTRON - zabezpečovací a řídicí technikaI
ELEKTROSOUND - plošné spoje, el. součástkyXII	KONEKTORY BRNO - konektoryXII
ELEX - elektronické součástky aj.XII	LSD 2000 - český návrhový systém pro elektronikuXII
ELFA - optoelektronická čidlaXII	PaPouch - měřicí a komunikační technikaXIV
ELNEC - programátory aj.XII	PHOBOS - systém konroly vstupuXI
ELTIP - elektrosoučástkyXIV	P + V ELECTRONIC - vinuté díly pro elektronikuVII
ELVO - software pro elektronikuXII	T.E.I. - FormicaXII

diody led výkonové



podívejte se na:

www.tme.cz

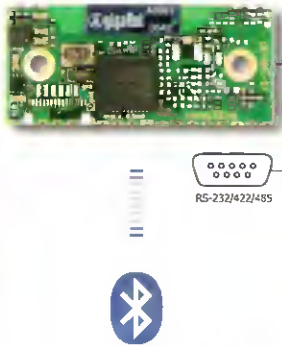
Transfer Multisort Elektronik

TME Czech Republic s.r.o. Slévárenská 406/17, CZ 709 00, Ostrava, tel.: +420 59 66 33 105, fax: +420 59 66 33 104, e-mail: tme@tme.cz, www.tme.cz
Sp. z o.o. ul. Ostronna 41, 93-350 Lodz, Polsko, tel. +48 42 645 54 44, fax +48 42 645 54 70, e-mail: export@tme.eu, www.tme.eu

Industrial Wireless

Bluetooth® OEM Serial Port Adapter™

Point-To-Point



Základní firmware Point-To-Point je určen k přenosu dat mezi dvěma Bluetooth® zařízeními. Jedná se o transparentní přenos sériové linky RS-232 (nebo 422, 485). Ovládání AT příkazy, konfigurace přes Bluetooth®, WLAN co-existence support.

Podporované Bluetooth profily:

- Generic Access Profile (GAP)
- Serial Port Profile (SPP)
- Dial-up networking Profile (DUN GW, DUN DT)
- File Transfer (FTP), Object Push (OPP)

Typické aplikace:

- bezdrátová náhrada kabelu RS232/422/485
- bezdrátové připojení tiskárny se sériovým portem
- doplnění jakéhokoliv zařízení se sériovou linkou bezdrátovým přenosem dat
- přenos dat mezi PC/PDA a přenosným přístrojem

Point-To-Multipoint

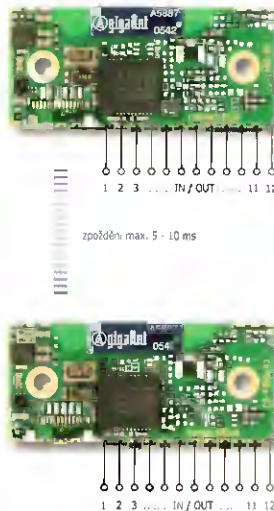


Point-To-Multipoint firmware (k dispozici zdarma) využívající technologii Wireless Multidrop™ dovoluje jedním zařízením Master současně ovládat až 7 zařízení Slave a jednoduše tak vytvořit tak Wireless Multidrop™ Network. Až 7 dalších Bluetooth® zařízení Slave tak současně komunikuje s jedním nadřazeným Masterem.

Typické aplikace:

- současná komunikace několika zařízení
- bezdrátové ovládání až 7 zařízení jedním nadřazeným Masterem
- bezdrátový přenos dat až ze 7 různých míst do jednoho centra

Universal I/O Module

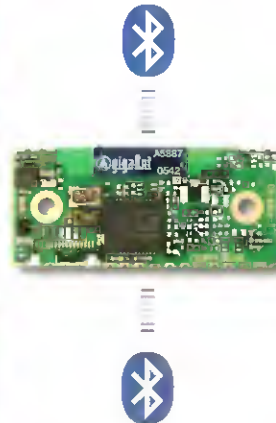


Unikátní firmware I/O Module (k dispozici zdarma) změní funkci modulu na univerzální I/O modul s max. 12 nezávislými vstupy/výstupy. Každý z 12 vodičů lze naprogramovat buď jako vstup nebo jako výstup a to v libovolné kombinaci (např. 4 vstupy a 8 výstupů, 12 vstupů apod.).

Typické aplikace:

- dálkové ovládání s velkým dosahem a mimořádnou bezpečností přenosu
- bezdrátový přenos logické úrovně až 12 vodičů

Bluetooth Repeater



Serial Port Profile (SPP) Repeater firmware (k dispozici zdarma) umožňuje použít Bluetooth® modul jako repeater a prodloužit tak dosah levným a jednoduchým způsobem.

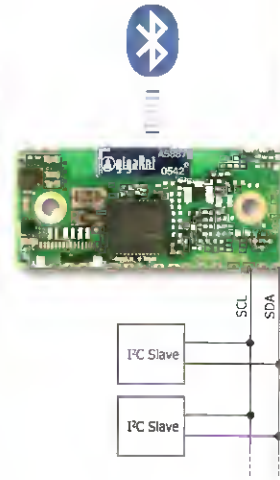
Repeatery lze navíc řídit za sebou do teoreticky neomezeného řetězce.

Nastavení je velmi jednoduché a po počáteční konfiguraci repeater pracuje zcela samostatně a nevyžaduje přítomnost obsluhy ani žádný nadřazený systém, pouze napájení 3 - 6 V.

Typické aplikace:

- prodloužení dosahu mezi libovolnými Bluetooth® zařízeními.

I²C Adapter



I²C Adapter firmware přemění Bluetooth Serial Port Adapter na I²C Master. Jakékoli Bluetooth zařízení s profilem SPP nebo DUN pak může bezdrátově ovládat I²C (TWI) sběrnici.

Podporuje 100kbps i 400kbps rychlost. Lze využít i automatické odesílání sekvencí příkazů podle definovaných událostí.

Typické aplikace:

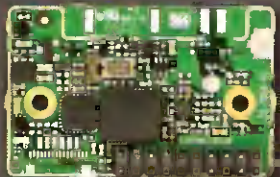
- bezdrátové řízení I²C sběrnice
- ovládání vzdálených I²C displejů
- bezdrátové připojení I²C klávesnice
- snadné spojení s I²C senzory



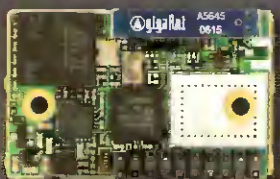
OEMSPA310I 3,5dBm/75m
• interní anténa
• 3,3V UART



OEMSPA311i/x 7dBm/150m
OEMSPA331i/x 17dBm/300m
interní/externí anténa
• 3,3V UART



OEMSPA312i/x 7dBm/150m
OEMSPA332i/x 17dBm/300m
• interní, externí anténa
• 3,3V UART
• RS-232



OEMSPA333i/x 20dBm/400m
• interní, externí anténa
• 3,3V UART
• RS-232

Bluetooth® Ethernet Port Adapter™

Přenos sítě Ethernet přes Bluetooth. Vhodné např. pro spojení pohyblivých částí se sítí Ethernet.

- odolné průmyslové provedení
- krytí IP67



Bluetooth® Serial Port Adapter™

Bezdrátová náhrada kabelu RS-232/485 do náročného prostředí.

- odolné průmyslové provedení
- krytí IP65



spezial electronic

VELKOBOCHOD ■ MALOBOCHOD ■ ZÁSILKOVÁ SLUŽBA ■ PORADENSTVÍ ■ ENGINEERING

spezial electronic

Wuttke Immobilien KG, o.s.

Šárecká 22/1931

160 00 Praha 6

Česká republika

tel.: 233 326 621

233 326 622

fax: 233 326 623

e-mail: spezial@spezial.cz

internet: www.spezial.cz

